



ผลกระทบของสภาวะและวิธีการอบแห้งต่อการเปลี่ยนแปลง
คุณภาพของสาหร่ายเดา

น้ำฝน ไชยลังกา

วิทยานิพนธ์นี้เป็นส่วนหนึ่งของความสมบูรณ์ของการศึกษาตามหลักสูตร
ปริญญาวิกรรมศาสตรมหาบัณฑิต สาขาวิชวกรรมอาหาร
บัณฑิตวิทยาลัย มหาวิทยาลัยแม่โจ้

พ.ศ. 2557

ลิขสิทธิ์ของมหาวิทยาลัยแม่โจ้



ใบรับรองวิทยานิพนธ์
บัณฑิตวิทยาลัย มหาวิทยาลัยแม่โจ้
ปริญญาวิศวกรรมศาสตร์บัณฑิต สาขาวิชวิศวกรรมอาหาร

ชื่อเรื่อง

ผลกระทบของสภาวะและวิธีการอบแห้งต่อการเปลี่ยนแปลง
คุณภาพของสาหร่ายเตา

โดย

น้ำฝน ไชยลังกา

พิจารณาเห็นชอบโดย

อาจารย์ที่ปรึกษาหลัก

(ผู้ช่วยศาสตราจารย์ ดร.ฤทธิชัย อัศวรัชันย์)
วันที่ ๖ เดือน พฤษภาคม พ.ศ. ๒๕๕๗

(รองศาสตราจารย์ ดร.สิงหนาท บวรสมบัติ)
วันที่ ๖ เดือน พฤษภาคม พ.ศ. ๒๕๕๗

(ผู้ช่วยศาสตราจารย์ ดร.ดวงพร ออมรเลิศพิศาล)
วันที่ ๖ เดือน พฤษภาคม พ.ศ. ๒๕๕๗

(อาจารย์ ดร.ชนันท์ รายภูรนิยม)
วันที่ ๖ เดือน พฤษภาคม พ.ศ. ๒๕๕๗

(ผู้ช่วยศาสตราจารย์ ดร.สมเกียรติ จตุรงค์ถ้าเลิศ)
วันที่ ๖ เดือน พฤษภาคม พ.ศ. ๒๕๕๗

(ผู้ช่วยศาสตราจารย์ ดร.ชาครพงษ์ วาฤทธิ์)
คณบดีบัณฑิตวิทยาลัย
วันที่ ๗ เดือน พฤษภาคม พ.ศ. ๒๕๕๗

บัณฑิตวิทยาลัยรับรองแล้ว

ชื่อเรื่อง	ผลกระบวนการสภาวะและวิธีการอบแห้งต่อการเปลี่ยนแปลงคุณภาพของสาหร่ายเตา
ชื่อผู้เขียน	นางสาวน้ำฝน ไชยลังกา
ชื่อปริญญา	วิศวกรรมศาสตรมหาบัณฑิต สาขาวิชาชีวกรรมอาหาร
อาจารย์ที่ปรึกษาหลัก	ผู้ช่วยศาสตราจารย์ ดร.ฤทธิชัย อัศวร้าชันย์

บทคัดย่อ

งานวิจัยนี้มีวัตถุประสงค์เพื่อศึกษาผลของวิธีการอบแห้งและหาสภาวะที่เหมาะสมในการอบแห้งสาหร่ายเตา ซึ่งเป็นสาหร่ายที่อุดมไปด้วยคุณค่าทางโภชนาการและมีฤทธิ์ด้านอนุมูลอิสระ ปัจจุบันจึงนิยมน้ำสาหร่ายเตาอบแห้งมาสักครู่ของการอุดมทรัพยากริมฝีปากและท้องเป็นส่วนประกอบในการผลิตเครื่องสำอางและอาหารเสริม โดยงานวิจัยนี้ศึกษาสมบัติทางกายภาพและทางเคมี คุณลักษณะการอบแห้ง รวมถึงแบบจำลองทางคณิตศาสตร์ของการอบแห้งที่เหมาะสม และเปรียบเทียบผลของวิธีการอบแห้ง 3 วิธี ได้แก่ การอบแห้งด้วยพลังงานแสงอาทิตย์ การอบแห้งด้วยลมร้อน และการอบแห้งด้วยคลื่นไมโครเวฟต่อการเปลี่ยนแปลงคุณภาพของสาหร่ายเตา อบแห้ง จากนั้นหาสภาวะที่เหมาะสมในการอบแห้งโดยใช้เทคนิคพื้นผิวตอบสนอง (RSM) ด้วยการออกแบบการทดลองแบบบีโอกซ์-เบ็ทต์เคน (BBD)

ผลการศึกษาพบว่าสาหร่ายเตาที่ใช้ในการทดลองมีความชื้นเริ่มต้นเท่ากับ $8.55 \pm 0.20 \text{ g}_{\text{water}}/\text{g}_{\text{dry matter}}$ โดยเวลาที่ใช้ในการอบแห้งสาหร่ายเตาจนเหลือความชื้น $0.15 \pm 0.01 \text{ g}_{\text{water}}/\text{g}_{\text{dry matter}}$ ใช้เวลาเท่ากับ 1,980 min ของการอบแห้งด้วยพลังงานแสงอาทิตย์ ขณะที่การอบแห้งด้วยลมร้อนในช่วงอุณหภูมิ 60-75°C และการอบแห้งด้วยคลื่นไมโครเวฟที่ระดับ 0.77-2.50 W/g ใช้เวลาอยู่ระหว่าง 220-590 min และ 21-80 min ตามลำดับ จากการศึกษาแบบจำลองทางคณิตศาสตร์ของการอบแห้งสาหร่ายเตา พบร่วมแบบจำลองทางคณิตศาสตร์ของ Logarithmic สามารถอธิบายพฤติกรรมการอบแห้งสาหร่ายการอบแห้งด้วยพลังงานแสงอาทิตย์และการอบแห้งด้วยคลื่นไมโครเวฟได้เหมาะสมที่สุด ในขณะที่แบบจำลองทางคณิตศาสตร์ของ Midilli et al. สามารถอธิบายพฤติกรรมการอบแห้งสาหร่ายการอบแห้งด้วยลมร้อนได้เหมาะสมที่สุด ผลการวิเคราะห์ค่าสัมประสิทธิ์การแพร่ความชื้นประสีทิชิผลของสาหร่ายเตาในระหว่างการอบแห้งด้วยพลังงานแสงอาทิตย์ การอบแห้งด้วยลมร้อนในช่วงอุณหภูมิ 60-75°C และการอบแห้งด้วยคลื่นไมโครเวฟที่ระดับ 0.77-2.50 W/g มีค่าเท่ากับ $0.48 \times 10^{-10} \text{ m}^2/\text{s}$, $1.72 \times 10^{-10}-4.51 \times 10^{-10} \text{ m}^2/\text{s}$ และ 2.74×10^{-7}

(4)

$10.64 \times 10^{-7} \text{ m}^2/\text{s}$ ตามลำดับ และค่าพลังงานحرรค์น มีค่าเท่ากับ 62.36 kJ/mol และ 1.32 W/g สำหรับ การอบแห้งด้วยลมร้อนและการอบแห้งด้วยคลื่นในโคลเวฟ

การศึกษาผลของสภาวะและวิธีการอบแห้ง พบว่า การอบแห้งด้วยลมร้อนที่ อุณหภูมิ 70°C เป็นสภาวะที่เหมาะสมที่สุด เนื่องจากสามารถลดการเปลี่ยนแปลงคุณภาพสีรวมทั้ง การสูญเสียสารออกฤทธิ์ทางชีวภาพได้ดีที่สุด และการหาสภาวะที่เหมาะสมในการอบแห้งสาหร่าย เด้าด้วยลมร้อน โดยใช้วิธี RSM จากการทดลองสามารถสรุปได้ว่า สภาวะที่เหมาะสมที่สุด คือ การ อบแห้งที่อุณหภูมิ 69.57°C ความเร็วลมร้อน 1.60 m/s และความหนาของชั้นวัสดุ 3.05 mm โดย สภาวะที่ได้จากการคำนวณให้ค่าความแปรผันต่างสีโดยรวม เท่ากับ 16.92 ปริมาณสารประกอบฟี โนลิกทั้งหมด ความสามารถในการต้านอนุมูลอิสระ ABTS และ DPPH มีค่าเท่ากับ 2,502.02 mg GAE/100 g_{dry matter}, 2,017.40 mg TEAC/100 g_{dry matter} และ 3,722.50 mg TEAC/100 g_{dry matter} ปริมาณ กลอโรไฟล์เอ และกลอโรไฟล์บี มีค่าเท่ากับ 6.62 และ 4.93 mg /g_{dry matter} ตามลำดับ

Title	Effects of Drying Conditions and Drying Methods on the Quality Changes of <i>Spirogyra</i> sp.
Author	Miss Namphon Chailungka
Degree of	Master of Engineering in Food Engineering
Advisory Committee Chairperson	Assistant Professor Dr. Rittichai Assawarachan

ABSTRACT

The purpose of this research was to study the effects of the drying process and identify appropriate conditions for drying *Spirogyra* sp. This type of algae is nutritionally beneficial and has anti-oxidant qualities. Therefore, there is now a trend of extracting biological matter from dried *Spirogyra* sp. to use in producing cosmetics and food supplements. This research studied its physical and chemical qualities as well as characteristics of the drying process and found a suitable mathematical model of the drying process. The effects of three drying methods, open sun drying, hot air drying and microwave drying were compared on the quality of the dried *Spirogyra* sp. From this data suitable conditions for the drying process were discovered using the Response Surface Methodology (RSM) technique and the Box-Benken Design (BBD) testing method.

The results of the study showed that the tested *Spirogyra* sp. had a moisture content of $8.55 \pm 0.01 \text{ g}_{\text{water}}/\text{g}_{\text{dry matter}}$ at the beginning of the process and a moisture content of $0.15 \pm 0.01 \text{ g}_{\text{water}}/\text{g}_{\text{dry matter}}$ at the end. This process took 1,980 minutes with the open sun drying process. The hot air drying process, which used a temperature of 60-75°C, took between 220-590 minutes, while the microwave drying process, which used 0.77-2.50 W/g frequencies, took between 21-80 minutes. From the results of the mathematical models, the Logarithmic model was the best describing the behavior of the *Spirogyra* sp. for the open sun and microwave drying methods, while the Midilli et al. model best describes the drying behavior of *Spirogyra* sp. in the hot air drying method. The results of the coefficient analysis of *Spirogyra* sp.'s moisture diffusion effectiveness show values of $0.48 \times 10^{-10} \text{ m}^2/\text{s}$, 1.72×10^{-10} - $4.51 \times 10^{-10} \text{ m}^2/\text{s}$ and 2.74×10^{-10} - $10.64 \times 10^{-10} \text{ m}^2/\text{s}$, respectively during the open sun drying, hot air drying, and microwave drying

processes. The activation energy values were 62.36 kJ/mol for the hot air drying method and 1.32 W/g for the microwave drying method.

By examining the results of the drying conditions and methods the study showed that the hot air drying at 70°C is the most ideal condition, since it is best able to minimize discoloration and loss of antioxidants. By using the RSM technique the results of the study conclude that the most ideal conditions for hot air drying of *Spirogyra* sp. is using a temperature of 69.57°C with an air velocity of 1.60 m/s and material thickness of 3.05 mm. These conditions produced a total color difference value of 16.92, a total phenolic content equal to 2,502.02 mg GAE/100 g_{dry matter}, an antioxidant activity of scavenging activity of ABTS radical and DPPH radical value of 2,017.40 and 3,722.50 mg TEAC/100 g_{dry matter}, a chlorophyll A and a chlorophyll B content equal to 6.62 and 4.93 mg /g_{dry matter}, respectively.

กิตติกรรมประกาศ

วิทยานิพนธ์ฉบับนี้สำเร็จลงได้ด้วยดีจากความช่วยเหลือของผู้ช่วยศาสตราจารย์ ดร.ฤทธิชัย อัศวราชันย์ อาจารย์ที่ปรึกษาวิทยานิพนธ์หลัก ที่ให้คำปรึกษา แนะนำแนวทางในการศึกษาค้นคว้าและการวิจัย ตลอดจนตรวจสอบและแก้ไขวิทยานิพนธ์ฉบับนี้ให้ถูกต้องและสมบูรณ์ ขอขอบพระคุณรองศาสตราจารย์ ดร.สิทธิสิน นวรสมบัติ อาจารย์ ดร.คงพร อัมรเลิศ พิศาล และอาจารย์ ดร.ชนันท์ รายภูรนิยม อาจารย์ที่ปรึกษาวิทยานิพนธ์ร่วม ที่อบรมสั่งสอนให้ความรู้ แนะนำแนวทางในการทำวิจัยและตรวจสอบความบกพร่องในการเขียนวิทยานิพนธ์ และอาจารย์ ดร.รัตนา ม่วงรัตน์ ผู้ทรงคุณวุฒิภายนอก ที่กรุณาให้คำแนะนำในการแก้ไขวิทยานิพนธ์ และขอขอบพระคุณผู้ช่วยศาสตราจารย์ ดร.สุเนตร สืบค้า ที่ได้ให้คำแนะนำในการวิเคราะห์ข้อมูลทางสถิติ

ขอขอบคุณทุนสนับสนุนงานวิจัยจากทุนศิษย์เก่ากูฐี บัณฑิตวิทยาลัย มหาวิทยาลัยแม่โจ้ ขอขอบพระคุณคุณอุเทน จำใจ และคุณรัตนาภรณ์ จันทร์พิพิธ ที่เคยให้คำแนะนำและสอนวิธีการใช้เครื่องมือในการศึกษาเรื่องอุตสาหกรรมชีวภาพ และขอขอบพระคุณธีระวัฒน์ รัตนพจน์ ที่ได้ให้ความอนุเคราะห์จัดทำวัสดุคุณที่ใช้ในการวิจัยครั้งนี้

ขอกราบขอบพระคุณบิดา และมารดาที่เคยให้กำลังใจ ให้ความช่วยเหลืออุปการะค่าใช้จ่ายต่างๆ รวมถึงพี่ๆ เพื่อนๆ และผู้ที่เกี่ยวข้องทุกคนที่เคยให้ความช่วยเหลือในการทำวิจัยจนทำให้โครงงานวิจัยนี้สำเร็จ ขอขอบพระคุณไว้ ณ ที่นี่

น้ำฝน ไชยลังกา
พฤษจิกายน 2557

สารบัญ

	หน้า
บทคัดย่อ	(3)
ABSTRACT	(5)
กิตติกรรมประกาศ	(7)
สารบัญ	(8)
สารบัญตาราง	(10)
สารบัญภาพ	(11)
สารบัญตารางผนวก	(14)
สารบัญภาพผนวก	(15)
อักษรย่อและสัญลักษณ์	(16)
บทที่ 1 บทนำ	1
ความสำคัญของปัญหา	1
วัตถุประสงค์ของการวิจัย	4
ประโยชน์ที่คาดว่าจะได้รับ	4
ขอบเขตของการวิจัย	4
บทที่ 2 การตรวจเอกสาร	5
ความรู้ทั่วไปเกี่ยวกับสาหร่ายเตา	5
สารค้านอนุนูโลมิสารและความสามารถในการด้านอนุนูโลมิสาร	6
รงควัตถุหรือสารสีในอาหาร	8
ทฤษฎีการอบแห้ง	9
แบบจำลองทางคณิตศาสตร์ของการอบแห้ง	21
การวิเคราะห์สี	24
การทำอาหารที่เหมาะสมของการอบแห้งสาหร่ายเตาด้วยลมร้อนโดยใช้	
วิธีการพื้นผิวตอบสนอง	26
ผลงานวิจัยที่เกี่ยวข้อง	27
บทที่ 3 อุปกรณ์และการทดลอง	32
อุปกรณ์และสารเคมี	32
วิธีการทดลอง	33

	หน้า
บทที่ 4 ผลการทดลองและวิจารณ์	45
ผลการศึกษาคุณลักษณะการอุบแห้งของสาหร่ายเดา	45
ผลการศึกษาแบบจำลองทางคณิตศาสตร์ของการอุบแห้งสาหร่ายเดาด้วยวิธีการอุบแห้งแบบต่างๆ	52
ผลการศึกษาสภาวะและวิธีการอุบแห้งต่อการเปลี่ยนแปลงคุณภาพของสาหร่ายเดา	65
ผลการศึกษาพลังงานไฟฟ้าที่ใช้ในการอุบแห้ง	81
ผลการศึกษาสภาวะที่เหมาะสมในการอุบแห้งสาหร่ายเดาด้วยลมร้อนโดยใช้วิธีพื้นผิวดอนสนอง	83
บทที่ 5 สรุปและข้อเสนอแนะ	104
สรุปผลการทดลอง	104
ข้อเสนอแนะ	107
บรรณานุกรม	108
ภาคผนวก	117
ภาคผนวก ก สาหร่ายเดา เครื่องอุบแห้งที่ใช้ในการทดลอง และตัวอย่างสารสักน้ำของสาหร่ายเดาที่ใช้ในการวิเคราะห์สารออกฤทธิ์ทางชีวภาพ	118
ภาคผนวก ข การวิเคราะห์ปริมาณสารประกอบพื้นอิฐกั้งหมุดและความสามารถในการด้านอนุมูลอิสระ	122
ภาคผนวก ค การคำนวณค่าไฟฟ้าที่ใช้ในการอุบแห้ง	129
ภาคผนวก ง บทความวิชาการที่ได้นำเสนอและตีพิมพ์เผยแพร่	132
ภาคผนวก จ ประวัติผู้เขียน	134

สารบัญตาราง

ตาราง	หน้า
1 คุณค่าทางโภชนาการและสารอาหารในสาหร่ายเตา	6
2 การเปรียบเทียบข้อได้เปรียบและข้อจำกัดของวิธีการอบแห้งแบบต่างๆ	20
3 แบบจำลองทางคณิตศาสตร์ของการอบแห้งในรูปของแบบจำลองเอนพิริคัล	21
4 ค่าตัวแปรต้นที่ใช้ในการทดลอง	44
5 ค่าคงที่การอบแห้งของสาหร่ายเตาด้วยพลังงานแสงอาทิตย์	54
6 ค่าคงที่การอบแห้งของสาหร่ายเตาด้วยลมร้อน	55
7 ค่าคงที่การอบแห้งของสาหร่ายเตาด้วยคลื่นไมโครเวฟ	56
8 ค่าสัมประสิทธิ์การแพร่ความชื้นประสิทธิผลของการอบแห้งสาหร่ายเตาด้วยพลังงานแสงอาทิตย์และการอบแห้งด้วยลมร้อน	61
9 ค่าสัมประสิทธิ์การแพร่ความชื้นประสิทธิผลของการอบแห้งสาหร่ายเตาด้วยคลื่นไมโครเวฟ	62
10 การเปรียบเทียบพลังงานไฟฟ้าที่ใช้ในการอบแห้งสาหร่ายเตา (ต่อ 1,000 g _{dry matter})	82
11 การวิเคราะห์ข้อมูลการอบแห้งสาหร่ายเตาด้วยลมร้อนโดยใช้วิธีพื้นผิวตอบสนองด้วยการออกแบบการทดลองแบบบีอ็อกซ์-เบิร์นเคน	88
12 ANOVA สำหรับแต่ละค่าการตอบสนองของการอบแห้งสาหร่ายเตาด้วยลมร้อน	89
13 ANOVA สำหรับแต่ละค่าการตอบสนองของการอบแห้งสาหร่ายเตาด้วยลมร้อน	90
14 สมการโพลิโนเมียลลำดับที่สองและค่าสัมประสิทธิ์การลดถอยสำหรับค่าการตอบสนองของการอบแห้งสาหร่ายเตาด้วยลมร้อน	91
15 การกำหนดช่วงของปัจจัยที่มีผลต่อค่าการตอบสนองเพื่อเลือกสภาวะที่เหมาะสมในการอบแห้งสาหร่ายเตาด้วยลมร้อนโดยใช้วิธีพื้นผิวตอบสนอง	103

สารบัญภาพ

ภาพ	หน้า
1 สาหร่ายเตาชนิด <i>Spirogyra neglecta</i> (Hassall) Kutz ing	5
2 เส้นโถงความสัมพันธ์ของการเปลี่ยนแปลงความชื้นในระหว่างการอบแห้ง	10
3 การถ่ายเทความชื้นออกจากอาหารหรือวัสดุทางชีวภาพในระหว่างการอบแห้ง	16
4 แผนภาพของเครื่องอบแห้งแบบถอด	16
5 แบบสถาปัตยกรรมของคลีนแม่เหล็กไฟฟ้า	17
6 ໂຄະແກຣມແສດງລັກຍະການເຄລືອນທີ່ຂອງຄລື່ນແມ່ເໜີ້ກິໄຟຟ້າ	18
7 ກລົມໄກການເໜີ້ບໍ່ນໍາເຊີງໄອອອນແລກລົມທີ່ການມູນຂອງທັ້ງສອງຂຶ້ວ	19
8 ການອອກແນບການທົດລອງແບນນິ້ອກຫຼື-ເບີ້ຫົ່ນເຄົນ	27
9 ແພນກາພາກຮັດນິນໂຄຮົງຈານວິຈິຫຼັງໜົດ	34
10 ການປັບປຸງແປ່ງຄວາມປິດໃນການອຳນວຍການຂອງສາຫະກາດຕ້ວຍພລັງຈານແສງອາທິດ	46
11 ການປັບປຸງແປ່ງຄວາມປິດໃນການອຳນວຍການຂອງສາຫະກາດຕ້ວຍລມຮູນ	47
12 ການປັບປຸງແປ່ງຄວາມປິດໃນການອຳນວຍການຂອງສາຫະກາດຕ້ວຍຄລື່ນໄນໂຄຣເວີ	48
13 ການປັບປຸງແປ່ງອັດຕະການຂອງສາຫະກາດຕ້ວຍພລັງຈານແສງອາທິດ	50
14 ການປັບປຸງແປ່ງອັດຕະການຂອງສາຫະກາດຕ້ວຍລມຮູນ	51
15 ການປັບປຸງແປ່ງອັດຕະການຂອງສາຫະກາດຕ້ວຍຄລື່ນໄນໂຄຣເວີ	52
16 ການປັບປຸງເທິບນອັດຕະການສ່ວນຄວາມປິດທີ່ໄດ້ຈາກການທົດລອງແລກລົມຮູນຂອງ Logarithmic ສໍາຫັນການອຳນວຍການຂອງສາຫະກາດຕ້ວຍພລັງຈານແສງອາທິດ	57
17 ການປັບປຸງເທິບນອັດຕະການສ່ວນຄວາມປິດທີ່ໄດ້ຈາກການທົດລອງແລກລົມຮູນຂອງ Midilli et al. ສໍາຫັນການອຳນວຍການຂອງສາຫະກາດຕ້ວຍລມຮູນ	58
18 ການປັບປຸງເທິບນອັດຕະການສ່ວນຄວາມປິດທີ່ໄດ້ຈາກການທົດລອງແລກລົມຮູນຂອງ Logarithmic ສໍາຫັນການອຳນວຍການຂອງສາຫະກາດຕ້ວຍຄລື່ນໄນໂຄຣເວີ	59

ภาค	หน้า
19 ความสัมพันธ์ของสมการอาร์เรนียสระหว่างค่าสัมประสิทธิ์การแพร่ ความชื้นประสิทธิ์ผลและอุณหภูมิในการอบแห้ง	63
20 ความสัมพันธ์ของสมการอาร์เรนียสระหว่างค่าคงที่การอบแห้งและ น้ำหนักของสาหร่ายเตาต่อระดับพลังงานของคลีนไมโครเวฟ	64
21 การเปรียบเทียบค่า a_* ของสาหร่ายเตา	65
22 การเปรียบเทียบสีของสาหร่ายเตาสดและสาหร่ายเตาอบแห้ง	66
23 การเปรียบเทียบค่า L^* ของสาหร่ายเตา	67
24 การเปรียบเทียบค่า a^* ของสาหร่ายเตา	69
25 การเปรียบเทียบค่า b^* ของสาหร่ายเตา	71
26 การเปรียบเทียบค่า ΔE ของสาหร่ายเตา	72
27 การเปรียบเทียบค่า C^* ของสาหร่ายเตา	73
28 การเปรียบเทียบค่า h^* ของสาหร่ายเตา	74
29 การเปรียบเทียบปริมาณสารประกอบฟินอลิกทั้งหมดของสาหร่ายเตา	76
30 การเปรียบเทียบความสามารถในการด้านอนุมูลอิสระของสาหร่ายเตา	77
31 การเปรียบเทียบคลอร์โฟิลล์ เอ และคลอร์โฟิลล์ บีของสาหร่ายเตา	80
32 การเปรียบเทียบสีสาหร่ายเตาอบแห้งด้วยลมร้อนที่ได้ในแต่ละสิ่งทดลอง	84
33 กราฟ 3 มิติของพื้นผิวตอบสนองต่อค่าความแตกต่างสีโดยรวม	86
34 กราฟโครงร่างของพื้นผิวตอบสนองต่อค่าความแตกต่างสีโดยรวม	87
35 กราฟ 3 มิติของพื้นผิวตอบสนองต่อปริมาณสารประกอบฟินอลิกทั้งหมด	93
36 กราฟโครงร่างของพื้นผิวตอบสนองต่อปริมาณสารประกอบฟินอลิก ทั้งหมด	94
37 กราฟ 3 มิติของพื้นผิวตอบสนองต่อความสามารถในการด้านอนุมูลอิสระ ABTS	95
38 กราฟโครงร่างของพื้นผิวตอบสนองต่อความสามารถในการด้านอนุมูล อิสระ ABTS	96
39 กราฟ 3 มิติของพื้นผิวตอบสนองต่อความสามารถในการด้านอนุมูลอิสระ DPPH	97
40 กราฟโครงร่างของพื้นผิวตอบสนองต่อความสามารถในการด้านอนุมูล อิสระ DPPH	98

ภาพ	หน้า
41 กราฟ 3 มิติของพื้นผิวตอบสนองต่อคลอโรฟิลล์ เอ	99
42 กราฟโครงร่างของพื้นผิวตอบสนองต่อคลอโรฟิลล์ เอ	100
43 กราฟ 3 มิติของพื้นผิวตอบสนองต่อคลอโรฟิลล์ บี	101
44 กราฟโครงร่างของพื้นผิวตอบสนองต่อคลอโรฟิลล์ บี	102

สารบัญตารางผนวก

ตารางผนวก		หน้า
1	ค่าการดูดกลืนแสงของกรดแกลลิก (gallic acid) ที่ความเข้มข้นต่างๆ สำหรับวิเคราะห์ปริมาณสารประกอบฟีโนอลิกทั้งหมด	123
2	ค่าการดูดกลืนแสงของ trolox และ %inhibition ที่ความเข้มข้นต่างๆ สำหรับวิเคราะห์ความสามารถในการด้านอนุญาติสาร ABTS	125
3	ค่าการดูดกลืนแสงของ trolox และ %inhibition ที่ความเข้มข้นต่างๆ สำหรับวิเคราะห์ความสามารถในการด้านอนุญาติสาร DPPH	127

สารบัญภาพผนวก

ภาพผนวก	หน้า
1 สาหร่ายเตาที่ใช้ในการทดลอง	119
2 เครื่องอบแห้งด้วยลมร้อนแบบดาดที่ใช้ในการทดลอง	119
3 เครื่องอบแห้งด้วยคลื่นไมโครเวฟที่ใช้ในการทดลอง	120
4 ตัวอย่างสารสกัดน้ำของสาหร่ายเตาที่ใช้ในการวิเคราะห์ปริมาณสารประกอบฟีโนลิกทั้งหมด	120
5 ตัวอย่างสารสกัดน้ำของสาหร่ายเตาที่ใช้ในการวิเคราะห์ความสามารถในการต้านอนุมูลอิสระ ABTS	121
6 ตัวอย่างสารสกัดน้ำของสาหร่ายเตาที่ใช้ในการวิเคราะห์ความสามารถในการต้านอนุมูลอิสระ DPPH	121
7 กราฟมาตรฐานของสารละลายกรดแกลลิก (gallic acid) สำหรับการวิเคราะห์ปริมาณสารประกอบฟีโนลิกทั้งหมด	124
8 กราฟมาตรฐานของโทรลีอกซ์ (trolox) สำหรับวิเคราะห์ความสามารถในการต้านอนุมูลอิสระ ABTS	126
9 กราฟมาตรฐานของโทรลีอกซ์ (trolox) สำหรับวิเคราะห์ความสามารถในการต้านอนุมูลอิสระ DPPH	128

อัตราเร่งและสัญลักษณ์

สัญลักษณ์	ความหมาย	หน่วย
MC_{wb}	ความชื้นน้ำหนักเปียก	g_{water}/g_{weight}
MC_{db}	ความชื้นน้ำหนักแห้ง	$g_{water}/g_{dry matter}$
MC_i	ความชื้นเริ่มต้น	%(wb.)
MC_f	ความชื้นสุดท้าย	%(wb.)
M_{w+d}	มวลทั้งหมดของอาหาร	g
M_w	มวลของน้ำในอาหาร	g
M_d	มวลของแข็งในอาหาร	g
W_i	น้ำหนักอาหารเริ่มต้นก่อนการอบแห้ง	g
W_f	น้ำหนักอาหารสุดท้ายหลังการอบแห้ง	g
MR	อัตราส่วนความชื้น	-
t	เวลาในการอบแห้ง	s
k	ค่าคงที่การอบแห้ง	1/min
n	ตัวนับการอบแห้ง	1/min
a	ค่าคงที่ของแบบจำลอง	-
b	ค่าคงที่ของแบบจำลอง	-
c	ค่าคงที่ของแบบจำลอง	-
D_{eff}	ค่าสัมประสิทธิ์การแพร่ความชื้นประสิทธิผล	m^2/s
L	ความหนาครึ่งหนึ่งของตัวอย่าง	m
D_0	ปัจจัยก่อนเลขชี้กำลัง	1/min
E_a	พลังงานกระดันของการอบแห้งตัวยก้อนร้อน	kJ/mol
R	ค่าคงที่ของก้าซ มีค่าเท่ากับ 0.008314	kJ/mol K
T	อุณหภูมิของอากาศที่ใช้ในการอบแห้ง	K
E_a	พลังงานกระดันของการอบแห้งตัวยกลืนในโคลเวฟ	W/g
k_0	แฟกเตอร์ความถี่	1/min
m	น้ำหนักของตัวอย่าง	g
P	พลังงานของคลื่นไมโครเวฟ	W
$MR_{t,exp}$	อัตราส่วนความชื้นที่ได้จากการทดลอง	-

สัญลักษณ์	ความหมาย	หน่วย
$MR_{i,pre}$	อัตราส่วนความชื้นที่ได้จากการทำนายของแบบจำลอง	-
N	จำนวนค่าสังเกต	-
n	จำนวนค่าคงที่ในแบบจำลอง	-
R^2	ค่าสัมประสิทธิ์การตัดสินใจ	-
χ^2	ค่าการลดลงไก่กำลังสอง	-
$RMSE$	ค่ารากที่สองของความคลาดเคลื่อนกำลังสองเฉลี่ย	-
ΔE	ค่าความแตกต่างสีโดยรวม	-
C^*	ค่าความสด	-
h^*	ค่าสีสัน	-
C_p	ค่าความจุความร้อนของน้ำ มีค่าเท่ากับ 4.187 kJ/g* K	-
ΔT	ผลต่างของอุณหภูมน้ำกลั่นก่อนและหลังการไดร์บความร้อน ด้วยคลีน	°C
M_i	ความชื้นเริ่มต้น	$g_{water}/g_{dry matter}$
M_t	ความชื้นที่เวลาใดๆ	$g_{water}/g_{dry matter}$
M_e	ความชื้นสมดุล	$g_{water}/g_{dry matter}$
a_w	ค่าออเตอร์แอคทีวิตี้	-
L^*	ค่าความสว่าง/ความมืด	-
a^*	ค่าความเป็นสีแดง/สีเขียว	-
b^*	ค่าความเป็นสีเหลือง/สีน้ำเงิน	-
P	กำลังไฟฟ้า	kW
I	กระแสไฟฟ้า	A
V	ความต่างศักย์ทางไฟฟ้า	V
$\cos \phi$	ค่าตัวประกอบกำลังไฟฟ้า มีค่าเท่ากับ 0.85	-
$\beta_0 \beta_i \beta_u \beta_g$	ค่าสัมประสิทธิ์	-
X_i	ตัวแปรต้น	-
Y_i	ตัวแปรตาม	-

บทที่ 1

บทนำ

ความสำคัญของปัจจัย

ในช่วงหลายปีที่ผ่านมากระแสในเรื่องความห่วงใยสุขภาพ การป้องกัน และรักษา อาการเจ็บป่วยกำลังเป็นสิ่งที่ผู้บริโภคให้ความสำคัญเป็นอย่างมาก ปัจจุบันผู้บริโภคหลายชาติ ประเทศทั่วโลกรวมทั้งประเทศไทยได้ให้ความสนใจในการนำวัตถุดิบจากธรรมชาติมารับประทาน หรือเพื่อใช้บำบัดรักษาสุขภาพ รวมทั้งการบริโภคผลิตภัณฑ์อาหารเสริมเพื่อสุขภาพ และ เกรียงสำอางที่ผลิตจากวัตถุดิบตามธรรมชาตินานาชนิด เช่น มีสารร้ายน้ำจีดสีเขียวหลายชนิดเป็น ทรัพยากรธรรมชาติที่มีผู้ให้ความสนใจ และนำมาแปรรูปเป็นผลิตภัณฑ์ในรูปแบบต่างๆ โดยที่รู้จัก กันดี คือ สาหร่ายสไปรูลิน่า (*Spirulina*) ซึ่งจะอุดมไปด้วยคุณค่าทางโภชนาการสูงรวมทั้งมี คุณสมบัติในการด้านอนุญาติสระ แต่มีราคาจำหน่ายที่สูง ดังนั้นจึงมีการศึกษาสาหร่ายเต้า หรือเทา น้ำ ซึ่งเป็นสาหร่ายน้ำจีดสีเขียวอีกชนิดหนึ่งที่มีลักษณะเป็นเส้นสายยาว ไม่แตกแขนง คล้ายเส้นผม สีเขียวสด จากงานวิจัยของดวงพร และคณะ (2555); ยุวดี และคณะ (2555) พบว่าสาหร่ายเต้ามี คุณค่าทางโภชนาการสูง มีโปรดีนอยู่ในระดับสูง ไอกลีคิย์กับปลา น้ำจีด มีฤทธิ์ทางเภสัชวิทยา ไอกลีคิย์กับสาหร่ายสไปรูลิน่า แต่มีราคาถูกกว่า และจากรายงานการวิจัยของยุวดี และคณะ (2552); ฐิติกานต์ (2550) พบว่าสาหร่ายเต้ามีความสามารถในการยับยั้งอนุญาติสระได้มากกว่าสาหร่ายไอก (*Cladophora glomerata*) และสาหร่ายล่อน (*Nostochopsis lobatus* wood em geitler) ซึ่งเป็น สาหร่ายน้ำจีดสีเขียวขนาดใหญ่ อีกชนิดหนึ่ง

สาหร่ายเต้า หรือเทาน้ำ น้ำซื่อทางวิทยาศาสตร์ว่า *Spirogyra* sp. เป็นสาหร่ายน้ำจีด สีเขียวขนาดใหญ่ มีลักษณะเป็นเส้นสายยาว สีเขียวสด ที่พบมากในแม่น้ำภาคเหนือและภาค ตะวันออกเฉียงเหนือของประเทศไทย ชาวบ้านนิยมนำมารับประทานเป็นอาหารพื้นบ้าน คือ ยำเต้า สด หรือนำมาแปรรูปเป็นข้าวเกรียบเต้า ซึ่งผลิตภัณฑ์ดังกล่าวจำหน่ายในราคากู๊ก (สรพัตร และ ยุวดี, 2552) จากผลงานวิจัยหลายฉบับพบว่าสาหร่ายเต้ามีคุณค่าทางโภชนาการสูง ประกอบด้วย โปรตีน 18.63% ไขมัน 5.21% คาร์โบไฮเดรต 56.31% เส้นใย 7.66% เถ้า 11.78% มีแร่ธาตุ วิตามิน และรงค์วัตถุหลายชนิด เช่น คลอโรฟิลล์ เอ และคลอโรฟิลล์ บี เบต้าแแคโรทีน แซนโทฟิล ด้าน เภสัชวิทยาพบว่ามีฤทธิ์ต้านอนุญาติสระ (antioxidant) รับนักการเกิดแพลงในกระเพาะอาหาร การลด กรดของกล้ามเนื้อเรียบ ขยายหลอดลม ด้านการอักเสบ ระงับปวด และลดความดันโลหิต (ยุวดี และคณะ, 2555; ดวงพร และคณะ, 2555) ซึ่งอนุญาติสระมีผลต่อการแก้และความเสื่อมของเซลล์

และยังเป็นสาเหตุสำคัญของการเกิดภาวะแทรกซ้อนในโรคเบาหวาน ทั้งนี้สาหร่ายเตาบั่นมีฤทธิ์ด้านเอนไซม์ไทโรสิเนส ช่วยป้องกันการเกิดผื่นและจุดค่างดำ มีสารเมือกหรือมอยเรอร์ไวเซอร์ช่วยให้ความชุ่มชื้นแก่ผิวนัง ช่วยให้ผิวนาง (whitening agent) และกระตุ้นการสร้างโปรคอลลาเจน (procollagen) ที่มีผลต่อการสร้างเนื้อเยื่อผิวนัง (Takashi, 2008) จากคุณสมบัติของสารออกฤทธิ์ที่สำคัญในสารสกัดจากสาหร่ายเตาเจึงได้รับความสนใจ และนำมาใช้เป็นส่วนประกอบของผลิตภัณฑ์เครื่องสำอางหลายชนิด เช่น ครีมบำรุงผิวขาว ครีมบำรุงผิวน้ำป้องกันฝ้า สนู๊ด้างหน้า ลิปบาล์มสครับขัดผิว แซมพู ครีมนวด รวมทั้งผลิตภัณฑ์สปาที่กำลังได้รับความนิยมอย่างแพร่หลาย และอาหารเสริมเพื่อสุขภาพ เช่น เจลครีม (เครื่องดื่มน้ำดีเจล) โยเกิร์ตสาหร่ายเตา (Jean et al, 2010; ดวงพร และคณะ, 2555; ธีรวัฒน์ และคณะ, 2554) ซึ่งเป็นการเพิ่มน้ำคล้ำให้กับผลิตภัณฑ์แปรรูปจากสาหร่ายเตา แต่สาหร่ายเตาสมมีข้อจำกัดคือ เน่าเสียง่าย จึงไม่นิยมนำสาหร่ายเตาสดมาสกัดสารออกฤทธิ์ ดังนั้นจึงมีการนำสาหร่ายเตาสดมาผ่านกระบวนการอบแห้งเพื่อเก็บไว้ทำการสกัดสารออกฤทธิ์ทางชีวภาพต่างๆ ในภายหลัง

การอบแห้งเป็นกระบวนการแปรรูปที่ช่วยให้อาหารหรือวัสดุชีวภาพมีอายุการเก็บรักษาที่ยาวนาน เนื่องจากมีความซึ้นในระดับที่สามารถยับยั้งการเจริญเติบโตของจุลินทรีย์ที่ทำให้เกิดการเน่าเสียได้ นอกจากนี้ยังช่วยยับยั้งการทำงานของเอนไซม์ที่ส่งผลต่อการเปลี่ยนแปลงคุณภาพในอาหารได้เป็นอย่างดี (ฤทธิชัย และคณะ, 2554) รวมทั้งผู้บริโภคนมีความต้องการอาหารอบแห้งที่มีคุณภาพใกล้เคียงกับของอาหารสดและมีคุณภาพด้านโภชนาการสูง อีกทั้งมีอายุการเก็บรักษาที่ยาวนานขึ้น ทั้งนี้ก่อให้เกิดกระบวนการอบแห้งที่ชุมชนบ้านนาคุหา ดำเนินการเพื่อส่วนเขื่อน อำเภอเมือง จังหวัดแพร่ ซึ่งทำการเผาเดือยสาหร่ายเตาเป็นอิฐจะใช้วิธีการอบแห้งสาหร่ายเตาแบบดั้งเดิม นั้นคือ การอบแห้งด้วยพลังงานแสงอาทิตย์หรือตากแดด (open sun drying) ซึ่งวิธีการดังกล่าวจะใช้เวลานาน อีกทั้งการตากแดดยังทำให้สาหร่ายเตามีคุณภาพไม่แน่นอน การควบคุมคุณภาพทำได้ยาก เนื่องจากคุณภาพของสาหร่ายเตาจะขึ้นอยู่กับลักษณะอากาศและช่วงเวลาที่ใช้ในการตากแดด รวมทั้งอาจเกิดการปนเปื้อนผุนละอองและอาจมีแมลงซึ่งเป็นสาเหตุของการปนเปื้อนเชื้อจุลินทรีย์ ซึ่งอาจส่งผลให้สาหร่ายเตาหากแห้งไม่เป็นที่ยอมรับในด้านคุณภาพได้ ดังนั้นการออกแบบวิธีการอบแห้งให้เหมาะสมกับสาหร่ายเตา จึงจำเป็นต้องคำนึงถึงปัจจัยต่างๆ ที่มีความเกี่ยวข้องทั้งในด้านวิธีการอบแห้ง ผลกระทบต่อกุณภาพของสาหร่ายเพื่อลดปัญหาการสูญเสียคุณภาพ และสารออกฤทธิ์ที่สำคัญ รวมถึงพลังงานที่ใช้ในกระบวนการ โดยกระบวนการอบแห้งสามารถจำแนกได้หลายแบบ เช่น การจำแนกโดยใช้ความต่อเนื่องของการทำงานเป็นตัวกำหนด ได้แก่ การอบแห้งแบบกะ (batch drying) และการอบแห้งแบบต่อเนื่อง (continuous drying) โดยการอบแห้งแบบกะสามารถทำได้โดยการใส่อาหารหรือวัสดุทางชีวภาพที่ต้องการอบแห้งไว้ในเครื่องอบแห้งในช่วงเวลาที่

กำหนด ส่วนการอบแห้งแบบดื่อเนื่องจะทำโดยการป้อนอาหารหรือวัสดุทางชีวภาพเข้าเครื่องอบแห้ง และนำออกอย่างต่อเนื่อง นอกจากนี้การอบแห้งยังสามารถจำแนกได้โดยพิจารณาจากลักษณะของการให้ความร้อน ซึ่งสามารถจำแนกໄได้ 4 ชนิด คือ (วีໄล, 2547)

1. การอบแห้งแบบการให้ความร้อนโดยตรง (convective หรือ direct drying) โดยการป้อนอาหารศร้อนให้สัมผัสน้ำอาหารหรือวัสดุทางชีวภาพโดยตรงที่ความดันบรรยายกาศ ไอน้ำที่เกิดขึ้นจะถูกพาออกจากเครื่องอบแห้งด้วยอากาศ ข้อเสียของการอบแห้งด้วยวิธีนี้คือ อุณหภูมิของอาหารศร้อนที่เข้าจะดองสูงไม่เกินไปนัก เพราะถ้าอุณหภูมิสูงเกินไปจะทำให้ผิวน้ำของอาหารหรือวัสดุทางชีวภาพสูญเสียความชื้นมาก ทำให้เกิดรูพรุนและพื้นผิวจะบ่น ซึ่งจะส่งผลให้พื้นผิวภายนอกของอาหารหรือวัสดุทางชีวภาพแข็ง มีลักษณะคล้ายเปลือก

2. การอบแห้งแบบการให้ความร้อนทางอ้อม (indirect หรือ contact drying) เป็นกระบวนการแยกน้ำที่เกิดขึ้นอย่างรวดเร็ว ซึ่งอาจเกิดที่ความดันสูญญากาศโดยความร้อนจะไม่สัมผัสน้ำอาหารหรือวัสดุทางชีวภาพโดยตรง แต่จะสัมผัสน้ำผ่านของภาชนะที่ใช้บรรจุ การถ่ายโอนความร้อนจะเกิดขึ้นเนื่องจากการแผ่รังสี ข้อดีของการอบแห้งแบบนี้คือไม่ต้องใช้อุณหภูมิสูงนัก เนื่องจากทำงานที่ความดันสูญญากาศจึงเหมาะสมกับชีวมวลหรือของแข็งที่สมบูรณ์อาจมีการเปลี่ยนแปลงหรือเปลี่ยนสีได้เมื่อได้รับความร้อนสูง

3. การทำแห้งเยือกแข็ง (freeze drying) การแยกน้ำเกิดขึ้นโดยการระเหิดของน้ำจากชีวมวลหรือของแข็งที่แช่แข็ง การลดความดันของระบบสามารถทำได้โดยการใช้ปืนสูญญากาศ กระบวนการนี้สามารถนำมาประยุกต์ใช้กับการอบแห้งอาหารและเวชภัณฑ์ เนื่องจากการอบแห้งด้วยวิธีดังกล่าวจะทำให้สมบูรณ์ทางชีวภาพของโปรตีน วิตามิน รวมถึงสารประกอบที่มีคุณค่าข้างใน สมบูรณ์ที่ดีอยู่

4. การอบแห้งที่ภาวะเหนือวิกฤต (supercritical drying) เช่น การอบแห้งด้วยไอน้ำร้อนขวดยิ่ง (superheated steam drying) กระบวนการนี้เหมาะสมกับการอบแห้งพลาสติกที่อาหาร เพราะจะทำให้สามารถกำจัดน้ำออกໄไปได้ที่อุณหภูมิต่ำรวมถึงความดันในระบบที่ต่ำลง

ดังนั้น โครงการนิวัชันนี้จึงมีจุดประสงค์เพื่อศึกษาผลกระทบของปริมาณความชื้น สภาวะและวิธีการอบแห้งสาหร่ายเตาในระหว่างการอบแห้งด้วยพลังงานแสงอาทิตย์ การอบแห้งด้วยลมร้อน และการอบแห้งด้วยคลื่นไมโครเวฟ ต่อการเปลี่ยนแปลงคุณภาพสี ปริมาณสารออกฤทธิ์ที่สำคัญของสาหร่ายตอนแห้ง รวมทั้งการเปรียบเทียบพลังงานที่ใช้ในการอบแห้งด้วยวิธีต่างๆ เพื่อหาสภาวะที่เหมาะสมในการอบแห้งสาหร่ายเตา โดยการศึกษาดังกล่าวจะเป็นแนวทางเพื่อใช้ประโยชน์สำหรับการออกแบบสภาวะการอบแห้งสาหร่ายเตาในระดับอุตสาหกรรมต่อไป

วัตถุประสงค์ของการวิจัย

1. เพื่อศึกษาคุณลักษณะของสาหร่ายเตาสด และสาหร่ายเตาอบแห้ง ได้แก่ ค่าความชื้นเริ่มต้น และค่าความชื้นสมดุลที่สภาวะการอบแห้งต่างๆ
2. เพื่อเปรียบเทียบผลของสภาวะและวิธีการอบแห้งสาหร่ายเตาระหว่างการอบแห้งด้วยพลังงานแสงอาทิตย์ การอบแห้งด้วยลมร้อน และการอบแห้งด้วยคลื่นไมโครเวฟ ต่อการเปลี่ยนแปลงคุณภาพของสาหร่ายเตา และสารออกฤทธิ์ทางชีวภาพเพื่อหาสภาวะที่เหมาะสมในการอบแห้งสาหร่ายเตา
3. เพื่อศึกษาหาแบบจำลองทางคณิตศาสตร์ของการอบแห้งที่เหมาะสมในการดำเนินการเปลี่ยนแปลงความชื้นของสาหร่ายเตา และเปรียบเทียบพลังงานไฟฟ้าที่ใช้ในการอบแห้งด้วยวิธีต่างๆ
4. เพื่อศึกษาสภาวะที่เหมาะสมในการอบแห้งสาหร่ายเตาด้วยลมร้อนโดยใช้วิธีพื้นผิวตอบสนอง (RSM) ต่อการเปลี่ยนแปลงคุณภาพตีสารประกอบฟีโนลิกทั้งหมด ความสามารถในการด้านอนุมูลอิสระ ABTS และ DPPH คลอโรฟิลล์ เอ และบี

ประโยชน์ที่คาดว่าจะได้รับ

ความรู้ที่ได้จากการทำโครงการนี้จะเป็นประโยชน์ต่อผู้ประกอบการที่จะสามารถนำสภาวะและวิธีการอบแห้งที่เหมาะสมไปประยุกต์ใช้เพื่อลดการสูญเสียคุณภาพของสาหร่ายเตาอบแห้ง โดยผลิตภัณฑ์และสารสกัดจากสาหร่ายเตาอบแห้งสามารถนำไปใช้เป็นส่วนประกอบในการผลิตเครื่องสำอางและอาหารเสริม ซึ่งเป็นแนวทางการเพิ่มน้ำหนักในอุตสาหกรรมการอบแห้งสาหร่ายเตา

ขั้นตอนของการวิจัย

1. การทดลองใช้สาหร่ายเตาชนิด *Spirogyra neglecta* (Hassall) Kützing จากบ้านนาคุหา ตำบลสวนเขื่อน อำเภอเมือง จังหวัดแพร่
2. ทดลองอบแห้งสาหร่ายเตาในระดับห้องปฏิบัติการระหว่างการอบแห้งด้วยพลังงานแสงอาทิตย์ การอบแห้งด้วยลมร้อน และการอบแห้งด้วยคลื่นไมโครเวฟ

บทที่ 2

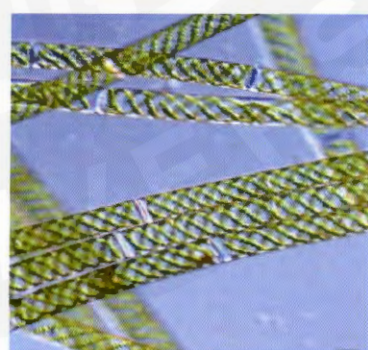
การตรวจเอกสาร

ความรู้ทั่วไปเกี่ยวกับสาหร่ายเตา

สาหร่ายเตา มีชื่อสามัญว่า “เตา” หรือ “เทา” และชื่อทางวิทยาศาสตร์ว่า *Spirogyra* sp. เป็นสาหร่ายชนิด *Spirogyra neglecta* (Hassall) Kützing (จัดการ 2550) จัดอยู่ใน Division chlorophyta, Class zygnematophyceae, Order zygnematales, Family zygnemataceae เป็นสาหร่ายน้ำจืดสีเขียวขนาดใหญ่ ลักษณะของสาหร่ายชนิดนี้จะเป็นเส้นสายยาว ไม่แตกแขนง คล้ายเส้นผมสีเขียวสด เซลล์มีรูปร่างเป็นทรงกระบอก ความกว้างของเซลล์ 50-58 μm ความยาวเป็น 2-5 เท่าของความกว้าง ในแต่ละเซลล์ประกอบด้วย 3 กลอโรมลาสต์ ซึ่งจะมีขนาด 2.0-2.5 μm รอบภายในเซลล์ ส่วนการสืบพันธุ์เป็นแบบอาศัยเพศ มีการสร้างท่อ conjugation มาเชื่อมกันระหว่างเส้นสายทั้งสองเส้น เซลล์ที่สร้างไซโคสปอร์ (zygospore) มีลักษณะบวมเล็กน้อย โดยไซโคสปอร์ดังกล่าวมีลักษณะเป็นรูปไข่หรือวงรี ผิวเรียบ สีน้ำตาลเข้ม ขนาดความกว้าง 54-58 μm และยาวเป็น 1.5 เท่าของความกว้าง (ภาพ 1) หากเกิดรวมกันเป็นก้อนในน้ำนิ่ง อาจอยู่ที่ก้นบ่อ ก้อนดิน ก้อนหิน หรืออาจจะลอกออกเป็นริเวณผิวน้ำ สาหร่ายชนิดนี้เจริญในน้ำนิ่ง น้ำมีคุณภาพดีถึงปานกลาง น้ำใส มีความขุ่นไม่เกิน 10 NTU อุณหภูมิ 15-27°C ค่า pH 6.0-7.8 พบรากในแม่น้ำและแม่น้ำ ตะวันออกเฉียงเหนือของประเทศไทย ชาวบ้านนิยมนำมารับประทานเป็นอาหารพื้นบ้านคือ ยำเตา สด หรือนำมาแปรรูปเป็นข้าวเกรียบเตา



(a)



(b)

ภาพ 1 สาหร่ายเตาชนิด *Spirogyra neglecta* (Hassall) Kützing; (a) ในธรรมชาติ, (b) ภายใต้กล้องจุลทรรศน์

ที่มา: ยุวดี และคณะ (2555)

สาหร่ายเตามีคุณค่าทางโภชนาการสูง ดังแสดงในตาราง 1 มีโปรตีนอยู่ในระดับ กอตเดียงกับปานานี้จี รวมทั้งยังมีรังควัตถุหลายชนิด เช่น คลอโรฟิลล์อ และบี เบต้าแคโรทีน แซน โทฟิล นอกจากนี้ยังพบว่ามีฤทธิ์ต้านอนุมูลอิสระ ซึ่งสารอนุมูลอิสระมีบทบาทสำคัญในการเกิดการ อักเสบ การทำลายเนื้อเยื่อ มีผลต่อความเสื่อมหรือการแก่ของเซลล์ และยังเป็นสาเหตุสำคัญของการ เกิดภาวะแทรกซ้อนในโรคเบาหวาน อีกด้วย ฤทธิ์ลดน้ำตาลและไขมันในเลือดในภาวะเบาหวาน และยังมีฤทธิ์ต้านเอนไซม์ไทโรสิเนส ช่วยป้องกันการเกิดฝ้าและจุดด่างดำ ช่วยให้ผิวขาว มีสาร เมือกหรือมอยเจอร์ไเรเซอร์ ช่วยให้ความชุ่มชื้นแก่ผิวนัง และกระตุ้นการสร้างโปรดอลานเจนที่มี ผลต่อการสร้างเนื้อเยื่อผิวนัง

ตาราง 1 คุณค่าทางโภชนาการและสารอาหารในสาหร่ายเตา

สารอาหาร	%
โปรตีน	18.63
คาร์โบไฮเดรต	56.31
ไขมัน	5.21
เส้นใย	7.66
อื่นๆ	12.19

ที่มา: ชีรัวฒน์ และคณะ (2554)

สารต้านอนุมูลอิสระและความสามารถในการต้านอนุมูลอิสระ

ในปัจจุบันผู้บริโภคได้ให้ความสำคัญกับเรื่องสุขภาพ อาหาร และความสวยงาม มากขึ้น โดยผลิตภัณฑ์ที่มีส่วนประกอบของสารสกัดจากธรรมชาติและสมุนไพรที่มีสารต้านอนุมูล อิสระ จึงเป็นสารที่มีผู้บริโภคให้ความสนใจ เนื่องจากสารที่มีฤทธิ์ต้านอนุมูลอิสระสามารถช่วย ชะลอการเสื่อมสภาพของเซลล์ในร่างกาย รวมทั้งสามารถป้องกันกลืนหินของอาหาร ซึ่งเป็นการ เสื่อมเสียของอาหาร (food spoilage) เนื่องจากปฏิกิริยาทางเคมี หรือการเกิดปฏิกิริยาสีน้ำตาลในผัก และผลไม้ เป็นต้น ในที่นี้จะกล่าวถึงสารต้านอนุมูลอิสระในกลุ่มของสารประกอบฟีโนลิกซึ่งเป็น สารต้านออกซิเดชันที่สำคัญชนิดหนึ่งที่พบในสาหร่ายเตา ซึ่งอาจใช้เป็นตัวกำหนดมาตรฐานในการ นำสาหร่ายเตามาพัฒนาเป็นผลิตภัณฑ์อาหารสุขภาพและเครื่องสำอาง

สารประกอบฟีโนลิก

สารประกอบฟีโนลิก (phenolic compound) หรือสารประกอบฟีโนอล เป็นสารต้านอนุมูลอิสระชนิดหนึ่งที่อยู่ในกลุ่ม polyphenolic ซึ่งสารที่อยู่ในกลุ่มนี้คือสารประกอบฟีโนลิก flavonoids, flavones, gallic acid, ellagic acid, lignin, tannin, anthocyanins, carotenoids และอนุพันธ์ของ cinnamic acid (Cowan, 1999; Helmja et al., 2007) เป็นสารที่ให้สีสันแก่พืช สารประกอบฟีโนลิกมีมากกว่า 8,000 ชนิด จัดเป็นสารต้านอนุมูลที่ได้รับจากภายนอก พนได้มากในธรรมชาดและอาหารหรือเครื่องดื่มที่ผลิตจากพืชหลายชนิด เช่น ผัก ผลไม้ เครื่องเทศ สมุนไพร เมล็ดธัญพืชต่างๆ (Shahidi et al., 1992; Kinsella et al., 1993; Chen et al., 1996; วาริน, 2543; วาริน, 2546; ศรีจันทร์, 2546; โอกา และคณะ, 2549; ปริyanuch, 2551)

สารประกอบฟีโนลิกนอกจากจะมีคุณสมบัติเป็นสารต้านอนุมูลอิสระแล้วยังมีคุณสมบัติอื่นๆ เช่น ฤทธิ์ต้านแบคทีเรีย ต้านไวรัส ต้านการอักเสบ ช่วยขยายหลอดเลือด ต้านโรคภูมิแพ้ ทำลายเชื้อโรคที่เข้าสู่ร่างกาย รวมถึงเป็นสารกระตุ้นให้สร้างภูมิคุ้มกัน ต้านมะเร็ง และยังช่วยในการถอนอาหาร ป้องกันการเกิดปฏิกิริยาออกซิเดชันของไขมัน โดยใช้เป็นสารกันทึนในอาหาร (lipid oxidation) การวิเคราะห์หาสารประกอบฟีโนลิกส่วนใหญ่นิยมหาอุอกมาในรูปของกรดแกลลิก (gallic acid)

การตรวจวิเคราะห์ความสามารถในการต้านอนุมูลอิสระมีด้วยกันหลายวิธี การตรวจวิเคราะห์ด้วยวิธี Trolox Equivalent Antioxidant Capacity Assay (TEAC) ซึ่งการวิเคราะห์ด้วยวิธีนี้ โดยทั่วไปจะมีการสร้างอนุมูลอิสระที่ทราบความเข้มข้นที่แน่นอน และวิเคราะห์ความสามารถในการยับยั้ง หรือขัดคัดอนุมูลอิสระของสารตัวอย่าง โดยวัดปริมาณอนุมูลอิสระที่ลดลงหรือที่เหลือ วิธี Scavenging activity of ABTS radical เป็นวิธีวัดทางอ้อมโดยใช้สาร 2,2'-azinobis(3-ethylbenzothiazoline-6-sulfonic acid) (ABTS) ทำให้เกิดอนุมูล ABTS⁺ เป็นการวัดความสามารถในการขัดคัดอนุมูล ABTS⁺ ที่มีสีเขียวปนน้ำเงิน ข้อดีของวิธีนี้คือสะดวก รวดเร็ว และง่ายต่อการวิเคราะห์ สามารถวิเคราะห์ปริมาณสารอนุมูลอิสระที่เหลือจากการทำปฏิกิริยาโดยวัดค่าการดูดกลืนแสงที่ลดลง ทำการวิเคราะห์ได้ทั้งในน้ำและตัวทำละลายอินทรีย์ (โอกา และคณะ, 2549; เสาร์นีย์ และคณะ, 2554) และวิธี DPPH (2,2-diphenyl-1-picrylhydrazyl) radical อนุมูล DPPH[·] เป็นอนุมูลในโครงurenที่คงตัว มีสีน้ำเงิน อยู่ในรูปอนุมูลอ่อน弱แล้ว โดยไม่ต้องทำปฏิกิริยาเพื่อให้เกิดอนุมูล การวิเคราะห์เป็นการวัดความสามารถของสารทดสอบในการกำจัดอนุมูลอิสระ โดยวิธีให้ไฮโคลเรนอะตอน การวัดทำโดยใช้เครื่องวัดค่าการดูดกลืนแสง (spectrophotometer) วัดการลดลงของสี เมื่อเติมสารต้านออกซิเดชันลงไป โดยวัดการดูดกลืนแสงที่ความยาวคลื่น 517 nm DPPH radical ใช้ในการทดสอบความสามารถในการทำลายอนุมูลอิสระของสารตัวอย่าง

(scavenging activity) สารละลายนอง DPPH⁻ มีสีน้ำเงินในอุตสาหกรรม และเมื่อได้รับ H จะเปลี่ยนเป็นสารละลายน้ำ (Blois, 1958)

รงควัตถุหรือสารสีในอาหาร

สีเป็นปัจจัยที่สำคัญที่สุดในการประเมินคุณภาพของอาหารทางประสาทสัมผัส เพราะผู้บริโภคจะพิจารณาคุณภาพของอาหารจากสีเป็นอันดับแรก สีของอาหารเกิดจากการงควัตถุ หรือสารสี ซึ่งอาจเป็นรงควัตถุที่เกิดขึ้นเองตามธรรมชาติ หรือเกิดจากการสังเคราะห์ที่เติมลงไปในอาหารเพื่อให้อาหารมีสีสนับสนุนที่ต้องการ รงควัตถุที่มีอยู่ในอาหารที่ได้จากพืช สามารถจำแนกออกเป็น 4 กลุ่ม คือ คลอโรฟิลล์ (chlorophyll) แครอทีโนเจด (carotenoid) รงควัตถุทั้ง 2 ชนิด คล้ายได้ในลิพิด ส่วนรงควัตถุที่คล้ายได้ในน้ำ ได้แก่ แอนโธไซยาโนน (anthocyanin) และบีทาเลน (betalain) (นิติยา, 2545)

การศึกษาปริมาณรงควัตถุในสาหร่ายเดาของบุวดี และคณะ (2549) และธุติกานต์ (2550) พนว่าสาหร่ายเดามีรงควัตถุหลายชนิด ได้แก่ คลอโรฟิลล์เอ และบี เบต้า-แครอทีน (β -carotene) อัลฟ่า-แครอทีน (α -carotene) แคมม่า-แครอทีน (γ -carotene) และแซนโทฟิล ซึ่งรงควัตถุเหล่านี้มีคุณสมบัติเป็นสารต้านอนุมูลอิสระ ดังนั้นความสามารถในการต้านอนุมูลอิสระอาจเกิดมาจากการงควัตถุ และสารอื่นๆ เช่น สารประกอบฟีนอลิก ที่มีอยู่ในสาหร่ายเดา (โอภา และคณะ, 2549)

คลอโรฟิลล์

คลอโรฟิลล์เป็นรงควัตถุสีเขียวที่พบมากในพืชซึ่งมีอยู่หลาภชนิด ได้แก่ คลอโรฟิลล์เอ บี ซี และดี ซึ่งพบอยู่ในคลอโรพลาสต์ คลอโรฟิลล์เป็นรงควัตถุที่ไม่คงตัว ดังนั้น การแปรรูปอาหารจะมีผลต่อปริมาณคลอโรฟิลล์ โดยเฉพาะกระบวนการแปรรูปที่ใช้ความร้อนจะทำให้คลอโรฟิลล์เปลี่ยนเป็นสีเขียวอน้ำตาล และเปลี่ยนเป็นสีน้ำตาลในที่สุด การวิเคราะห์ปริมาณคลอโรฟิลล์ของสาหร่ายเดาสามารถวิเคราะห์ตามวิธีใน Standard Methods for the Examination of Water and Waste Water ซึ่งเป็นวิธีการมาตรฐานที่ใช้สำหรับการวิเคราะห์น้ำ น้ำเสีย และน้ำจากแหล่งต่างๆ เนื่องจากสาหร่ายเดาจัดเป็นแพลงก์ตอนพืช (phytoplankton) หรือพืชเซลล์เดียวที่มีลักษณะคล้ายพืช เนื่องจากมีคลอโรฟิลล์และผนังเซลล์เช่นเดียวกับพืช โดยคลอโรฟิลล์เป็นรงควัตถุสังเคราะห์แสงที่พบมากในแพลงก์ตอนพืชที่บังหนีชีวิตทุกชนิด จึงนิยมใช้คลอโรฟิลล์เอเป็นดัชนีถึงมวลชีวภาพของแพลงก์ตอนพืชในแหล่งน้ำ (นิติยา, 2545)

ทฤษฎีการอบแห้ง

การอบแห้งเป็นกระบวนการที่สำคัญในการถนอมอาหารหรือวัสดุทางชีวภาพให้มีอายุการเก็บรักษาที่ยาวนานขึ้น โดยการลดความชื้นหรือปริมาณน้ำอิสระในอาหารหรือวัสดุทางชีวภาพซึ่งมีผลต่อจุลินทรีย์ที่เป็นสาเหตุทำให้เกิดเน่าเสียไม่สามารถเจริญเติบโตได้ รวมทั้งยังช่วยลดการทำงานของเอนไซม์ หรือชีวภาพที่มีปฏิกิริยาด่างๆ ทั้งทางเคมีและทางชีวเคมี นอกจากนั้นการอบแห้งยังช่วยลดน้ำหนักหรือปริมาตรของอาหารหรือวัสดุทางชีวภาพทำให้ลดค่าใช้จ่ายในการขนส่ง และการเก็บรักษา (ฤทธิชัย และคณะ, 2554; สักกมน, 2555; วีໄล, 2547; กิตติพงษ์, 2540)

หลักการอบแห้ง

การอบแห้งเป็นหน่วยปฏิกรรมทางวิศวกรรมอาหารซึ่งเป็นกระบวนการถ่ายเทความร้อนไปยังอาหารหรือวัสดุทางชีวภาพที่มีความชื้นสูง เพื่อลดความชื้นหรือน้ำออกจากรายการ หรือวัสดุทางชีวภาพโดยการระเหยน้ำ ทั้งนี้คุณภาพของอาหารจะขึ้นอยู่กับกลไกการถ่ายเทความร้อนและการถ่ายเทน้ำสารในระหว่างกระบวนการอบแห้ง ทั้งนี้ความร้อนเกิดการถ่ายเทได้ 3 วิธี ได้แก่

1. การนำความร้อน (conduction) เป็นการเคลื่อนที่ของความร้อนโดยการเคลื่อนที่โดยตรงจากพลังงานของโมเลกุลภายในของแข็ง

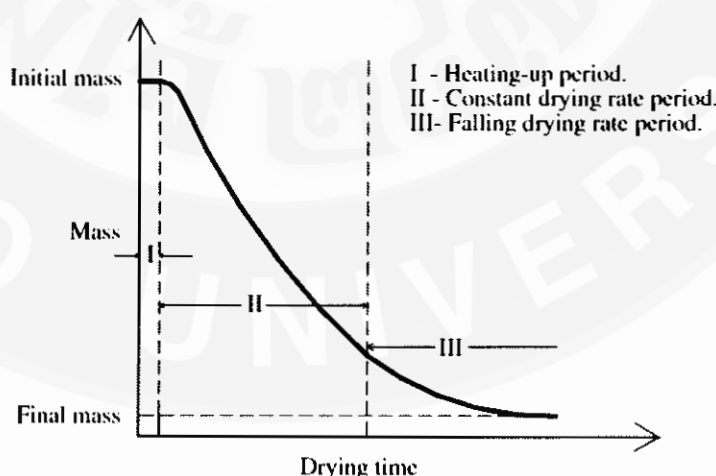
2. การพาความร้อน (convection) เป็นการถ่ายเทความร้อนโดยกลุ่มโมเลกุลที่เกิดการเคลื่อนที่เนื่องจากความหนาแน่นที่แตกต่างกัน

3. การแผ่รังสี (radiation) เป็นการถ่ายเทความร้อนของรูปแบบตัวทุกทิศทาง โดยไม่ต้องอาศัยตัวกลาง เป็นการถ่ายเทความร้อนในรูปของคลื่นแม่เหล็กไฟฟ้า การแผ่รังสีที่เกิดในช่วงความยาวคลื่น 0.1-100 μm จัดเป็นรังสีความร้อน (thermal radiation)

การเคลื่อนที่ของน้ำเมื่อได้รับพลังงานความร้อนจากภายในชิ้นอาหารหรือวัสดุทางชีวภาพอุณหภูมิเพิ่มสูงขึ้นไปด้วย การเคลื่อนที่ด้วยแรงผ่านช่องแคบ (capillary force) เป็นการเคลื่อนที่ในอาหารที่มีเซลล์โปรดักต์ และมีช่วงระหว่างเซลล์ต่อเนื่องกันเป็นทางแคบๆ ซึ่งจะทำให้เกิดแรงดันของน้ำขึ้นมาตามท่อ การเคลื่อนที่เกิดขึ้นได้สะดวกเร็ว แต่จะหยุดเมื่อน้ำในทางแคบๆ ขาดตอนลง และการเคลื่อนที่ด้วยการแพร่ (diffusion) ผ่านเซลล์ เป็นการเคลื่อนที่ในอาหารที่มีเนื้อแน่น ไม่มีช่องระหว่างเซลล์หรือเกิดในอาหารที่อบแห้งไประยะหนึ่ง แรงที่ผ่านไปในช่องแคบหนดไปแล้ว น้ำจะต้องแพร่ผ่านเซลล์ซึ่งทำให้เคลื่อนที่ได้ช้า (วีໄล, 2547; กิตติพงษ์, 2540)

อัตราการอบแห้ง

ฤทธิชัย (2553) ได้อธิบายว่าอัตราการระเหยน้ำ หรืออัตราการอบแห้งจะขึ้นอยู่กับปัจจัยต่างๆ การพัฒนาวิธีการอบแห้งเพื่อเพิ่มประสิทธิภาพของกระบวนการอบแห้งจึงเป็นสิ่งสำคัญที่จะช่วยรักษาคุณภาพของอาหารหรือวัสดุทางชีวภาพอนแห้งให้มีคุณภาพใกล้เคียงกับผลิตภัณฑ์สด โดยอัตราการอบแห้ง (drying rate) จะขึ้นอยู่กับสมบัติของอาหารหรือวัสดุทางชีวภาพ เช่น ความหนา ความชื้นเริ่มต้น ความชื้นสมดุล ภายใต้สภาวะการอบแห้งนั้นๆ ทั้งนี้ Idris et al. (2004) ได้อธิบายกลไกการเปลี่ยนแปลงมวลหรือความชื้นของอาหารหรือวัสดุทางชีวภาพในระหว่างกระบวนการอบแห้ง ออกเป็น 3 ตามเวลา (ภาพ 2) ได้แก่ คานเวลาที่ 1 เกิดปรากฏการณ์ถ่ายเท พลังงานความร้อนให้อาหารหรือวัสดุทางชีวภาพจนถึงอุณหภูมิของการระเหย หรือเรียกว่าการให้ความร้อนช่วงต้น (heating up period) จากนั้นน้ำอิสระบริเวณผิวน้ำของอาหารหรือวัสดุทางชีวภาพจะเกิดการระเหย โดยถ่ายเทมวลไปยังตัวกลางทางความร้อน เมื่อน้ำหรือความชื้นที่ผิวดลงน้ำในโครงสร้างชั้นในเซลล์จะเคลื่อนที่มาแทนที่ผิวน้ำเพื่อทดแทนความชื้นที่เสียไป โดยที่อัตราการระเหยน้ำที่ผิวน้ำจะเท่ากับอัตราการเคลื่อนตัวของน้ำภายในโครงสร้างเซลล์ชั้นใน เรียกคานเวลานี้ว่า คานเวลาที่อัตราการอบแห้งคงที่ (constant rate period) ซึ่งจะดำเนินต่อเนื่องไปจนกระทั่งค่าความชื้นเข้าสู่ค่าความชื้นวิกฤติ (critical moisture content) ซึ่งอัตราการถ่ายเทมวลของไอน้ำที่ผิวน้ำของอาหารหรือวัสดุทางชีวภาพมีค่าสูงกว่าอัตราการเคลื่อนตัวของน้ำภายในโครงสร้างเซลล์ชั้นใน เกิดเป็นชั้นของความแห้ง (drying front) กระบวนการอบแห้งจะเข้าสู่คานเวลาที่อัตราการอบแห้งลดลง (falling rate period)



ภาพ 2 เส้นโค้งความสัมพันธ์ของการเปลี่ยนแปลงความชื้นในระหว่างกระบวนการอบแห้ง
ที่มา: Idris et al. (2004)

ปัจจัยที่มีผลต่อการอบแห้ง

การอบแห้งคือการเคลื่อนย้ายน้ำหรือความชื้นออกจากอาหารหรือวัสดุทางชีวภาพ ปัจจัยใดๆ ที่มีผลต่อการเคลื่อนย้ายน้ำหรือความชื้นนี้จะมีผลต่ออัตราการอบแห้ง โดยปัจจัยที่มีอิทธิพลต่ออัตราการอบแห้ง ประกอบไปด้วย ลักษณะธรรมชาติของอาหารหรือวัสดุทางชีวภาพ วัสดุที่มีลักษณะเป็นรูพรุนหรือเนื้อโปรง (porosity) มากจะมีอัตราการอบแห้งเร็ว เนื่องจากน้ำในวัสดุสามารถเคลื่อนจากภายในออกมากได้ง่าย รวมทั้งวัสดุที่มีน้ำตาลสูงจะเห็นว่า เหนือนะหนะ ทำให้การเคลื่อนที่ของน้ำเป็นไปได้ช้า แต่วัสดุที่มีการลอกนวดคลึงทำให้เซลล์แตกง่าย แห้งได้เร็วกว่า ขนาด รูปร่าง ปริมาตร และพื้นที่ผิวของวัสดุก็ส่งผลต่ออัตราการอบแห้ง โดยวัสดุที่มีอัตราส่วนระหว่างพื้นที่ผิวต่อบริมาตรมาก จะมีพื้นที่ระเหยน้ำมากทำให้มีอัตราการอบแห้งเร็วขึ้น ดังนั้นวัสดุที่มีความหนามากอัตราการอบแห้งจะช้ากว่าวัสดุที่หนาน้อยกว่า เนื่องจากอัตราการอบแห้งจะเป็นสัดส่วนผกผันกับความหนาของวัสดุ ปริมาณของวัสดุที่นำมาอบแห้งก็เป็นปัจจัยหนึ่ง โดยวัสดุที่มีปริมาณมาก จะมีอัตราการอบแห้งที่ช้า เนื่องจากอากาศร้อนไม่สามารถสัมผัสถกับวัสดุที่นำมาอบแห้ง ได้อよ่างทั่วถึง ไม่สามารถถ่ายเทความร้อนให้กับวัสดุได้ ความคันนื้นเกี่ยวเนื่องกับการระเหยของน้ำ เนื่องจากในที่ความคันต่ำๆ น้ำจะเดือดได้ที่อุณหภูมิต่ำลง ดังนั้นการอบแห้งภายใต้ความคันต่ำๆ จะทำให้อัตราการอบแห้งเร็วขึ้น รวมทั้งอุณหภูมิของอากาศ การเพิ่มอุณหภูมิจะทำให้ความสามารถในการรับไอน้ำเพิ่มขึ้น จึงมีผลต่อการอบแห้งในช่วงอัตราการอบแห้งคงที่ และยังทำให้การแพร่กระจายน้ำได้ดีขึ้น เช่นกัน เนื่องจากเมื่อเพิ่มอุณหภูมิของอากาศจะทำให้ความแตกต่างของอุณหภูมิผิววัสดุและของกระแสอากาศที่ไหลอย่างอิสระมีมากขึ้น ส่งผลเกิดการถ่ายเทความร้อนและมวลสาร ได้ดีขึ้น และความเร็วของลมร้อน เมื่อเพิ่มความเร็วลมจะทำให้การเคลื่อนที่ของน้ำดีขึ้น ออกจากนั้นความเร็วลมทำให้เกิดกระแสปั่นป่วนของอากาศในเตาอากาศ จึงสัมผัสวัสดุได้ดีขึ้น (จิตราฯ และคณะ, 2546)

การเปลี่ยนแปลงคุณภาพของอาหารหรือวัสดุชีวภาพเนื่องจากการอบแห้ง

การอบแห้งมีผลต่อการเปลี่ยนแปลงคุณภาพของอาหาร เนื่องจากอาหารมีการสูญเสียน้ำและได้รับความร้อน ซึ่งการเปลี่ยนแปลงคุณภาพที่เห็นได้ชัดเจนระหว่างการอบแห้ง คือ การลดลงของน้ำ การทำลายของสารต้านอนุมูลอิสระ การทำลายของโปรตีน และความเสียหายของโครงสร้างของอาหาร การอบแห้งที่ใช้อุณหภูมิสูงจะทำให้ผิวของอาหารแข็งตัวอย่างรวดเร็ว ช่วยปิดกั้นการระเหยของน้ำจากภายในวัสดุ ไม่ให้ออกมาสู่ภายนอก เป็นผลให้อัตราการอบแห้งลดลง นอกจากการลดลงแล้วยังมีการเปลี่ยนแปลงทางเคมีเกิดขึ้นในระหว่างกระบวนการอบแห้ง รวมทั้งการเปลี่ยนแปลงทางกายภาพ เช่น สี กลิ่น เนื้อของผลิตภัณฑ์ คุณค่าทางสารอาหาร เมื่ออาหารได้รับความร้อนสูงผิวชั้นนอกจะเกิดปฏิกิริยาการเกิดสีน้ำตาล (browning reaction) ส่วนใหญ่

แล้วปฏิกริยาดังกล่าวจะทำให้สหัตไนดี ลักษณะภายนอกไม่น่าดู ทั้งนี้การเกิดสีน้ำตาลในอาหารมี 2 แบบ คือ ปฏิกริยาที่มีเอนไซม์เกี่ยวข้อง โดยการเกิดสีน้ำตาลจะเกิดเนื่องจากเอนไซม์ที่บังคับทำงานอยู่เมื่อสัมผัสกับอาหารจะเกิดสีน้ำตาล แต่ปฏิกริยาที่ไม่มีเอนไซม์เกี่ยวข้องแต่มีน้ำตาลเข้ามาเกี่ยวข้อง ซึ่งอาจแบ่งได้เป็นปฏิกริยามาลีเซชัน (caramelization reaction) ซึ่งเกิดขึ้นจากเมื่อวัสดุได้รับความร้อนที่สูงมากเกินไป ในขณะที่ปฏิกริยาเมลลาร์ด (maillard reaction) จะเกิดขึ้นเมื่อมีส่วนสารประกอบในโครงสร้าง เมื่อได้รับความร้อนสูง ผลต่อคุณค่าทางอาหาร พบว่าอาหารส่วนใหญ่จะเกิดการสูญเสียสารอาหารในระหว่างการอบแห้ง โดยจะเกิดขึ้นที่ผิวนอกของอาหาร ดังนั้นสัดส่วนของพื้นที่ผิวคือปริมาตรจึงมีความสำคัญในการอาหารสูญเสียสารอาหาร (นิติยา, 2544; สมชาติ, 2540; ราม, 2550)

น้ำในอาหาร

น้ำในอาหารนับเป็นสารประกอบหลักที่มีอยู่ในอาหาร โดยเฉพาะอาหารสด เช่น ผัก ผลไม้ เนื้อสัตว์ ไข่ นม น้ำมือทิพลด์อสมบัติ และคุณภาพด้านค่างๆ ของอาหาร ทั้งสมบัติทางกายภาพ (physical properties) ความหนืด (viscosity) สมบัติด้านเนื้อสัมผัส (textural properties) ซึ่งอาหารจะมีน้ำอยู่ระหว่าง 7-95% น้ำที่อยู่ในอาหารมักเรียกว่า ความชื้น โดยมีอยู่ในรูปน้ำอิสระ (free water) และน้ำที่เกาะเกี่ยวกับสารอื่น (bound water)

น้ำอิสระเป็นน้ำที่แทรกอยู่ในช่องว่างของอาหาร เป็นน้ำที่มีสารอื่นๆ ละลายอยู่หรือแหวนล็อกอยู่ น้ำชนิดนี้จะอยู่รอบๆ เซลล์หรืออยู่ภายในเซลล์เป็นน้ำส่วนใหญ่ที่พนในอาหาร สามารถละลายได้ แต่น้ำส่วนนี้ยังมีคุณสมบัติไม่เหมือนกับน้ำในธรรมชาติอย่างแท้จริง จึงมักเรียกน้ำส่วนนี้ว่า ออกทีฟวอเตอร์ (active water: a_w) ซึ่งหมายถึงน้ำที่ยังคงรักษาคุณสมบัติของน้ำอิสระไว้ได้ น้ำอิสระในอาหารมีผลต่อลักษณะเนื้อสัมผัสและการเก็บรักษาอาหารอย่างมาก เนื่องจากน้ำมีส่วนก่อให้เกิดการเปลี่ยนแปลงทางเคมี และทางชีวภาพของอาหาร รวมทั้งจุลินทรีย์สามารถนำไปใช้ในเจริญเติบโต และการดำรงชีวิตซึ่งเป็นสาเหตุของการเน่าเสียในอาหาร ดังนั้นการเก็บรักษาอาหารจึงนิยมใช้การระเหยน้ำอิสระออกจากอาหาร โดยการอบแห้ง อาหารแต่ละชนิดมีความชื้น หรือปริมาณน้ำอิสระไม่เท่ากัน โดยอาหารที่มีน้ำอิสระมาก (วอเตอร์แอคทิวิตี้สูง) จะเน่าเสียง่ายเนื่องจากจุลินทรีย์สามารถเจริญเติบโตได้ การทราบปริมาณน้ำอิสระในอาหารจึงมีความจำเป็นมากในการที่จะคาดเดาได้ว่าอาหารจะเสียด้วยจุลินทรีย์หรือไม่ และสามารถบอกถึงอายุการเก็บรักษาได้ (ณรงค์, 2538; วิไล, 2547)

การวัดค่าอวอเตอร์แอคทิวิตี้จะทำโดยการวัดค่าความชื้นของอาหารแล้วล้อม ซึ่งสามารถแบ่งวิธีการวัดออกเป็น 2 วิธี ได้แก่ วิธีแบบสติ๊ต (isopiestic methods) และวิธีแบบพลวัต

(dynamic methods) โดยงานวิจัยนี้เลือกใช้วิธีการหาค่าอัตราเตอร์แอกทีวิต์แบบพลวัต ซึ่งสามารถทำได้โดยการวัดค่าความชื้นสัมพันธ์ของอาหารในภาชนะปิดด้วยเครื่องมือชั้งสามารถวัดค่าความชื้นสัมพันธ์ของพื้นที่อากาศร่วงที่มีการเคลื่อนที่ภายในภาชนะปิดบรรจุอาหารด้วยเซ็นเซอร์แบบต่างๆ

การวิเคราะห์ความชื้น (moisture content) หรือปริมาณน้ำมีความสำคัญในกระบวนการแปรรูปอาหารหรือวัสดุชีวภาพ และการวิเคราะห์ทางเคมีของอาหาร เช่น อาหารที่มีความชื้นหรือน้ำมากจะเสื่อมเสียอย่างรวดเร็วเนื่องจากความร้อน สำหรับการวิเคราะห์ความชื้น เริ่มต้น และความชื้นสมดุล เพื่อที่จะนำข้อมูลดังกล่าวไปใช้ในการวิเคราะห์สมดุลมวล และสมดุลความร้อนในระหว่างการอบแห้ง

1. การวิเคราะห์ปริมาณความชื้นเริ่มต้น (initial moisture content) ความชื้นเป็นดัชนอกปริมาณน้ำที่มีอยู่ในอาหารหรือวัสดุทางชีวภาพ ซึ่งโดยทั่วไปจะนอกได้ 2 แบบ คือ เมื่อเทียบกับมวลทั้งหมดของอาหารหรือวัสดุทางชีวภาพ เรียกว่า ความชื้นน้ำหนักเปียก และเมื่อเทียบกับมวลแห้งของอาหารหรือวัสดุทางชีวภาพ เรียกว่า ความชื้นน้ำหนักแห้ง ซึ่งสมการ (1)-(2) แสดงการคำนวณค่าความชื้นทั้งสองมาตรฐาน ซึ่งความชื้นน้ำหนักแห้งนิยมใช้ในเอกสารวิชาการ เนื่องจากน้ำหนักแห้งจะมีค่าคงที่เสมอ ไม่เปลี่ยนไปตามระยะเวลาการอบแห้ง ดังนั้นจึงง่ายในการอ้างอิง

ความชื้น (น้ำหนักเปียก)

$$MC_{wh} = \frac{M_w}{M_{w+d}} \quad (1)$$

ความชื้น (น้ำหนักแห้ง)

$$MC_{dh} = \frac{M_w}{M_d} \quad (2)$$

เมื่อ MC_{wh} คือ ความชื้นน้ำหนักเปียก (g_{water}/g_{weight})

MC_{dh} คือ ความชื้นน้ำหนักแห้ง ($g_{water}/g_{dry matter}$)

M_w คือ มวลของน้ำในอาหาร (g)

M_d คือ มวลของแห้งในอาหาร (g)

M_{w+d} คือ มวลทั้งหมดของอาหาร (g)

สำหรับหน่วยของความชื้นนั้นสามารถบวกเป็นเปอร์เซ็นต์ โดยการคูณด้วย 100 และตัวย่อด้านท้าย คือ %(wb.) หมายถึง เปอร์เซ็นต์ (น้ำหนักเปียก) และ %(db.) หมายถึง

เปอร์เซ็นต์ (น้ำหนักแห้ง) สำหรับการเปลี่ยนความชื้นจากมาตรฐานหนึ่งสู่อีกมาตรฐานหนึ่งสามารถคำ算法ได้โดยใช้สมการ (3)-(4)

$$MC_{wb} = \frac{MC_{db}}{MC_{db} + 1} \quad (3)$$

$$MC_{db} = \frac{MC_{wb}}{1 - MC_{wb}} \quad (4)$$

การหา W_f น้ำหนักของอาหารหรือวัสดุทางชีวภาพสูดทায์เมื่อทราบความชื้นเริ่มต้น และความชื้นสุดท้าย ในกรณีที่ทราบน้ำหนักเริ่มต้นของอาหารที่ต้องการอบแห้ง โดยสามารถหา น้ำหนักสูดทায์ของอาหาร ได้จากสมการ (5)

$$W_f = W_i \frac{(100 - MC_i)}{(100 - MC_f)} \quad (5)$$

เมื่อ	MC_i	คือ ความชื้นเริ่มต้น (%(wb.))
	MC_f	คือ ความชื้นสุดท้าย (%(wb.))
	W_i	คือ น้ำหนักอาหารเริ่มต้นก่อนการอบแห้ง (g)
	W_f	คือ น้ำหนักอาหารสูดทায์หลังการอบแห้ง (g)

2. การวิเคราะห์ปริมาณความชื้นสมดุล (equilibrium moisture content) สามารถแบ่งวิธีการเข้าสู่สมดุลตามการเคลื่อนที่ของอากาศได้ 2 วิธี ได้แก่ วิธีเชิงสถิต (isopiestic methods) เป็นวิธีการวัดความชื้นสมดุลที่วัสดุเข้าสู่จุดสมดุลกับสภาพแวดล้อม โดยปราศจากการก่อความด้านพลศาสตร์ของอากาศหรือวัสดุ โดยนิยมนำสารเคมีที่มีความสามรถในการดูดซับความชื้นส่วนเกินมาใช้ ได้แก่ สารละลายเกลืออิ่มตัวหรือสารละลายกรด และวิธีเชิงพลวัต (dynamic methods) เป็นการปล่อยให้อาหารหรือวัสดุทางชีวภาพสัมผัสกับอากาศแวดล้อม โดยทำให้อากาศหรือผลิตภัณฑ์เคลื่อนไหว วิธีนี้อาหารหรือวัสดุทางชีวภาพจะเข้าสู่สมดุลกับสิ่งแวดล้อมอย่างรวดเร็ว จึงเหมาะสม กับผลิตภัณฑ์ที่ความชื้นสูง

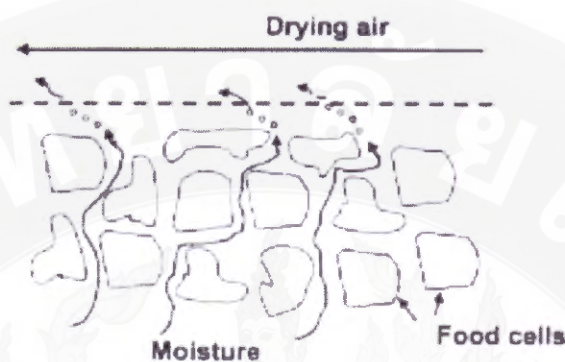
การอบแห้งด้วยพลังงานแสงอาทิตย์

การอบแห้งด้วยพลังงานแสงอาทิตย์ (open sun drying) เป็นวิธีหนึ่งของการถนอมอาหารแบบดั้งเดิมที่นิยมใช้กันในระดับครัวเรือนมาช้านาน เนื่องจากเป็นวิธีที่มีความสะดวก มีต้นทุนต่ำเมื่อเทียบกับการอบแห้งแบบอื่นๆ และมีอุปกรณ์ไม่ซุ่งยากซับซ้อน โดยหลักการอบแห้งด้วยวิธีดังกล่าว คือการให้ความชื้นออกจากวัสดุโดยการถ่ายเทความร้อนให้แก้วัสดุด้วยวิธีการพาด้วยอากาศ (convection) หรือการแผรังสี (radiation) เพื่อเพิ่มอุณหภูมิของวัสดุ ให้ความชื้นภายในกลายเป็นไออกไซเจนออกไป โดยเริ่มต้นที่พื้นผิวของวัสดุอบแห้งจนเกิดการแพร์ความชื้นภายในเนื้อวัสดุมาสู่พื้นผิว และจะถูกไออกไปด้วยวิธีการพาด้วยอากาศต่อไป ทำให้ความชื้นโดยรวมของวัสดุลดลง โดยที่ความสามารถของอากาศในการทำให้เกิดการระเหยจากวัสดุ (drying potential) จะขึ้นอยู่กับอุณหภูมิและความชื้นสัมพัทธ์ของอากาศ รวมถึงความเร็วลมที่นำพาความร้อน ซึ่งวิธีการดังกล่าวจะใช้เวลานาน อีกทั้งยังทำให้ผลิตภัณฑ์มีคุณภาพไม่แน่นอน การควบคุมคุณภาพทำได้ยาก เนื่องจากคุณภาพของผลิตภัณฑ์จะขึ้นอยู่กับลักษณะอากาศและช่วงเวลาที่ใช้ในการตากแดด รวมทั้งอาจเกิดการปนเปื้อนฝุ่นละอองและอาจมีแมลงซึ่งเป็นสาเหตุของการปนเปื้อนเชื้อจุลทรรศ์ ซึ่งอาจส่งผลให้ผลิตภัณฑ์อบแห้งไม่เป็นที่ยอมรับในด้านคุณภาพได้

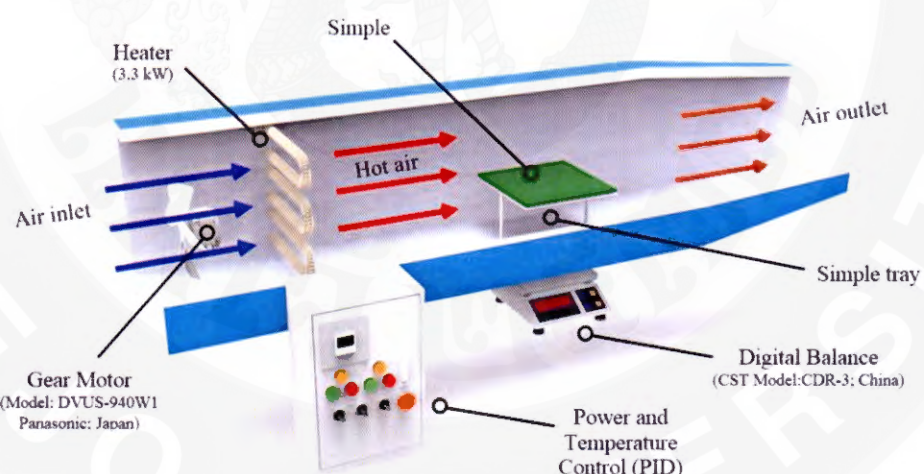
การอบแห้งด้วยลมร้อน

การอบแห้งด้วยลมร้อน (hot air drying) เป็นวิธีการอบแห้งที่นิยมใช้กันมาก เนื่องจากมีความสะดวกต่อการปฏิบัติงานและเป็นกระบวนการที่ควบคุมได้ง่าย และไม่ซับซ้อนรวมทั้งขึ้นอยู่กับต้นทุนในการดำเนินงานที่ต่ำ ภาค 3 แสดงกลไกการถ่ายเทความร้อนของกระบวนการอบแห้ง เมื่ออากาศหรือลมร้อนพัดผ่านหน้าอาหารที่เปียก ความร้อนจะถูกถ่ายเทไปสู่ผิวของอาหารหรือวัสดุ ทางชีวภาพ และน้ำหรือความชื้นจะเกิดการระเหยออกมารด้วยความร้อนแห้งของเกิดไอ (latent heat of vaporization) ส่วนความชื้นที่อยู่ภายในจะถูกดูดซึมน้ำ พร้อมกับการระบายความชื้นที่อยู่กับตัวอาหาร โดยอัตราการแพร์กระจาดความชื้นจะขึ้นอยู่กับคุณภาพของการถ่ายเทความร้อน และความแตกต่างของอุณหภูมิ โดยไอน้ำจะแพร์ผ่านฟิล์มอากาศและถูกพัดพาไปโดยลมร้อนที่เคลื่อนที่ กระบวนการดังกล่าวจะทำให้ความดันไอน้ำที่ผิวน้ำของอาหารต่ำกว่าความดันไอน้ำในอาหาร เป็นผลให้เกิดความแตกต่างของความดันไอน้ำ ชั้นด้านในของอาหารจะมีความดันไอน้ำสูงและค่อนข้างต่ำ ลดต่ำลงเมื่อชั้นอาหารเข้าใกล้อากาศแห้ง ความแตกต่างนี้ทำให้เกิดแรงดันเพื่อไอน้ำออกจากอาหาร แต่ยังไร์ก์ตามการอบแห้งด้วยลมร้อน ด้วยมีตัวกลางทางความร้อนเพื่อถ่ายเทพลังงานไปสู่ความชื้นภายในอาหาร ทำให้ต้องใช้เวลาในการระเหยความชื้นออกจากชั้นใน โครงสร้างเซลล์ของอาหาร จึงส่งผลดีต่อคุณภาพของ

อาหารในด้านต่าง ๆ เช่น อาหารเกิดการหดตัว การเกิดเปลือกแข็ง การสูญเสียคุณค่าทางอาหาร สารระเหย การเปลี่ยนแปลงสี และการเกิดสีน้ำตาล เป็นต้น (วิໄລ, 2547)



ภาพ 3 การถ่ายเทความชื้นออกจากอาหารหรือวัสดุทางชีวภาพในระหว่างการอบแห้ง
ที่มา: วิໄລ (2547)



ภาพ 4 แผนภาพของเครื่องอบแห้งแบบถาด
ที่มา: ปองพล และ ฤทธิชัย (2557)

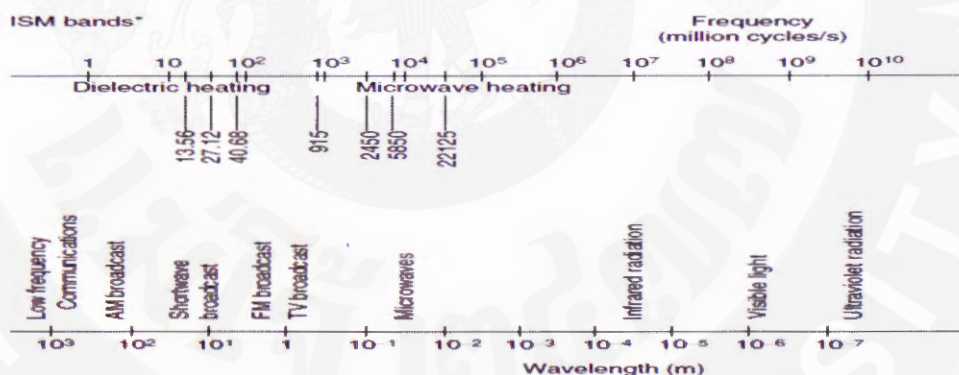
เครื่องอบแห้งที่ใช้ในอุตสาหกรรมส่วนใหญ่จะมีคนวนໄว้เพื่อป้องกันการสูญเสียความร้อน และทำให้สามารถนำอากาศมาหมุนเวียนใช้ใหม่เพื่อประหยัดพลังงาน โดยเครื่องอบแห้ง

ในปัจจุบันมีหลายชนิด ซึ่งในบทนี้จะกล่าวถึงเครื่องอบแห้งแบบถาด (tray dryer) ภาพ 4 แสดง แผนภาพของเครื่องอบแห้งแบบถาด

เครื่องอบแห้งแบบถาดประกอบด้วยถาดเดียวๆ ที่มีช่องทางเข้าออกอยู่ด้านล่างและบุคัวญ ฉนวน โดยอากาศร้อนจะไหลเวียนอยู่ในตู้ที่ความเร็วลม 0.5-5 m/s มีระบบห่อหือรือแบบไฟลเพื่อนำ ลมร้อนขึ้นไปด้านบนผ่านแต่ละถาดเพื่อให้ลมร้อนกระจายอย่างสม่ำเสมอ อาจมีการติดตั้งเครื่องทำ ความร้อนเพิ่มด้านบนหรือด้านข้างของถาดเพื่อเพิ่มอัตราการอบแห้ง เครื่องอบแห้งชนิดนี้นิยมใช้ ในการผลิตอาหารในปริมาณต่ำ ใช้เงินลงทุนและค่าดูแลรักษาต่ำ

การอบแห้งด้วยคลื่นไมโครเวฟ

คลื่นไมโครเวฟจัดเป็นนวัตกรรมการสร้างความร้อนด้วยคลื่นแม่เหล็กไฟฟ้าที่มี ประสิทธิสูง ซึ่งสามารถสร้างความร้อนภายในตัวผลผลิตทางการเกษตรได้ดี และไม่มีผลกระทบ จากการถ่ายเทความร้อนผ่านตัวกลาง ดังนั้นการประยุกต์ใช้คลื่นไมโครเวฟในกระบวนการอบแห้ง ผลผลิตทางการเกษตร จึงเป็นแนวทางเพิ่มประสิทธิภาพของกระบวนการอบแห้ง (ฤทธิชัย, 2553)



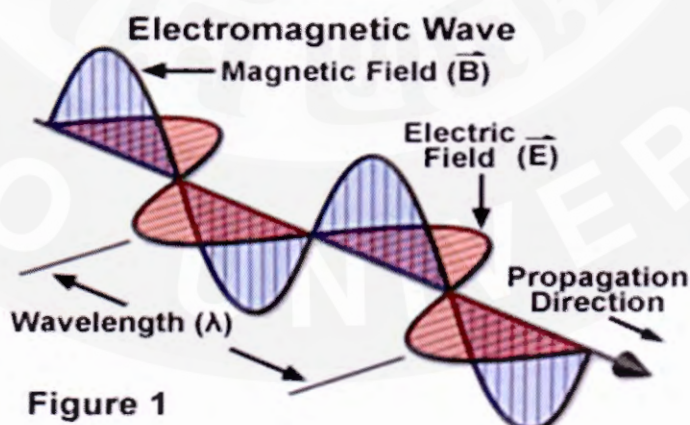
ภาพ 5 แผนスペกตรัมของคลื่นแม่เหล็กไฟฟ้า

ที่มา: พดุงศักดิ์ (2551)

เทคโนโลยีการอบแห้งด้วยคลื่นไมโครเวฟ (microwave drying technology) เป็น นวัตกรรมการสร้างความร้อนที่มีประสิทธิภาพสูง คลื่นไมโครเวฟเป็นคลื่นแม่เหล็กไฟฟ้า ซึ่งคลื่น แม่เหล็กไฟฟ้าจะมีลักษณะเฉพาะทั้งความยาวคลื่น (wavelength: λ) และความถี่ (frequency: f) ดัง แสดงในภาพ 5 ซึ่งจะเห็นได้ว่าคลื่นแม่เหล็กไฟฟ้าในหนึ่งรอบคลื่นจะมีการผสมผสานกันของทั้ง

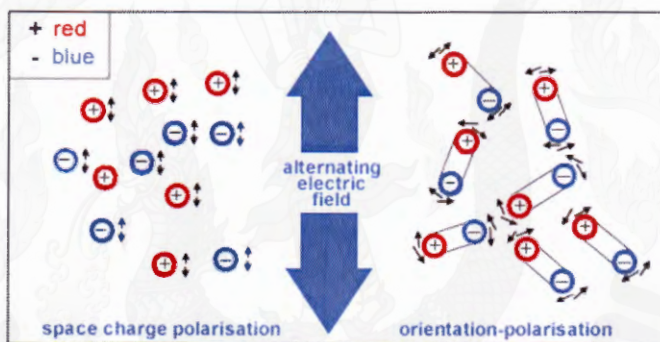
สนามไฟฟ้า (electric field) และสนามแม่เหล็ก (magnetic field) คลื่นในโครเวฟใช้ย่านความถี่ตั้งแต่ 300 MHz ถึง 300 GHz อยู่ในช่วงความยาวคลื่น 1 mm ถึง 1 m จากข้อตกลงของคณะกรรมการระดับนานาชาติว่าด้วยการจัดสรรคลื่นความถี่ด้วยวัตถุประสงค์ทางค้านอุตสาหกรรม วิทยาศาสตร์ และทางค้านการแพทย์ (Industrial Scientific and Medical: ISM) ในทางปฏิบัติของ การประยุกต์ใช้คลื่นเพื่อสร้างความร้อน เช่น ในกระบวนการอบแห้งซึ่งจะสามารถกระทำได้ที่ ความถี่เท่ากับ 13.56, 27.12, 40.68, 915 และ 2,450 MHz

คลื่นแม่เหล็กไฟฟ้าในช่วงย่านความถี่ในโครเวฟไม่ใช่พลังงานความร้อนแต่คลื่นเหล่านี้สามารถเปลี่ยนแปลงเป็นความร้อนได้เมื่อเกิดอันตรายร้ายกับวัสดุ (lossy material) เมื่อพิจารณาประเด็นในภาพ 6 จะเห็นว่าคลื่นแม่เหล็กไฟฟ้า คือ คลื่นซึ่งมีพลังงานและแอมเพลจูดเปลี่ยนแปลงไปเมื่อเคลื่อนที่ผ่านตัวกลาง ยกตัวอย่างเช่น เมื่อทำการพิจารณาแยกส่วนของ สนามไฟฟ้า (E) จะพบว่าบางจุดบนคลื่นมีค่าเป็นศูนย์จากนั้นจะเพิ่มขึ้นจนถึงจุดสูงสุดและสลายลดลงกลับมาที่ศูนย์ และเริ่มเพิ่มขึ้นจนถึงจุดสูงสุดอีกรีดในทิศทางของขั้วตรงข้ามก่อนสลายกลับมาที่ศูนย์อีกรีดโดยสิ่งเดียวก็เกิดขึ้นนี้ก็เช่นเดียวกับการณ์มีของสนามแม่เหล็ก (B) นอกจากนี้ค่าแอมเพลจูดตลอดแกน X ของคลื่นแทนกำลังของสนามไฟฟ้าและแม่เหล็กซึ่งวัดในหน่วยของ โวลต์หรือแอมป์ร์ต่อหน่วยระยะทาง ตามลำดับ และการเปลี่ยนแปลงแบบสลับข้ามไปมาและคล่อง จนกระทั่งมีค่าเป็นศูนย์เป็นสามัญให้เกิดแรงเกินกระทำต่อไอออน อะตอมและโมเลกุล ซึ่งสามารถเปลี่ยนไปเป็นความร้อนในที่สุด โดยหากกำลังของสนามมีค่ามากจะยิ่งส่งผลกระทบต่อการเปลี่ยนแปลงมากขึ้นตามไปด้วย (พดุงศักดิ์, 2551)



ภาพ 6 ไดอะแกรมแสดงลักษณะการเคลื่อนที่ของคลื่นแม่เหล็กไฟฟ้า
ที่มา: พดุงศักดิ์ (2551)

เมื่อคลื่นไมโครเวฟถูกดูดซับเข้าสู่อาหารจะเกิดความร้อน 2 แบบ ประกอนไปด้วย กลไกการเหนี่ยวนำเชิงไอออน (ionic conduction) และกลไกชนิดการหมุนของห้องสองขั้ว (dipolar rotation) ภาพ 7 แสดงกลไกการเหนี่ยวนำเชิงประจุไอออนภายใต้สถานไฟฟ้า โดยผลกระทบการเหนี่ยวนำจะทำให้ประจุไอออนข่วนวกกับขั้วนกเกิดการสั่นและการหมุน เกิดการเสียดสีกันระหว่าง โมเลกุลจนเกิดเป็นพลังงานความร้อน การเกิดความร้อนด้วยคลื่นไมโครเวฟในผลผลิตทาง การเกษตรสามารถช่วยในลักษณะของการทึ่คลื่นไมโครเวฟเหนี่ยวนำให้โมเลกุลของน้ำภายใน วัสดุทางการเกษตรเกิดการหมุนเนื่องจากการเปลี่ยนแปลงขั้วไฟฟ้าอย่างรวดเร็ว ผลของการหมุนนี้ ทำให้เกิดการเสียดสีของโมเลกุลของน้ำภายในวัสดุ ก่อให้เกิดความร้อนในผลผลิตทางการเกษตร ได้อย่างรวดเร็ว (Assawarachan and Noomhorm, 2008)



ภาพ 7 กลไกการเหนี่ยวนำเชิงไอออนและกลไกชนิดการหมุนของห้องสองขั้ว
ที่มา: PÜSCHNER Microwave Power System (no date)

การอบแห้งด้วยคลื่นไมโครเวฟ (microwave drying) เป็นนวัตกรรมการสร้างความร้อนด้วยคลื่นแม่เหล็กไฟฟ้าที่มีประสิทธิภาพสูง สามารถสร้างความร้อนทั่วบริเวณผิวนอกและภายในโครงสร้างเซลล์ของผลิตภัณฑ์จึงช่วยเร่งอัตราการอบแห้ง ได้เป็นอย่างดี โดยไม่มีผลกระทบจากการถ่ายเทความร้อนในระหว่างการอบแห้ง การอบแห้งด้วยคลื่นไมโครเวฟจึงเป็นอีกแนวทางหนึ่งในการเพิ่มประสิทธิภาพของการอบแห้ง แต่อย่างไรก็ตามการอบแห้งที่มีอัตราการถ่ายเทน้ำที่เร็วเกินไป บางครั้งอาจเกิดผลเสียด้วยเนื้อสัมผัสได้ในบางกรณี นอกจากนี้มักพรอยใหม่ในบางคำแนะนำของผลิตภัณฑ์เนื่องจากความไม่สม่ำเสมอของคลื่นแม่เหล็กไฟฟ้า ไม่สามารถควบคุม อุณหภูมิกายในของอาหารหรือวัสดุชีวภาพในระหว่างการอบแห้ง และบริเวณผิววัสดุจะเกิดการ

ใหม่เนื่องจากได้รับความร้อนมากเกินไป และยังมีข้อจำกัดเนื่องจากมีต้นทุนในการผลิตสูง (รุ่งภา, 2549; น้ำฝน และคณะ, 2555)

การอบแห้งด้วยแสงอาทิตย์ การอบแห้งด้วยลมร้อน และการอบแห้งด้วยคลื่นในโคลเวฟ ซึ่งการอบแห้งแต่ละวิธีมีข้อได้เปรียบ และข้อจำกัดในลักษณะต่างกันไป โดยตาราง 2 จะเปรียบเทียบข้อได้เปรียบและข้อจำกัดในทางด้านต่างๆ ของวิธีการอบแห้งที่กล่าวมา

ตาราง 2 การเปรียบเทียบข้อได้เปรียบและข้อจำกัดของวิธีการอบแห้งแบบต่างๆ

วิธีการอบแห้ง	ข้อได้เปรียบ	ข้อจำกัด
การอบแห้งด้วยแสงอาทิตย์ (open sun drying)	มีขั้นตอนการใช้งานง่าย มีอุปกรณ์ไม่ยุ่งยากซับซ้อน และมีต้นทุนต่ำ	ใช้ระยะเวลาในการอบแห้งนาน คุณภาพไม่แน่นอน การควบคุมคุณภาพทำได้ยาก และอาจเกิดการปนเปื้อนฝุ่นละอองและแมลง
การอบแห้งด้วยลมร้อน (hot air drying)	เป็นวิธีที่ง่ายต่อการควบคุม กระบวนการ และมีค่าใช้จ่ายในกระบวนการอบแห้งต่ำ	ใช้เวลาในการอบแห้งนาน อาจทำให้ผลิตภัณฑ์เกิดการสูญเสียคุณภาพได้
การอบแห้งด้วยไมโครเวฟ (microwave drying)	มีอัตราการอบแห้งที่เร็ว ใช้เวลาในการอบแห้งสั้น และช่วยลดการหดตัวของผลิตภัณฑ์ได้	มีความยุ่งยากในการควบคุม อุณหภูมิ การกระจายความร้อน เนื้ออาหารไม่สม่ำเสมอทำให้อาหารเกิดการไหม้เป็นชุดๆ ไม่เหมาะสมกับอาหารที่มีความหนามากเนื่องจากข้อจำกัดในการหล่อหลอมของคลื่น มีค่าใช้จ่ายเกี่ยวกับการลงทุนการใช้งานของเครื่องมือค่อนข้างสูง และต้องเปลืองพลังงาน

แบบจำลองทางคณิตศาสตร์ของการอบแห้ง

แบบจำลองทางคณิตศาสตร์ของการอบแห้งเป็นการจำลองสภาวะการอบแห้งและศึกษาผลกระทบของปัจจัยต่างๆ ของกระบวนการ ตลอดจนการทดลองและเปรียบเทียบกันในของวิธีการอบแห้ง เพื่อกำหนดสภาวะที่เหมาะสมแทนการทดลองจริง เนื่องจากมีความสะดวกและช่วยประหยัดค่าใช้จ่ายในการทดลอง ทั้งนี้การจำลองทางคณิตศาสตร์การอบแห้งจะช่วยให้ได้ข้อมูลจำนวนมาก ซึ่งสามารถนำไปใช้ในการหาสภาวะที่เหมาะสมที่สุดของการอบแห้งอาหารหรือวัสดุทางชีวภาพได้อย่างรวดเร็ว (สักกมん., 2555) โดยแบบจำลองทางคณิตศาสตร์ของการอบแห้งสามารถจำแนกออกเป็น 3 ประเภท ได้แก่ แบบจำลองทางทฤษฎี (theoretical model) แบบจำลองกึ่งทฤษฎี (semi-theoretical model) และแบบจำลองเอนพิริคัล (empirical model)

รายงานวิจัยที่เกี่ยวข้องกับการอบแห้งอาหารหรือวัสดุชีวภาพจำพวกผักและผลไม้ นิยมใช้แบบจำลองทางคณิตศาสตร์ของการอบแห้งในรูปของแบบจำลองเอนพิริคัล ซึ่งเป็นแบบจำลองอย่างง่าย สามารถใช้ทำนายอัตราลดลงของสารอาหารเปลี่ยนแปลงตามชั้นของอาหารหรือวัสดุทางชีวภาพโดยอาศัยการปรับค่าคงที่ของแบบจำลองหรือการปรับเส้นโค้ง (curve fitting) ให้ผลการจำลองสอดคล้องกับผลการทดลอง เช่น แบบจำลองของ Newton, Henderson and Pabis, Page, Modified Page, Wang and Singh, Midilli et al. และ Logarithmic ตาราง 3 แสดงรูปแบบความสัมพันธ์ของแบบจำลองทางคณิตศาสตร์แบบต่างๆ (Alibas, 2007; Wang et al., 2007; Ozkan et al., 2007; สุเนตร และ ฤทธิชัย, 2554; Doymaz, 2006)

ตาราง 3 แบบจำลองทางคณิตศาสตร์ของการอบแห้งในรูปของแบบจำลองเอนพิริคัล

model name	model equation	reference
Newton	$MR = \exp(-kt)$	McMinn (2006)
Page	$MR = \exp(-kt^n)$	Pongtong et al. (2011)
Modified Page	$MR = \exp(-(kt)^n)$	Evin (2012)
Midilli et al.	$MR = a \exp(-kt^n) + bt$	Assawarachan and Noomhorm (2011)
Henderson and Pabis	$MR = a \exp(-kt)$	Assawarachan and Noomhorm (2011)
Logarithmic	$MR = a \exp(-kt) + c$	Evin (2012)
Wang and Singh	$MR = 1 + at + bt^2$	Evin (2012)

นอกจากนี้แบบจำลองเอนพิริคัลแล้วยังมีแบบจำลองที่นิยนใช้ในการทำนายการเปลี่ยนแปลงความชื้นในระหว่างการอบแห้ง ได้แก่ แบบจำลองกิงทุณภู ซึ่งมีความสัมพันธ์อยู่ในรูปกฎข้อที่สองของฟิก (Fick's second law) ในสภาวะการแพร่ความชื้นที่ไม่คงที่สามารถใช้ในการหาอัตราส่วนความชื้นดังแสดงในสมการ (6) สำหรับวัสดุที่มีรูปทรงเป็นแผ่นระนาบที่มีความยาวมากๆ (infinite slab) และมีความหนาครึ่งหนึ่งของตัวอย่างอาหารหรือวัสดุชีวภาพ เช่น กล้วยฉานสาหร่ายทะเลแห่น (สุนทร และ ฤทธิชัย, 2554; Wang et al., 2007)

$$MR = \frac{8}{\pi^2} \exp\left(-\pi^2 \frac{D_{eff} \cdot t}{4L^2}\right) \quad (6)$$

เมื่อ	MR	คือ อัตราส่วนความชื้น
	D_{eff}	คือ สัมประสิทธิ์การแพร่ความชื้นประสีทธิผล (m^2/s)
	L	คือ ความหนาครึ่งหนึ่งของตัวอย่าง (m)
	t	คือ เวลาในการอบแห้ง (s)

ค่าสัมประสิทธิ์การแพร่ความชื้นประสีทธิผลสามารถคำนวณจากค่าความชัน (slope) ของกราฟเส้นตรงซึ่งเป็นความสัมพันธ์ระหว่าง $\ln(MR)$ และเวลาในการอบแห้ง (t) ดังแสดงในสมการ (7)

$$slope = -\frac{\pi^2 \cdot D_{eff}}{4L^2} \quad (7)$$

การวิเคราะห์พลังงานกระตุ้นสำหรับการแพร่ (activation energy for diffusion: E_a) ด้วยสมการอาเรเนียส (Arrhenius equation) ดังแสดงในสมการ (8) สำหรับการอบแห้งด้วยลมร้อน และสมการ (9) สำหรับการอบแห้งด้วยคลื่นไนโตรเจน (Pongtong et al., 2011; Özbek and Dadali, 2007; สุนทร และ ฤทธิชัย, 2554)

$$D_{eff} = D_0 \exp\left(-\frac{E_a}{RT}\right) \quad (8)$$

เมื่อ	D_0	คือ ปัจจัยก่อนเลขที่กำลัง ($1/\text{min}$)
	E_a	คือ พลังงานกระตุ้นของการอบแห้งด้วยลมร้อน (kJ/mol)

- R คือ ค่าคงที่ของก้าซ มีค่าเท่ากับ 0.008314 (kJ/mol K)
 T คือ อุณหภูมิของอากาศที่ใช้ในการอบแห้ง (K)

$$k = k_0 \exp\left(-\frac{E_a \cdot m}{P}\right) \quad (9)$$

เมื่อ	E_a	คือ พลังงานกระดุนของการอบแห้งด้วยคลีนในໂຄຣເວີ່ມ (W/g)
	k	คือ ค่าคงที่การอบแห้ง (1/min)
	k_0	คือ ແພກເຕອີຣ໌ຄວາມດື່ມ (1/min)
	m	คือ ນ້ຳໜັກຂອງຕ້ວອຍ່າງ (g)
	P	คือ พลังงานຂອງคลีນໃນໂຄຣເວີ່ມ (W)

ທັງນີ້ຄໍາພລັງຈານກະດຸນສໍາຫຼັບກາຮອບແໜ້ງດ້ວຍລມຮູນ ສາມາດຄໍານວັນຈາກຄໍາ
ຄວາມຊັ້ນ (slope) ຂອງກາຟເສັ້ນຕຽງທີ່ພລື່ອຕະຫວ່າງ $\ln(D_{eff})$ ແລະ $(1/T)$ ດັ່ງແສດງໃນສນກາຣ (10)
ໃນບະນະທີ່ຄໍາພລັງຈານກະດຸນສໍາຫຼັບກາຮອບແໜ້ງດ້ວຍคลືນໃນໂຄຣເວີ່ມ ຄໍານວັນຈາກຄໍາຄວາມຊັ້ນ (slope)
ຂອງກາຟເສັ້ນຕຽງທີ່ພລື່ອຕະຫວ່າງ $\ln(k)$ ແລະ ນ້ຳໜັກຂອງອາຫາຣຫີ່ວັສຄຸຖາງໜີວັກພດ່ວ່າພລັງຈານ
ຂອງคลືນໃນໂຄຣເວີ່ມ (m/P) ດັ່ງແສດງໃນສນກາຣ (11)

$$\text{slope} = -\frac{E_a}{R} \quad (10)$$

$$\text{slope} = -E_a \quad (11)$$

ກາຣົວຄະແທກທີ່ຄວາມແມ່ນຢໍາຂອງແບບຈຳລອງທາງຄົມຄາສຕ່ຣ໌ຂອງກະບວນກາຮ
ອບແໜ້ງດ້ວຍວິທີກາງສົດີ ມີວັດຖຸປະສົງທີ່ເພື່ອປະເມີນຄວາມເຂົ້າກັນໄດ້ຂອງແບບຈຳລອງກັນຂໍອ້ມູນທີ່ໄດ້
ຈາກກາຮທົດລອງ ຈຶ່ງຈາກຮາຍງານວິຊຍໍາລາຍໍາ ເຮືອງ ພບວ່າພາຣາມີເຕອີຣ໌ທີ່ນິຍົມໃຫ້ເພື່ອປະເມີນຄວາມ
ແມ່ນຢໍາແລະ ຄວາມໝາຍະສົມຂອງແບບຈຳລອງໃນກາຮທົດລອງຄໍາອັດຕາສ່ວນຄວາມຊັ້ນທີ່ປັບປຸງແປ່ງໄປໃນ
ຮະຫວ່າງກາຮອບແໜ້ງ ໄດ້ແກ່ ຄໍາສັນປະລິທີ່ກາຮຕົດສິນໃຈ (coefficient of determination: R^2) ຄໍາກາຮ
ຕົດສິນໄກກຳລັງສອງ (chi square: χ^2) ແລະ ຄໍາຮາກທີ່ສອງຂອງຄວາມຄຳເຄີດອືອນກຳລັງສອງເຄີດ (root
mean square error: RMSE) (Lin et al., 1998; Waewsak et al., 2006) ໂດຍທີ່ຄໍາ R^2 ເປັນຄໍາພາຣາມີເຕອີຣ໌
ທາງສົດີທີ່ສໍາຄັນໃນກາຮນ່ອກຄຸພກາພຂອງຮູປແບບສນກາຣໃນແບບຈຳລອງທາງຄົມຄາສຕ່ຣ໌ກາຮ

อนบาง แบบจำลองที่ยังมีค่าเข้าใกล้ 1.0 แสดงว่ามีความแม่นยำมาก ในขณะที่ค่า χ^2 และค่า RMSE เป็นพารามิเตอร์ทางสถิติที่ใช้บ่งบอกความผิดพลาดในการทำนายค่าของแบบจำลอง ดังนั้น แบบจำลองที่มีความแม่นยำและเหมาะสมในการทำนายจะให้ค่า R^2 สูง แต่ค่า χ^2 และค่า RMSE มีค่าต่ำ โดยสมการ (12)-(14) แสดงการคำนวณหาพารามิเตอร์ดังกล่าว

$$R^2 = \left[\frac{\sum_{i=1}^n MR_{i,\text{exp}} \times MR_{i,\text{pre}}}{\sqrt{\left(\sum_{i=1}^n MR_{i,\text{exp}}^2 \right) \left(\sum_{i=1}^n MR_{i,\text{pre}}^2 \right)}} \right]^2 \quad (12)$$

$$\chi^2 = \frac{\sum_{i=1}^N (MR_{i,\text{exp}} - MR_{i,\text{pre}})^2}{N-n} \quad (13)$$

$$RMSE = \sqrt{\frac{\sum_{i=1}^N (MR_{i,\text{exp}} - MR_{i,\text{pre}})^2}{N}} \quad (14)$$

เมื่อ	R^2	คือ ค่าสัมประสิทธิ์การดัดสินใจ
	χ^2	คือ ค่าการลดลงไก่กำลังสอง
	RMSE	คือ ค่ารากที่สองของความคลาดเคลื่อนกำลังสองเฉลี่ย
	$MR_{i,\text{exp}}$	คือ อัตราส่วนความชื้นที่ได้จากการทดลอง
	$MR_{i,\text{pre}}$	คือ อัตราส่วนความชื้นที่ได้จากการทำนายของแบบจำลอง
	N	คือ จำนวนค่าสังเกต
	n	คือ จำนวนค่าคงที่ในแบบจำลอง

การวิเคราะห์สี

โดยทั่วไปการที่ผู้บริโภคจะยอมรับผลิตภัณฑ์อาหารหนึ่งๆ จะขึ้นอยู่กับปัจจัย คุณภาพที่สำคัญ คือ สีและลักษณะปรากฏ (color and appearance) กลิ่นรส (flavor) และลักษณะเนื้อสัมผัส (texture) สีและลักษณะปรากฏเป็นปัจจัยคุณภาพที่สำคัญมาก โดยเฉพาะกับการดัดสินใจซื้อ

ผลิตภัณฑ์ครั้งแรก เนื่องจากโดยปกติผู้บริโภคไม่มีโอกาสในการทดลองรับประทานผลิตภัณฑ์ ดังนั้นปัจจัยในการตัดสินใจซื้อส่วนใหญ่จะอยู่ที่คุณภาพด้านสีและลักษณะปรากฏเท่านั้น

การตรวจสอบสีด้วยเครื่องสเปกโตรโฟโตเมตร์ เป็นอุปกรณ์วัดสีที่นิยมใช้ในปัจจุบันซึ่งวัดสีของวัสดุ โดยการวัดปริมาณแสงที่สะท้อน หรือแสงที่ถูกดูดกลืน หรือแสงที่ผ่านลอดมาจากวัสดุที่ความยาวคลื่นหนึ่งๆ ในช่วงที่ตามองเห็น (380-770 nm) ใช้ความสัมพันธ์ของปริมาณสารให้สีกับปริมาณแสงที่บันทึกได้ นำมาคำนวณหาปริมาณสารที่ให้สีอยู่ในวัสดุนั้น การตรวจสอบสีด้วยระบบ CIE เป็นวิธีการวัดสีที่กำหนดขึ้นโดยองค์กรที่มีบทบาทสำคัญในการกำหนดมาตรฐานด้านสีคือ Commission International de l'Eclairage (CIE) ซึ่งเป็นที่ยอมรับอย่างกว้างในการวิชาการและการวิจัย ซึ่งระบบ CIELAB เป็นกระบวนการบรรยายสีแบบ 3 มิติ คือ L^* หมายถึงค่าความสว่าง (+) / ความมืด (-) ค่า a^* หมายถึง ความเป็นสีแดง (+) / ความเป็นสีเขียว (-) และค่า b^* หมายถึงความเป็นสีเหลือง (+) / ความเป็นสีน้ำเงิน (-) ในระบบนี้สามารถวัดค่าสีออกมาเป็นตัวเลข ถือเป็นการวัดค่าโดยใช้เครื่องมือ เช่น ได้รับอุปกรณ์ที่ง่ายและค่าสีมีความสมำเสมอมากกว่าค่าสีในระบบ Hunter Lab

ข้อมูลที่ได้จากการวัดค่าสีระบบค่า L^* นั้นคือ ค่าสี แต่โดยทั่วไปในการใช้งานผู้ผลิตไม่ได้ต้องการทราบค่าสีของผลิตภัณฑ์เท่านั้น แต่ต้องการทราบว่าสีของผลิตภัณฑ์ที่ผลิตในรุ่นหนึ่งๆ นั้น ตรงตามที่มาตรฐานกำหนดหรือไม่ และผู้ผลิตควรจะยอมรับผลิตภัณฑ์ในรุ่นนั้น หรือไม่ ดังนั้นผู้ผลิตจึงต้องการทราบ ค่าความแตกต่างสีโดยรวม (total color difference: ΔE) ระหว่างผลิตภัณฑ์และมาตรฐาน ต้องการทราบค่าความแตกต่างของสีที่สามารถนำไปกำหนดค่าการยอมรับ (tolerance) เพื่อกำหนดขอบเขตในการยอมรับ/ปฏิเสธผลิตภัณฑ์หนึ่งๆ นั้นเอง โดยการวิเคราะห์ค่าความแตกต่างสีโดยรวม สามารถหาได้จากสมการ (15) (Vega-Gálvez et al., 2009; Therdthai and Zhou, 2009)

$$\Delta E = \sqrt{(L^* - L_0^*)^2 + (a^* - a_0^*)^2 + (b^* - b_0^*)^2} \quad (15)$$

เมื่อ L^* , a^* และ b^* คือค่าพารามิเตอร์สีของสาหร่ายเตาหลังการอบแห้ง และ L_0^* , a_0^* และ b_0^* คือค่าพารามิเตอร์สีของสาหร่ายเตาสด

การตรวจสอบสีด้วยการใช้ระบบมนุนเซล (munsell color system) ระบบสีของมนุนเซลเป็นระบบที่มีชื่อเสียงและได้รับนิยมสูง มีการจัดระเบียบตัวอย่างสีที่ทำไว้บนกระดาษชั้นเล็กๆ ตามระบบตัวเลขที่มนุนเซลคิดขึ้นมา โดยขึ้นอยู่กับตัวแปร 3 ตัว คือ

1. ค่าความสaturated (chroma) เป็นค่าที่บ่งบอกถึงความเข้มหรือความจางของสี (saturation) ในสัดส่วนของสี (hue) ที่มีอยู่ในสีเทา วัดค่าเบอร์เซ็นต์จาก 0% (สีเทา) จนถึง 100% ถ้าเราเติมสีเทาลงไปในสีใดๆ สีนั้นจะอื้นตัวน้อยลงจนในที่สุดกลายเป็นสีเทา สมการแสดงค่าที่แสดงความบริสุทธิ์ของสี คือ

$$C^* = (a^2 + b^2)^{1/2} \quad (16)$$

2. ค่าสีสัน (hue angle) เป็นสีที่สะท้อนมาจากการวัดสีของวัสดุ ซึ่งแตกต่างกันด้านความขาวคลื่นแสงที่มีกระบวนการวัดถูกและสะท้อนกลับมาที่ดาวา hue ในมุมเซล จึงเป็นชื่อเรียกชนิดของสี เช่น สีแดง สีเขียว เป็นต้น สมการแสดงค่านุមูลของสีหลัก คือ

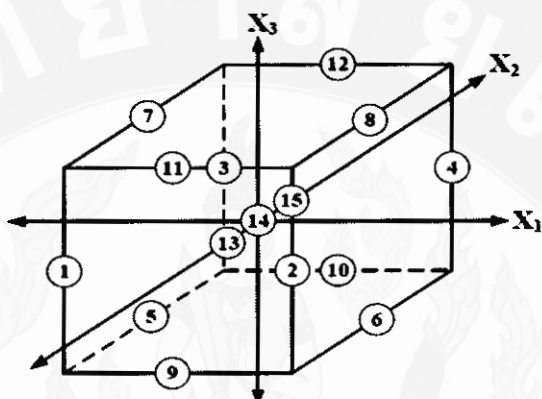
$$h^\circ = \tan^{-1}(b/a) \quad (17)$$

การหาสภาวะที่เหมาะสมของการอบแห้งสาหร่ายโดยด้วยคอมพิวเตอร์ โดยใช้วิธีการพื้นผิวตอบสนอง

ในการปฏิบัติทางอุตสาหกรรม การทดลองที่ได้รับการออกแบบมาจะมีการทำงานอย่างเป็นระบบในการสืบค้นในตัวแปรในกระบวนการ (process variable) หรือตัวแปรของผลิตภัณฑ์ (product variable) หลังจากที่ทำการกำหนดเงื่อนไขของกระบวนการ หรือองค์ประกอบของผลิตภัณฑ์ที่มีผลต่อคุณภาพของผลิตภัณฑ์ จึงจะสามารถทำการปรับปรุงเพื่อเพิ่มความสามารถในการผลิต ความน่าเชื่อถือ คุณภาพ และ ประสิทธิภาพ เนื่องด้วยทรัพยากรมีจำนวนจำกัด ดังนั้น การทดลองแต่ละครั้งจะต้องให้สาระข้อมูลที่สำคัญที่สุด ซึ่งการทดลองที่มีการวางแผนที่ดีจะทำให้ได้สาระข้อมูลที่สำคัญ และมีคุณภาพมากกว่าการทดลองที่เกิดขึ้นจากการที่ไม่ได้รับการวางแผนมาก่อน และโดยเฉพาะการทดลองตามแผนที่วางแผนไว้จะสามารถวิเคราะห์เกี่ยวกับอิทธิพลของปัจจัยที่ต้องการศึกษาได้ดีกว่าด้วย การออกแบบการทดลองสามารถแบ่งออกได้หลายวิธี ซึ่งในบทนี้จะกล่าวถึงการออกแบบการทดลองแบบบ็อกซ์-เบิน肯 (Box-Behnken design: BBD)

การออกแบบการทดลองแบบ BBD เป็นวิธีหนึ่งที่นิยมใช้เพื่อศึกษาความสัมพันธ์ของเงื่อนไขกระบวนการผลิตและเงื่อนไขในการผลิตที่เหมาะสม ซึ่งการออกแบบการทดลองแบบ BBD จะมีจำนวนครั้งในการทดลองที่น้อยกว่ารวมถึงมีด้านทุนที่ถูกกว่าเมื่อเทียบกับการออกแบบการทดลองแบบส่วนผสมกลาง (Central Composite: CCD) (ภูมิศาสตร์ และคณะ, 2555; สมเกียรติ และ

ภูมินทร์, 2554; Pérez-Francisco et al., 2008) ภาพ 8 แสดงการออกแบบทดลองแบบ BBD สำหรับ 3 ปัจจัย โดยอาศัยการทำการทดลองทั้งสิ้นจำนวน 15 การทดลอง โดยเป็นการทดลองที่คำแนะนำกึ่งกลางซึ่งทำ้ำจำนวน 3 การทดลอง พลการทดลองที่คำแนะนำกึ่งกลางจะถูกนำไปวิเคราะห์ทางสถิติเพื่อหาความสมฐานของแบบจำลองทางคณิตศาสตร์



ภาพ 8 การออกแบบการทดลองแบบบีอ็อกซ์-เบินเคน

ที่มา: สมเกียรติ และ ภูมินทร์ (2554)

การหาสภาวะที่เหมาะสมในการอบแห้งสาหร่ายเตาโดยใช้วิธีการพื้นผิวตอบสนอง (response surface methodology: RSM) เป็นการรวมเทคนิคทั้งทางคณิตศาสตร์ และทางสถิติที่มีประโยชน์ด่อการสร้างแบบจำลอง รวมทั้งช่วยในการวิเคราะห์ปัญหาโดยที่ผลตอบสนองที่สนใจจะเข้ากับหลักตัวแปร และมีวัตถุประสงค์เพื่อหาค่าที่ดีที่สุดของผลตอบสนอง และนอกจากนี้การวิเคราะห์โดยใช้วิธีการพื้นผิวตอบสนองยังสามารถทำให้ได้สมการทำนายกระบวนการอบแห้ง เพื่อทำนายการเปลี่ยนแปลงคุณภาพ และปริมาณสารสกัดต่างๆ ของสาหร่ายเตาอบแห้ง

ผลงานวิจัยที่เกี่ยวข้อง

Sripinyowanichi et al. (2012) ได้ทำการศึกษาผลกระทบของปริมาณความชื้นสุกท้าย ด่ออายุการเก็บรักษา คุณภาพและการดูดซับไออกไซเจน ของการอบแห้งกากมะพร้าวด้วยลมร้อน โดยความชื้นสุกท้าย มีค่าเท่ากับ 3, 10, 15, 20 และ 25 % (db.) ซึ่งเก็บไว้ที่สภาวะอุณหภูมิ 35°C ความชื้นสัมพัทธ์ในอากาศ (RH) 60-75% เป็นเวลา 140 days จากการศึกษาพบว่าที่ปริมาณ

ความชื้นสูดท้าย 3 % (db.) ตัวอย่างกากระวามีคุณภาพดีที่สุด ในด้านความขาว ปริมาณน้ำมัน และค่าเบอร์ออกไซด์ ไม่พนจุลินทรีย์ บีสต์ และรา ในระหว่างการเก็บรักษาเป็นเวลา 140 days ส่วน ที่ระดับความชื้นอื่นๆ มีแนวโน้มลดลงของค่าความเป็นสีขาว และมีค่าเบอร์ออกไซด์เพิ่มขึ้น โดยเฉพาะอย่างยิ่งที่ความชื้น 20 และ 25 % (db.) ในขณะที่ปริมาณความชื้นสูดท้าย 15 % (db.) พน บีสต์ และราในปริมาณที่ไม่เกินกำหนด แต่ไม่พนจุลินทรีย์ ทั้งนี้การอบแห้งที่ปริมาณความชื้น ดังกล่าวกากระวามีอายุการเก็บรักษาเป็นเวลา 63 days

Evin (2012) ศึกษาแบบจำลองทางคณิตศาสตร์ของจนผลศาสตร์การอบแห้งแบบ ชั้นบางของกั้นดิเลีย (*Gundelia tournefortii* L.) ระหว่างวิธีการอบแห้งด้วยคลีน์ในโครเวฟที่ระดับ พลังงาน 90-800 W และการอบแห้งด้วยการตากแดดที่ระดับรังสีแสงอาทิตย์ 350-1100 W/m² พนว่า แบบจำลองทางคณิตศาสตร์ของ Midilli มีความเหมาะสมในการทำนายพฤติกรรมการอบแห้งด้วย คลีน์ในโครเวฟได้ดีที่สุด เมื่อเทียบให้ค่าสัมประสิทธิ์การตัดสินใจ (R^2) มากสุด มีค่าเท่ากับ 0.996 และมีค่าไกกำลังสอง (χ^2) ค่ารากที่สองของความคลาดเคลื่อนกำลังสองเฉลี่ย ($RMSE$) และค่า ความคลาดเคลื่อน่อนเอียงเฉลี่ย (MBE) น้อยที่สุด ซึ่งมีค่าเท่ากับ 1.82×10^{-4} , 12×10^{-3} และ 1.4×10^{-4} ตามลำดับ ค่าคงที่การอบแห้งด้วยคลีน์ในโครเวฟมีค่าอยู่ในช่วง 0.0098-0.2943 1/min และค่า สัมประสิทธิ์การแพร่ความชื้น 5.5×10^{-8} - 3.5×10^{-7} m²/s แบบจำลองทางคณิตศาสตร์ของ Logarithmic สามารถอธิบายจนผลศาสตร์การอบแห้งกั้นดิเลียด้วยการตากแดดได้ดีที่สุด โดยมีค่าสัมประสิทธิ์ การแพร่ความชื้นเท่ากับ 2.48×10^{-8} m²/s

Dadali et al. (2007) ศึกษาผลกระทบของระดับพลังงานคลีน์ในโครเวฟและ ปริมาณน้ำหนักของกระเจี๊ยบเขียวต่อการเปลี่ยนแปลงค่าอัตราส่วนความชื้น อัตราการอบแห้ง และ เวลาที่ใช้ในการอบแห้งระหว่างการอบแห้งด้วยคลีน์ในโครเวฟที่ระดับพลังงานระหว่าง 180-900 W และปริมาณน้ำหนักของกระเจี๊ยบเขียว 25-100 g เพื่อหาแบบจำลองทางคณิตศาสตร์การอบแห้ง ที่เหมาะสม โดยใช้แบบจำลองเอนพิริคัลของ Lewis, Page, Henderson and Pabis และ Logarithmic เพื่อเปรียบเทียบหาความเหมาะสมในการอบแห้งกระเจี๊ยบเขียว ผลการศึกษาพบว่าแบบจำลองของ Page มีความแม่นยำในการทำนายมากที่สุด

Ozkan et al. (2007) ศึกษาการอบแห้งในปวยเส้งด้วยคลีน์ในโครเวฟ ทำการ อบแห้งในปวยเส้งที่น้ำหนัก 50 g โดยมีความชื้นเริ่มต้น 9.01 kg/kg_{dry matter} อบแห้งจนเหลือความชื้น 0.1 kg/kg_{dry matter} โดยใช้พลังงานของคลีน์ในโครเวฟในช่วง 90-1000 W พนว่าเวลาที่ใช้ในการ อบแห้งอยู่ระหว่าง 290-4005 s แบบจำลองทางคณิตศาสตร์ของการอบแห้งของ Page สามารถ อธิบายจนผลศาสตร์การอบแห้งในปวยเส้งแบบชั้นบางได้เหมาะสมที่สุด ที่ระดับพลังงาน 750 W

สามารถรักษาคุณภาพด้านสีและวิตามินซีได้ดีที่สุด ซึ่งใช้เวลาในการอบแห้ง 350 s และใช้พลังงานในการอบแห้งต่ำที่สุดซึ่งมีค่าเท่ากับ 0.12 kW* hr

Harbourn et al. (2009) ศึกษาผลกระบวนการของการอบแห้งและสภาวะการอบแห้งที่เหมาะสมต่อการสลายตัวของสารฟีนอลิกของชาสมุนไพรจาก meadowsweet และ willow พบว่า การอบแห้งที่อุณหภูมิ 30°C จะช่วยรักษาปริมาณสารฟีนอลิกได้ดีกว่าการอบแห้งที่อุณหภูมิ 70°C และตรวจสอบปริมาณสารเควอร์เชตินทั้งหมด (total quercetin) ใกล้เคียงการอบแห้งแบบระเหิดและไม่มีความแตกต่างเชิงสถิต ที่มีดันทุนการอบแห้งสูง

Jing et al. (2010) เปรียบเทียบวิธีการอบแห้งแบบต่างๆ ในการอบแห้งมันฝรั่งหวาน (sweet potatoes) ที่เตรียมด้วยวิธีการลวกด้วยไอน้ำ ที่อุณหภูมิ 100°C เป็นเวลา 10 min ด้วยวิธีการอบแห้งด้วยลมร้อน การอบแห้งด้วยคลื่นในโคลเวฟ และการอบแห้งแบบแห้งเยือกแข็ง เพื่อศึกษาอัตราการคงอยู่ของสารประกอบฟีนอลิก แคโรทินอยด์ และกรดแอกโซร์บิก ผลการศึกษาพบว่าวิธีการอบแห้งด้วยคลื่นในโคลเวฟมีอัตราการคงอยู่ของสารประกอบฟีนอลิก แคโรทินอยด์ และกรดแอกโซร์บิก ได้เทียบเท่ากับวิธีการอบแห้งและการอบแห้งแบบระเหิด แต่ใช้เวลาในการอบแห้งน้อยกว่าถึง 40-50 เท่า ในขณะที่การอบแห้งด้วยลมร้อนจะใช้เวลานาน และมีอัตราการคงอยู่ของสารอนุมูลอิสระที่มาก

Hossain et al. (2010) ศึกษาผลกระบวนการของวิธีอบแห้งระหว่างการอบแห้งด้วยลมร้อน การอบแห้งแบบระเหิด และการอบแห้งระบบสูญญากาศ ของพืชสมุนไพรในวงศ์ Lamiaceae (วงศ์กะเพรา หรือวงศ์มินด์) จำนวน 6 ชนิด ได้แก่ โรsemari (rosemary) โอริกาโน (oregano) เสจ (sage) ใบโหระพา (basil) มาร์จาเรม (marjoram) และไธม (thyme) เพื่อเปรียบเทียบปริมาณสารด้านอนุมูลอิสระที่คงเหลือในผลิตภัณฑ์อบแห้งในแต่ละวิธี พบว่าการอบแห้งด้วยลมร้อนจะมีอัตราการสูญเสียสารต้านอนุมูลอิสระในระหว่างการอบแห้งมากที่สุด และในขณะผลิตภัณฑ์ที่อบแห้งด้วยวิธีการอบแห้งระบบสูญญากาศ และการอบแห้งแบบระเหิดจะมีปริมาณสารต้านอนุมูลอิสระคงเหลือในปริมาณที่มากในปริมาณที่ใกล้เคียงกัน แต่หากประเมินดันทุนการอบแห้งต่อน้ำหนักของผลิตภัณฑ์อบแห้ง พบว่าการอบแห้งระบบสูญญากาศเป็นวิธีการอบแห้งที่มีประสิทธิภาพสูง ในการรักษาคุณภาพผลิตภัณฑ์ และมีข้อได้เปรียบในด้านเศรษฐศาสตร์วิศวกรรม

Assawarachan et al. (2013) ศึกษาผลกระบวนการของความเข้มคลื่นในโคลเวฟต่ออัตราการเปลี่ยนแปลงสีในระบบ CIELAB และอัตราการสูญเสียของสารประกอบฟีนอลิก ผลการศึกษาพบว่าที่ระดับความเข้มคลื่นในโคลเวฟที่สูงมากเกินไปจะมีอัตราการเปลี่ยนแปลงสีและอัตราการสูญเสียของสารประกอบฟีนอลิกมากเนื่องจากที่ระดับความเข้มคลื่นในโคลเวฟสูง จะมีอุณหภูมิสะสมในระหว่างการอบแห้งที่สูงมาก ในทางตรงข้ามที่ระดับความเข้มคลื่นในโคลเวฟต่ำ

จะใช้เวลาในอบแห้งที่นานกว่าส่งผลให้สารร้ายเดาได้รับความร้อนเป็นเวลานาน และมีความร้อนสะสมในระบบมาก ส่งผลต่อการเปลี่ยนแปลงสีและอัตราการสูญเสียของสารประกอบฟินอลิกมากขึ้นกัน โดยผลการวิจัยนี้พบว่าที่ระดับความเข้มของคลื่นในโคลเรฟ 1.55 W/g มีความหมายสมมากที่สุด

ธิดารัตน์ และ ศศิธร (2553) ศึกษาผลของการทำแห้งต่อปริมาณ 6-gingerol สารประกอบฟินอลิกทั้งหมดและสมบัติการต้านออกซิเดชันของขิง (*Zingiber officinale*) โดยทำการอบแห้งขิงด้วยวิธีลมร้อน และการอบแห้งด้วยวิธีการแช่เยือกแข็ง ตรวจสอบ 6-gingerol ด้วยวิธี high performance thin layer chromatography จากผลการทดลองพบว่าขิงที่ผ่านการทำแห้งทั้งสองวิธีมีปริมาณ 6-gingerol ไม่แตกต่างกัน ($p>0.05$) โดยปัจจุบันที่ผ่านการทำแห้งด้วยวิธีลมร้อนมีปริมาณ 6-gingerol เท่ากับ $18.41\pm 0.05 \text{ mg/g}_{\text{dry matter}}$ ในขณะที่ขิงที่ผ่านการทำแห้งด้วยวิธีแช่เยือกแข็งมีปริมาณเท่ากับ $18.10\pm 0.05 \text{ mg/g}_{\text{dry matter}}$ อย่างไรก็ตามขิงที่ผ่านการทำแห้งด้วยวิธีลมร้อนวิเคราะห์ปริมาณสารประกอบฟินอลิกทั้งหมดและความสามารถต้านออกซิเดชันสูงกว่าขิงที่ผ่านการทำแห้งด้วยวิธีแช่เยือกแข็ง 28.6 และ 23.0% ตามลำดับ

ปองพล และคณะ (2556) ได้ศึกษาสภาวะที่เหมาะสมในการอบแห้งมีน้ำหนักด้วยคลื่นในโคลเรฟ โดยใช้วิธีการออกแบบการทดลองทางสถิติ ทั้งนี้ปัจจัยที่ศึกษาประกอบด้วยระดับ พลังงานคลื่นในโคลเรฟที่ใช้ในการอบแห้งมีน้ำหนักที่แตกต่างกัน 3 ระดับ คือ 164, 465 และ 752 W ความเข้มข้นของกรดแอสคอร์บิก ได้แก่ 3, 5 และ 7% และเวลาที่ใช้เพื่อมีน้ำหนักในกรดแอสคอร์บิก คือ 30, 60 และ 90 s โดยการศึกษาอิทธิพลของปัจจัยต่างๆ ใช้วิธีการออกแบบการทดลองแบบพื้นผิวตอบสนองของบีอักษ์-เบ็ห์นเคน (BBD) ผลการศึกษาพบว่าสภาวะที่เหมาะสมในการอบแห้งมีน้ำหนัก คือที่ระดับพลังงานคลื่นในโคลเรฟ 475.75 W ความเข้มข้นของกรดแอสคอร์บิก 4.91% และเวลาที่ใช้เช่น 59.95 s ซึ่งเป็นสภาวะที่เหมาะสมในการอบแห้งมีน้ำหนักด้วยคลื่นในโคลเรฟ โดยสภาวะดังกล่าวให้ค่าความแตกต่างสีโดยรวม (ΔE) เท่ากับ 2.90 ซึ่งเป็นค่าต่ำที่สุด

Pérez-Francisco et al. (2008) ศึกษาหาสภาวะที่เหมาะสมในการอบแห้ง vegetal pear โดยใช้วิธีการออกแบบการทดลองแบบบีอักษ์-เบ็ห์นเคน (BBD) และการหาสภาวะที่เหมาะสมในการอบแห้งที่ใช้พลังงานต่ำ สามารถรักษาคุณภาพสี และปริมาณผลผลิตด้วยวิธีการพื้นผิวตอบสนอง (RSM) โดยศึกษาปัจจัยที่ผลต่อการทดลอง คือ อุณหภูมิในการอบแห้ง ($60-70^{\circ}\text{C}$) ความหนาของชีส์ตัวอย่าง (4-7 cm) และความเข้มข้นของกรดแอสคอร์บิก (0-0.1%) จากผลการศึกษาพบว่าสภาวะที่เหมาะสมในการรักษาคุณภาพของ vegetal pear คือ การอบแห้งที่อุณหภูมิ 63°C ที่ความหนาของตัวอย่างทดลอง 5 cm และระดับความเข้มข้นของกรดแอสคอร์บิกที่ 0.075% ซึ่งจะ

ให้ค่าความชื้นเท่ากับ $0.052 \text{ g/g}_{\text{dry matter}}$ ค่าความแตกต่างสี มีค่าเท่ากับ 11.65 และอัตราผลผลิต 0.0073 kg/hr และค่าใช้จ่ายในการอบแห้ง เท่ากับ $\$30.58 \text{ kg}_{\text{dry matter}}/\text{product}$

ผลการทบทวนงานวิจัยที่เกี่ยวข้อง พบว่า งานวิจัยจำนวนมากที่ศึกษาผลกระทบของสภาวะการอบแห้งและวิธีการอบแห้งต่อการเปลี่ยนแปลงคุณภาพของผลิตภัณฑ์ เช่น การเปลี่ยนแปลงคุณภาพสี ปริมาณน้ำมันหอมระ夷ที่ตกค้างได้ อัตราการคงเหลือของสารออกฤทธิ์รวมทั้งการเปรียบเทียบพลังงานที่ใช้ในอบแห้งในแต่ละวิธี โดยการเปรียบเทียบการเปลี่ยนแปลงคุณภาพของผลิตภัณฑ์ในระหว่างการอบแห้งมีแนวทางในการศึกษาด้วยการเปรียบเทียบวิธีการอบแห้งอย่างน้อย 3 วิธี โดยการอบแห้งแบบแข็ง เชือกแข็งซึ่งจะเป็นวิธีการอบแห้งที่รักษาคุณภาพของผลิตภัณฑ์ได้ดีที่สุดและถูกใช้เป็นวิธีสำหรับควบคุมคุณภาพของผลิตภัณฑ์ (control quality product) เทียบกับวิธีการอบแห้งลมร้อนที่สภาวะต่างๆ ซึ่งวิธีการการอบแห้งดังกล่าวเป็นวิธีการอบแห้งแบบตั้งเดิม (traditional drying) ซึ่งจะถูกใช้ในการควบคุมคุณภาพของการอบแห้ง (control quality process) และการอบแห้งที่สนใจศึกษา เช่น การอบแห้งระบบสูญญากาศ (vacuum drying) การอบแห้งด้วยคลื่นไมโครเวฟ (microwave drying) การอบแห้งด้วยคลื่นไมโครเวฟระบบสูญญากาศ (microwave vacuum drying) หรือการอบแห้งโดยใช้ไอน้ำเยิ่งยอด (superheated steam drying)

นอกจากนี้ยังมีการใช้เทคนิคในการออกแบบการทดลองเพื่อลดค่าใช้จ่ายในการทดลองจริง ซึ่งการออกแบบการทดลองแบบ BBD ถูกนำมาใช้เนื่องจากมีจำนวนครั้งในการทดลองที่น้อย รวมถึงช่วงลดต้นทุนที่ใช้ ดังนั้นจึงมีงานวิจัยจำนวนมากที่นำวิธีการออกแบบการทดลองดังกล่าวมาใช้ในการทดลอง รวมทั้งมีการนำเอาวิธี RSM เพื่อวิเคราะห์สภาวะที่เหมาะสมของกระบวนการ มาใช้เพื่อช่วยให้มองรู้ร่างของพื้นผืนตอบสนองได้ยิ่งขึ้น ซึ่งวิธีการดังกล่าวเป็นการรวบรวมเทคนิคทั้งทางคณิตศาสตร์ และทางสถิติที่มีประโยชน์ต่อการสร้างแบบจำลอง และวิเคราะห์ปัญหาโดยที่ผลตอบสนองที่เราสนใจขึ้นอยู่กับหลายตัวแปร

บทที่ 3

อุปกรณ์และวิธีการทดลอง

อุปกรณ์และสารเคมี

1. สาหร่ายที่ใช้ในการศึกษา

สาหร่ายเตา *Spirogyra neglecta* (Hassall) Kützing จากบ้านนาคูหา ตำบลสวนเจื่อน อำเภอเมือง จังหวัดแพร

2. อุปกรณ์และเครื่องมือ

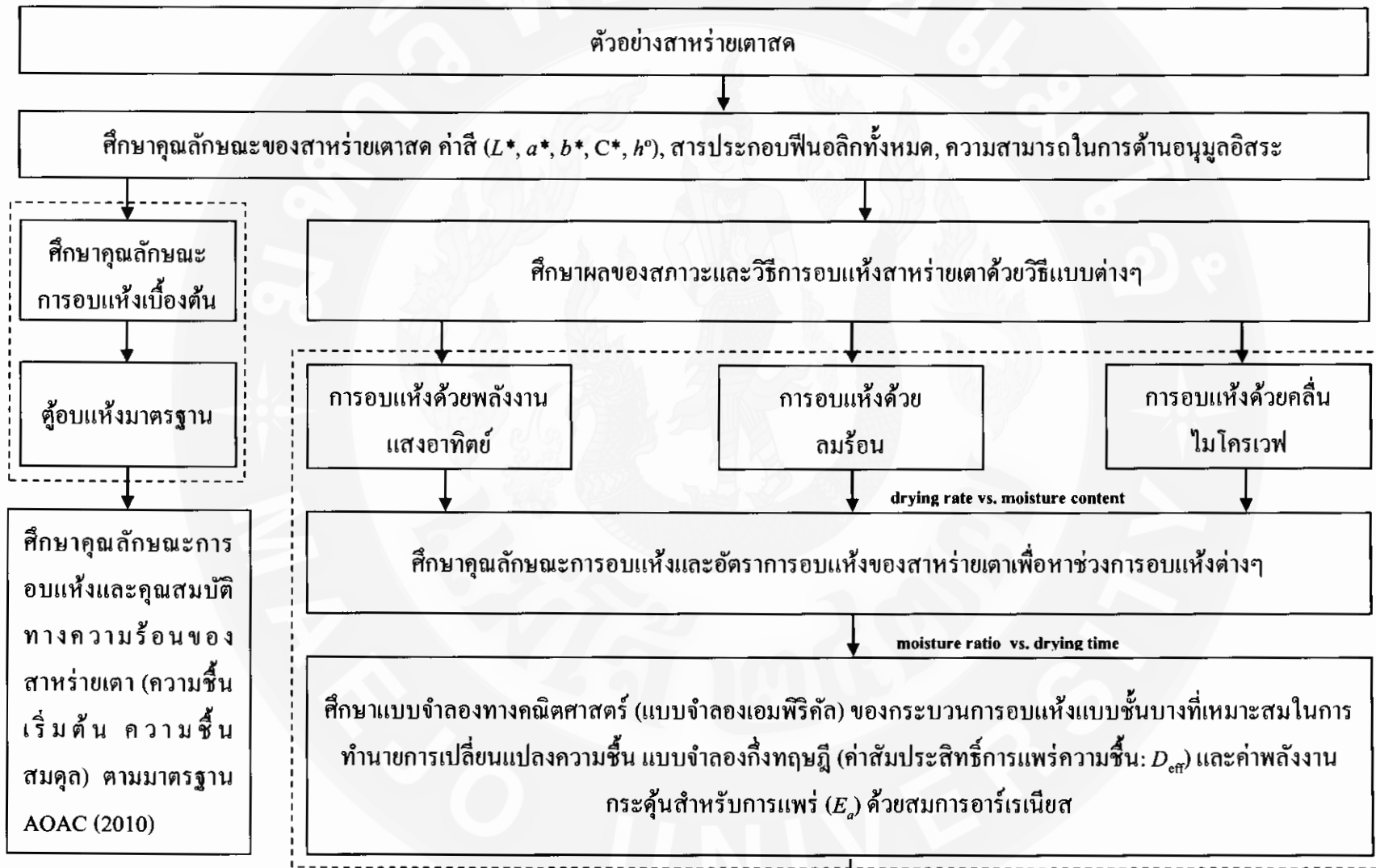
- 2.1 เครื่องอบแห้งแบบลมร้อน (Memmert model: LMZ500)
- 2.2 เครื่องอบแห้งด้วยคลื่นไมโครเวฟ
- 2.3 เครื่องวัดอุณหภูมิแบบพกพา (LD Didactic GmbH model: 524-0673)
- 2.4 เครื่องวัดค่าอุตสาหกรรม pH (Aqua Lab model: Series 3 TE)
- 2.5 เครื่องวัดสี spectrophotometer (HunterLab model: MiniScan XE PLU)
- 2.6 เครื่องชั่งดิจิตอล 2 ตำแหน่ง (Sartorius model: CP 3202S)
- 2.7 เครื่องหมุนเหวี่ง (Wasino model: CE03)
- 2.8 พาวเวอร์มิเตอร์แบบตัวเลข (PRIMUS model: KM-16)
- 2.9 เครื่องลดขนาดแบบค้อน
- 2.10 ศูนย์แข็ง (Sanyo model: SF-C997 (GYN))
- 2.11 ศูนย์เย็น (Haier model: HR-921)
- 2.12 ถ้วยอะลูมิเนียมพร้อมฝาปิด
- 2.13 โถดูดความชื้น
- 2.14 บีกเกอร์ (Pyrex No.1000)
- 2.15 ถาดเซรามิก (Cuizimate)
- 2.16 ถาดตะแกรง
- 2.17 ถุงซิปล็อก
- 2.18 ถุงพอยค์อลูมิเนียม
- 2.19 กล้องดิจิตอล

3. สารเคมี

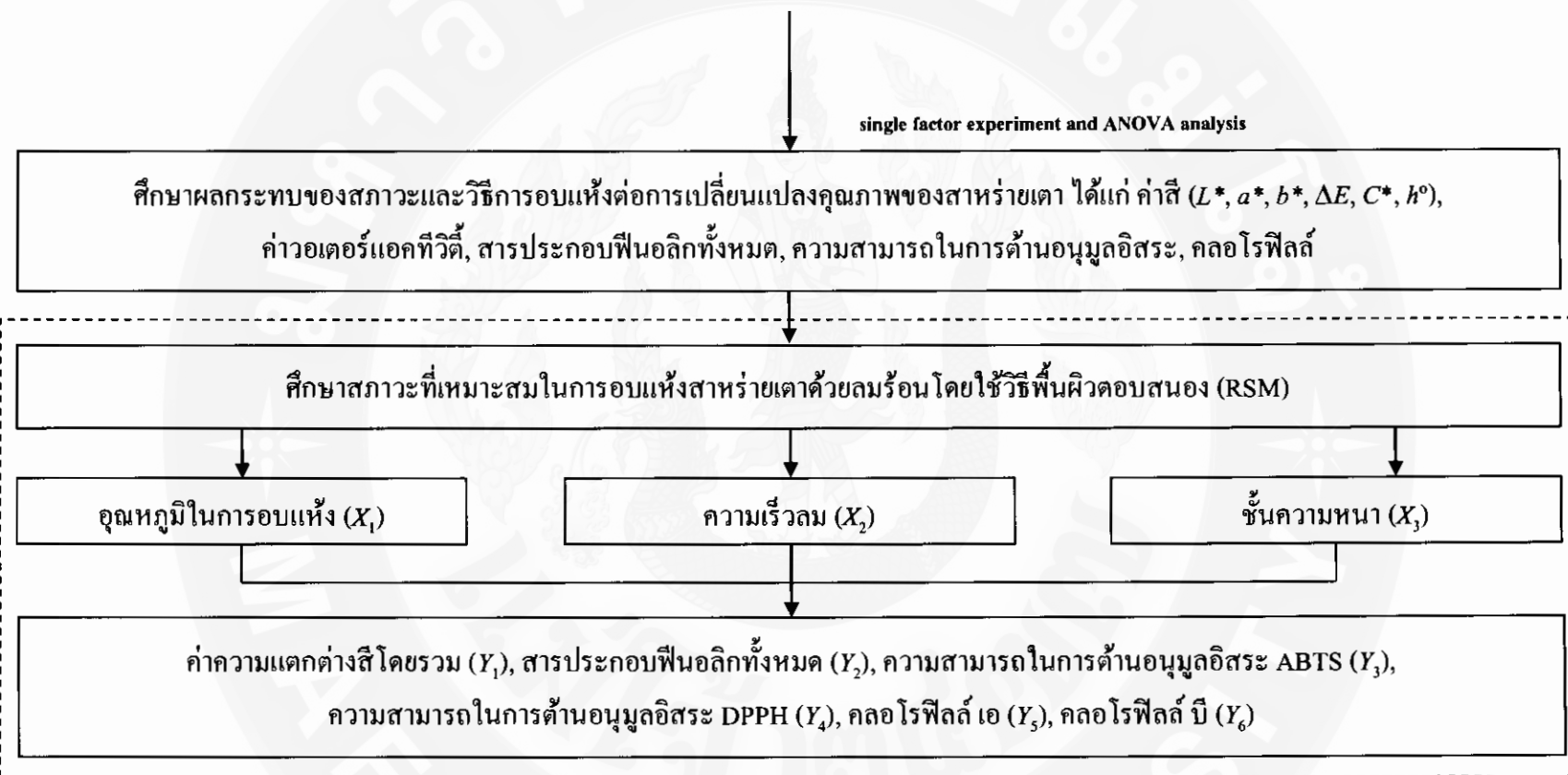
- 3.1 สารละลายน้ำ Folin-Ciocalteu
- 3.2 สารละลายน้ำโซเดียมคาร์บอนเนต (sodium carbonate: Na₂CO₃)
- 3.3 สารมาตรฐานกรดแกลลิก (gallic acid)
- 3.4 สารละลายน้ำแมกนีเซียมคาร์บอนเนต (magnesium carbonate: MgCO₃)
- 3.5 สารละลายน้ำอะซีโตน (acetone)
- 3.6 สารละลายน้ำไฮโดรคลอริก (hydrochloric acid: HCl)
- 3.7 2,2'-azino-bis 3-ethylbenzthiazoline -6-sulfonic acid (ABTS)
- 3.8 เอทานอล (ethanol)
- 3.9 2, 2-diphenyl-1-picrylhydrazyl (DPPH) radical scavenging activity
- 3.10 1 M Tris-HCl buffer (pH=7.9)
- 3.11 สารมาตรฐาน trolox (Trolox Equivalent Antioxidant Capacity: TEAC)
- 3.12 น้ำกลั่น

วิธีการทดลอง

งานวิจัยนี้มีวัตถุประสงค์เพื่อศึกษาคุณลักษณะของสาหร่ายเตาสุด และคุณลักษณะของสาหร่ายเตาอบแห้ง ได้แก่ ค่าความชื้นเริ่มต้น และค่าความชื้นสมดุลที่สภาวะการอบแห้งค่างๆ และเปรียบเทียบผลกระแทบทองสภาวะและวิธีการอบแห้งสาหร่ายเตาในระหว่างการอบแห้งด้วย พลังงานแสงอาทิตย์ การอบแห้งด้วยลมร้อน และการอบแห้งด้วยคลื่นไมโครเวฟต่อการเปลี่ยนแปลงคุณภาพและสารออกฤทธิ์ทางชีวภาพ เพื่อหาสภาวะที่เหมาะสมในกระบวนการอบแห้งสาหร่ายเตา รวมทั้งการศึกษาแบบจำลองทางคณิตศาสตร์ที่เหมาะสมในการทำนาย อัตราส่วนการเปลี่ยนแปลงความชื้นของสาหร่ายเตาในระหว่างการอบแห้งด้วยวิธีต่างๆ และเปรียบเทียบพลังงานที่ใช้ในกระบวนการอบแห้งเพื่อวิเคราะห์ต้นทุนการอบแห้งเบื้องต้น รวมทั้ง ศึกษาสภาวะที่เหมาะสมในการอบแห้งสาหร่ายเตาด้วยลมร้อนโดยใช้เทคนิคพื้นผิวตอบสนอง (RSM) ต่อการเปลี่ยนแปลงคุณภาพสี สารประกอบฟินอลิกทั้งหมด ความสามารถในการด้านอนุมูลอิสระ และกลอโรฟิลล์ เพื่อให้โครงงานวิจัยนี้ประสบความสำเร็จ จึงได้มีแผนการดำเนินงานวิจัยดัง แสดงในภาพ 9



ภาพ 9 แผนภาพการดำเนินโครงการวิจัยทั้งหมด



ภาค 9 (ต่อ)

1. การเตรียมตัวอย่าง

ตัวอย่างสาหร่ายเตาที่นำมาศึกษาเก็บมาจากบ้านนาคูหา ตำบลสวนเจื่อน อำเภอเมือง จังหวัดแพร่ ซึ่งทำการพิสูจน์แล้วว่าเป็นชนิด *Spirogyra neglecta* (Hassall) Kützing (ฐานดิกรานต์, 2550) โดยเก็บตัวอย่างสาหร่ายจำนวน 100 kg นำมาถังทำความสะอาด จากนั้นนำไปบรรจุในถุงซิปล็อกเก็บรักษาในตู้เย็นเยือกแข็งที่อุณหภูมิต่ำกว่า -18°C เมื่อต้องทำการทดสอบแห้งให้น้ำสาหร่ายแข็งเยือกแข็งมาละลายโดยการแช่น้ำที่อุณหภูมิ 20°C จนน้ำแข็งละลายออกจนหมด นำสาหร่ายเตาเข้าเครื่องหมุนเหวี่ง (Wasino model: CE03) เพื่อไล่น้ำออก จากนั้นนำไปเก็บรักษาที่อุณหภูมิ $4\pm0.5^{\circ}\text{C}$ เป็นเวลา 24 hr เพื่อให้สาหร่ายเตาเกิดการถ่ายเทความร้อนเข้าสู่สภาวะสมดุล ซึ่งวิธีการดังกล่าวเป็นแนวทางเดียวกับงานวิจัยของ Özbek and Dadali, 2007; Ozkan et al., 2007 และ Assawarachan et al., 2013 ก่อนนำไปศึกษาในขั้นตอนต่อไป

2. การวิเคราะห์ค่าความชื้นเริ่มต้นและความชื้นสมดุล

การวิเคราะห์ค่าความชื้นเริ่มต้นของสาหร่ายเตา โดยนำสาหร่ายเตาจำนวน 2.5 g ใส่ในถ้วยอะลูมิเนียมขนาด 3 oz ที่ผ่านการอบเพื่อไล่ความชื้น นำไปอบแห้งด้วยตู้อบลมร้อน (Memmert model: 500/108I) ที่อุณหภูมิ $105\pm2^{\circ}\text{C}$ เป็นเวลา 24 hr (AOAC, 2010) จากนั้นนำมาซึ่งน้ำหนักด้วยเครื่องชั่งดิจิตอล (Sartorius model: CP 3202S) นำข้อมูลผลค่าของน้ำหนักสาหร่ายเตา ก่อน และหลังการอบแห้งมาคำนวณหาค่าความชื้นของสาหร่ายเตา

การวิเคราะห์ความชื้นสมดุลของสาหร่ายเตาด้วยวิธีเชิงพลวัตเป็นการปล่อยให้วัสดุสัมผัสกับอากาศแวดล้อม โดยทำให้อากาศหรือผลิตภัณฑ์เคลื่อนไหว วิธีนี้วัสดุจะเข้าสู่สภาวะสมดุล กับสิ่งแวดล้อมอย่างรวดเร็วจึงเหมาะสมกับผลผลิตทางการเกษตรที่ความชื้นสูง โดยจำลองสภาวะการอบแห้งภายในตู้อบลมร้อน นำสาหร่ายเตาไปอบแห้งด้วยตู้อบลมร้อน (Memmert model: 500/108I) ที่อุณหภูมิ 60, 65, 70 และ 75°C เป็นเวลา 72 hr และการอบแห้งด้วยพลังงานแสงอาทิตย์ เป็นเวลา 45 h (ประมาณ 5 วัน) จนกระทั่งน้ำหนักของสาหร่ายเตาไม่มีการเปลี่ยนแปลง จากนั้นนำตัวอย่างสาหร่ายเตาไปวิเคราะห์ความชื้นสมดุลด้วยวิธีหาความชื้นตามมาตรฐาน AOAC (2010)

3. การอบแห้งด้วยพลังงานแสงอาทิตย์

นำตัวอย่างสาหร่ายเตาจำนวน 300 g วางบนตะแกรงรูปสี่เหลี่ยมจัตุรัสขนาด $20\times20\text{ cm}$ (ชั้นความหนา $3.70\pm0.80\text{ mm}$) จากนั้นนำไปอบแห้งด้วยพลังงานแสงอาทิตย์ ทำการบันทึกน้ำหนักสาหร่ายเตาที่เปลี่ยนแปลงไปทุกๆ 30 min จนสาหร่ายเตาเหลือความชื้นสุดท้าย

$0.15 \pm 0.01 \text{ g}_{\text{water}}/\text{g}_{\text{dry matter}}$ จากนั้นนำไปบดด้วยเครื่องลดขนาดแบบก้อน (hammer mill) ซึ่งมีขนาดเฉลี่ยประมาณ $250 \mu\text{m}$

4. การอบแห้งด้วยลมร้อน

เครื่องอบแห้งด้วยลมร้อนแบบภาชนะถูกออกแบบและสร้างโดยสาขาวิศวกรรมอาหาร คณะวิศวกรรมและอุตสาหกรรมเกษตร มหาวิทยาลัยแม่โจ้ ซึ่งมีส่วนประกอบที่สำคัญ ได้แก่ ระบบสร้างลมร้อนซึ่งประกอบด้วยขดลวดไฟฟ้าขนาด 1.1 kW จำนวน 3 ชุด และพัดลมระบายน้ำอากาศ (PANASONIC model: DVUS-940W1) ควบคุมอุณหภูมิของอากาศร้อนด้วยเครื่องควบคุมอุณหภูมิระบบ PID (TOHO model: TTM J4/J5) ภาคสำหรับวางตัวอย่างดิจิตัลชั่งระบบดิจิตอล สำหรับวัดและบันทึกค่าอ่านน้ำหนักที่เปลี่ยนแปลงของสารร้ายเดา ทำการบันทึกค่าผ่านจากช่องสัญญาณ RS-485 ซึ่งเชื่อมต่อกับอุปกรณ์แปลงสัญญาณและเครื่องคอมพิวเตอร์สำหรับบันทึกข้อมูล

นำตัวอย่างสารร้ายเดาจำนวน 300 g (ชั้นความหนา $3.70 \pm 0.80 \text{ mm}$) ใส่ในภาชนะแกรงรูปสี่เหลี่ยมจตุร-sided ขนาด $20 \times 20 \text{ cm}$ จากนั้นนำไปอบแห้งด้วยลมร้อนที่อุณหภูมิ $60, 65, 70$ และ 75°C บันทึกน้ำหนักสารร้ายเดาที่เปลี่ยนแปลงไปทุกๆ 10 min โดยทำการอบแห้งสารร้ายเดาจนเหลือความชื้นสุดท้าย $0.15 \pm 0.01 \text{ g}_{\text{water}}/\text{g}_{\text{dry matter}}$ จากนั้นนำไปบดด้วยเครื่องลดขนาดแบบก้อน ซึ่งมีขนาดเฉลี่ยประมาณ $250 \mu\text{m}$

5. การอบแห้งด้วยคลื่นไมโครเวฟ

เครื่องอบแห้งด้วยคลื่นไมโครเวฟที่ใช้ในการศึกษารังน้ำพัฒนาโดยสาขาวิศวกรรมอาหาร คณะวิศวกรรมและอุตสาหกรรมเกษตร มหาวิทยาลัยแม่โจ้ โดยติดตั้งระบบในภาชนะคลื่น (mode stirring) ที่เตาไมโครเวฟขนาด 800 W (Panasonic model: NN-S235WF) วางบนฐานเหล็กโดยที่ฐานเหล็กจะติดเครื่องชั่งระบบดิจิตอล (Sartorius model: CP3202S) เพื่อบันทึกปริมาณน้ำหนักที่เปลี่ยนแปลงในระหว่างการอบแห้ง ทำการตรวจระดับการดูดซับของพลังงานในไมโครเวฟ (P) โดยใช้น้ำกําลົນจำนวน $1,000 \text{ g}$ ในนิปเกอร์ขนาด $1,000 \text{ ml}$ (Pyrex No.1000) แล้วให้ความร้อนโดยเครื่องอบแห้งด้วยคลื่นไมโครเวฟเป็นเวลา 60 s ที่ระดับพลังงานไมโครเวฟต่างๆ แล้ววัดอุณหภูมิของน้ำกําลົนและหลังการให้ความร้อนด้วยคลื่นไมโครเวฟด้วยเครื่องวัดอุณหภูมิแบบพกพา มีความแม่นยำในการวัดอุณหภูมิเท่ากับ $\pm 0.1^\circ\text{C}$ (LD Didactic GmbH model:

524-0673) นำข้อมูลที่ได้มาคำนวณค่า P โดยมีสมการความสัมพันธ์ตามที่แสดงในสมการ (18) (Wei Cui et al., 2004; Ozkan et al., 2007; Maskan, 2001)

$$P = \frac{mC_p\Delta T}{t} = \frac{4,187\Delta T}{t} \quad (18)$$

เมื่อ P คือ การดูดซับพลังงาน ไมโครเวฟ (W) และ m คือ น้ำหนักของน้ำ (1,000 g), C_p คือ ค่าความจุความร้อนของน้ำ มีค่าเท่ากับ 4.187 kJ/g K, ΔT คือ ผลต่างของอุณหภูมน้ำกลั่น ก่อนและหลังการได้รับความร้อนด้วยคลื่น ($^{\circ}\text{C}$ หรือ K) และ t คือ เวลาที่น้ำกลั่นได้รับความร้อน ด้วยคลื่น ไมโครเวฟ (60 s) โดยเครื่องอบแห้งด้วยคลื่น ไมโครเวฟดังกล่าวสามารถปรับพลังงาน คลื่น ไมโครเวฟได้ 5 ระดับ คือ 164, 231, 465, 605 และ 752 W

เมื่อทราบระดับการดูดซับพลังงาน ไมโครเวฟทำการศึกษาการอบแห้งสาหร่ายเดา ด้วยคลื่น ไมโครเวฟ โดยนำสาหร่ายเดาจำนวน 300 g วางในถาดเซรามิกรูปสี่เหลี่ยมจัตุรัสขนาด 20×20 cm และสาหร่ายเดามีชั้นความหนา 3.70 ± 0.80 mm อบแห้งที่ระดับความชื้นของคลื่น ไมโครเวฟ 4 ระดับ ได้แก่ 0.77, 1.55, 2.00 และ 2.50 W/g ทำการบันทึกน้ำหนักที่ลดลงทุกๆ 30 s จนเหลือความชื้นสุดท้ายที่ 0.15 ± 0.01 g_{water}/g_{dry matter} จากนั้นนำไปบดด้วยเครื่องลดขนาดแบบบดก้อน ขนาดนาโนเมตรโดยประมาณ 250 μm

6. การวิเคราะห์แบบจำลองทางคณิตศาสตร์ของการอบแห้ง

การวิเคราะห์แบบจำลองทางคณิตศาสตร์ของการอบแห้งใช้การวิเคราะห์แบบ สมการคดอยู่ที่ไม่เป็นเส้น (nonlinear regression) ซึ่งการประเมินข้อมูลและสร้างแบบจำลอง ทางคณิตศาสตร์ค่าอัตราส่วนความชื้น (MR) ของสาหร่ายเดาในระหว่างการอบแห้ง สามารถหาได้ จากสมการ (19) และพารามิเตอร์ที่ใช้ในการประเมินความแม่นยำและความเหมาะสมของ แบบจำลองทางคณิตศาสตร์ ได้แก่ ค่าสัมประสิทธิ์การตัดสินใจ (R^2) เป็นพารามิเตอร์ที่บ่งบอก คุณภาพของรูปแบบสมการในแบบจำลองทางคณิตศาสตร์การอบแห้ง ในขณะที่ค่าไก่กำลังสอง (χ^2) และค่ารากที่สองของความคลาดเคลื่อนกำลังสองเฉลี่ย ($RMSE$) เป็นพารามิเตอร์ที่ใช้บ่งบอก ความผิดพลาดในการทำนาย ทั้งนี้แบบจำลองทางคณิตศาสตร์การอบแห้งที่มีความแม่นยำและ เหมาะสมในการทำนายจะให้ค่า R^2 สูงที่สุด แต่ขณะที่ค่า χ^2 และค่า $RMSE$ มีค่าต่ำที่สุด โดย แบบจำลองทางคณิตศาสตร์ที่ใช้ในการทำนายพฤติกรรมการอบแห้งสาหร่ายเดา ได้แก่ Newton,

Henderson and Pabis, Page, Modified Page, Midilli et al., Wang and Singh และ Logarithmic ชี้ง
รูปแบบสมการแสดงในตาราง 3

$$MR = \frac{M_t - M_e}{M_i - M_e} \quad (19)$$

เมื่อ	MR	คือ อัตราส่วนความชื้น
	M_t	คือ ความชื้นที่เวลาใดๆ ($g_{\text{water}}/g_{\text{dry matter}}$)
	M_e	คือ ความชื้นสมดุล ($g_{\text{water}}/g_{\text{dry matter}}$)
	M_i	คือ ความชื้นเริ่มต้น ($g_{\text{water}}/g_{\text{dry matter}}$)

การวิเคราะห์ค่าสัมประสิทธิ์การแพร่ความชื้นของสาหร่ายเตา (effective diffusivity: D_{eff}) ด้วยแบบจำลองกึ่งทฤษฎี ซึ่งมีความสัมพันธ์อยู่ในรูปกฎข้อที่สองของฟิก (Fick's second law) ในสภาวะการแพร่ความชื้นที่ไม่คงที่สามารถใช้ในการหาอัตราส่วนความชื้นดังแสดงในสมการ (6) และการวิเคราะห์ค่าพลังงานحرรรับการแพร่ (activation energy for diffusion: E_a) ด้วยสมการอาเรนียส (Arrhenius equation) ดังแสดงในสมการ (8) สำหรับการอบแห้งคัวคณ
ร้อน และสมการ 9 สำหรับการอบแห้งคัวคณในไครเวฟ

7. การวิเคราะห์ค่าวอเตอร์แอคทีวิตี้

นำสาหร่ายเตาอบแห้งในแต่ละสภาวะ จำนวน 3 g วัดค่าวอเตอร์แอคทีวิตี้ (a_w) โดยใช้เครื่องวัดแบบพลวัต (Aqua Lab model: Series 3 TE) โดยเครื่องจะใช้เวลาในการวัดค่า a_w ภายใน 5 min จากนั้นเครื่องจะแสดงผลบนหน้าจอพร้อมบันทึกค่า

8. การวิเคราะห์สี

นำสาหร่ายเตาอบแห้งนำวัดสีโดยใช้เครื่อง spectrophotometer (HunterLab model: MiniScan XE PLUS) เพื่อวัดค่าความสว่าง/ความมืด (lightness/darkness: L^*) ค่าความเป็นสีแดง/สีเขียว (redness/greenness: a^*) ค่าความเป็นสีเหลือง/สีน้ำเงิน (yellowness/blueness: b^*) จากนั้นนำค่าสีที่วัดได้มาคำนวณหาค่าความแตกต่างสีโดยรวม (total color difference: ΔE) ค่าความสด

(chroma: C^*) และค่าสีสัน (hue angle: h°) ของสาหร่ายเตา โดยมีสมการความสัมพันธ์ตามที่แสดงในสมการ (15)-(17) ตามลำดับ

9. การวิเคราะห์ปริมาณสารประกอบฟินอลิกทั้งหมด

เตรียมสาหร่ายเตาอบแห้งที่ผ่านการบดจำนวน 0.5 g ละลายในน้ำกลั่น จำนวน 5 ml ผสมให้เป็นเนื้อเดียวกัน จากนั้นนำไปปั่นให้ยิ่งเพื่อแยกตะกอน ที่ความเร็วรอบ 2,500 rpm เป็นเวลา 10 min นำสารสกัดน้ำของสาหร่ายเตาตามทดสอบโดยวิธี Folin-Ciocalteu ตามวิธีการของ Sachindra et al. (2010) ดังนี้ใช้ตัวอย่างสารสกัดน้ำของสาหร่ายเตาที่ละลายในน้ำกลั่น ความเข้มข้น 10 mg/ml จำนวน 0.2 ml ใส่ในหลอดทดลอง เติมสารละลาย Folin-Ciocalteu ความเข้มข้น 10% จำนวน 1 ml และเติมสารละลายโซเดียมคาร์บอเนต (Na_2CO_3) ความเข้มข้น 7.5% จำนวน 0.8 ml ผสมให้เข้ากันและตั้งทิ้งไว้เป็นเวลา 1 hr ที่อุณหภูมิห้อง จากนั้นอ่านค่าจากการดูดกลืนแสงที่ความยาวคลื่น 765 nm คำนวณปริมาณสารประกอบฟินอลิกทั้งหมดโดยเทียบกับสารมาตรฐานกรด gallic acid (gallic acid) รายงานผลปริมาณสารประกอบฟินอลิกทั้งหมด (mg GAE/100 g_{dry matter})

10. การวิเคราะห์ความสามารถในการต้านอนุมูลอิสระ

10.1 วิธี Scavenging activity of ABTS radical

นำสาหร่ายเตาอบแห้งที่ผ่านการบด ชั้นน้ำหนักแห้งประมาณ 0.5 g เติมน้ำกลั่นปริมาตร 10 ml ผสมให้เป็นเนื้อเดียวกันจากนั้นนำไปปั่นให้ยิ่งที่ความเร็วรอบ 2,500 rpm เป็นเวลา 10 min ดูดตัวอย่างสารสกัดน้ำของสาหร่ายเตาไว้ทำการทดสอบความสามารถในการต้านอนุมูลอิสระ วิธี ABTS ได้ดังแปลงจากวิธีของ Re et al. (1999) ดังนี้ เตรียมสาร ABTS [2,2'-azino-bis (3-ethylbenzothiazoline-6-sulfonic acid)] ที่มีความเข้มข้น 7 mM ปริมาตร 5 ml และสาร potassium persulfate ($\text{K}_2\text{S}_2\text{O}_8$) ที่มีความเข้มข้น 140 mM ปริมาตร 88 ml จากนั้นผสมสารละลาย 7 mM ABTS และ 140 mM $\text{K}_2\text{S}_2\text{O}_8$ ในขวดลึข่า ตั้งทิ้งไว้ในที่มีค 16 hr ที่อุณหภูมิห้อง จะได้ ABTS radical cation stock solution หลังจากนั้นทำการเอื้อง ABTS radical cation stock solution ด้วยน้ำกลั่นให้ค่าดูดกลืนแสงที่ 734 nm เท่ากับ 0.700 ± 0.020 เติมสารละลาย ABTS radical cation ปริมาตร 1 ml ลงในหลอดทดลองและใช้น้ำกลั่นเป็นชุดควบคุม จากนั้นเติมตัวอย่างสารสกัดน้ำของสาหร่ายเตา ความเข้มข้น 1 mg/ml ปริมาตร 10 μl ผสมให้เข้ากัน ตั้งทิ้งไว้ที่อุณหภูมิห้องเป็นเวลา 6 min จากนั้นวัดค่าการดูดกลืนแสงที่ 734 nm นำค่าที่ได้ไปคำนวณหา %inhibition หรือการยับยั้งอนุมูลอิสระดังสมการ (20) จากนั้นนำค่าที่ได้ไปวิเคราะห์ความสามารถในการต้านอนุมูลอิสระ ABTS ของ

สาหร่ายเดาที่สกาวะต่างๆ เทียบกับความเข้มข้นของสารต้านอนุมูลอิสระมาตรฐาน Trolox ซึ่งเป็นอนุพันธ์ของวิตามินอี หรือเรียกว่าค่า TEAC (Trolox Equivalent Antioxidant Capacity) รายงานผลความสามารถในการต้านอนุมูลอิสระ ABTS (mg TEAC/100 g_{dry matter})

$$\% \text{inhibition} = [(A_{734 \text{ control}} - A_{734 \text{ test sample}}) / A_{734 \text{ control}}] \times 100 \quad (20)$$

เมื่อ	$A_{734 \text{ control}}$	คือ ค่าการดูดกลืนแสงของชุดควบคุม
	$A_{734 \text{ test sample}}$	คือ ค่าการดูดกลืนแสงของตัวอย่างทดสอบ

10.2 วิธี 2, 2-diphenyl-1-picrylhydrazyl (DPPH) radical scavenging activity

วิธี DPPH radical scavenging ดัดแปลงมาจาก Hou et al. (2001) ดังนี้ ทำการเจือจาง DPPH radical ด้วยเอทานอลให้ค่าดูดกลืนแสงที่ 517 nm เท่ากับ 1.40±0.05 นำสาหร่ายเดาอบแห้งที่ผ่านการบด จำนวน 0.5 g ละลายในน้ำกลั่น ปริมาตร 10 ml ผสมให้เป็นเนื้อเดียวกัน จากนั้นนำไปปั่นให้แข็งที่ความเร็วรอบ 2,500 rpm เป็นเวลา 10 min แล้วดูดตัวอย่างสารสกัดน้ำของสาหร่ายเดา ความเข้มข้น 0.1 mg/ml ปริมาตร 0.6 ml ลงในหลอดทดลอง เติมสาร 1 M Tris-HCl buffer (pH=7.9) ปริมาตร 0.2 ml และเติม 5 mM DPPH ในเอทานอลปริมาตร 1.2 ml ผสมให้เข้ากัน ทิ้งไว้ในที่มีอุณหภูมิ 20 min วัดค่าการดูดกลืนแสงที่ความยาวคลื่น 517 nm นำค่าที่ได้ไปคำนวณหา %inhibition ตามสมการ (20) จากนั้นนำค่าที่ได้ไปวิเคราะห์ความสามารถในการต้านอนุมูลอิสระของสาหร่ายเดาอบแห้ง โดยเทียบกับกราฟมาตรฐานของ Trolox รายงานผลความสามารถในการต้านอนุมูลอิสระ DPPH (mg TEAC/100 g_{dry matter})

11. การวิเคราะห์ปริมาณคลอร์ฟิลล์

นำสาหร่ายเดาอบแห้งที่ผ่านการบด ชั้นน้ำหนัก 0.5 g เติม 90% v/v เอทานอลปริมาตร 10 ml บ่มที่อุณหภูมิ 70°C เป็นเวลา 5 min จากนั้นกรองเพื่อแยกเศษ渣ล์ ทิ้งให้สารละลายเย็นที่อุณหภูมิห้องแล้วปรับปริมาตรให้ได้ 10 ml ด้วย 90% v/v เอทานอล จากนั้นนำตัวอย่างสารสกัดน้ำของสาหร่ายเดาไปปั่นให้แข็งที่ความเร็วรอบ 3,500 rpm เป็นเวลา 15 min และวัดค่าดูดกลืนแสงที่ความยาวคลื่น 650 และ 665 nm คำนวณหาปริมาณคลอร์ฟิลล์ เอ และคลอร์ฟิลล์ บี ดังสมการ (21)-(22) (Becker, 1994 อ้างโดย ยุวตี และคณะ, 2548)

$$chlorophyll A = \frac{[(16.5 \times A_{665}) - (8.3 \times A_{650})] \times 10}{mg \text{ cell dry matter}} \quad (21)$$

$$chlorophyll B = \frac{[(33.8 \times A_{650}) - (12.5 \times A_{665})] \times 10}{mg \text{ cell dry matter}} \quad (22)$$

12. การวิเคราะห์พลังงานไฟฟ้าที่ใช้ในการอบแห้ง

การวิเคราะห์พลังงานไฟฟ้าเป็นการวัดอัตราการใช้พลังงานสำหรับการสร้างความร้อนที่ใช้ในการอบแห้งสาหร่ายเตาด้วยลมร้อนและคลื่นไมโครเวฟ โดยการใช้พาวเวอร์มิเตอร์แบบดิจิตอล (digital power meter) (Primus model: KM-16) เพื่อวัดกระแสไฟฟ้าเฉลี่ยต่อชั่วโมงที่ไนล่อนสายไฟของเครื่องอบแห้งแบบลมร้อน และเครื่องอบแห้งด้วยไมโครเวฟที่สภาวะการอบแห้งต่างๆ โดยสมการ (23) ใช้คำนวณการใช้ไฟฟ้าต่อชั่วโมง จากนั้นนำค่าดังกล่าวไปคำนวณค่าไฟฟ้าที่ใช้ในการอบแห้งสาหร่ายเตาที่สภาวะต่างๆ

$$P = IV \cos\phi \quad (23)$$

เมื่อ	P	คือ กำลังไฟฟ้า (kW)
	I	คือ กระแสไฟฟ้า (A)
	V	คือ ความต่างศักย์ทางไฟฟ้า (V)
	$\cos\phi$	คือ ค่าตัวประกอบกำลังไฟฟ้า มีค่าเท่ากับ 0.85 (การไฟฟ้านครหลวง, ม.ป.ป.)

$$\text{การคำนวณค่าไฟฟ้า} = \text{การใช้ไฟฟ้าเฉลี่ยต่อชั่วโมง (kW)} \times \text{ชั่วโมงการทำงาน (hr)} \times \text{ราคาต่อหน่วย (3 baht/kW* hr)}$$

13. การออกแบบการทดลองและการวิเคราะห์ข้อมูล

การทดลองทั้งหมดทำการทดลองตัวอย่างละ 3 ครั้ง ($n=3$) และหาค่าเบี่ยงเบนมาตรฐาน ($\pm S.D.$) จากนั้นนำผลการทดลองมาวิเคราะห์ทางสถิติ ด้วยการวิเคราะห์ความแปรปรวนทางเดียว (one-way ANOVA) และเปรียบเทียบค่าเฉลี่ยด้วยวิธี Duncan's New Multiple Range Test (DMRT) ที่ระดับความเชื่อมั่น 95% ($p<0.05$)

14. การออกแบบการทดลองแบบบีอกซ์-เบ๊ห์นเคน และการหาสภาวะที่เหมาะสมของการอบแห้งสาหร่ายเค้าโดยใช้วิธีการพื้นผิวตอบสนอง

งานวิจัยนี้อาศัยการวิเคราะห์ข้อมูลด้วยวิธีพื้นผิวตอบสนอง (response surface methodology: RSM) และการออกแบบการทดลองแบบบีอกซ์-เบ๊ห์นเคน (Box Behken design: BBD) สำหรับ 3 ปัจจัย อาศัยการทำการทดลองทั้งสิ้นจำนวน 15 การทดลอง โดยเป็นการทดลองที่ตำแหน่งกึ่งกลางซึ่งทำซ้ำจำนวน 3 การทดลอง ผลการทดลองที่ตำแหน่งกึ่งกลางจะถูกนำไปวิเคราะห์ทางสถิติเพื่อหาความสมรูปของแบบจำลองทางคณิตศาสตร์ กับผลการทดลองโดยแบบจำลองทางคณิตศาสตร์ที่ได้สามารถแสดงดังสมการ (24) (Zafer and Filiz, 2009; ภณิกษา และคณะ, 2555; สมเกียรติ และภูมินทร์, 2554; Montgomery, 2006)

$$Y = \beta_0 + \sum_{i=1}^n \beta_i X_i + \sum_{i=1}^n \beta_{ii} X_i^2 + \sum_{i \neq j=1}^n \beta_{ij} X_i X_j \quad (24)$$

โดยที่ $\beta_0, \beta_i, \beta_{ii}, \beta_{ij}$ คือ ค่าสัมประสิทธิ์ X_i คือ ตัวแปรด้าน ปัจจัยที่ต้องการศึกษาในกระบวนการอบแห้งสาหร่ายเค้า ประกอบไปด้วยอุณหภูมิในการอบแห้ง (X_1) ความเร็วลม (X_2) และชั้นความหนา (X_3) โดยมีระดับความสำคัญของปัจจัยต่างๆ 3 ระดับ ได้แก่ ระดับคำ (-1) กลาง (0) และสูง (1) ดังแสดงรายละเอียดของตัวแปรต้นที่ใช้ในการออกแบบการทดลองในตาราง 4 ซึ่งค่าตัวแปรต้นเหล่านี้ได้ทำการศึกษาเบื้องต้น (preliminary) และตัวแปรตามที่ต้องการศึกษา ได้แก่ ความแตกต่างสีโดยรวม (Y_1) ปริมาณสารประกอบฟินอลิกทั้งหมด (Y_2) ความสามารถในการต้านอนุมูลอิสระ ABTS (Y_3) ความสามารถในการต้านอนุมูลอิสระ DPPH (Y_4) คลอโรฟิลล์ เอ (Y_5) คลอโรฟิลล์ บี (Y_6)

ตาราง 4 ค่าตัวแปรต้นที่ใช้ในการทดสอบ

independent variables	coded	coded variables		
		-1	0	1
อุณหภูมิในการอบแห้ง ($^{\circ}\text{C}$)	X_1	65	70	75
ความเร็วลม (m/s)	X_2	1.0	1.5	2.0
ชั้นความหนา (mm)	X_3	2.0	3.0	4.0

บทที่ 4

ผลการทดลองและวิจารณ์

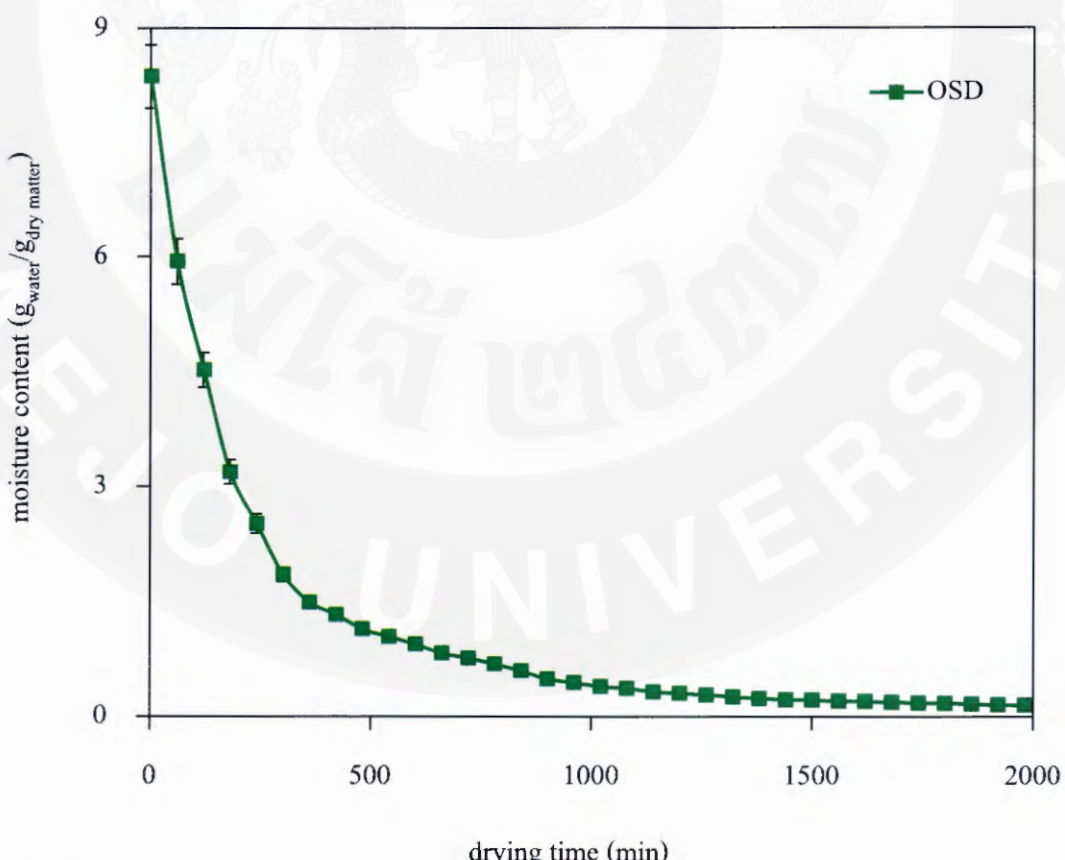
การทดลองเพื่อศึกษาหาสภาวะวิธีการอบแห้งที่เหมาะสมและสามารถลดการสูญเสียคุณภาพของสาหร่ายเตาอบแห้ง ซึ่งผลิตภัณฑ์และสารสกัดจากสาหร่ายเตาสามารถนำไปใช้ประโยชน์ในอุตสาหกรรมการผลิตเครื่องสำอางและอาหารเสริม โดยงานวิจัยนี้ทำการศึกษาคุณลักษณะการอบแห้งเบื้องต้น ได้แก่ ค่าความชื้นเริ่มต้น (M_i) และค่าความชื้นสมดุล (M_e) ที่สภาวะการอบแห้งแบบต่างๆ โดยนำค่าพารามิเตอร์ของคุณลักษณะการอบแห้งสาหร่ายเตาเพื่อหาอัตราการเปลี่ยนแปลงความชื้น (MR) ในระหว่างวิธีการอบแห้งแบบต่างๆ ได้แก่ การอบแห้งด้วยพลังงานแสงอาทิตย์ การอบแห้งสาหร่ายเตาด้วยลมร้อนและการอบแห้งด้วยคลื่นไมโครเวฟ ซึ่งข้อมูลที่ได้จากการทดลองถูกนำมาวิเคราะห์แบบจำลองทางคณิตศาสตร์ของการอบแห้งในรูปแบบสมการเอนพิริคัลและสมการกึ่งทฤษฎี เพื่อหาแบบจำลองทางคณิตศาสตร์ของการอบแห้งที่เหมาะสมในการนำเข้ากระบวนการอบแห้งที่มีประสิทธิภาพสูง รวมทั้งการทวนสอบความแม่นยำของแบบจำลองทางคณิตศาสตร์ของการอบแห้ง โดยทำการเปรียบเทียบผลจากการทำนายโดยแบบจำลองกับผลจากการทดลอง และศึกษาผลกระทบของการอบแห้งสาหร่ายเตาด้วยวิธีการอบแห้งแบบต่างๆ ได้แก่ การอบแห้งด้วยพลังงานแสงอาทิตย์ การอบแห้งด้วยลมร้อน และการอบแห้งด้วยคลื่นไมโครเวฟ เพื่อหาสภาวะที่เหมาะสมที่สามารถลดการเปลี่ยนแปลงคุณภาพสีปริมาณสารประกอบพื้นอุดิคทั้งหมด คือโรพิลล์ ความสามารถในการด้านอนุมูลอิสระ และหาพลังงานไฟฟ้าที่ใช้ในการอบแห้งเพื่อนำมาวิเคราะห์ด้านทุนการอบแห้ง นอกจากนี้ได้ศึกษาสภาวะที่เหมาะสมในการอบแห้งสาหร่ายเตาด้วยลมร้อนโดยใช้วิธีพินผิวดอบสนอง (RSM) เพื่อหาสภาวะที่สามารถรักษาคุณภาพของสาหร่ายเตาอบแห้งได้ดีที่สุด ซึ่งจากการวิเคราะห์ได้ผลดังต่อไปนี้

ผลการศึกษาคุณลักษณะการอบแห้งของสาหร่ายเตา

สาหร่ายเตาที่ใช้ในการทดลองมีความชื้นเริ่มต้นเท่ากับ $8.55 \pm 0.20 \text{ g}_{\text{water}}/\text{g}_{\text{dry matter}}$ และความชื้นสมดุลของการอบแห้งด้วยพลังงานแสงอาทิตย์ เท่ากับ $0.0736 \pm 0.0023 \text{ g}_{\text{water}}/\text{g}_{\text{dry matter}}$ การอบแห้งด้วยลมร้อนที่อุณหภูมิ 60, 65, 70, 75°C มีค่าเท่ากับ 0.0641 ± 0.0020 , 0.0635 ± 0.0020 , 0.0629 ± 0.0020 , $0.0621 \pm 0.0020 \text{ g}_{\text{water}}/\text{g}_{\text{dry matter}}$ ตามลำดับ ในขณะที่การอบแห้งด้วยคลื่นไมโครเวฟ ความชื้นสมดุลมีค่าเท่ากับศูนย์ ($M_e = 0$) เนื่องจากคลื่นไมโครเวฟมีประสิทธิภาพในการส่งถ่ายพลังงานเข้าสู่สาหร่ายเตาสูง ส่งผลให้สาหร่ายเตาเกิดระเหยน้ำในโครงสร้างเนื้อเยื่อชั้นในและน้ำ

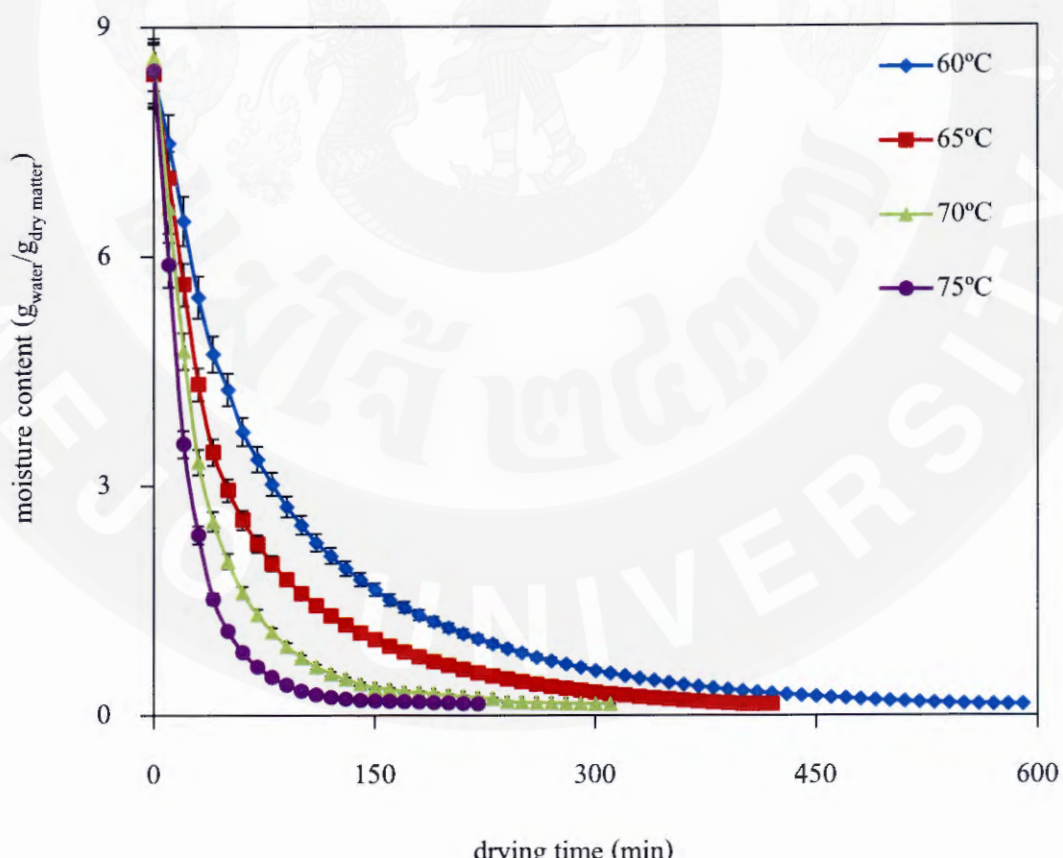
อิสระที่ผิวนอกอย่างรุนแรง ค่าความชื้นสมดุลของสาหร่ายเตาในระหว่างการอบแห้งด้วยคลื่นไนโตรเจน มีค่าเท่ากับศูนย์ สอดคล้องกับงานวิจัยของน้ำฝน และคณะ (2555); Dadali et al. (2007a); Demirhan and Özbek (2009); Therdthai and Zhou (2009); Alibas (2007); Evin (2012) ซึ่งศึกษาการอบแห้งผลผลิตทางการเกษตรและวัสดุชีวภาพนิดต่างๆ ด้วยคลื่นไนโตรเจน

ภาพ 10 แสดงความสัมพันธ์ระหว่างการเปลี่ยนแปลงความชื้นของสาหร่ายเตาที่เวลาใดๆ ในระหว่างการอบแห้งด้วยพลังงานแสงอาทิตย์ โดยเวลาที่ใช้ในการอบแห้งสาหร่ายเตาจนเหลือความชื้น $0.15 \pm 0.01 \text{ g}_{\text{water}}/\text{g}_{\text{dry matter}}$ ใช้เวลาเท่ากับ 1,980 min ซึ่งจะสังเกตว่าการเปลี่ยนแปลงของความชื้นในช่วงแรกมีแนวโน้มลดลงในลักษณะเป็นเส้นตรง หลังจากนั้นความชื้นจะลดลงในลักษณะเอกไปแน่นเชิงลกน้ำระยะเวลาในการอบแห้ง โดยที่ความชื้นของสาหร่ายเตาจะลดลงตลอดเวลาจนสิ้นสุดกระบวนการอบแห้ง จากปรากฏการณ์ดังกล่าวสามารถอธิบายได้ว่าสาหร่ายเตาได้รับความร้อนจากแสงอาทิตย์โดยตรง ส่งผลทำให้ปริมาณน้ำอิสระในโครงสร้างเซลล์ที่บริเวณผิวเกิดการเปลี่ยนสถานะจากของเหลวระเหยกลายเป็นไอน้ำ และไอน้ำถูกถ่ายเทมาไว้กับอากาศร้อนจากนั้นปริมาณน้ำอิสระในโครงสร้างชั้นในจะเกิดการเคลื่อนที่มาทางแทนบริเวณผิว



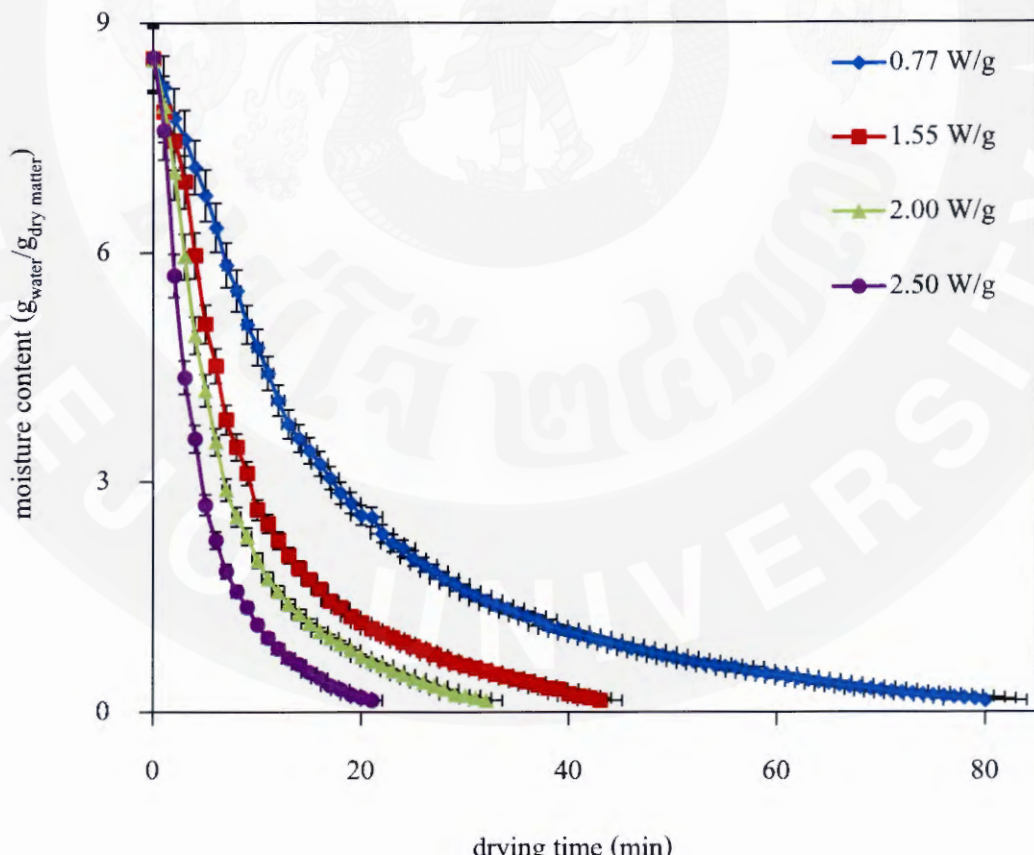
ภาพ 10 การเปลี่ยนแปลงความชื้นในระหว่างการอบแห้งสาหร่ายเตาด้วยพลังงานแสงอาทิตย์

การศึกษาผลของอุณหภูมิลมร้อนต่อการเปลี่ยนแปลงความชื้นของสาหร่ายเตาในระหว่างการอบแห้ง โดยอุณหภูมิลมร้อนที่ใช้ในการศึกษารังนี้มี 4 ระดับ ได้แก่ 60, 65, 70 และ 75°C ด้วยความเร็วลมคงที่ 2.0 m/s พนว่าเวลาที่ใช้ในการอบแห้งสาหร่ายเตาจากเหลือความชื้น $0.15 \pm 0.01 \text{ g}_{\text{water}}/\text{g}_{\text{dry matter}}$ ใช้เวลาเท่ากับ 590, 420, 310 และ 220 min ที่ระดับอุณหภูมิ 60, 65, 70 และ 75°C ตามลำดับ (ภาพ 11) ทั้งนี้การอบแห้งสาหร่ายเตาที่อุณหภูมิ 75°C ซึ่งเป็นอุณหภูมิสูงสุดที่ใช้ในการทดลองจะใช้เวลาในการอบแห้งน้อยกว่าที่อุณหภูมิ 60°C ถึง 2.59 เท่า เนื่องจากอุณหภูมิลมร้อนที่ใช้ในการอบแห้งสูงสามารถลดความชื้นของสาหร่ายเตาได้เร็วกว่าการอบแห้งที่อุณหภูมิต่ำ ทั้งนี้เป็นผลเนื่องจากความแตกต่างของอุณหภูมิระหว่างอากาศร้อนกับสาหร่ายเตา ในกรณีที่ใช้อุณหภูมิลมร้อนสูงจะทำให้อัตราการถ่ายเทความชื้นมีค่าสูงกว่าการอบแห้งที่อุณหภูมิต่ำ ทำให้ความแตกต่างของอุณหภูมิลมร้อนดังกล่าวจะเห็นได้เร็วกว่า เช่นเดียวกับผลงานวิจัยของ Pardeshi et al. (2009); Kumar et al. (2012); จินตนพร และคณะ (2555) ซึ่งศึกษาการอบแห้งถั่วเขียว กากแครอท และกากมะพร้าว พนว่าเวลาในการอบแห้งลดลงเมื่อใช้อุณหภูมิในการอบแห้งสูงขึ้น



ภาพ 11 การเปลี่ยนแปลงความชื้นในระหว่างการอบแห้งสาหร่ายเตาด้วยลมร้อน

ผลการทดลองวัดค่าพลังงานคลื่นในโกรเวฟที่ระดับพลังงานต่างๆ พบว่า เตาในโกรเวฟที่ใช้ในการศึกษาครั้งนี้มีระดับกำลังงานการคุณซับพลังงานเท่ากัน 231.18 ± 5.83 , 465.15 ± 9.08 , 605.81 ± 4.92 และ 752.04 ± 14.77 W หรือที่ระดับความชื้น 0.77, 1.55, 2.00 และ 2.50 W/g ตามลำดับ ภาพ 12 แสดงความสัมพันธ์ระหว่างการเปลี่ยนแปลงความชื้นของสาหร่ายเตาที่เวลาใดๆ ในระหว่างการอบแห้งด้วยคลื่นในโกรเวฟ เวลาที่ใช้ในการอบแห้งสาหร่ายเตาจนเหลือความชื้น 0.15 ± 0.01 g_{water}/g_{dry matter} มีค่าเท่ากัน 80, 43, 32 และ 21 min ที่ระดับความชื้น 0.77, 1.55, 2.00 และ 2.50 W/g ตามลำดับ ที่ระดับความชื้น 2.50 W/g ซึ่งเป็นระดับพลังงานสูงสุดใช้เวลาน้อยสุด เท่ากัน 21 min แต่ในขณะที่ระดับ 0.77 W/g ใช้เวลาในการอบแห้งมากที่สุด โดยใช้เวลาเท่ากัน 80 min ดังนั้นเวลาที่ใช้ในการอบแห้งสาหร่ายเตาจะขึ้นอยู่กับระดับความชื้นของคลื่นในโกรเวฟ สอดคล้องกับผลงานวิจัยของ ปองพล และ ฤทธิชัย (2555); Dadali et al. (2007a) และ Özbek and Dadali (2007) ได้ทดลองอบแห้งในกะเพรากระเจีบเกียว และในสะระแหน่ด้วยคลื่นในโกรเวฟ พบว่าเมื่อเพิ่มระดับความชื้นของคลื่นในโกรเวฟสูงขึ้นจะทำให้เวลาในการอบแห้งลดลง

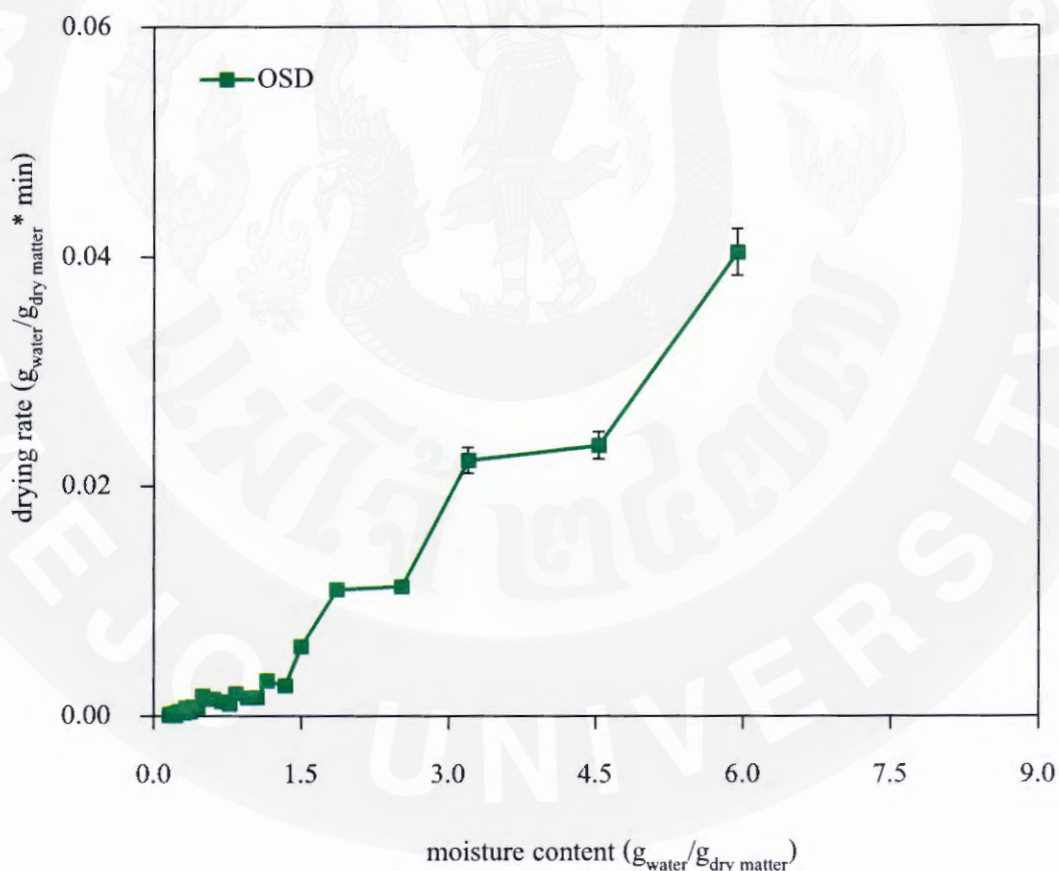


ภาพ 12 การเปลี่ยนแปลงความชื้นในระหว่างการอบแห้งสาหร่ายเตาด้วยคลื่นในโกรเวฟ

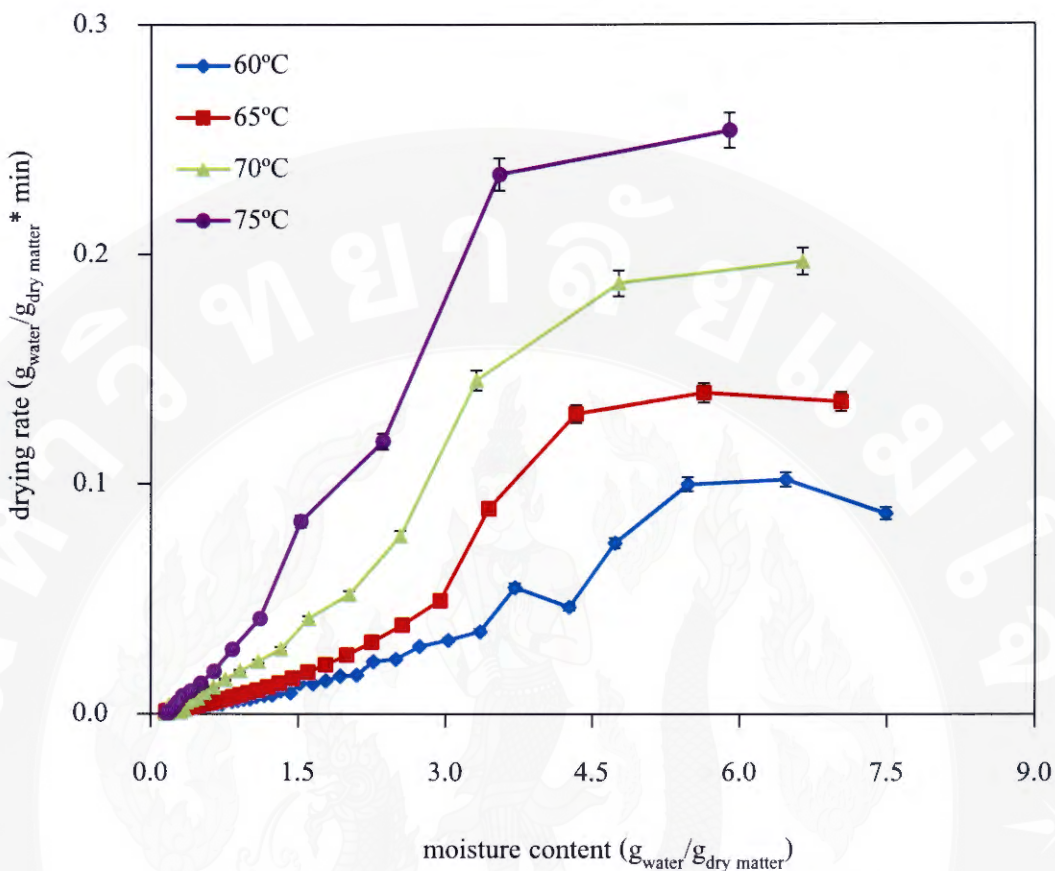
ผลการศึกษาอัตราการอบแห้งสาหร่ายเดาด้วยพลังงานแสงอาทิตย์ มีค่าเท่ากับ $0.0005 \pm 0.0001 \text{ g}_{\text{water}}/\text{g}_{\text{dry matter}} * \text{ min}$ (ภาพ 13) และภาพ 14 แสดงความสัมพันธ์ระหว่างอัตราการอบแห้งที่ระดับความชื้นต่างๆ ของการอบแห้งสาหร่ายเดาด้วยลมร้อน โดยอัตราการอบแห้งสาหร่ายเดาจะขึ้นอยู่กับระดับของอุณหภูมิลมร้อนที่ใช้ในการอบแห้ง อัตราการอบแห้งของสาหร่ายเดา มีค่าเท่ากับ 0.0139 ± 0.0015 , 0.0196 ± 0.0008 , 0.0273 ± 0.0026 และ $0.0376 \pm 0.0017 \text{ g}_{\text{water}}/\text{g}_{\text{dry matter}} * \text{ min}$ ที่อุณหภูมิ 60, 65, 70 และ 75°C ตามลำดับ เมื่ออุณหภูมิลมร้อนมีค่าสูง ทำให้อัตราการอบแห้งมีค่าเพิ่มขึ้น เนื่องจากอุณหภูมิที่เพิ่มสูงขึ้นทำให้ผลิต่างของความดันไออกะระหว่างสาหร่ายเดากับอากาศมีค่าสูง จึงทำให้การถ่ายเทความร้อนและมวลได้ดีขึ้น เมื่อโน้มเลกูลของน้ำภายในวัสดุได้รับพลังงานเพิ่มขึ้นมากพอที่จะอาซานะแรงยึดเหนี่ยวโน้มเลกูลได้ จึงส่งผลให้น้ำระเหยออกจากสาหร่ายเดาได้เร็วขึ้น โดยกลไกการถ่ายเทความร้อนและมวลความชื้นในระหว่างกระบวนการอบแห้งของสาหร่ายเดาเบ่งอกเป็น 3 ช่วง ได้แก่ ช่วงแรกตัวอย่างสาหร่ายเดาจะสัมผัสกับลมร้อนจะเกิดปรากฏการณ์การถ่ายเทความร้อน จนอุณหภูมนิมีค่าสูงขึ้นและมีค่าเท่ากับอุณหภูมิของลมร้อน โดยความร้อนที่เกิดขึ้นในช่วงดังกล่าว เป็นค่าความร้อนจำ奴วนหนึ่งที่ทำให้มวลความชื้นมีอุณหภูมิเปลี่ยนแปลง โดยไม่ทำให้เกิดการเปลี่ยนแปลงสถานะของน้ำ (sensible heat) จากนั้นเมื่อน้ำที่ผิวจะเกิดการเปลี่ยนแปลงสถานะไอน้ำและถูกถ่ายเทความชื้นและถูกพาออกไปกับอากาศร้อนที่ไอลผ่าน โดยพลังงานความร้อนที่เกิดขึ้นในช่วงนี้เรียกว่า ความร้อนแฝง (latent heat) มวลความชื้นที่ผิวตัวอย่างสาหร่ายเดาจะสูญเสียสมดุลความชื้นและแห้ง ส่งผลให้มวลความชื้นในชั้นเนื้อเยื่อเคลื่อนที่มาข้างผิวน้ำเพื่อชดเชยมวลความชื้นที่สูญเสียไปในระหว่างการอบแห้ง จากปรากฏการณ์ดังกล่าวจึงเกิดความแตกต่างของความดันไอน้ำในโครงสร้างเซลล์และผังเนื้อเยื่อชั้นใน จึงมีการแพร่墁ความชื้นมาทางแทนบัณบริเวณผิวน้ำเซลล์เท่ากับอัตราการระเหยของน้ำที่ผิวน้ำอาหาร การอบแห้งช่วงนี้จึงเรียกว่าอัตราการทำแห้งคงที่ (constant drying rate period) และเมื่อการอบแห้งดำเนินการต่อไปจนกระทั่ง อัตราการเคลื่อนที่ของน้ำภายในอาหารที่แพร่มาแทนที่ผิวน้ำซากว่า อัตราการระเหยของน้ำที่ผิวน้ำของอาหาร (falling drying rate period) (พคุงศักดิ์, 2551) และภาพ 15 แสดงความสัมพันธ์ระหว่างอัตราการอบแห้งที่ระดับความชื้นต่างๆ ของการอบแห้งสาหร่ายเดาด้วยคลื่นในโครเวฟทั้ง 4 ระดับ พบว่าอัตราการอบแห้งมีค่าเท่ากับ 0.1039 ± 0.0067 , 0.1929 ± 0.0273 , 0.2645 ± 0.0148 และ $0.4109 \pm 0.0226 \text{ g}_{\text{water}}/\text{g}_{\text{dry matter}} * \text{ min}$ ทั้งนี้อัตราการอบแห้งสาหร่ายเดาจะขึ้นอยู่กับระดับความเข้มของคลื่นในโครเวฟ เมื่อเพิ่มระดับความเข้มของคลื่นในโครเวฟทำให้อัตราการอบแห้งมีค่าเพิ่มขึ้น

จากภาพ 13-15 จะเห็นว่าอัตราการเปลี่ยนแปลงความชื้นของสาหร่ายเดาในระหว่างการอบแห้งเป็นไปในทิศทางเดียวกัน นั่นคือ ความชื้นของสาหร่ายเดามีค่าลดลงต่อเนื่อง

อย่างรวดเร็ว หรือมีอัตราการอบแห้งที่สูงในช่วงแรก เนื่องจาก การอบแห้งในช่วงแรกสาราร่ายเตาจะมีปริมาณความชื้นสูง ซึ่งความชื้นหรือน้ำในส่วนนี้ส่วนใหญ่จะเป็นน้ำอิสระ (free water) ที่อยู่ภายในโครงสร้างเซลล์และผนังเนื้อเยื่อชั้นในเคลื่อนที่มากผิวน้ำของสาราร่ายเตาเพื่อทดแทนน้ำที่ระเหยออกไปจากผิวน้ำ จากนั้นการเปลี่ยนแปลงความชื้นจะมีค่าลดลง อันเนื่องมาจากการความชื้นของสาราร่ายเตามีปริมาณน้อยลง และน้ำในส่วนนี้ส่วนใหญ่เป็นน้ำที่ยึดเกาะอยู่กับโมเลกุลของสารอิน (bound water) จึงส่งผลให้ความสามารถในการเคลื่อนที่ของความชื้นจากภายในโครงสร้างเซลล์ไปสู่ผิวน้ำของสาราร่ายเตาติดขึ้น ได้ช้ากว่าการระเหยของน้ำที่บริเวณผิวน้ำของสาราร่ายเตา ซึ่งทำให้อัตราการเปลี่ยนแปลงความชื้นในช่วงหลังมีค่าต่ำกว่าในช่วงแรก และหลังจากนั้นอัตราการเปลี่ยนแปลงความชื้นจะมีค่าลดลงต่ำมาก เนื่องจากปริมาณความชื้นภายในของสาราร่ายเตาที่แพร่กระจายตัวในชั้นผิวน้ำเคลื่อนที่ได้ช้ากว่าอัตราการระเหยของน้ำที่ผิวน้ำของสาราร่ายเตา



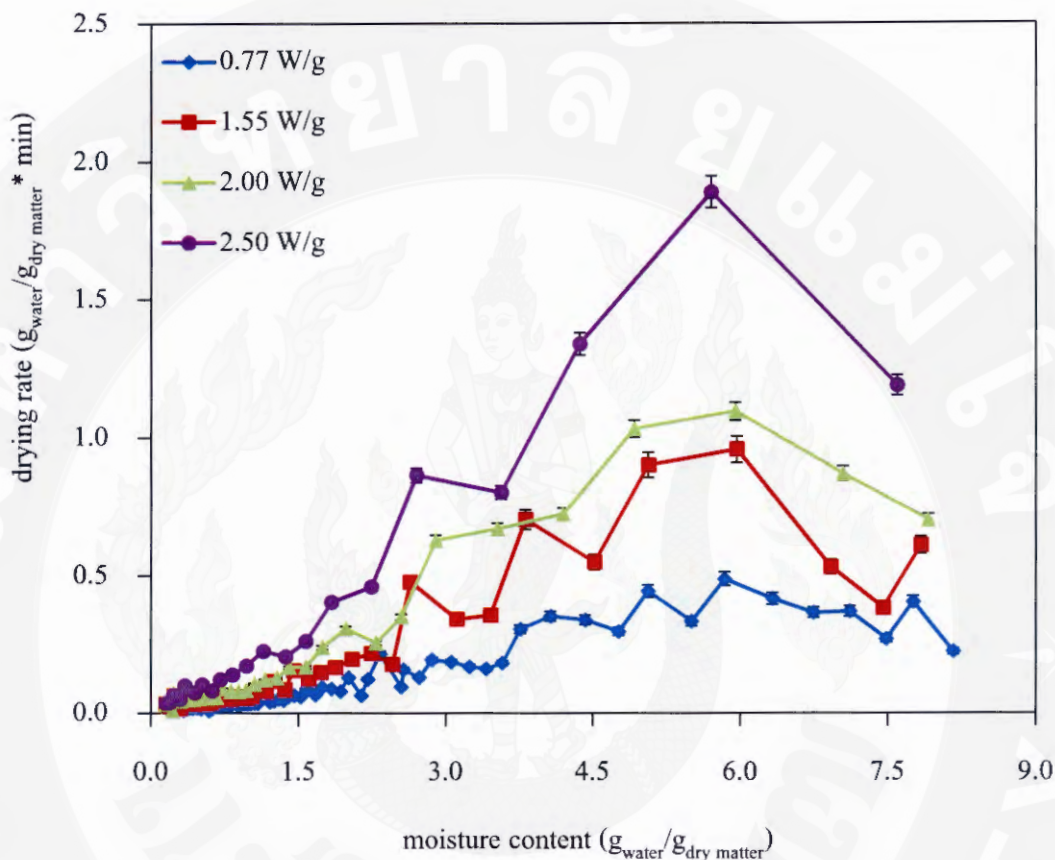
ภาพ 13 การเปลี่ยนแปลงอัตราการอบแห้งสาราร่ายเตาด้วยพลังงานแสงอาทิตย์



ภาพ 14 การเปลี่ยนแปลงอัตราการอบแห้งสาหร่ายเตาด้วยลมร้อน

เมื่อเปรียบเทียบเวลาที่ใช้ในการอบแห้งและอัตราการอบแห้งสาหร่ายเตา พบร่วมกันว่า การอบแห้งด้วยคลื่นไมโครเวฟจะใช้เวลาน้อยกว่าและมีอัตราการอบแห้งที่สูงกว่าการอบแห้งด้วย พลังงานแสงอาทิตย์และการอบแห้งด้วยลมร้อน เนื่องจากสาหร่ายเตาจัดเป็นวัสดุทางชีวภาพที่มีโครงสร้างเป็นรูปrun สามารถดูดซับพลังงานจากคลื่นไมโครเวฟได้ดี โดยการเกิดความร้อนใน สาหร่ายเตาจะประกอบไปด้วยกลไกการเหนี่ยวนำเชิงไอออน (ionic conduction) และกลไกชนิด การหมุนของห้องส่องข้า (dipolar rotation) ดังนั้นเมื่อสาหร่ายเตาได้รับคลื่นไมโครเวฟในระหว่าง การอบแห้ง น้ำในสาหร่ายเตาจะถูกเหนี่ยวนำด้วยคลื่นไมโครเวฟจนเกิดความร้อนทั่วบริเวณผิว นอกและภายในโครงสร้างเซลล์อย่างรวดเร็ว และเมื่อปริมาณความร้อนสูงส่งผลให้เกิดการระเหย ของน้ำที่บริเวณผิวน้ำและภายในสาหร่ายเตาเกิดการแพร่ความชื้นออกไปสู่ชั้นผิวอย่างรวดเร็ว พลังงานความร้อนที่เกิดขึ้นจะเป็นตัวเร่งอัตราการระเหยของไอน้ำที่ผิวน้ำ และมีค่าเท่ากับอัตรา การเคลื่อนตัวของน้ำภายในโครงสร้างที่มาเดิมเดิมที่ผิวน้ำสาหร่ายเตาทำให้มีอัตราการระเหยน้ำที่

สูงและคงที่ เมื่อการอบแห้งสาหร่ายเตาดำเนินการต่อไปเรื่อยๆ จนความชื้นของสาหร่ายเตาเข้าสู่ความชื้นวิกฤติกระบวนการอบแห้งจะเข้าสู่ค่าบเวลาที่อัตราการอบแห้งลดลง



ภาพ 15 การเปลี่ยนแปลงอัตราการอบแห้งสาหร่ายเตาด้วยกลืน ในโครเวฟ

ผลการศึกษาแบบจำลองทางคณิตศาสตร์ของการอบแห้งสาหร่ายเตาด้วยวิธีการอบแห้งแบบต่างๆ

1. แบบจำลองทางคณิตศาสตร์ของการอบแห้งสาหร่ายเตาในรูปของแบบจำลองเอนพิริคัล

แบบจำลองทางคณิตศาสตร์ของการอบแห้งในรูปแบบของสมการเอนพิริคัลที่ใช้ในการศึกษารังนี้ประกอบไปด้วย แบบจำลองของ Newton, Page, Modified Page, Midilli et al., Henderson and Pabis, Logarithmic และ Wang and Singh การวิเคราะห์หาค่าพารามิเตอร์ต่างๆ ของแบบจำลองทางคณิตศาสตร์โดยใช้การวิเคราะห์แบบสมการถดถอยที่ไม่เป็นเชิงเส้น (nonlinear

regression) และใช้ค่าสัมประสิทธิ์การตัดสินใจ (R^2) ค่าไก่กำลังสอง (χ^2) และค่ารากที่สองของความคลาดเคลื่อนกำลังสองเฉลี่ย ($RMSE$) เป็นตัวชี้วัดที่ชี้ความแม่นยำของแบบจำลองในการทำนายค่าความชื้นที่เปลี่ยนแปลงไปในระหว่างการทำแห้ง โดยแบบจำลองที่มีความแม่นยำและเหมาะสมในการทำนายจะให้ค่า R^2 สูง แสดงถึงคุณภาพของรูปแบบสมการที่มีความเหมาะสมในการทำนาย แต่ในขณะที่ค่า χ^2 และค่า $RMSE$ ซึ่งเป็นพารามิเตอร์ทางสถิติที่ใช้บ่งบอกความผิดพลาดในการทำนายค่าของแบบจำลองทางคณิตศาสตร์จะมีค่าต่ำ ผลการศึกษาแบบจำลองทางคณิตศาสตร์ของการทำแห้งสาหร่ายเตาด้วยพลังงานแสงอาทิตย์ ดังแสดงในตาราง 5 ซึ่งแสดงค่าคงที่ของการอบแห้งและค่าพารามิเตอร์ที่ใช้ในการวิเคราะห์ความแม่นยำของแบบจำลองทางคณิตศาสตร์ของการทำแห้งทั้ง 7 แบบจำลอง โดยแบบจำลองทางคณิตศาสตร์ของ Logarithmic สามารถอธิบายพฤติกรรมการอบแห้งสาหร่ายเตาด้วยพลังงานแสงอาทิตย์ได้เหมาะสมที่สุด เมื่อจากให้ค่า R^2 สูงที่สุด (0.9969) ในขณะที่ค่า χ^2 (2.7646×10^{-4}) และค่า $RMSE$ (0.0159) มีค่าต่ำกว่าแบบจำลองทางคณิตศาสตร์ของ Newton, Page, Modified Page, Henderson and Pabis, Midilli et al. และ Wang and Singh โดยสอดคล้องกับผลงานวิจัยของ Afolabi (2014) ซึ่งศึกษาจัดทดสอบว่าการอบแห้งแบบชั้นบางของกระเจี๊ยบเปียวยด้วยพลังงานแสงอาทิตย์ เช่นเดียวกับผลงานวิจัยของ Akpinar and Bicer (2007) และ Akpinar (2008) ศึกษาแบบจำลองทางคณิตศาสตร์ของการอบแห้งเชอร์รี่เปรี้ยวและในหม้อนขาวในระหว่างเครื่องอบแห้งแสงอาทิตย์ (solar dryer) และการอบแห้งด้วยพลังงานแสงอาทิตย์ จากผลการทดลองพบว่า แบบจำลองทางคณิตศาสตร์ของ Logarithmic มีความแม่นยำในการทำนายการเปลี่ยนแปลงความชื้นของกระเจี๊ยบเปียวยและเชอร์รี่เปรี้ยวในระหว่างการทำแห้งด้วยพลังงานแสงอาทิตย์ได้เหมาะสมที่สุด

ตาราง 6 แสดงค่าพารามิเตอร์ต่างๆ และการวิเคราะห์ทางสถิติของแบบจำลองทางคณิตศาสตร์ของการอบแห้ง ซึ่งชี้ให้เห็นว่าแบบจำลองของ Midilli et al. สามารถทำนายพุติกรรมการอบแห้งสาหร่ายเตาด้วยลมร้อนได้เหมาะสมที่สุด เมื่อจากให้ค่า R^2 โดยมีค่าอยู่ในช่วง 0.9993-0.9999 ซึ่งมีค่ามากกว่าแบบจำลองทางคณิตศาสตร์ของ Newton, Page, Modified Page, Henderson and Pabis, Logarithmic และ Wang and Singh นอกจากนี้ค่า χ^2 และค่า $RMSE$ มีค่าต่ำที่สุด ซึ่งมีค่าอยู่ระหว่าง 0.1174×10^{-4} - 0.6652×10^{-4} และ 0.0033-0.0074 ตามลำดับ ดังนั้นแบบจำลองทางคณิตศาสตร์ของ Midilli et al. เป็นแบบจำลองที่มีรูปแบบสมการที่เหมาะสมที่สุดในการอธิบายพฤติกรรมการอบแห้งสาหร่ายเตาด้วยลมร้อน และจากการศึกษางานวิจัยหลายฉบับยืนยันว่า แบบจำลองของ Midilli et al. เหมาะสำหรับการอธิบายเส้นโค้งการทำแห้งด้วยลมร้อนของวัสดุทางการเกษตรจำนวนมาก เช่น ผลงานวิจัยของ Thao and Noomhorm (2011); Pongtong et al. (2011); จินตนaphr และคณะ (2555) ซึ่งพบว่าแบบจำลองของ Midilli et al. มีความเหมาะสมในการทำนาย

การเปลี่ยนแปลงความชื้นของมันเนส เปล็อกทับทิม และกากมะพร้าว

ผลการศึกษาแบบจำลองทางคณิตศาสตร์ของการอบแห้งสาหร่ายเตาด้วยคลื่นในโครเวฟ พบว่า แบบจำลองของ Logarithmic สามารถทำงานการเปลี่ยนแปลงความชื้นของสาหร่ายเตาในระหว่างการอบแห้งด้วยคลื่นในโครเวฟได้เหมาะสมที่สุด เนื่องจากมีค่า R^2 ในช่วง 0.9962-0.9985 ซึ่งมีค่ามากกว่าแบบจำลองทางคณิตศาสตร์แบบอื่นๆ และมีค่า χ^2 และค่า RMSE ต่ำกว่าแบบจำลองทางคณิตศาสตร์ของการอบแห้งแบบอื่นๆ ซึ่งมีค่าอยู่ระหว่าง 1.7294×10^{-4} - 4.9047×10^{-4} และ 0.0129 - 0.0214 ตามลำดับ (ตาราง 7)

การศึกษาแบบจำลองทางคณิตศาสตร์การอบแห้งของสาหร่ายเตาแสดงในรูปแบบของความสัมพันธ์ระหว่างการเปลี่ยนแปลงความชื้นเทียบกับเวลาในการอบแห้งสาหร่ายเตาภายในการอบแห้งที่อุณหภูมิคงร้อน และระดับความเข้มของคลื่นในโครเวฟที่ระดับต่างๆ โดยการเปลี่ยนแปลงที่เกิดขึ้นระหว่างการอบแห้งนี้เป็นกระบวนการที่ขึ้นอยู่กับเวลา (time-dependent process) ทั้งนี้แบบจำลองทางคณิตศาสตร์ของการอบแห้งที่ได้สามารถนำมาใช้ในการจำลองการเปลี่ยนแปลงความชื้นที่เวลาใดๆ ในระหว่างการอบแห้ง ซึ่งจะช่วยให้ได้ข้อมูลจำนวนมากอย่างละเอียดทั้งข้อมูลซึ่งอาจจะวัดได้ยากหรือวัดไม่ได้เลยในห้องปฏิบัติการ และยังสามารถประยุกต์ได้ทั้งเวลารวมทั้งค่าใช้จ่ายในการทดลอง ซึ่งข้อมูลที่ได้จากการวิเคราะห์ในรูปแบบจำลองที่จะนำไปสู่การหาสภาวะที่เหมาะสมที่สุดในการอบแห้ง (optimum condition) ได้อย่างแม่นยำ

ตาราง 5 ค่าคงที่การอบแห้งของสาหร่ายเตาด้วยพลังงานแสงอาทิตย์

drying model	empirical drying model constants	analytical parameters		
		R^2	$\chi^2 \times 10^{-4}$	RMSE
Newton	$k = 0.0048$	0.9923	6.1099	0.0244
Page	$k = 0.0170, n = 0.7706$	0.9954	3.1478	0.0172
Modified Page	$k = 0.0051, n = 0.7706$	0.9956	2.9426	0.0166
Midilli et al.	$k = 0.0679, a = 1.4882, b = 2.88 \times 10^{-6}, n = 0.5787$	0.9640	83.0527	0.0856
Henderson and Pabis	$k = 0.0045, a = 0.9521$	0.9918	5.5929	0.0229
Logarithmic	$k = 0.0051, a = 0.9466, c = 0.0286$	0.9969	2.7646	0.0159
Wang and Singh	$a = -0.0017, b = 6.79 \times 10^{-7}$	0.8401	312.4044	0.1715

หมายเหตุ k คือค่าคงที่การอบแห้ง; n คือค่าดัชนีการอบแห้ง; a, b, c คือค่าคงที่ของแบบจำลอง

ตาราง 6 ค่าคงที่การอบแห้งของสาหร่ายเตาด้วยลมร้อน

drying model	temperature (°C)	empirical drying model constants	analytical parameters		
			R ²	$\chi^2 \times 10^{-4}$	RMSE
Newton	60	$k = 0.0116$	0.9908	8.0502	0.0281
	65	$k = 0.0181$	0.9849	11.9662	0.0342
	70	$k = 0.0285$	0.9947	3.9079	0.0195
	75	$k = 0.0412$	0.9971	2.4145	0.0152
Page	60	$k = 0.0279, n = 0.8127$	0.9981	1.5993	0.0124
	65	$k = 0.0460, n = 0.7780$	0.9953	3.7329	0.0189
	70	$k = 0.0425, n = 0.8938$	0.9964	2.7771	0.0161
	75	$k = 0.0427, n = 0.9897$	0.9971	2.5196	0.0152
Modified Page	60	$k = 0.0122, n = 0.8127$	0.9980	1.6024	0.0124
	65	$k = 0.0191, n = 0.7780$	0.9952	3.7332	0.0189
	70	$k = 0.0292, n = 0.8938$	0.9964	2.7771	0.0161
	75	$k = 0.0413, n = 0.9896$	0.9971	2.5198	0.0152
Midilli et al.	60	$k = 0.0693, a = 1.2407, b = -5.65 \times 10^{-6}, n = 0.6578$	0.9999	0.1174	0.0033
	65	$k = 0.1059, a = 1.6649, b = -1.65 \times 10^{-5}, n = 0.5141$	0.9994	0.4444	0.0063
	70	$k = 0.1432, a = 1.4824, b = 3.11 \times 10^{-5}, n = 0.6569$	0.9993	0.5606	0.0070
	75	$k = 0.1713, a = 1.6175, b = 5.47 \times 10^{-5}, n = 0.6918$	0.9993	0.6652	0.0074
Henderson and Pabis	60	$k = 0.0108, a = 0.9375$	0.9928	5.8140	0.0237
	65	$k = 0.0169, a = 0.9417$	0.9873	9.9644	0.0308
	70	$k = 0.0282, a = 0.9894$	0.9948	3.9467	0.0192
	75	$k = 0.0415, a = 1.0066$	0.9971	2.4833	0.0151
Logarithmic	60	$k = 0.0123, a = 0.9382, c = 0.0280$	0.9959	3.2827	0.0177
	65	$k = 0.0199, a = 0.9421, c = 0.0346$	0.9937	4.9641	0.0215
	70	$k = 0.0306, a = 0.9824, c = 0.0208$	0.9982	1.4091	0.0113
	75	$k = 0.0437, a = 0.9984, c = 0.0148$	0.9989	1.0625	0.0096
Wang and Singh	60	$a = -0.0055, b = 7.02 \times 10^{-6}$	0.9147	165.7988	0.1266
	65	$a = -0.0078, b = 1.42 \times 10^{-5}$	0.8902	209.7056	0.1414
	70	$a = -0.0111, b = 2.78 \times 10^{-5}$	0.8629	243.8225	0.1512
	75	$a = -0.0158, b = 5.58 \times 10^{-5}$	0.8580	253.0057	0.1520

หมายเหตุ k คือค่าคงที่การอบแห้ง; n คือค่าดัชนีการอบแห้ง; a, b, c คือค่าคงที่ของแบบจำลอง

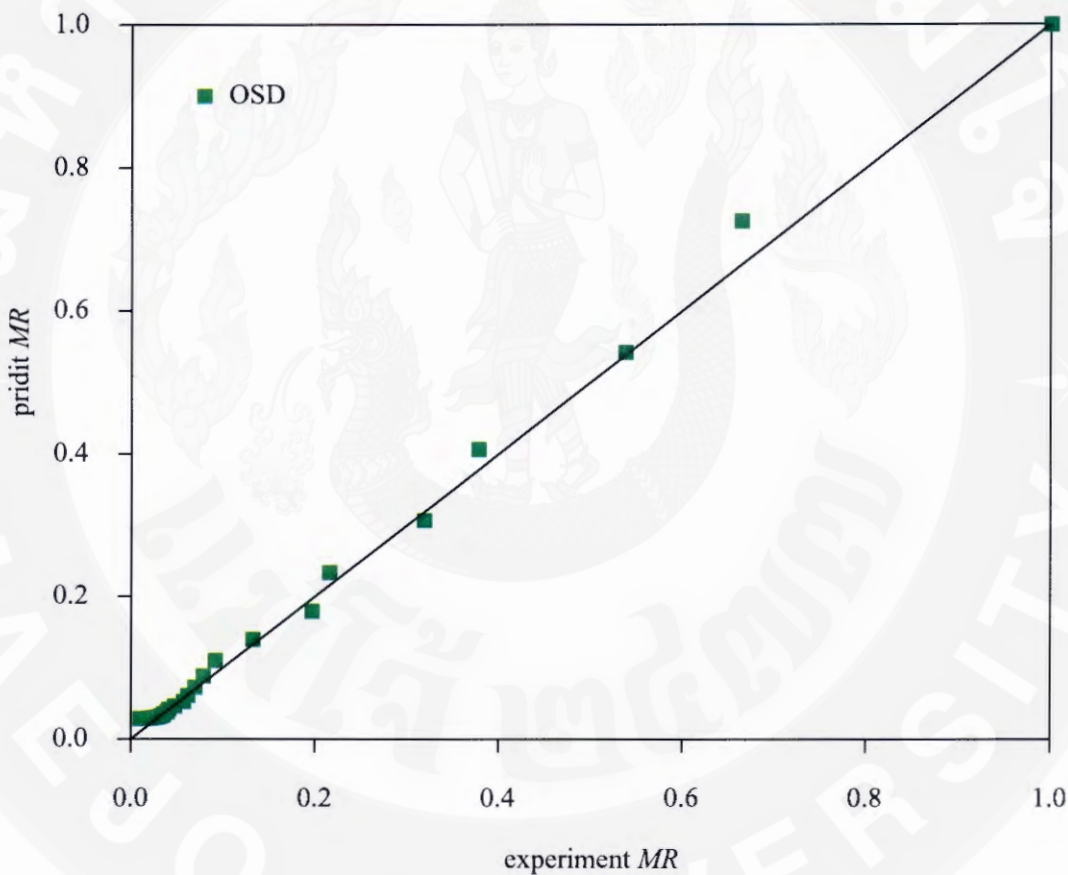
ตาราง 7 ค่าคงที่การอบแห้งของสาหร่ายเตาด้วยคลื่นไมโครเวฟ

drying model	microwave power (W/g)	empirical drying model constants	analytical parameters		
			R^2	$\chi^2 \times 10^{-4}$	RMSE
Newton	0.77	$k = 0.0549$	0.9966	3.8535	0.0195
	1.55	$k = 0.1004$	0.9937	8.3722	0.0286
	2.00	$k = 0.1382$	0.9962	5.0429	0.0221
	2.50	$k = 0.2154$	0.9969	3.6676	0.0188
Page	0.77	$k = 0.0616, n = 0.9628$	0.9970	3.6093	0.0188
	1.55	$k = 0.0961, n = 1.0167$	0.9936	8.5043	0.0285
	2.00	$k = 0.1405, n = 0.9922$	0.9962	5.1834	0.0221
	2.50	$k = 0.2274, n = 0.9683$	0.9971	3.6306	0.0183
Modified Page	0.77	$k = 0.0553, n = 0.9628$	0.9970	3.6092	0.0188
	1.55	$k = 0.1002, n = 1.0167$	0.9936	8.4988	0.0285
	2.00	$k = 0.1384, n = 0.9923$	0.9962	5.1834	0.0221
	2.50	$k = 0.2167, n = 0.9683$	0.9971	3.6306	0.0183
Midilli et al.	0.77	$k = 0.0672, a = 1.0481, b = 0.0003, n = 0.9619$	0.9978	2.6110	0.0158
	1.55	$k = 0.0984, a = 1.0482, b = 0.0009, n = 1.0537$	0.9962	5.0560	0.0215
	2.00	$k = 0.1408, a = 1.0313, b = 0.0010, n = 1.0288$	0.9976	3.2400	0.0169
	2.50	$k = 0.2277, a = 1.0208, b = 0.0012, n = 1.0018$	0.9979	2.7458	0.0152
Henderson and Pabis	0.77	$k = 0.0557, a = 1.0141$	0.9966	3.7884	0.0192
	1.55	$k = 0.1051, a = 1.0450$	0.9944	7.3005	0.0265
	2.00	$k = 0.1417, a = 1.0242$	0.9963	4.7959	0.0213
	2.50	$k = 0.2175, a = 1.0099$	0.9969	3.7525	0.0186
Logarithmic	0.77	$k = 0.0625, a = 1.0094, c = 0.0310$	0.9985	1.7294	0.0129
	1.55	$k = 0.1178, a = 1.0370, c = 0.0324$	0.9962	4.9047	0.0214
	2.00	$k = 0.1562, a = 1.0158, c = 0.0277$	0.9978	2.9837	0.0165
	2.50	$k = 0.2327, a = 1.0000, c = 0.0189$	0.9981	2.4111	0.0146
Wang and Singh	0.77	$a = -0.0353, b = 0.0003$	0.9630	56.4758	0.0743
	1.55	$a = -0.0653, b = 0.0011$	0.9621	63.2153	0.0778
	2.00	$a = -0.0883, b = 0.0019$	0.9671	56.3133	0.0729
	2.50	$a = -0.1349, b = 0.0045$	0.9687	54.3522	0.0708

หมายเหตุ k คือค่าคงที่การอบแห้ง; n คือค่าดัชนีการอบแห้ง; a, b, c คือค่าคงที่ของแบบจำลอง

2. การทวนสอบความแม่นยำแบบจำลองทางคณิตศาสตร์ของการอบแห้งสาหร่ายเตา

การวิเคราะห์แบบจำลองทางคณิตศาสตร์ของการอบแห้งในรูปแบบของแบบจำลองเอมพิริคัลที่เหมาะสมในการคำนวณค่าความชื้นที่เปลี่ยนแปลงไปในระหว่างการอบแห้งสาหร่ายเตาด้วยลมร้อนและคลื่นในโกรเวฟ พนว่า แบบจำลองทางคณิตศาสตร์ของ Midilli et al. มีความแม่นยำและเหมาะสมในการคำนวณเปลี่ยนแปลงความชื้นในระหว่างการอบแห้งสาหร่ายเตาด้วยลมร้อน ส่วนการอบแห้งสาหร่ายเตาด้วยพลังงานแสงอาทิตย์และการอบแห้งด้วยคลื่นในโกรเวฟ คือ แบบจำลองทางคณิตศาสตร์ของ Logarithmic



ภาพ 16 การเปรียบเทียบอัตราส่วนความชื้นที่ได้จากการทดสอบและค่าที่ได้จากการคำนวณจากแบบจำลองทางคณิตศาสตร์ของ Logarithmic สำหรับการอบแห้งสาหร่ายเตาด้วยพลังงานแสงอาทิตย์

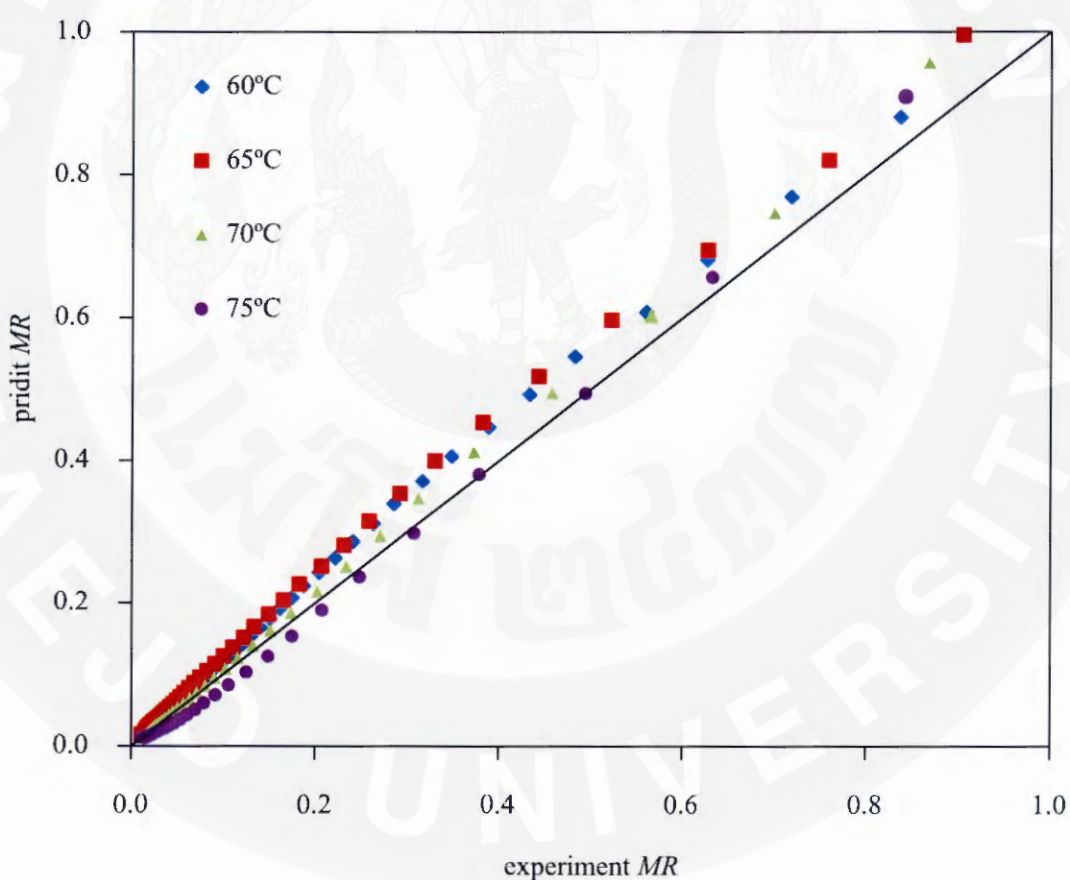
สมการทั่วไปสำหรับการคำนวณค่าคงที่การอบแห้ง (k) และค่าคงที่ของรูปแบบสมการ (a, b, n) ซึ่งเป็นค่าพารามิเตอร์ของแบบจำลองของ Midilli et al. ในรูปแบบความสัมพันธ์ของอุณหภูมิ โดยมีรูปแบบสมการดังแสดงในสมการ (25)-(28)

$$k = (9.00 \times 10^{-5})T^2 - 0.0078T + 0.2219 \quad (25)$$

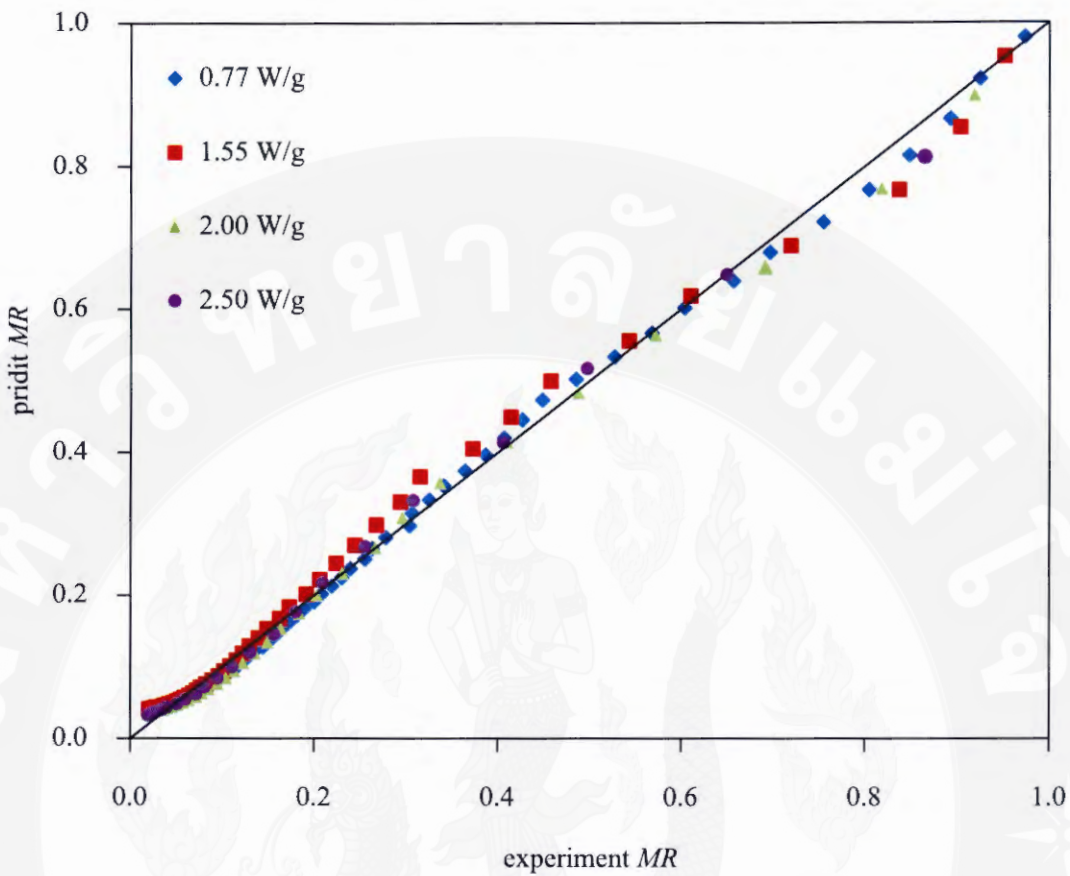
$$n = (1.67 \times 10^{-4})T^2 - 0.0201T + 1.3177 \quad (26)$$

$$a = 0.0004T^2 - 0.0440T + 2.5163 \quad (27)$$

$$b = (3.42 \times 10^{-6})T - 0.0002 \quad (28)$$



ภาพ 17 การเปรียบเทียบอัตราส่วนความชื้นที่ได้จากการทดลองและค่าที่ได้จากการทำนายจากแบบจำลองทางคณิตศาสตร์ของ Midilli et al. สำหรับการอบแห้งสาหร่ายเตาด้วยลมร้อน



ภาพ 18 การเปรียบเทียบอัตราส่วนความชื้นที่ได้จากการทดลองและค่าที่ได้จากการทำนายจากแบบจำลองทางคณิตศาสตร์ของ Logarithmic สำหรับการอบแห้งสาหร่ายเตาด้วยคลื่นไมโครเวฟ

ในขณะที่สมการทั่วไปสำหรับการคำนวณค่าคงที่การอบแห้ง (k) และค่าคงที่ของรูปแบบสมการ (a, c) ของแบบจำลองของ Logarithmic ในรูปแบบความสัมพันธ์ของระดับความเข้มของคลื่นไมโครเวฟ ซึ่งมีรูปแบบของสมการดังแสดงในสมการ (29)-(31)

$$k = 0.0380P^2 - 0.0250P + 0.0602 \quad (29)$$

$$a = -0.0354P^2 + 0.1082P + 0.9483 \quad (30)$$

$$c = -0.0042P^2 + 0.0099P + 0.0261 \quad (31)$$

ภาพ 16-18 แสดงถึงความสัมพันธ์ระหว่างอัตราส่วนความชื้นที่ได้จากการทดลอง และค่าที่ได้จากการทำนายจากแบบจำลองทางคณิตศาสตร์ของ Logarithmic สำหรับการอบแห้งสาหร่ายเตาด้วยพลังงานแสงอาทิตย์ แบบจำลองทางคณิตศาสตร์ของ Midilli et al. สำหรับการอบแห้งด้วยลมร้อนที่อุณหภูมิ 60, 65, 70, 75°C และแบบจำลองทางคณิตศาสตร์ของ Logarithmic สำหรับการอบแห้งสาหร่ายเตาด้วยกลีน ไมโครเวฟที่ระดับความเข้ม 0.77, 1.55, 2.00, 2.50 W/g ตามลำดับ ซึ่งมีค่าไกล์เคิงกับอัตราการส่วนความชื้นที่ได้จากการทดลอง โดยมีความสัมพันธ์ ไกล์เคิงกับเส้นทวนสอบความแม่นยำหรือเส้นตรงที่ความชัน 45° สามารถอ่านได้ว่าค่าที่ได้จากการรูปแบบสมการสามารถอธิบายหรือทำนายผลการทดลองได้เป็นอย่างดี ซึ่งเป็นแนวทางเดียวกับผลงานวิจัยที่เกี่ยวข้องในการทวนสอบความแม่นยำของแบบจำลองทางคณิตศาสตร์ของการอบแห้ง (Ozkan et al., 2007; Wang et al., 2007; Assawarachan and Noomhorm, 2011; Pongtong et al., 2011; Thao and Noomhorm, 2011)

3. แบบจำลองทางคณิตศาสตร์ของการอบแห้งสาหร่ายเตาในรูปของแบบจำลองกึ่งทฤษฎี

การถ่ายเทความชื้นหรือมวลสารในระหว่างการอบแห้งสาหร่ายสามารถอธิบายได้โดยใช้แบบจำลองกึ่งทฤษฎี ซึ่งมีความสัมพันธ์อยู่ในรูปกฎข้อที่สองของฟิก (Fick's second law) จากผลการวิเคราะห์ค่าสัมประสิทธิ์การแพร่ความชื้นประสิทธิผลของสาหร่ายเตาในระหว่างการอบแห้งด้วยพลังงานแสงอาทิตย์ มีค่าเท่ากับ $0.48 \times 10^{-10} \text{ m}^2/\text{s}$ และการอบแห้งด้วยลมร้อนที่อุณหภูมิ 60, 65, 70, 75°C มีค่าเท่ากับ 1.72×10^{-10} , 2.32×10^{-10} , 3.24×10^{-10} , $4.51 \times 10^{-10} \text{ m}^2/\text{s}$ ตามลำดับ (ตาราง 8) ทั้งนี้ค่าสัมประสิทธิ์การแพร่ความชื้นประสิทธิผลมีค่าเพิ่มขึ้นเมื่อเพิ่มอุณหภูมิในการอบแห้ง สูงขึ้น โดยค่าสัมประสิทธิ์การแพร่ความชื้นประสิทธิผลโดยทั่วไปจะอยู่ในช่วง $10^{-11}-10^{-9} \text{ m}^2/\text{s}$ สำหรับการอบแห้งวัสดุอาหาร (Madamba et al., 1996; Sacilik and Elicin, 2006; Wang et al. 2006) และเมื่อเปรียบเทียบกับงานวิจัยของ Afolabi (2014) ซึ่งศึกษาผลกระทบต่อการอบแห้งแบบชั้นบาง ของกระบวนการเจ็บเนื้าด้วยพลังงานแสงอาทิตย์ การอบแห้งด้วยเตาแสงอาทิตย์ และการอบแห้งด้วยลมร้อนในช่วงอุณหภูมิ 50-70 °C พบว่า ค่าสัมประสิทธิ์การแพร่ความชื้นประสิทธิผลของกระบวนการเจ็บเนื้าด้วยในระหว่างการอบแห้งด้วยพลังงานอาทิตย์มีค่าเท่ากับ $0.25 \times 10^{-10}-0.90 \times 10^{-10} \text{ m}^2/\text{s}$ และการอบแห้งด้วยลมร้อนมีค่าอยู่ในช่วง $3.19 \times 10^{-10}-14.7 \times 10^{-10} \text{ m}^2/\text{s}$ รวมทั้งรายงานวิจัยของ Pardeshi et al. (2009) ซึ่งได้ทำการศึกษาหาค่าสัมประสิทธิ์การแพร่ความชื้นประสิทธิผลของถั่วเผือวในระหว่างการอบแห้งด้วยลมร้อนที่อุณหภูมิ 55-75°C พบว่ามีค่าอยู่ในช่วง 3.95×10^{-10} ถึง $6.23 \times 10^{-10} \text{ m}^2/\text{s}$ ขณะที่งานวิจัยของ Kumar et al. (2012) มีค่าอยู่ระหว่าง 2.74×10^{-9} ถึง $4.64 \times 10^{-9} \text{ m}^2/\text{s}$ ของการอบแห้งกา愧ครอบคลุมร้อนที่อุณหภูมิ 60-75°C และการอบแห้งแอปเปิลที่อุณหภูมิ 40-60°C มี

ค่าเท่ากับ 2.27×10^{-10} ถึง $4.97 \times 10^{-10} \text{ m}^2/\text{s}$ (Sacilik and Elicin, 2006) เช่นเดียวกับผลการวิเคราะห์ค่าสัมประสิทธิ์การแพร่ความชื้นประสิทธิผลของสาหร่ายเตาในระหว่างการอบแห้งด้วยคลื่นไมโครเวฟมีค่าเท่ากับ 2.74×10^{-7} , 5.02×10^{-7} , 6.92×10^{-7} และ $10.64 \times 10^{-7} \text{ m}^2/\text{s}$ ที่ระดับความชื้น 0.77, 1.55, 2.00 และ 2.50 W/g ตามลำดับ (ตาราง 9) โดยที่ระดับความเข้มของคลื่นไมโครเวฟสูงจะส่งผลต่อการเพิ่มค่าสัมประสิทธิ์การแพร่ความชื้นประสิทธิผลของสาหร่ายเตา สอดคล้องกับผลงานวิจัยของป่องพล และ ฤทธิชัย (2555) และงานวิจัยของ Özbek and Dadali (2007) ซึ่งศึกษาหาค่าสัมประสิทธิ์การแพร่ของใบกะเพราในระหว่างการอบแห้งด้วยไมโครเวฟที่ระดับพลังงาน 164-752 W และการอบแห้งใบสะระแหน่ด้วยคลื่นไมโครเวฟที่ระดับพลังงาน 180-900 W ตามลำดับ

ตาราง 8 ค่าสัมประสิทธิ์การแพร่ความชื้นประสิทธิผลของการอบแห้งสาหร่ายเตาด้วยลมร้อน แสงอาทิตย์และการอบแห้งด้วยคลื่นร้อน

drying method	temperature (°C)	slope $\times 10^{-4}$	$D_{eff} \times 10^{-10}$	R^2
HAD	OSD	-	0.3453	0.9563
	60	1.2367	1.72	0.9898
	65	1.6722	2.32	0.9846
	70	2.3323	3.24	0.9351
	75	3.2540	4.51	0.8823

หมายเหตุ - ค่าของข้อมูลแสดงค่าเฉลี่ย ($n=3$)

ทั้งนี้อุณหภูมิในการอบแห้งด้วยลมร้อนและความเข้มของคลื่นไมโครเวฟที่เพิ่มสูงขึ้นจะเป็นตัวเร่งอัตราการระเหยของน้ำที่ผิวน้ำของสาหร่ายเตา และมีค่าเท่ากับอัตราการเคลื่อนของน้ำภายในโครงสร้างที่มาเติมเต็มบริเวณผิวน้ำ ความร้อนที่เกิดขึ้นจะถ่ายเทนวัลสารในการแพร่กระจายตัวของความชื้นสู่ผิวสัมผัส (surface diffusion) ในขณะที่ค่าสัมประสิทธิ์การแพร่ความชื้นประสิทธิผลของสาหร่ายเตาในระหว่างการอบแห้งด้วยคลื่นไมโครเวฟจะมีมากกว่าการอบแห้งด้วยลมร้อน เนื่องจากการอบแห้งด้วยคลื่นไมโครเวฟนิ่กกลิกการเกิดความร้อนทั้งภายในและภายนอก และภายในเนื้อเยื่อของสาหร่ายเตา ส่งผลเกิดเป็นไออกไซด์เร็วภายในวัสดุ โดยส่วนมากความชื้นเริ่มต้นสูงจะมีผลทำให้ความดันภายในเพิ่มสูงขึ้นอย่างรวดเร็วอันมีผลต่อเนื่องให้ของเหลวเคลื่อนที่

ออกจากรัศมีการให้อิทธิพลของความแตกต่างของความดันรวม นอกจากนี้กรณีที่รัศมีค่าความชื้นเริ่มนั้นที่สูงทำให้ความแตกต่างของความดันสูงขึ้นซึ่งมีผลอย่างมากต่อมวลความชื้นที่เคลื่อนที่ออกไปอย่างรวดเร็วกว่าปกติ ด้วยเหตุนี้จึงเรียกนิคมของปราภูภารณ์นี้ว่าปราภูภารณ์ปั้นของเหลว (pumping effect) หรือการที่มีแรงซึ่งโดยปกติจะเป็นแรงดันไอลกระทำให้ของเหลวเคลื่อนที่ขึ้นสู่ผิวน้ำโดยตรง โดยปราบจากการเปลี่ยนแปลงสถานะ และปราภูภารณ์ดังกล่าวจะนำไปสู่การแห้งตัวอย่างรวดเร็วโดยไม่จำเป็นต้องเพิ่มการความร้อนเข้าไปอีก (ผุดงศักดิ์, 2551)

ตาราง 9 ค่าสัมประสิทธิ์การแพร่ความชื้นประสิทธิผลของการอบแห้งสาหร่ายเตาด้วยคลื่นในโครเวฟ

microwave power (W/g)	slope	$D_{eff} \times 10^{-7}$	R^2
0.77	0.0493	2.74	0.9915
1.55	0.0906	5.02	0.9875
2.00	0.1247	6.92	0.9901
2.50	0.1918	10.64	0.9945

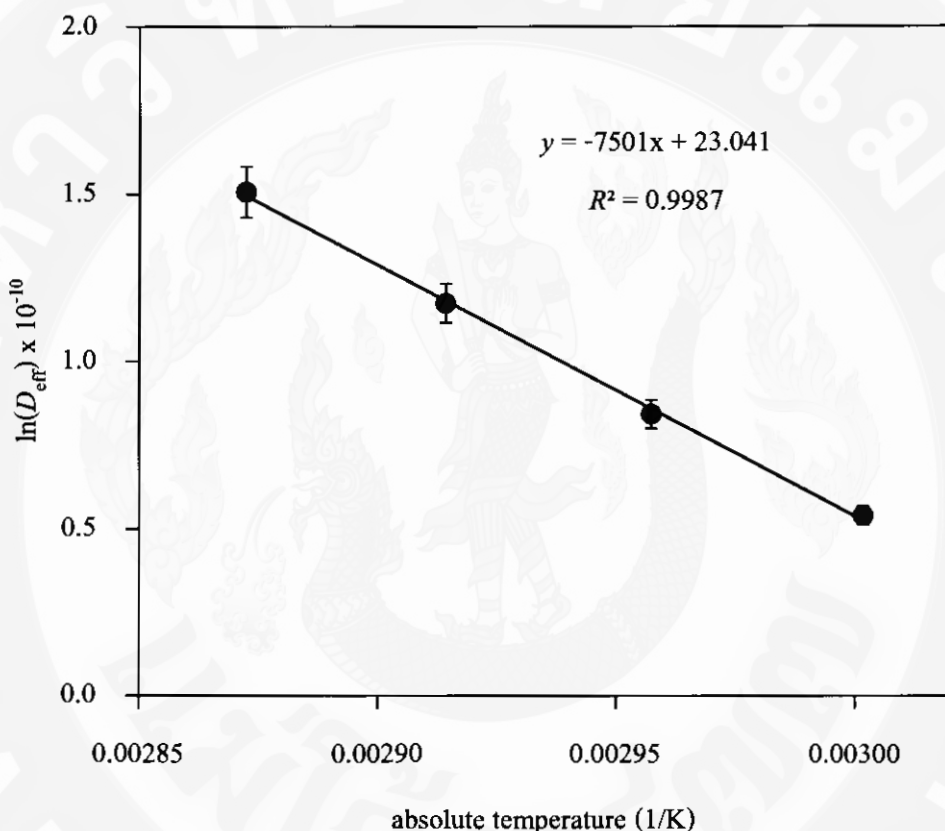
หมายเหตุ - ค่าของข้อมูลแสดงค่าเฉลี่ย ($n=3$)

การหาค่าพลังงานกระตุ้นของการอบแห้งด้วยลมร้อนสามารถคำนวณจากความสัมพันธ์ในรูปฟังก์ชันลอการิทึมของสมการอาร์เรนียส (สมการ (8)) โดยสมการจะอยู่ในรูปแบบความสัมพันธ์แบบเส้นตรง ดังแสดงในสมการ (32)

$$\ln D_{eff} = \ln D_0 - \left(\frac{E_a}{RT} \right) \quad (32)$$

ค่าพลังงานกระตุ้นของการอบแห้งด้วยลมร้อน สามารถคำนวณจากค่าความชัน (slope) ของกราฟเส้นตรงที่พล็อตระหว่าง $\ln(D_{eff})$ และ $(1/T)$ จากการทดลองพบว่าค่า E_a ของสาหร่ายเตามีค่าเท่ากับ 62.36 kJ/mol ดังแสดงในภาพ 19 ในขณะที่ค่า E_a ของการอบแห้งมันเทศ ด้วยลมร้อนที่อุณหภูมิ $45-65^\circ\text{C}$ มีค่าเท่ากับ 35.88 kJ/mol ในขณะที่การอบแห้งภาคเครื่องที่

อุณหภูมิ 60-75°C มีค่า E_a เท่ากับ 23.05 kJ/mol เมื่อong จำกัดนักและกากแครอฟท์มีคุณลักษณะทางกายภาพ รวมทั้งโครงสร้างเซลล์และองค์ประกอบทางเคมีที่แตกต่างจากสาหร่ายเตา ดังนั้นค่า E_a ของการอบแห้งอาหารหรือวัสดุชีวภาพด้วยลมร้อนจะขึ้นอยู่กับชนิดของอาหารหรือวัสดุชีวภาพ และระดับอุณหภูมิลมร้อนที่ใช้ในการอบแห้ง

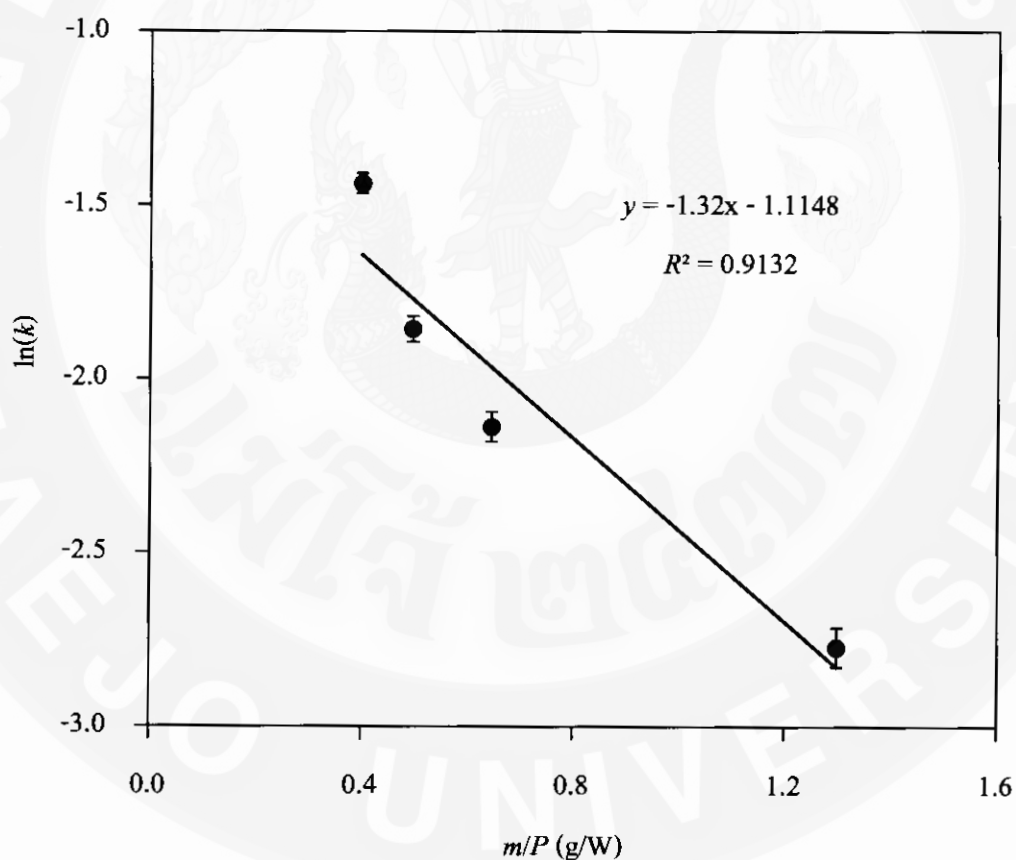


ภาพ 19 ความสัมพันธ์ของสมการอาร์เรนเนียสระหว่างค่าสัมประสิทธิ์การแพร่ความชื้นประสิทธิผลและอุณหภูมิในการอบแห้ง

การหาค่าพลังงานกระตุ้นของสาหร่ายเตาในระหว่างการอบแห้งด้วยคืนในโคลเวฟ สามารถคำนวณจากความสัมพันธ์ในรูปฟังก์ชันลอการิทึมของสมการอาร์เรนเนียส (สมการ (9)) โดยสมการจะอยู่ในรูปแบบความสัมพันธ์แบบเส้นตรง ดังแสดงในสมการ (33)

$$\ln k = \ln k_0 - \left(\frac{E_a \cdot m}{P} \right) \quad (33)$$

โดยค่าพลังงานกระตุ้นของสาหร่ายเตา (E_a) สามารถคำนวณจากค่าความชันของกราฟเส้นตรงที่พล็อตระหว่าง $\ln(k)$ และ น้ำหนักของสาหร่ายเตาต่อพลังงานของคลื่นไมโครเวฟ (m/P) พบว่าค่า E_a มีค่าเท่ากับ 1.32 W/g (ภาพ 20) ในขณะที่ค่า E_a ของการอบแห้งในสะระแห่นด้วยคลื่นไมโครเวฟที่ระดับพลังงาน 180-900 W (Özbek and Dadali, 2007) มีค่าอยู่ระหว่าง 11.05-12.28 W/g ซึ่งมีค่ามากกว่า เนื่องจากในสาระแన้มีคุณลักษณะทางกายภาพ รวมทั้ง โครงสร้างเซลล์ และองค์ประกอบทางเคมีที่แตกต่างจากสาหร่ายเตา อีกทั้งในสาระแnan มีความชื้นเริ่มต้นต่ำกว่า สาหร่ายเตาจึงทำให้ต้องใช้พลังงานกระตุ้นเพื่อระเหยน้ำมากกว่าสาหร่ายเตาถึง 9.23 เท่า ดังนั้น ค่า E_a ของการอบแห้งอาหารหรือวัสดุชีวภาพด้วยคลื่นไมโครเวฟจะขึ้นอยู่กับชนิดของอาหารหรือวัสดุ ชีวภาพ และระดับความแห้งของคลื่นไมโครเวฟที่ใช้ในการอบแห้ง

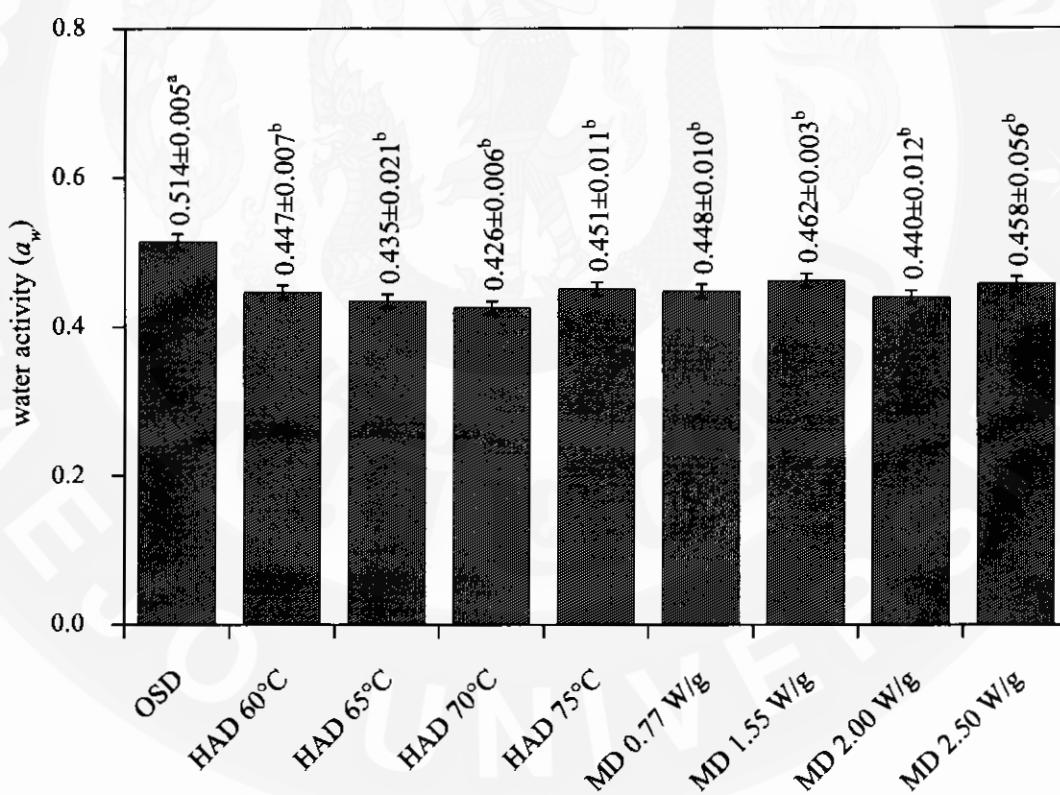


ภาพ 20 ความสัมพันธ์ของสมการอาร์เรนีย์ระหว่างค่าคงที่การอบแห้งและน้ำหนักของสาหร่ายเตาต่อระดับพลังงานของคลื่นไมโครเวฟ

ผลการศึกษาสภาวะและวิธีการอบแห้งต่อการเปลี่ยนแปลง
คุณภาพของสาหร่ายเตา

1. ผลการวิเคราะห์ค่าอวอเตอร์แอคทีวิตี้ (a_w)

การตรวจวัดค่า a_w ของสาหร่ายเตาอบแห้ง พบว่า ค่า a_w ที่ได้จากการอบแห้งด้วย พลังงานแสงอาทิตย์ การอบแห้งด้วยลมร้อนที่อุณหภูมิ 60-75°C และการอบแห้งด้วยกลืน ในโคลเวฟที่ระดับความชื้น 0.77-2.50 W/g มีค่าอยู่ในช่วง 0.426 ± 0.006 ถึง 0.514 ± 0.005 ซึ่งเมื่อพิจารณาด้วยวิธีการอบแห้งทั้ง 3 กระบวนการ พบว่า ค่า a_w อยู่ในระดับที่ต่ำกว่า 0.6 ซึ่งอยู่ในช่วงที่ปลอดภัยจากจุลินทรีย์ที่เป็นสาเหตุทำให้เกิดการเน่าเสีย หรือการเสื่อมสภาพของผลิตภัณฑ์หลังการอบแห้ง (ภาพ 21)



ภาพ 21 การเปรียบเทียบค่า a_w ของสาหร่ายเตา

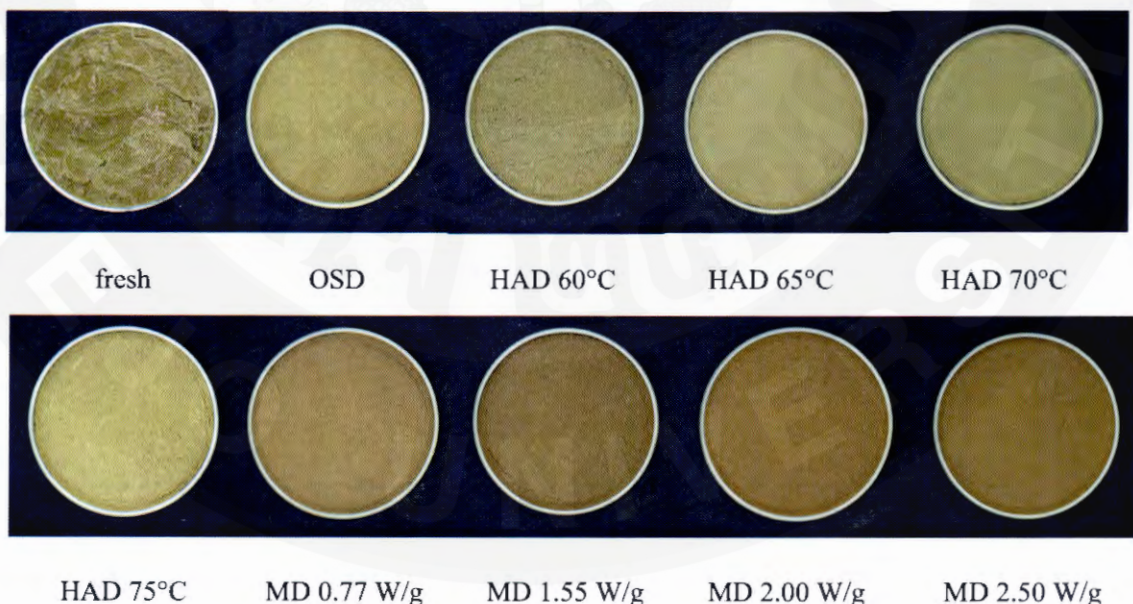
หมายเหตุ

- ค่าของข้อมูลแสดงค่าเฉลี่ย \pm ค่าเบี่ยงเบนมาตรฐาน ($n=3$)

- ^{a-b} อักษรกำกับที่มีความแตกต่างกันอย่างมีนัยสำคัญทางสถิติกองค่าเฉลี่ย ($p \leq 0.05$)

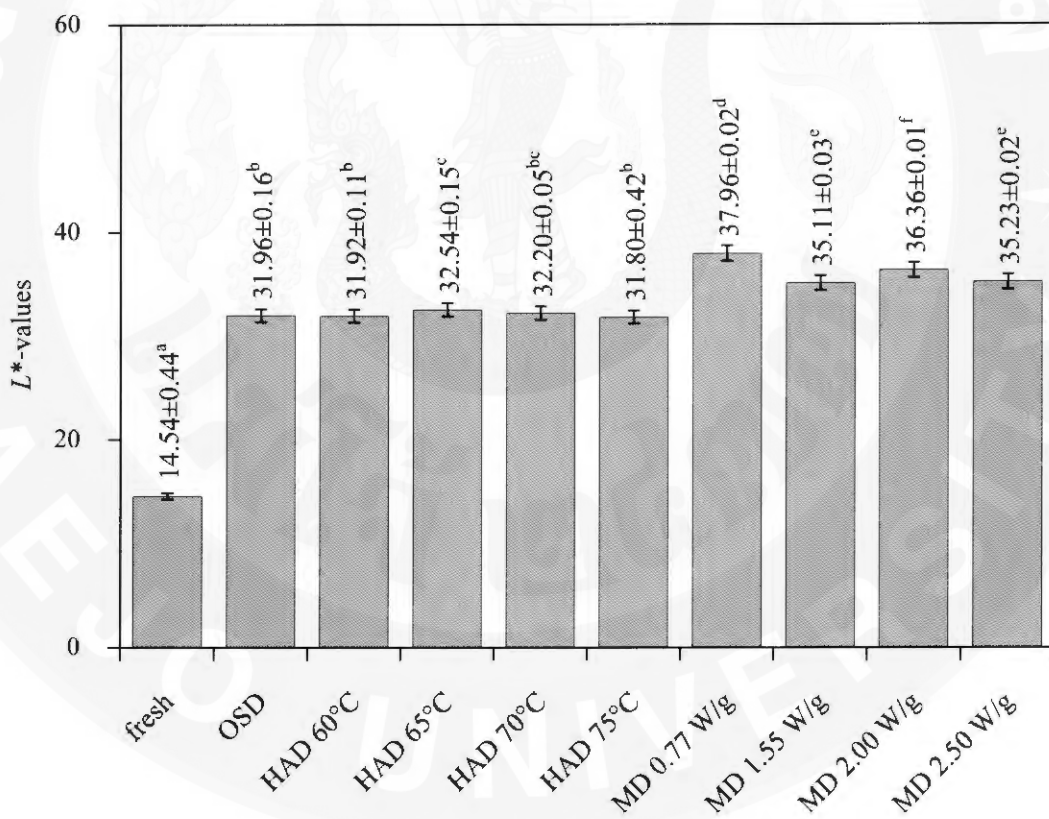
2. ผลการวิเคราะห์ค่าสี

คุณภาพสีเป็นสมบัติที่สำคัญอย่างหนึ่งในการยอมรับของผู้บริโภคต่อคุณภาพของผลิตภัณฑ์อาหารอ่อนแห้ง จากการวิจัยพบว่า 40% ของผู้บริโภคจะพิจารณาคุณภาพสีเป็นเกณฑ์หลักในการตัดสินใจซื้อ (Assawarachan and Noomhorm, 2008) โดยสารให้สีในผลิตภัณฑ์อาหาร เรียกว่า รงควัตถุ เป็นปัจจัยที่มีผลต่อการเปลี่ยนแปลงสีของผลิตภัณฑ์อาหาร ได้แก่ การเกิดปฏิกิริยา สีน้ำตาล ทั้งในรูปแบบปฏิกิริยาการเกิดสีน้ำตาลที่เร่งด้วยเอนไซม์ (enzymatic browning reaction) และปฏิกิริยาการเกิดสีน้ำตาลที่ไม่อาศัยเอนไซม์ (non-enzymatic browning reaction) ดังนั้นในการ เปรียบเทียบคุณภาพสีของสาหร่ายเตาอบแห้งด้วยวิธีต่าง ๆ ใช้ระบบสี CIE(L*-a*-b*) โดยจะเน้น การเปลี่ยนแปลงค่าความสว่าง/ความมืด (L*) ซึ่งเป็นผลกระทบโดยตรงของอัตราการเกิดปฏิกิริยาสี น้ำตาล และการเปลี่ยนแปลงของค่าความเป็นสีแดง/สีเขียว (a*) ซึ่งเป็นผลกระทบของการสูญเสีย รงควัตถุสีเขียวในระหว่างการอบแห้ง นอกจากนี้ยังมีรายงานวิจัยที่ศึกษาการเปลี่ยนแปลงคุณภาพสี ในระหว่างการอบแห้งอยู่ในรูปของค่าความแตกต่างสีโดยรวม (ΔE) โดยเป็นค่าที่บอกถึงอัตราการ เปลี่ยนแปลงสีโดยรวมของสาหร่ายเตาอบแห้งที่วิธีการและสภาพต่าง ๆ โดยเปรียบเทียบกับค่าสี ของสาหร่ายเตาอบ ได้แก่ ค่าความสุด (C^*) และค่าสีสัน (h°) ภาพ 22 แสดงสีของ สาหร่ายเตาอบแห้งที่สภาวะต่างๆ



ภาพ 22 การเปรียบเทียบสีของสาหร่ายเตาอบและสาหร่ายเตาอบแห้ง

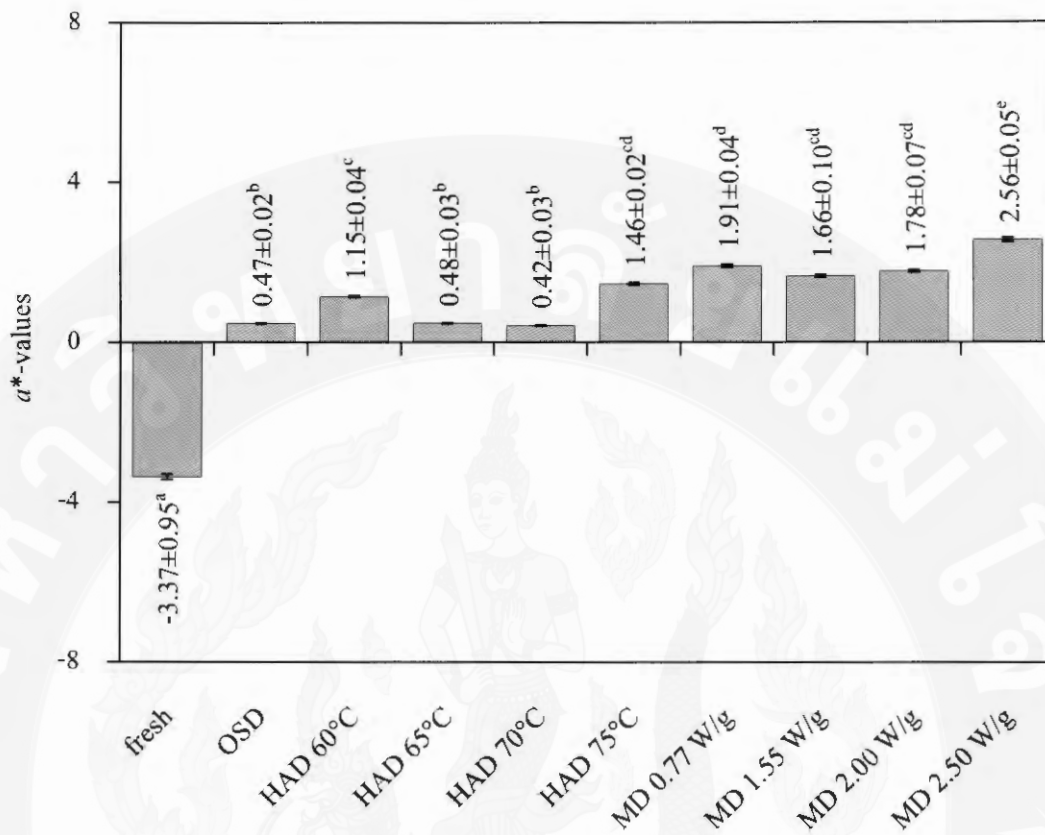
การเปลี่ยนแปลงสีค่า L^* ของสาหร่ายเตาที่เกิดขึ้นในระหว่างการอบแห้งด้วย พลังงานแสงอาทิตย์ การอบแห้งด้วยลมร้อน และการอบแห้งด้วยคลื่นไมโครเวฟนั้นเป็นกระบวนการที่ขึ้นอยู่กับเวลา (time-dependent process) และพารามิเตอร์ต่างๆ ที่เกี่ยวข้องกับสภาวะ การอบแห้ง เช่น อุณหภูมิลมร้อน ระดับความเข้มของคลื่นในไมโครเวฟหรืออุณหภูมิเฉลี่ยของ สาหร่ายเตาในระหว่างการอบแห้ง ภาพ 23 - ภาพ 28 แสดงการเปรียบเทียบค่า L^* , a^* , b^* , ΔE , C^* และ h^* ของสาหร่ายเตาสด สาหร่ายเตาที่ผ่านการอบแห้งด้วยพลังงานแสงอาทิตย์ การอบแห้งด้วย ลมร้อน และการอบแห้งด้วยคลื่นไมโครเวฟ ผลการศึกษาพบว่าสาหร่ายเตาสดมีค่า L^* , a^* , b^* , C^* และ h^* เท่ากับ 14.54 ± 0.44 , -3.37 ± 0.95 , 15.34 ± 4.86 , 15.69 ± 4.93 และ 102.40 ± 1.33 ตามลำดับ ในขณะที่การอบแห้งสาหร่ายเตาด้วยพลังงานแสงอาทิตย์ มีค่า L^* , a^* , b^* , ΔE , C^* และ h^* เท่ากับ 31.96 ± 0.16 , 0.47 ± 0.02 , 19.34 ± 0.07 , 18.29 ± 0.14 , 19.39 ± 0.06 และ 85.69 ± 0.29 ตามลำดับ



ภาพ 23 การเปรียบเทียบค่า L^* ของสาหร่ายเตา

- หมายเหตุ - ค่าของข้อมูลแสดงค่าเฉลี่ย \pm ค่าเบี่ยงเบนมาตรฐาน ($n=3$)
- ^{a-f} อักษรกำกับที่มีความแตกต่างกันอย่างมีนัยสำคัญทางสถิติกองค่าเฉลี่ย ($p \leq 0.05$)

การศึกษาผลของอุณหภูมิในระหว่างกระบวนการอบแห้งด้วยลมร้อนต่อการเปลี่ยนแปลงคุณภาพสีของสาหร่ายเตา พนว่า การอบแห้งด้วยลมร้อนที่อุณหภูมิ 60, 65, 70 และ 75°C มีค่า L^* เท่ากับ 31.92 ± 0.11 , 32.54 ± 0.15 , 32.20 ± 0.05 และ 31.80 ± 0.42 ตามลำดับ และค่า b^* มีค่าเท่ากับ 17.77 ± 0.15 , 17.74 ± 0.14 , 15.71 ± 0.13 และ 18.48 ± 0.27 ตามลำดับ เมื่อพิจารณาผลของอุณหภูมิลมร้อนต่อการเปลี่ยนแปลงคุณภาพสีของสาหร่ายเตาหลังการอบแห้ง พนว่า อุณหภูมิที่ใช้ในการอบแห้งมีผลต่อค่า L^* และค่า b^* อย่างมีนัยสำคัญทางสถิติ ($p \leq 0.05$) เมื่อสภาวะการอบแห้งที่ใช้อุณหภูมิลมร้อนสูงขึ้นส่งผลทำให้สาหร่ายเตามีค่า L^* ลดลง ในขณะที่ค่า b^* เพิ่มขึ้น โดยสภาวะการอบแห้งที่มีค่า L^* มากบ่งบอกถึงสีขาวหรือความสว่างของสาหร่ายเตาอบแห้ง และสาหร่ายเตาอบแห้งที่ค่า b^* มากขึ้นหรือมีค่าเข้าใกล้สีเหลืองแสดงถึงอัตราการเกิดปฏิกิริยาสีน้ำตาล ผลการศึกษาพบว่าการอบแห้งด้วยลมร้อนที่อุณหภูมิ 65°C มีค่า L^* มากที่สุด แต่ในขณะที่ค่า b^* มีค่าต่ำกว่าการอบแห้งที่อุณหภูมิ 60, 70 และ 75°C ทั้งนี้อาจเกิดจากการอบแห้งที่อุณหภูมิ 60°C ใช้เวลาในการอบแห้งยาวนานที่สุดจึงทำให้สาหร่ายเตาจะส้มผดสากครร้อนเป็นเวลานานส่งผลต่อการเปลี่ยนแปลงค่า L^* และค่า b^* เนื่องจากปฏิกิริยาการเกิดสีน้ำตาลที่เร่งด้วยเอนไซม์ (enzymatic browning reaction) ทำให้เกิดปฏิกิริยาสารประกอบในฟีโนอลที่อยู่ในเซลล์พืชสัมผัสกับออกซิเจนในอากาศและมีเอนไซม์พอลีฟีโนอลออกซิเดส (PPO) ทำให้เกิดปฏิกิริยาไฮดรอกซิเลชันได้เป็นօร์โท-ไดฟีโนอล (o-diphenol) ถึงแม้ว่าสาหร่ายเตาอบแห้งที่ 60°C จะใช้ตัวกลางอากาศร้อนที่อุณหภูมิต่ำกว่าสภาวะอื่น ๆ แต่ทำให้สาหร่ายเตาส้มผดสากกับออกซิเจนเป็นเวลานาน ส่งผลทำให้เร่งปฏิกิริยาสีน้ำตาลด้วยเอนไซม์ PPO กับกรดอะมิโนได้เป็นสารประกอบเชิงช้อนสีน้ำตาล สถาคล้องกับงานวิจัยของ Therdthai and Zhou (2009) ซึ่งศึกษาการเปลี่ยนแปลงสีของใบสาระแห่น่องแห้ง พนว่าการเปลี่ยนแปลงค่า L^* ที่อุณหภูมิต่ำและใช้เวลาในการอบแห้งในลักษณะ เช่นเดียวกัน รวมทั้งผลงานวิจัยของ ฤทธิชัย และคณะ (2554) ซึ่งศึกษาผลการเปลี่ยนแปลงสีของเปลือกหันทิมอบแห้งด้วยลมร้อน ส่วนสภาวะการอบแห้งที่อุณหภูมิ 75°C สาหร่ายเตาได้รับความร้อนสูงเกินไปจึงเป็นสาเหตุสำคัญที่ทำให้สาหร่ายเตามีสีน้ำตาลเข้ม นั่นคือ ค่า L^* ลดลงและค่า b^* เพิ่มขึ้น ซึ่งการเปลี่ยนแปลงที่เกิดขึ้นอันเนื่องมาจากสาหร่ายเตามีองค์ประกอบของโปรตีนและน้ำตาล ส่งผลทำให้เกิดปฏิกิริยาสีน้ำตาลแบบไม่ใช้เอนไซม์ (non enzymatic browning reaction) ในระหว่างกระบวนการอบแห้ง เรียกว่า ปฏิกิริยาเมลลาร์ด (maillard reaction) โดยในระหว่างกระบวนการอบแห้งจะเกิดการสูญเสียน้ำ การสลายตัว (degradation) และมีการรวมตัวกัน (condensation) ของหมู่อะมิโนหรือโปรตีนกับสารประกอบบริคิวชิ่ง โดยมีความร้อนเป็นตัวเร่งปฏิกิริยาจึงทำให้เกิดเป็นสารประกอบเชิงช้อนมีสีเหลืองจนเป็นสีน้ำตาล



ภาพ 24 การเปรียบเทียบค่า a^* ของสาหร่ายเตา

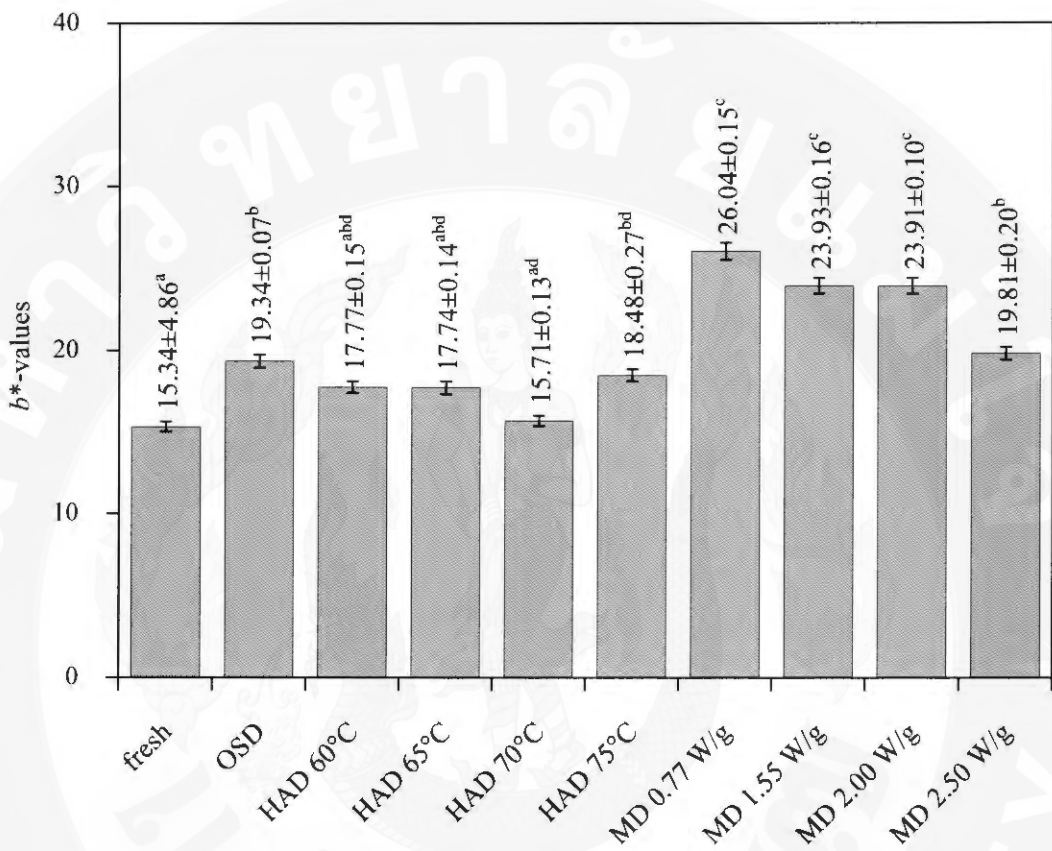
หมายเหตุ - ค่าของข้อมูลแสดงค่าเฉลี่ย \pm ค่าเบี่ยงเบนมาตรฐาน ($n=3$)
 - $^{a-e}$ อักษรกำกับที่มีความแตกต่างกันอย่างมีนัยสำคัญทางสถิติของค่าเฉลี่ย ($p \leq 0.05$)

ค่า a^* เป็นค่าสีที่สามารถบ่งบอกถึงอัตราการสลายตัวของรงควัตถุหรือปริมาณคลอโรฟิลล์ที่หลงเหลือในระหว่างการอบแห้ง โดยสาหร่ายเตาอบแห้งมีค่า a^* เพิ่มขึ้น แสดงว่ามีปริมาณคลอโรฟิลล์น้อยลง ในขณะที่ค่า ΔE เป็นค่าที่บ่งบอกถึงอัตราการเปลี่ยนแปลงสีโดยรวมของสาหร่ายเตาอบแห้ง โดยเปรียบเทียบกับค่าสีของสาหร่ายเตาสด ค่า a^* ของการอบแห้งด้วยลมร้อนที่อุณหภูมิ 60, 65, 70 และ 75°C มีค่าเท่ากับ 1.15 ± 0.04 , 0.48 ± 0.03 , 0.42 ± 0.03 และ 1.46 ± 0.02 ตามลำดับ เมื่อพิจารณาค่า a^* ของสาหร่ายเตาที่สภาวะการอบแห้งต่างๆ พบว่า สภาวะที่ใช้ในการอบแห้งมีผลต่อค่า a^* อย่างมีนัยสำคัญทางสถิติ ($p \leq 0.05$) โดยเมื่อใช้อุณหภูมิในการอบแห้งสูงขึ้นมีผลทำให้สาหร่ายเตามีค่า a^* เพิ่มขึ้น ทั้งนี้การอบแห้งที่อุณหภูมิ 75°C มีค่า a^* มากที่สุด ซึ่งอาจเป็นผลมาจากการใช้อุณหภูมิในการอบแห้งที่สูงทำให้สาหร่ายเตามีสีเหลืองน้ำตาลมากขึ้น โดยเกิดจาก

ปฏิกริยาเมลาร์ค ทั้งนี้สภาวะอบแห้งที่มีค่า a^* ต่ำที่สุด คือที่อุณหภูมิ 70°C ซึ่งอาจบ่งบอกอัตราการสูญเสียรังควัตถุหรือคลอโรฟิลล์ในปริมาณต่ำ เช่นเดียวกับค่า ΔE คือ 18.13 ± 0.11 , 18.56 ± 0.14 , 18.07 ± 0.05 และ 18.21 ± 0.36 ที่อุณหภูมิ 60 , 65 , 70 และ 75°C ตามลำดับ เมื่อพิจารณาค่า ΔE ของสภาวะการอบแห้งที่อุณหภูมิลงร้อนต่างๆ พบร้า มีผลต่อค่า ΔE อย่างมีนัยสำคัญ ($p \leq 0.05$) โดยเมื่อใช้อุณหภูมิลงร้อนสูงขึ้นมีผลทำให้สาหร่ายเตาไม่มีค่า ΔE เพิ่มขึ้น โดยสาหร่ายเตาอบแห้งด้วยลงร้อนที่อุณหภูมิ 75°C มีค่า ΔE มากที่สุด อาจเป็นผลมาจากการอุณหภูมิลงร้อนที่สูงทำให้สาหร่ายเตาได้รับความร้อนในปริมาณมากและเข้าไปทำลายรังควัตถุหรือสารให้สีในสาหร่ายเตา และในขณะที่การอบแห้งที่อุณหภูมิ 60°C ใช้เวลาในการอบแห้งนาน ส่งผลกระทบต่อการสูญเสียรังควัตถุหรือสารให้สีในสาหร่ายเตา เช่นกัน ดังนั้น การอบแห้งที่อุณหภูมิ 70°C เป็นสภาวะที่เหมาะสมสำหรับการอบแห้งสาหร่ายเตา เช่นกัน การอบแห้งที่อุณหภูมิ 70°C เป็นสภาวะที่เหมาะสมสำหรับการอบแห้งสาหร่ายเตา เนื่องจากเกิดการเปลี่ยนแปลงคุณภาพสีต่ำที่สุด โดยค่า C^* มีค่า 17.81 ± 0.15 , 17.75 ± 0.14 , 15.72 ± 0.12 , 18.55 ± 0.27 ส่วนค่า h° มีค่าเท่ากับ 86.31 ± 0.16 , 88.45 ± 0.10 , 88.47 ± 0.12 , 85.48 ± 0.05 ของการอบแห้งด้วยลงร้อนที่อุณหภูมิ 60 , 65 , 70 และ 75°C ตามลำดับ ผลการวิเคราะห์ทางสถิติพบว่าไม่มีความแตกต่างอย่างมีนัยสำคัญ ($p > 0.05$) ทั้งนี้การเปลี่ยนแปลงสีของสาหร่ายเตาจะเข้มขึ้นอยู่กับอุณหภูมิที่ใช้ในการอบแห้ง เวลาที่ใช้ในการอบแห้ง และอุณหภูมิในระบบ โดยการอบแห้งที่ใช้อุณหภูมิสูง เวลานาน หรืออุณหภูมิในระบบในปริมาณมากจะเป็นการกระตุ้นให้เกิดการเปลี่ยนแปลงสีได้นากขึ้น

การเปลี่ยนแปลงสีของสาหร่ายเตาในระหว่างการอบแห้งด้วยคลื่นไส้โครเรฟที่ระดับความเข้ม 0.77 , 1.55 , 2.00 และ 2.50 W/g มีผลต่อการเปลี่ยนแปลงคุณภาพสีหลังการอบแห้งโดยค่า L^* ของสาหร่ายเตาอบแห้งที่ระดับความเข้มขึ้น 0.77 , 1.55 , 2.00 และ 2.50 W/g มีค่าเท่ากับ 37.96 ± 0.02 , 35.11 ± 0.03 , 36.36 ± 0.01 และ 35.23 ± 0.02 ตามลำดับ สอดคล้องกับค่า b^* มีค่าเท่ากับ 26.04 ± 0.15 , 23.93 ± 0.16 , 23.91 ± 0.10 และ 19.81 ± 0.20 ตามลำดับ เมื่อวิเคราะห์ทางสถิติพบว่าสภาวะที่ใช้ในการอบแห้งมีผลอย่างมีนัยสำคัญ ($p \leq 0.05$) ต่อค่า L^* และค่า b^* เมื่อใช้ความเข้มข้นของคลื่นไส้โครเรฟในการอบแห้งสูงขึ้นส่งผลทำให้ค่า L^* และค่า b^* ของสาหร่ายเตาอบแห้งมีค่าลดลง โดยสาหร่ายเตาอบแห้งที่ระดับความเข้ม 2.50 W/g มีค่า L^* และค่า b^* น้อยที่สุด ในขณะที่สาหร่ายเตาอบแห้งที่ระดับ 0.77 W/g มีค่า L^* มากที่สุด ทั้งนี้เนื่องจากอุณหภูมิเฉลี่ยของสาหร่ายเตาในระหว่างการอบแห้งด้วยคลื่นไส้โครเรฟที่ระดับ 2.50 W/g มีค่าประมาณ 84.5 - 96.7°C แต่อุณหภูมิเฉลี่ยของสาหร่ายเตาอบแห้งที่ระดับ 0.77 W/g มีค่าประมาณ 78.4 - 86.9°C โดยการอบแห้งที่ระดับ 2.50 W/g แม้ว่าจะใช้เวลาในการอบแห้งเพียง 25 min แต่สาหร่ายเตาได้รับความร้อนที่อุณหภูมิสูงเกินไป ส่งผลต่อการเปลี่ยนแปลงค่า L^* และค่า b^* ในขณะที่การอบแห้งที่ระดับ 0.77 W/g แม้ว่า

สาหร่ายเต่าจะได้รับผลลัพธ์งานจากคลื่นในโครเวฟเป็นเวลานาน แต่อุณหภูมิของสาหร่ายเต่าในระหว่างการอบแห้งไม่สูงมากจึงไม่ส่งผลกระทบต่อการเปลี่ยนแปลงค่า L^* และ b^* มาก

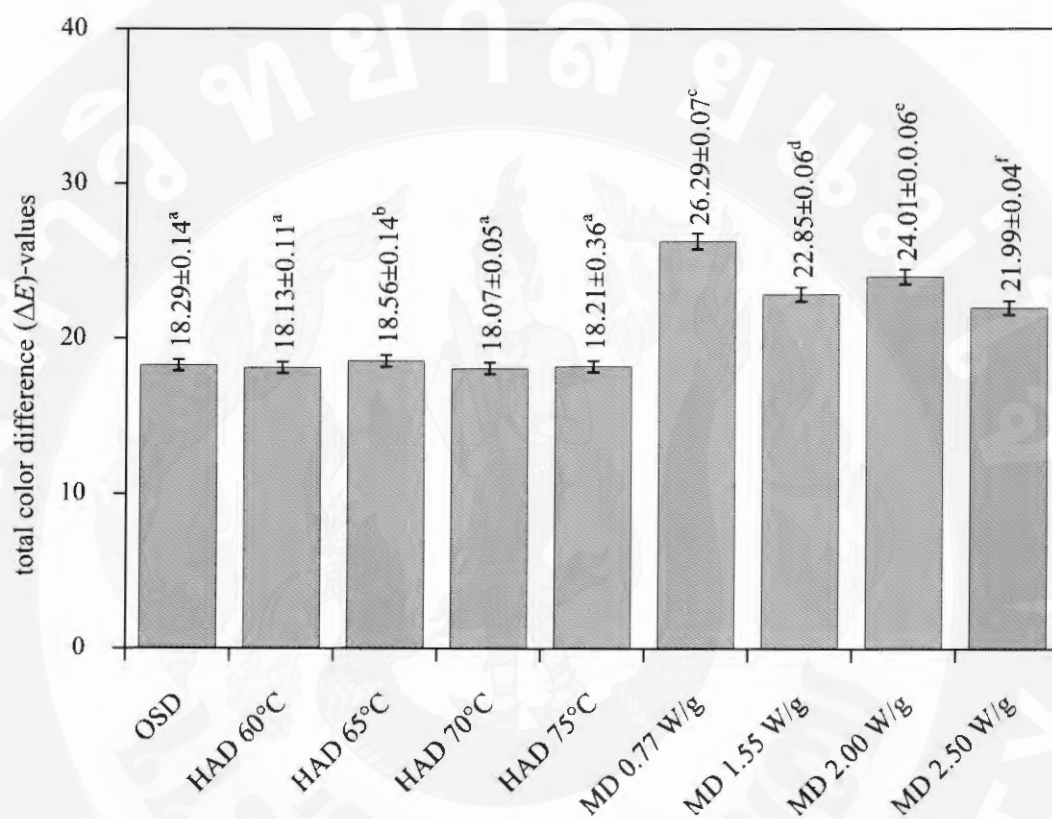


ภาพ 25 การเปรียบเทียบค่า b^* ของสาหร่ายเต่า

- หมายเหตุ
- ค่าของข้อมูลแสดงค่าเฉลี่ย \pm ค่าเบี่ยงเบนมาตรฐาน ($n=3$)
 - ^{a-d} อักษรกำกับที่มีความแตกต่างกันอย่างมีนัยสำคัญทางสถิติของค่าเฉลี่ย ($p\leq 0.05$)

ผลการศึกษาพบว่าค่า a^* ของสาหร่ายเต่าอบแห้งด้วยคลื่นในโครเวฟที่ระดับความเข้มข้น 0.77, 1.55, 2.00 และ 2.50 W/g มีค่าเท่ากับ 1.91 ± 0.04 , 1.66 ± 0.10 , 1.78 ± 0.07 และ 2.56 ± 0.05 ตามลำดับ โดยพบว่าสภาวะที่ใช้ในการอบแห้งมีผลอย่างมีนัยสำคัญทางสถิติ ($p\leq 0.05$) ต่อค่า a^* กล่าวคือ เมื่อใช้สภาวะการอบแห้งที่ระดับความเข้มของคลื่นในโครเวฟสูงขึ้นส่งผลทำให้สาหร่ายเตามีค่า a^* เพิ่มขึ้น แสดงให้เห็นว่าสภาวะการอบแห้งที่ระดับความเข้มของคลื่นในโครเวฟสูงขึ้นเป็นสาเหตุที่ทำให้สาหร่ายเต่าอบแห้งมีสีแดงจนเป็นสีน้ำตาล อันเนื่องมาจากการเกิดปฏิกิริยา

สันนิษฐานแบบไม่ใช้เอนไซม์ในระหว่างกระบวนการอบแห้ง จากภาพ 24 พบร่วมที่ระดับพลังงาน 2.50 W/g มีค่า a^* มากที่สุด แต่ที่ระดับพลังงาน 1.55 W/g สาหร่ายเตาอบแห้งมีค่า a^* ต่ำที่สุด ซึ่งอาจบ่งบอกถึงการสูญเสียรังควัตถุหรือคลอโรฟิลล์ที่ต่ำที่สุด



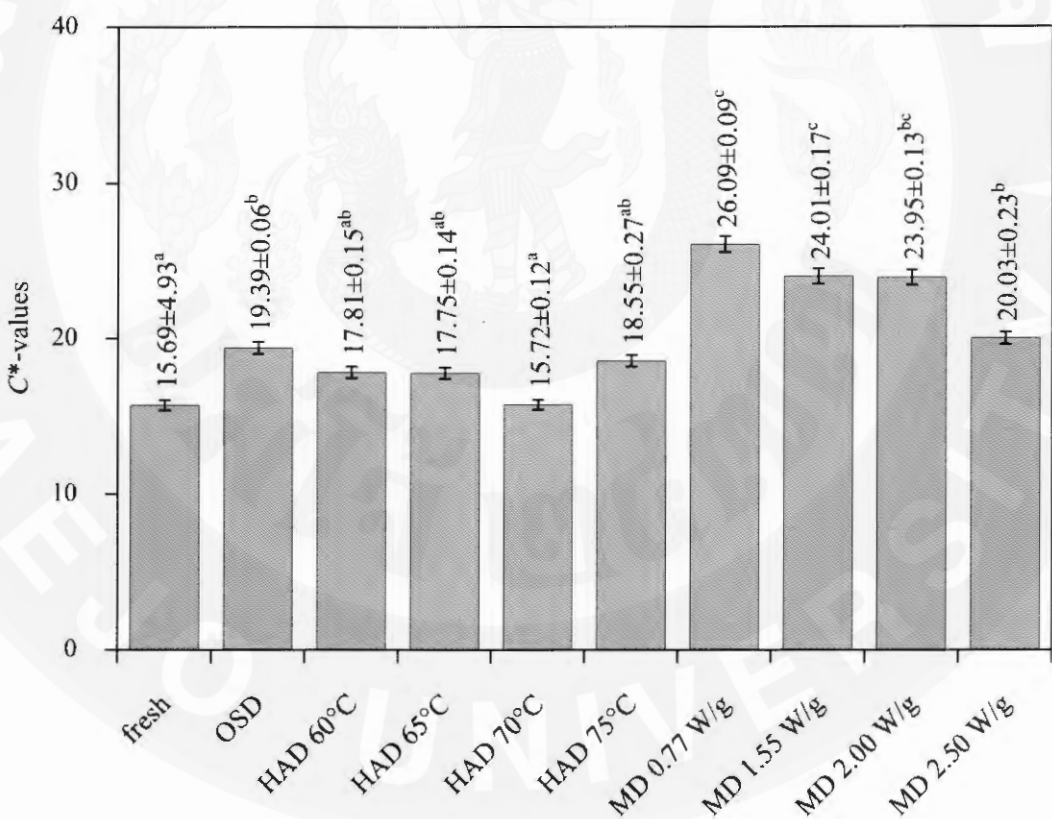
ภาพ 26 การเปรียบเทียบค่า ΔE ของสาหร่ายเตา

หมายเหตุ - ค่าของข้อมูลแสดงค่าเฉลี่ย \pm ค่าเบี่ยงเบนมาตรฐาน ($n=3$)

- $^{a-f}$ อักษรกำกับที่มีความแตกต่างกันอย่างมีนัยสำคัญทางสถิติของค่าเฉลี่ย ($p \leq 0.05$)

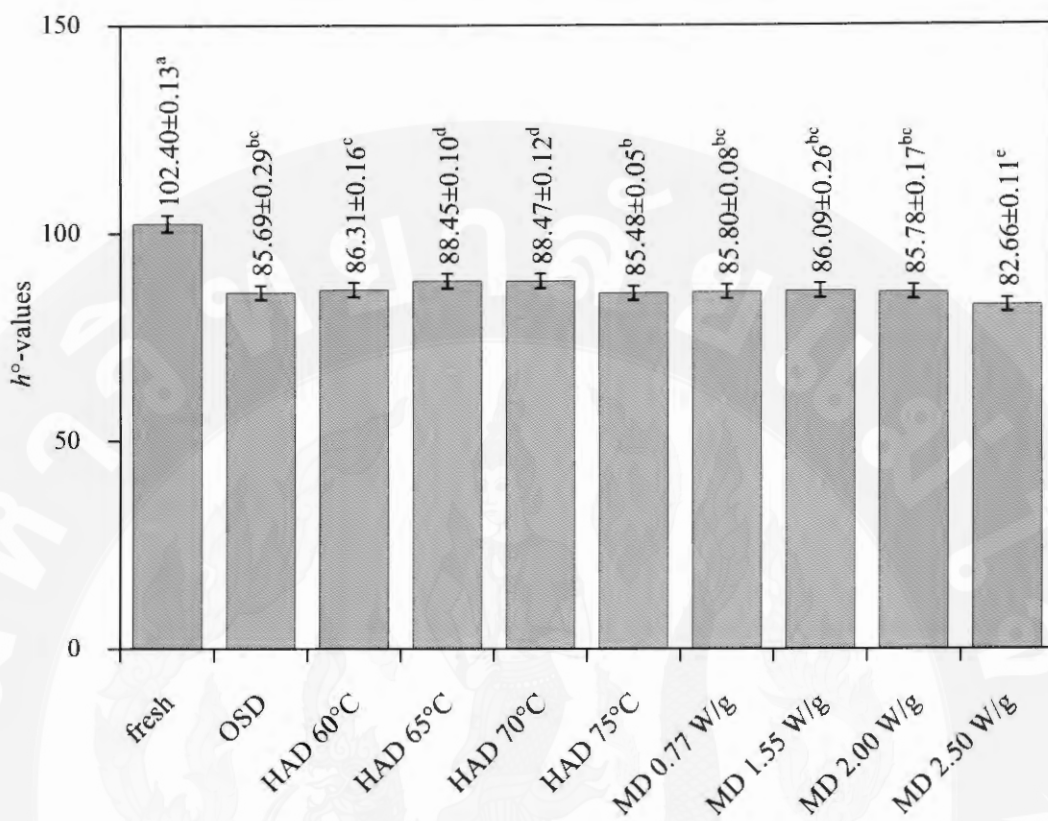
ค่า ΔE มีค่าเท่ากับ 26.29 ± 0.07 , 22.85 ± 0.06 , 24.01 ± 0.06 และ 21.99 ± 0.04 ที่ระดับความเข้มข้น 0.77, 1.55, 2.00 และ 2.50 W/g ตามลำดับ สาหร่ายเตาอบแห้งด้วยคลื่นไมโครเวฟที่ระดับพลังงาน 2.50 W/g มีค่า ΔE มากที่สุด แต่ที่ระดับพลังงาน 1.55 W/g สาหร่ายเตาอบแห้งมีค่า ΔE น้อยที่สุด เนื่องจากที่ระดับพลังงาน 2.50 W/g คลื่นไมโครเวฟจะเหนี่ยวแน่นให้เกิดพลังงานความร้อนปริมาณมากในการอบแห้งจึงมีอัตราการอบแห้งที่รวดเร็ว แต่เนื่องจากสาหร่ายเตาไตรับพลังงานที่มากเกินไป ส่งผลให้ได้รับความร้อนในปริมาณมากและເຫັນໄປทำลายรังควัตถุหรือสารให้

สีในสาหร่ายเตา ในขณะที่การอบแห้งที่ระดับพลังงาน 0.77 W/g เป็นระดับพลังงานน้อยเกินไป ทำให้เวลาที่ใช้ในการอบแห้งนาน ส่งผลกระทบต่อการสูญเสียรังควัตอุหรือสารให้สีในสาหร่ายเตา เช่นกัน ดังนั้น การอบแห้งสาหร่ายเตาด้วยคลื่นไมโครเวฟจะต้องมีระดับพลังงานที่เหมาะสม โดยที่ระดับ 1.55 W/g สามารถลดการเปลี่ยนแปลงสีของสาหร่ายเตาได้เหมาะสม ลดความสูญเสียของสารเอนไซม์และผักชमในระหว่างการอบแห้งด้วยคลื่นไมโครเวฟ ผลการวิเคราะห์ทางสถิติพบว่าค่า C^* และค่า h° ไม่มีความแตกต่างอย่างมีนัยสำคัญทางสถิติ ($p>0.05$) ซึ่งมีค่า C^* และค่า h° เท่ากัน 26.09 ± 0.09 , 24.01 ± 0.17 , 23.95 ± 0.13 , 20.03 ± 0.23 และ 85.80 ± 0.08 , 86.09 ± 0.26 , 85.78 ± 0.17 , 82.66 ± 0.11 ที่ระดับความเข้มข้นของคลื่นไมโครเวฟ 0.77, 1.55, 2.00, 2.50 W/g ตามลำดับ



ภาพ 27 การเปรียบเทียบค่า C^* ของสาหร่ายเตา

หมายเหตุ - ค่าของข้อมูลแสดงค่าเฉลี่ย \pm ค่าเบี่ยงเบนมาตรฐาน ($n=3$)
- $^{a-c}$ อักษรกำกับที่มีความแตกต่างกันอย่างมีนัยสำคัญทางสถิติของค่าเฉลี่ย ($p\leq0.05$)



ภาพ 28 การเปรียบเทียบค่า h° ของสาหร่ายเตา

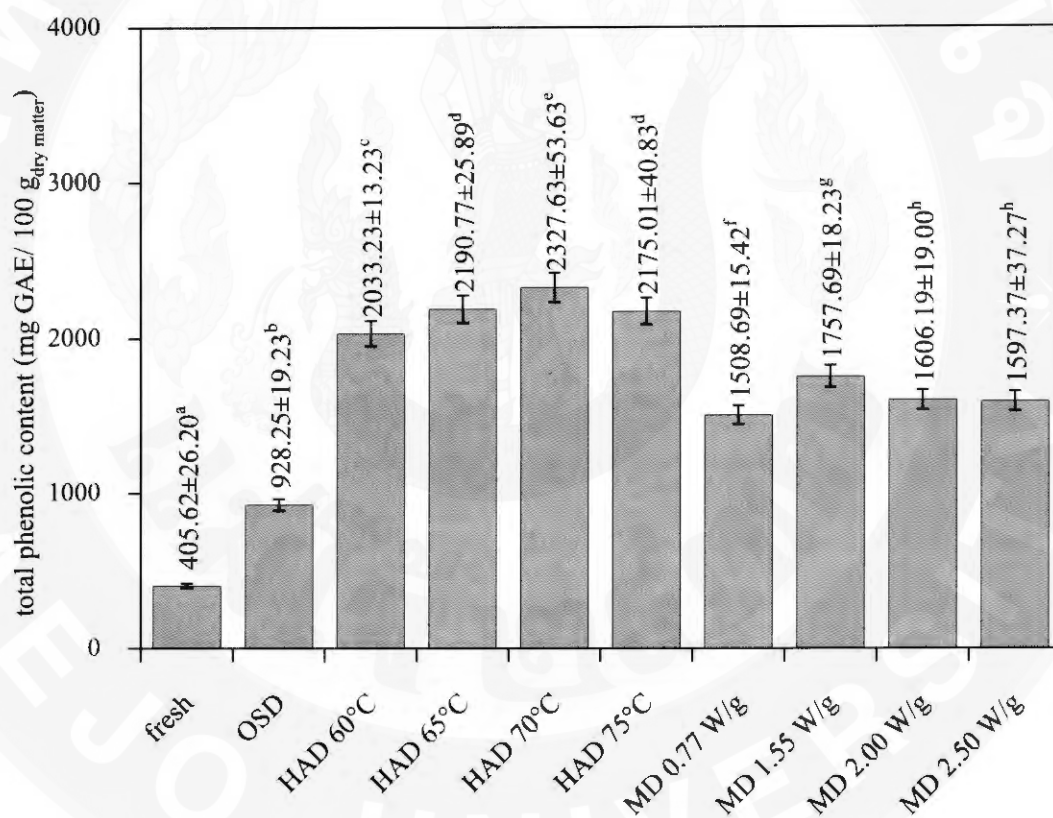
หมายเหตุ - ค่าของข้อมูลแสดงค่าเฉลี่ย \pm ค่าเบี่ยงเบนมาตรฐาน ($n=3$)
 - ^{a-e} อักษรกำกับที่มีความแตกต่างกันอย่างมีนัยสำคัญทางสถิติของค่าเฉลี่ย ($p \leq 0.05$)

เมื่อพิจารณาคุณภาพสีของสาหร่ายเตาอบแห้งที่ได้จากการอบแห้ง 3 วิธี พบว่า การอบแห้งด้วยลมร้อนสามารถลดการสูญเสียคุณภาพสีของสาหร่ายเตาอบแห้งได้ดีที่สุด อาจเนื่องมาจากการอบแห้งด้วยพลังงานแสงอาทิตย์เกิดการถ่ายเทความร้อนและความชื้นระหว่างสาหร่ายเตากับอากาศร้อนเกิดได้ช้า จึงทำให้ใช้เวลาในการอบแห้งนานส่งผลต่อการสูญเสียร่องควัตถุ หรือสารให้สีในสาหร่ายเตาอบแห้ง ในขณะที่การอบแห้งด้วยคลื่นไมโครเวฟจะเหนี่ยวนำให้เกิด พลังงานความร้อนปริมาณมากในระหว่างการอบแห้งจึงทำให้สาหร่ายเตาได้รับพลังงานที่มาก เกินไป ส่งผลให้ได้รับความร้อนในปริมาณมากและเข้าไปทำลายร่องควัตถุหรือสารให้สีในสาหร่ายเตา เช่นกัน ดังนั้น สาภาวะที่เหมาะสมในการอบแห้งสาหร่าย คือ การอบแห้งด้วยลมร้อนที่อุณหภูมิ 70°C ซึ่งเป็นสาภาวะที่สามารถรักษาการเปลี่ยนแปลงสีของสาหร่ายเตาได้ดีที่สุด

3. ผลการวิเคราะห์ปริมาณสารประกอบฟีโนลิกทั้งหมดและความสามารถในการด้านอนุมูลอิสระ

สารประกอบกลุ่มฟีโนลิกเป็นสารกลุ่มสำคัญซึ่งมีสมบัติในการด้านออกซิเดชัน โดยทำหน้าที่เป็นสารให้อิเล็กตรอนหรือเป็นตัวให้ไฮโดรเจนแก่อนุมูลอิสระ จึงทำให้อนุมูลอิสระที่เกิดขึ้นในปฏิกิริยาจะถูกทำให้เป็นสารที่มีความเสถียรหรือมีความคงตัวมากขึ้น ซึ่งการหาปริมาณสารประกอบฟีโนลิกทั้งหมดสามารถคำนวณเทียบกับกราฟมาตรฐานของสารละลายกรดแกลลิก (gallic acid) จากภาพ 29 และภาพ 30 แสดงปริมาณสารประกอบฟีโนลิกทั้งหมดและความสามารถในการด้านอนุมูลอิสระของสาหร่ายเตาสุดและสาหร่ายเตาอบแห้งแห้ง 3 วิช ซึ่งจะเห็นว่าสภาวะและวิธีการอบแห้งสาหร่ายเตาที่แตกต่างกันมีผลต่อการเปลี่ยนแปลงปริมาณสารประกอบฟีโนลิกทั้งหมดและความสามารถในการด้านอนุมูลอิสระอย่างมีนัยสำคัญทางสถิติ ($p \leq 0.05$) เมื่อนำค่าปริมาณสารประกอบฟีโนลิกทั้งหมดและความสามารถในการด้านอนุมูลอิสระของสาหร่ายเตาอบแห้งที่ได้จากสภาวะการอบแห้ง 3 วิช เปรียบเทียบกับสาหร่ายเตาสุด พบร่วมมือเป็นไปในทิศทางเดียวกัน นั่นคือ การอบแห้งมีผลต่อการเพิ่มขึ้นของปริมาณสารประกอบฟีโนลิกทั้งหมดและความสามารถในการด้านอนุมูลอิสระ ทั้งนี้อาจเกิดจากการอบแห้งหรือความร้อนที่เกิดขึ้นในระหว่างกระบวนการอบแห้งอาจทำให้เยื่อหุ้มเซลล์และผนังเซลล์ของสาหร่ายเตาเกิดการแตกหรือฉีกขาดจึงทำให้เกิดการปลดปล่อยองค์ประกอบที่อยู่ภายในโครงสร้างเซลล์ออกมายได้ง่ายขึ้น ส่วนผลให้สามารถสักคสารประกอบฟีโนลิกได้มากกว่า (ธนศักดิ์, 2552; Roy et al., 2007) นอกจากนี้การอบแห้งมีผลไปเรื่องการแตกตัวทั้งแบบที่ใช้อ่อนไข่นมและไม่ใช้อ่อนไข่นมของสารประกอบฟีโนลิกที่จับกับสารอื่น (bound form) ให้อยู่ในรูปของสารประกอบฟีโนลิกที่เป็นอิสระมากขึ้น จึงส่งผลให้สาหร่ายเตามีผ่านการอบแห้งมีปริมาณสารประกอบฟีโนลิกทั้งหมดและความสามารถในการด้านอนุมูลอิสระเพิ่มขึ้น ซึ่งสอดคล้องกับผลงานวิจัยของ Rangkadilok et al. (2005) อ้างโดย ศรีรัมยา (2550) ได้ศึกษาการเปลี่ยนแปลงปริมาณสารประกอบฟีโนลิกในลำไยอบแห้ง 9 สายพันธุ์ โดยการอบแห้งที่อุณหภูมิลมร้อน 80°C เป็นเวลา 48 hr พบร่วมกับการประมวลสารประกอบฟีโนลิกมีปริมาณเพิ่มขึ้นภายหลังการอบแห้ง เช่นเดียวกับผลงานวิจัยของรุ่งทิพย์ (2549) ได้ทดลองพบว่าปริมาณสารประกอบฟีโนลิกทั้งหมดของลำไยอบแห้งมีปริมาณเพิ่มขึ้นเมื่อเทียบกับตัวอย่างสดอย่างมีนัยสำคัญ ($p < 0.05$) เมื่อเปรียบเทียบปริมาณสารประกอบฟีโนลิกทั้งหมดของสาหร่ายเตาที่ผ่านการอบแห้งที่แตกต่างกัน 3 วิช ได้แก่ การอบแห้งด้วยพลังงานแสงอาทิตย์ การอบแห้งด้วยลมร้อน และการอบแห้งด้วยคลื่นไมโครเวฟ พบร่วมกับสาหร่ายเตาที่ผ่านการอบแห้งด้วยพลังงานแสงอาทิตย์มีปริมาณสารประกอบฟีโนลิกทั้งหมดน้อยที่สุด ซึ่งมีค่าเท่ากับ 928.25 ± 19.23 mg GAE/100 g_{dry matter} ในขณะที่การอบแห้งด้วยลมร้อนที่อุณหภูมิ 60, 65, 70, 75°C มีค่าเท่ากับ และ $2,033.23 \pm 13.23$, $2,190.77 \pm 25.89$, $2,327.63 \pm 53.63$, $2,175.01 \pm 40.83$ mg GAE/100 g_{dry matter} ตามลำดับ และสาหร่าย

เตาที่ผ่านการอบแห้งด้วยคลื่น ไมโครเวฟ มีค่าเท่ากับ $1,508.69 \pm 15.42$, $1,757.69 \pm 18.23$, $1,606.19 \pm 19.00$ และ $1,597.37 \pm 37.27$ mg GAE/100 g_{dry matter} ที่ระดับความเข้มข้นของคลื่น ไมโครเวฟ 0.77, 1.55, 2.00 และ 2.50 W/g ตามลำดับ ซึ่งอาจเกิดจากการอบแห้งด้วยพลังงาน แสงอาทิตย์ใช้ระยะเวลาในการอบแห้งนานกว่าเมื่อเปรียบเทียบกับวิธีการอบแห้งทั้ง 2 วิธี โดยการ อบแห้งเป็นเวลานานทำให้สารประกอบฟีโนอลิกเกิดการสลายตัวในระหว่างการอบแห้งเนื่องจาก การทำงานของเอนไซม์ (enzymatic reaction) ถึงแม้การอบแห้งด้วยวิธีการดังกล่าวทำให้สาหร่าย เตาได้รับความร้อนที่อุณหภูมิไม่สูงมากนัก แต่สาหร่ายเตาได้รับความร้อนเป็นเวลานานจึงมีผลต่อ การเปลี่ยนแปลงปริมาณสารประกอบฟีโนอลิก

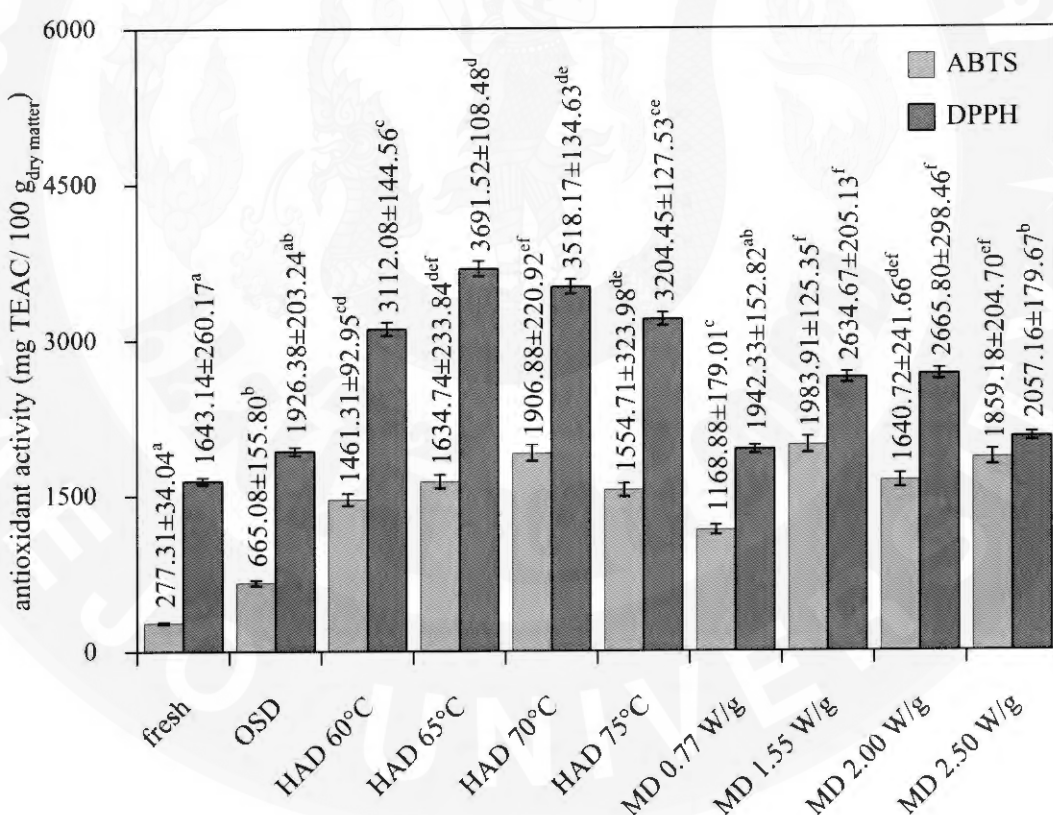


ภาพ 29 การเปรียบเทียบปริมาณสารประกอบฟีโนอลิกทั้งหมดของสาหร่ายเตา

หมายเหตุ - ค่าของข้อมูลแสดงค่าเฉลี่ย \pm ค่าเบี่ยงเบนมาตรฐาน ($n=3$)

- ^{a-h} อักษรกำกับที่มีความแตกต่างกันอย่างมีนัยสำคัญทางสถิติของค่าเฉลี่ย ($p \leq 0.05$)

เมื่อพิจารณาระหว่างวิธีการอบแห้งสาหร่ายเตาด้วยลมร้อนและการอบแห้งคลื่นไมโครเวฟ พบว่า การอบแห้งด้วยลมร้อนมีปริมาณสารประกอบฟีโนลิกทั้งหมดมากกว่า ทั้งนี้อาจเกิดจากการอบแห้งด้วยคลื่นไมโครเวฟเกิดความร้อนที่อุณหภูมิสูงเกินไปจึงทำลายสารประกอบฟีโนลิกบางชนิดที่ไม่ทนความร้อน ในขณะที่การอบแห้งด้วยพลาังงานแสงอาทิตย์ใช้เวลาในการอบแห้งนานนิ่งส่งผลต่อการสูญเสียสารประกอบฟีโนลิกทั้งหมด เช่นกัน โดยการเพิ่มอุณหภูมิลมร้อนส่งผลให้ปริมาณสารประกอบฟีโนลิกทั้งหมดมีค่าเพิ่มขึ้น แต่ปริมาณสารประกอบฟีโนลิกทั้งหมดจะมีค่าลดลงเมื่ออุณหภูมิลมร้อนมีค่าสูงกว่า 70°C ทั้งนี้อาจเกิดจากการอบแห้งที่ใช้อุณหภูมิสูงเกินไปทำให้สารประกอบฟีโนลิกทั้งหมดเกิดการสลายตัวในระหว่างการอบแห้งเนื่องจากความร้อนที่สูงเกินไป ดังนั้นสภาวะที่เหมาะสมในการอบแห้งสาหร่ายเตาด้วยลมร้อน คือที่อุณหภูมิ 70°C เนื่องจากมีปริมาณสารประกอบฟีโนลิกทั้งหมดมากกว่าการอบแห้งที่สภาวะอื่นๆ



ภาพ 30 การเปรียบเทียบความสามารถในการด้านอนุมูลอิสระของสาหร่ายเตา

หมายเหตุ

- ค่าของข้อมูลแสดงค่าเฉลี่ย ± ค่าเบี่ยงเบนมาตรฐาน ($n=3$)

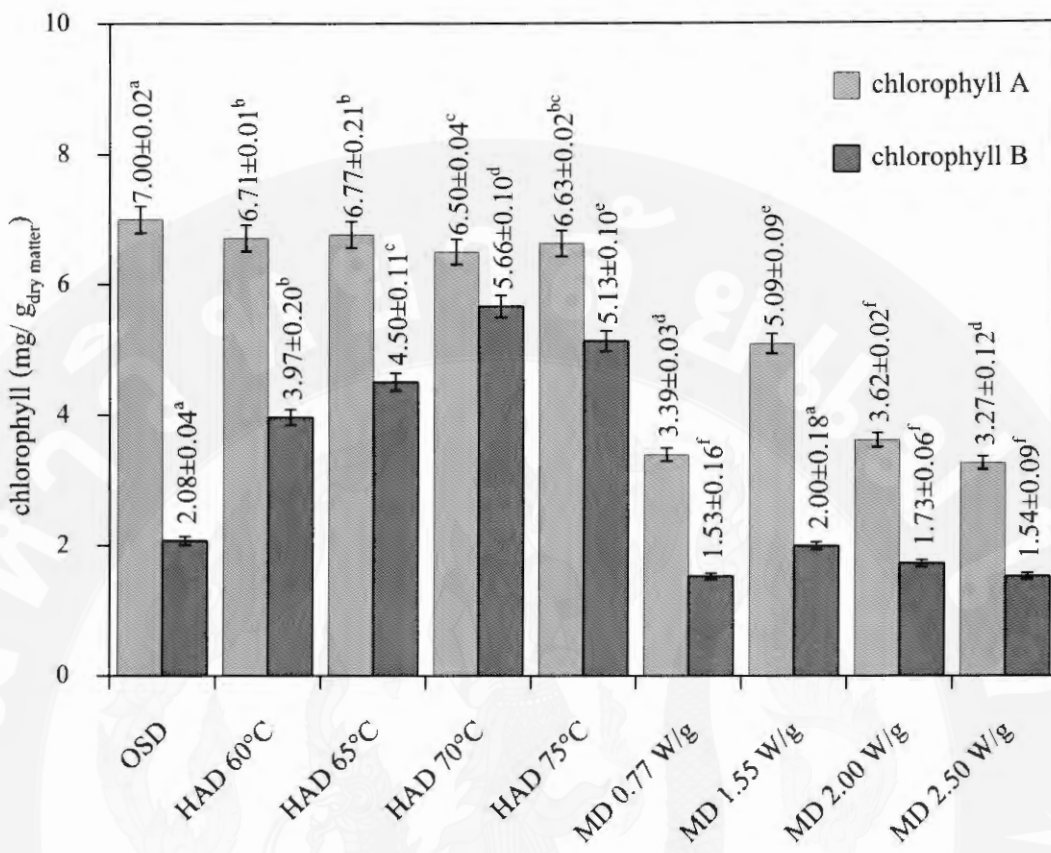
- อักษรกำกับที่มีความแตกต่างกันอย่างมีนัยสำคัญทางสถิติของค่าเฉลี่ย ($p \leq 0.05$)

ABTS radical cation (ABTS^+) คือสารอนุมูลอิสระกึ่งสังเคราะห์ ซึ่งเป็นอนุมูลอิสระที่นิยมใช้ในการวัดความสามารถในการต้านออกซิเดชันวิธีหนึ่ง เมื่อนำสาร ABTS ผสมกับสาร potassium persulfate ($\text{K}_2\text{S}_2\text{O}_8$) จะกลายเป็นสีน้ำเงินอมเขียว และเมื่อได้รับ hydrogen atom จากสารสกัดสาหร่ายเตาที่ใช้ในการทดสอบ จะทำให้ ABTS^+ ลดลง ทำให้สีของลังซึ่งสามารถวัดค่าการคุณภาพได้ที่ความยาวคลื่น 734 nm และนำค่าที่วัดค่าการคุณภาพได้มาคำนวณหา % inhibition จากนั้นเทียบค่าความสามารถในการต้านอนุมูลอิสระกับกราฟมาตรฐาน trolox (trolox) ผลการวิเคราะห์ความสามารถในการต้านอนุมูลอิสระของสาหร่ายเตาที่สภาวะต่างๆ แสดงดังภาพ 30 สาหร่ายเตาสมีความสามารถในการต้านอนุมูลอิสระ ABTS เท่ากับ 277.31 ± 34.04 mg TEAC/100 g_{dry matter} และการอบแห้งด้วยพลังงานแสงอาทิตย์ มีค่าเท่ากับ 665.08 ± 155.80 mg TEAC/100 g_{dry matter} แต่ในขณะที่การอบแห้งด้วยลมร้อนที่อุณหภูมิ 60, 65, 70, 75°C มีค่าเท่ากับ $1,461 \pm 92.95$, $1,634.74 \pm 233.84$, $1,906.88 \pm 220.92$, $1,554.71 \pm 323.98$ mg TEAC/100 g_{dry matter} ส่วนการอบแห้งด้วยคลื่นไมโครเวฟ มีค่า $1,168.88 \pm 179.01$, $1,983.91 \pm 125.35$, $1,640.72 \pm 241.66$, $1,859.18 \pm 204.70$ mg TEAC/100 g_{dry matter} ที่ระดับความเข้มข้น 0.77, 1.55, 2.00 และ 2.50 W/g ตามลำดับ โดยการอบแห้งทุกสภาวะทำให้สาหร่ายเตามีค่าความสามารถในการต้านอนุมูลอิสระสูงกว่าสาหร่ายเตาสด ซึ่งอาจเกิดจากการที่ความสามารถในการต้านอนุมูลอิสระเพิ่มขึ้นเนื่องจากมีการเกิดและสะสมของสารต้านอนุมูลอิสระที่เกิดจากปฏิกิริยาเมลลาร์ด (maillard-type antioxidant) ในระหว่างกระบวนการให้ความร้อน นอกจากนี้การอบแห้งยังทำให้ได้สารผลิตภัณฑ์เป็นสารประกอบบางชนิดที่มีความสามารถในการเป็นสารต้านอนุมูลอิสระที่เกิดจากปฏิกิริยาเมลลาร์ด เพิ่มขึ้นด้วย โดยจะเกิดในช่วงของการปฏิกิริยาเมลลาร์ดขั้นต้น (early maillard reaction) (นิธิยา, 2545; ศรัณยา, 2550; Soong and Barlow, 2004) สองคลื่นกับผลการทดสอบของ Antonio et al. (2003) อ้างโดย ศรัณยา (2550) ที่พบว่าผลพลัมอบนแห้งที่อุณหภูมิ 60 และ 80°C มีปริมาณสารประกอบ hydroxymethylfural (HMF) ซึ่งเป็นสารผลิตภัณฑ์จากการเกิดปฏิกิริยาเมลลาร์ดที่มีสมบัติเป็นสารต้านอนุมูลอิสระ โดยการอบแห้งด้วยลมร้อนที่อุณหภูมิ 70°C และการอบแห้งด้วยคลื่นไมโครเวฟที่ระดับความเข้ม 1.55 W/g มีความสามารถในการต้านอนุมูลอิสระมากกว่าการอบแห้งที่สภาวะอื่นๆ ทั้งนี้อาจเนื่องมาจากการดักจับสาหร่ายเตาที่อบแห้งในสภาวะตั้งกล่าว เกิดความร้อนในระดับที่เหมาะสมในการอบแห้ง ซึ่งที่สภาวะการอบแห้งนี้อาจทำให้สารที่มีสมบัติในการต้านอนุมูลอิสระถูกปลดปล่อยออกจากโครงสร้างเซลล์ของสาหร่ายเตามากขึ้น แต่เมื่อเพิ่มระดับของอุณหภูมิลมร้อนและความเข้มของคลื่นไมโครเวฟในการอบแห้งให้สูงขึ้นจะทำให้ความสามารถในการต้านอนุมูลอิสระลดลง โดยอาจเกิดจากการสลายด้วยสารที่มีสมบัติในการต้านอนุมูลอิสระเนื่องจากการได้รับความร้อนที่สูงเกินไป โดยปริมาณสารประกอบฟินอลิกทั้งหมด

และความสามารถในการต้านอนุมูลอิสระมีแนวโน้มในทิศทางเดียวกัน เนื่องจากกลไกการเกิดปฏิกิริยาเป็นแบบเดียวกัน โดยเป็นวิธีวัดสมบัติในการแลกเปลี่ยนอิเล็กตรอนเดียว (single electron transfer reaction) (ธนศักดิ์, 2552; Huang et al., 2005) แสดงถึงความสามารถในการต้านอนุมูลอิสระ DPPH ซึ่งพบว่าการอบแห้งทุกสภาวะมีความสามารถในการต้านอนุมูลอิสระเพิ่มขึ้น สาหร่ายเตาส้มมีความสามารถในการต้านอนุมูลอิสระ DPPH เท่ากับ $1,643.14 \pm 260.17$ mg TEAC/100 g_{dry matter} และการอบแห้งด้วยพลังงานแสงอาทิตย์ มีค่า $1,926.38 \pm 203.24$ mg TEAC/100 g_{dry matter} ขณะที่การอบแห้งด้วยลมร้อนที่อุณหภูมิ 60, 65, 70 และ 75°C มีค่าเท่ากับ $3,112.08 \pm 144.56$, $3,691.52 \pm 108.48$, $3,518.17 \pm 134.63$ และ $3,204.45 \pm 127.53$ mg TEAC/100 g_{dry matter} ส่วนการอบแห้งด้วยคลื่นไมโครเวฟ มีค่า $1,942.33 \pm 152.82$, $2,634.67 \pm 205.13$, $2,665.80 \pm 298.46$ และ $2,057.16 \pm 179.67$ mg TEAC/100 g_{dry matter} ที่ระดับความเข้มข้น 0.77, 1.55, 2.00 และ 2.50 W/g ตามลำดับ ผลการทดลองพบว่าสาหร่ายเตาที่ผ่านการอบแห้งด้วยลมร้อนมีความสามารถในการต้านอนุมูลอิสระ DPPH มากที่สุด เมื่อเปรียบเทียบกับความสามารถในการต้านอนุมูลอิสระ ABTS โดยข้อมูลที่ได้จากการวิจัยนี้เป็นหลักฐานทางวิทยาศาสตร์ที่แสดงถึงความสามารถในการต้านออกซิเดชันของสาหร่ายเตา ซึ่งสามารถนำไปใช้ประโยชน์ในการเป็นส่วนประกอบของเครื่องสำอางหรือนำมาใช้เป็นอาหารเสริมสุขภาพเพื่อป้องกันโรคต่างๆ ที่มีสาเหตุมาจากการอนุมูลอิสระ

4. ผลการวิเคราะห์ปริมาณคลอโรฟิลล์ เอ และคลอโรฟิลล์ บี

คลอโรฟิลล์เป็นรงควัตถุสีเขียวที่พบในพืช ผลไม้ และยังพบได้ในสาหร่ายทุกชนิด โดยในธรรมชาติมีคลอโรฟิลล์อยู่หลายชนิดด้วยกันซึ่งแต่ละชนิดมีโครงสร้างหลักที่เหมือนกันคือ วงแหวนไฟฟอล 4 วง แต่โซ่ข้าง (side chain) ของคลอโรฟิลล์แต่ละชนิดจะมีลักษณะที่ต่างกันออกไป เช่น คลอโรฟิลล์ เอ (chlorophyll A) และคลอโรฟิลล์ บี (chlorophyll B) มีโครงสร้างไมเดกุลที่ต่างกันเพียงตำแหน่งเดียวเท่านั้น นั่นคือ ที่วงแหวนไฟฟอล วงที่สองของคลอโรฟิลล์ เอ มีโซ่ข้างเป็นหมู่เมทธิล (-CH₃) ส่วนของคลอโรฟิลล์ บี เป็นหมู่อัลดีไฮด์ (-CHO) ซึ่งการที่โครงสร้างที่ต่างกันนี้ทำให้มีคุณสมบัติแตกต่างกัน รวมทั้งคุณสมบัติการคูคูกลืนแสงก็ต่างกันด้วย และทำให้คลอโรฟิลล์ทั้งสองชนิดนี้มีสีต่างกันเล็กน้อย โดยที่คลอโรฟิลล์ เอ มีสีเขียวเข้ม ส่วนคลอโรฟิลล์ บี มีสีเขียวอ่อน คลอโรฟิลล์เป็นรงควัตถุที่มีคุณสมบัติเป็นสารต้านอนุมูลอิสระ ดังนั้นความสามารถในการต้านอนุมูลอิสระอาจเกิดมาจากการคูคูกลืนแสงก็



ภาพ 31 การเปรียบเทียบคลอโรฟิลล์ เอ และคลอโรฟิลล์ บีของสาหร่ายเดา

หมายเหตุ - ค่าของข้อมูลแสดงค่าเฉลี่ย ± ค่าเบี่ยงเบนมาตรฐาน ($n=3$)
 - ^{a-f} อักษรกำกับที่มีความแตกต่างกันอย่างมีนัยสำคัญทางสถิติของค่าเฉลี่ย ($p \leq 0.05$)

การศึกษาผลของวิธีการอบแห้งต่อการเปลี่ยนแปลงคลอโรฟิลล์ เอ และคลอโรฟิลล์ บี ของสาหร่ายเดา พนว่า สาหร่ายเดาที่ผ่านการอบแห้งด้วยพลังงานแสงอาทิตย์ปริมาณคลอโรฟิลล์ เอ และคลอโรฟิลล์ บี เท่ากับ 7.00 ± 0.02 mg/g_{dry matter} และ 2.08 ± 0.04 mg/g_{dry matter} ส่วนการอบแห้งด้วยลมร้อนที่อุณหภูมิ 60, 65, 70, 75°C มีปริมาณคลอโรฟิลล์ เอ เท่ากับ 6.71 ± 0.01 , 6.77 ± 0.21 , 6.50 ± 0.04 , 6.63 ± 0.02 mg/g_{dry matter} และคลอโรฟิลล์ บี 3.97 ± 0.20 , 4.50 ± 0.11 , 5.66 ± 0.10 , 5.13 ± 0.10 mg/g_{dry matter} ตามลำดับ ในขณะที่การอบแห้งด้วยคลื่นไส้โครงฟิล์มมีปริมาณคลอโรฟิลล์ เอ 3.39 ± 0.03 , 5.09 ± 0.09 , 3.62 ± 0.02 , 3.27 ± 0.12 mg/g_{dry matter} และคลอโรฟิลล์ บี 1.53 ± 0.16 , 2.00 ± 0.18 , 1.73 ± 0.06 , 1.54 ± 0.09 mg/g_{dry matter} ที่ระดับความเข้ม 0.77, 1.55, 2.00, 2.50 W/g ตามลำดับ (ภาพ 31) เมื่อพิจารณาพบว่าการอบแห้งด้วยพลังงานแสงอาทิตย์มีคลอโรฟิลล์ เอ มากที่สุด ในขณะที่คลอโรฟิลล์ บี ของสาหร่ายเดาอบแห้งด้วยลมร้อนที่อุณหภูมิ 70°C มีค่ามากที่สุด โดยการอบแห้ง

สาหร่ายเตาด้วยคลื่นในໂຄຣເວີທີ່ຮະດັບຄວາມເຂັ້ມຕ່າງໆ ມີປົກມານຄລອໂຣຟິລ໌ ເຊື່ອ ແລະຄລອໂຣຟິລ໌ ນີ້ນອບກວ່າເມື່ອເຫັນກັນສາຫະໜາຍເຕາທີ່ຜ່ານກາຮອບແໜ້ງດ້ວຍພລັງຈານແສງອາທິຍໍ່ແລກາຮອບແໜ້ງດ້ວຍລມຮ້ອນ ທັງນີ້ອ້າງເກີດຈາກອຸນຫຼວມເຄລື່ອງສາຫະໜາຍເຕາໃນຮະຫວ່າງກາຮອບແໜ້ງດ້ວຍຄລື່ນໃນໂຄຣເວີມີຄ່າສູງເກີນໄປຈຶ່ງທໍາໃຫ້ແນກນີ້ເສີມໃນຄລອໂຣຟິລ໌ທຸດອອກໄປແລະຖຸກແຫນທີ່ດ້ວຍໄໂຣເຈັນ ທໍາໃຫ້ຄລອໂຣຟິລ໌ເປີດຍິນເປັນຝີໂໂໄໂຟດິນ (pheophytins) ຈຶ່ງເປັນສາຫະຫຼຸດໃຫ້ຄລອໂຣຟິລ໌ເກີດກາຮສາຍຕ້ວທໍາໃຫ້ສີເຂົ້າວຂອງສາຫະໜາຍເຕາຫາຍໄປແລກາຍເປັນສິ້ນໜ້າຕາດເມື່ອຜ່ານກາຮອບແໜ້ງທີ່ອຸນຫຼວມສູງ (Rudra et al., 2008)

ພລກາຮສີກຍາພລັງຈານໄຟຟ້າທີ່ໃຫ້ໃນກາຮອບແໜ້ງ

ກາຮວິເຄຣະໜ້າພລັງຈານໄຟຟ້າຂອງສາຫະໜາຍເຕາ ໂດຍໃຫ້ເຄື່ອງອນແໜ້ງແບບດາດທີ່ອຸນຫຼວມຮ້ອນ 60, 65, 70, 75°C ແລະເຄື່ອງອນແໜ້ງໃນໂຄຣເວີທີ່ຮະດັບຄວາມເຂັ້ມ 0.77, 1.55, 2.00, 2.50 W/g ໂດຍພລັງຈານທີ່ໃຫ້ໃນກາຮຄວາມໜື້ນສາຫະໜາຍເຕາໃນຮະຫວ່າງກາຮອບແໜ້ງດ້ວຍລມຮ້ອນ ປະກອບດ້ວຍພລັງຈານໄຟຟ້າທີ່ປົ້ນໃຫ້ແກ່ຫຼຸດທຳຄວາມຮ້ອນ (heater) ເພື່ອສ້າງພລັງຈານຄວາມຮ້ອນ ໃຫ້ແກ່ອາກາສທີ່ໃຫ້ເປັນດັກຄາງໃນກາຮອບແໜ້ງ ແລະພລັງຈານໄຟຟ້າທີ່ປົ້ນໃຫ້ແກ່ພັດລມເພື່ອທໍາໃຫ້ເກີດກາຮໄລຜ່ານຂອງອາກາສໃນຮະບນ ໃນໝະທິ່ພລັງຈານໄຟຟ້າສໍາຮັບກາຮອບແໜ້ງສາຫະໜາຍເຕາດ້ວຍຄລື່ນໃນໂຄຣເວີປະກອບດ້ວຍພລັງຈານໄຟຟ້າທີ່ປົ້ນໃຫ້ກັນແນກນີ້ຕຽບອນຈຶ່ງຈະທໍາຫັນໜ້າທີ່ເປັນຕົວສ້າງຄລື່ນໃນໂຄຣເວີ ຮວມໄປດຶງພລັງຈານໄຟຟ້າທີ່ປົ້ນໃຫ້ກັນພັດລມຮະບາຍຄວາມຮ້ອນເພື່ອປົ້ນກັນແນກນີ້ຕຽບອນໄນ້ໃຫ້ມີອຸນຫຼວມສູງເກີນໄປ ພລັງຈານໄຟຟ້າທີ່ປົ້ນໃຫ້ກັນຫລຸດໄຟແລະອຸປະນຸມຄວບຄຸມ ພລກາຮທດລອງສຽງໄດ້ດັ່ງແສດງໃນຕາງ 10

ພລກາຮທດລອງພນວ່າກາຮອບແໜ້ງດ້ວຍລມຮ້ອນທີ່ອຸນຫຼວມ 60°C ມີກາຮໃຫ້ພລັງຈານໄຟຟ້າທີ່ໃຫ້ໃນກາຮອບແໜ້ງສາຫະໜາຍເຕານາກກ່າວກາຮອບແໜ້ງທີ່ອຸນຫຼວມ 65, 70 ແລະ 75°C ທັງນີ້ອັນເນື່ອງນາມາຈາກກາຮອບແໜ້ງທີ່ອຸນຫຼວມ 60°C ຈຶ່ງເປັນອຸນຫຼວມອນແໜ້ງດໍາສຸດ ຄວາມໜື້ນໃນອາກາສສູງ ແລະ ຄວາມຮ້ອນແພັງຂອງກາຍເປັນໄອຕໍ່ ສ່າງພລທໍາໃຫ້ກາຮຄ່າຍເກວມໜື້ນຮະຫວ່າງອາກາສກັບສາຫະໜາຍເຕາ ໄດ້ໄນ້ດີ ຈຶ່ງໃຫ້ເວລາໃນກາຮຄວາມໜື້ນນາທີ່ສຸດ ໃນໝະທິ່ກາຮທຳການຂອງເຄື່ອງອນແໜ້ງດ້ວຍລມຮ້ອນ ເປັນຮະບນ ON-OFF ຈຶ່ງຄວບຄຸມກະຮແສໄຟຟ້າທີ່ໄລຜ່ານຂດຕວລໄຟຟ້າດ້ວຍຮະບນ PID ໂດຍກາຮສ້າງລມຮ້ອນທີ່ອຸນຫຼວມ 60°C ຈະມີຄານເວລາໃນຂ່າວກາປລ່ອຍກະຮແສໄຟຟ້າ (ON) ສັ້ນ ແລະຂ່າວກັບຫຼືຂ່າວທີ່ໄມ້ມີກາຮປລ່ອຍກະຮແສໄຟຟ້າ (OFF) ທີ່ຍ້າງກວ່າກາຮອບແໜ້ງທີ່ສກວະອິ່ນ ໂດຍກາຮອບແໜ້ງທີ່ອຸນຫຼວມ 60°C ມີອັຕຣາກາຮໃຫ້ພລັງຈານໄຟຟ້າເຄລື່ອງຕ່ອງໜ້າໂນງ ເທົ່າກັນ 1.02 kW ແລະກາຮອບແໜ້ງທີ່ອຸນຫຼວມ 65, 70 ແລະ 75°C ມີຄ່າເທົ່າກັນ 1.10, 1.14 ແລະ 1.54 kW ດານລຳດັບ ຈາກຂໍ້ອູນລພນວ່າກາຮອບແໜ້ງທີ່ອຸນຫຼວມ

65, 70 และ 75°C มีอัตราการใช้พลังงานไฟฟ้าเฉลี่ยต่อชั่วโมงมากกว่าที่อุณหภูมิ 60°C เท่ากับ 7.84, 11.76 และ 50.98% ตามลำดับ แต่ในขณะที่การอบแห้งที่อุณหภูมิ 60°C ใช้เวลาอบแห้งสาหร่ายเตาเท่ากับ 590 min ซึ่งมากกว่าการอบแห้งที่อุณหภูมิ 65, 70 และ 75°C ถึง 40.43, 90.14 และ 167.85% ตามลำดับ ถึงแม้ว่าที่สภาวะการอบแห้งที่อุณหภูมิ 60°C มีอัตราการใช้พลังงานไฟฟ้าเฉลี่ยต่อชั่วโมงต่ำกว่าการอบแห้งที่อุณหภูมิอื่น แต่ใช้ระยะเวลาในการอบแห้งที่นานกว่าจึงทำให้มีค่าการใช้พลังงานไฟฟ้ารวมในการอบแห้งที่มากกว่า เมื่อวิเคราะห์ต้นทุนค่าพลังงานไฟฟ้า พบว่า การอบแห้งสาหร่ายเตาด้วยลมร้อนที่อุณหภูมิ 60, 65, 70 และ 75°C มีค่าเท่ากับ 668.44, 513.33, 392.92 และ 376.79 บาท เช่นเดียวกับการอบแห้งสาหร่ายเตาด้วยคลื่นไมโครเวฟ ซึ่งพบว่าที่ระดับความเข้มระดับความเข้ม 0.77, 1.55, 2.00 และ 2.50 W/g มีต้นทุนค่าพลังงานไฟฟ้า เท่ากับ 46.11, 39.84, 37.10 และ 31.27 บาท ตามลำดับ เมื่อเพิ่มระดับความเข้มของคลื่นไมโครเวฟในกระบวนการอบแห้งทำให้อัตราการอบแห้งมีค่าเพิ่มขึ้น และระยะเวลาในการอบแห้งลดลงส่งผลให้ต้นทุนค่าพลังงานไฟฟ้ามีค่าลดลง

ตาราง 10 การเปรียบเทียบพลังงานไฟฟ้าที่ใช้ในการอบแห้งสาหร่ายเตา (ต่อ 1,000 g_{dry matter})

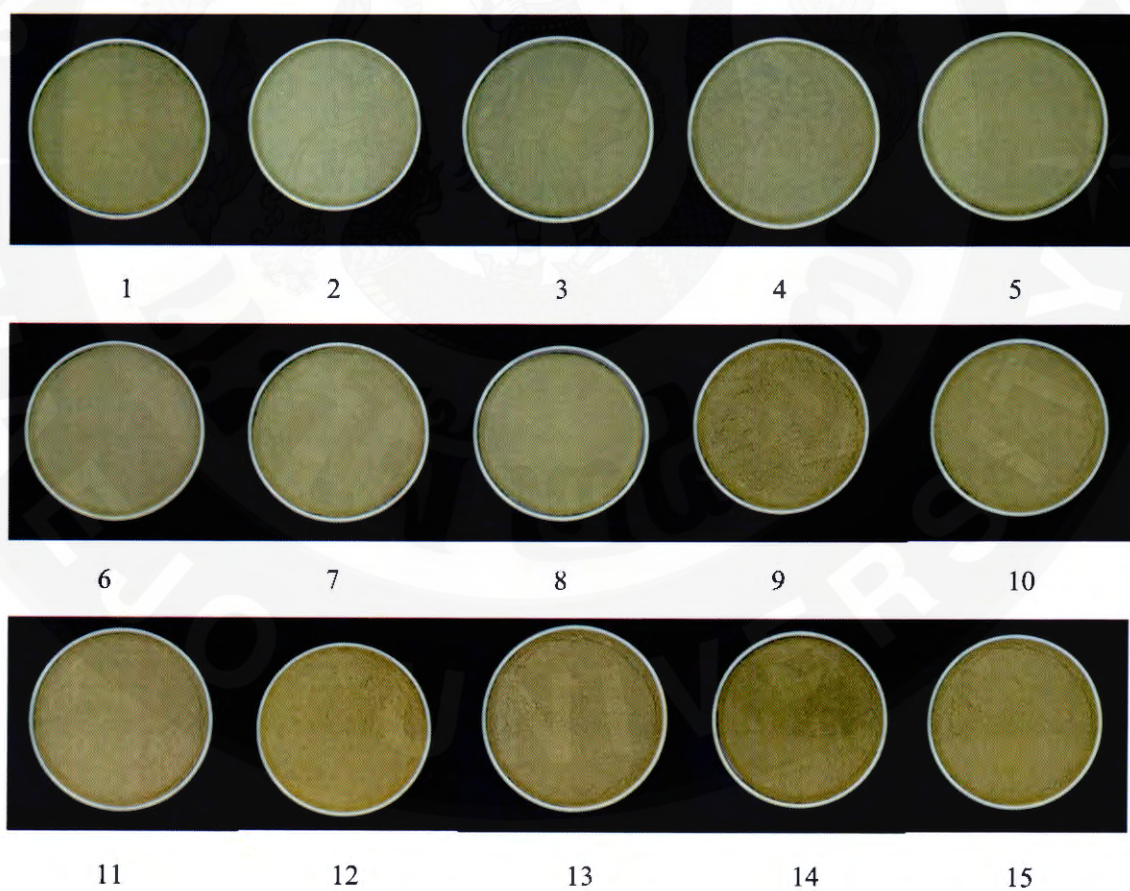
drying condition	working hours (hr)	power (kW×hr)	cost (baht)
OSD	33.00	-	-
HAD 60°C	9.83	10.03	668.44
HAD 65°C	7.00	7.70	513.33
HAD 70°C	5.17	5.89	392.92
HAD 75°C	3.67	5.65	376.79
MD 0.77 W/g	1.33	0.69	46.11
MD 1.55 W/g	0.72	0.60	39.84
MD 2.00 W/g	0.53	0.56	37.10
MD 2.50 W/g	0.35	0.47	31.27

ผลการศึกษาสภาวะที่เหมาะสมในการอบแห้งสาหร่ายเตาด้วยลมร้อนโดยใช้วิธีพื้นผิวตอบสนอง

การพิจารณาคัดเลือกวิธีการอบแห้งสาหร่ายเตาระหว่างวิธีการอบแห้งด้วยพลังงานแสงอาทิตย์ การอบแห้งด้วยลมร้อน และการอบแห้งด้วยคลื่นไมโครเวฟ เพื่อนำไปทำสภาวะที่เหมาะสมในการอบแห้งด้วยวิธีพื้นผิวตอบสนอง (RSM) และการออกแบบการทดลองแบบบีโกรช์-เบี้ยนเคน (BBD) ซึ่งพิจารณาจากผลการวิเคราะห์การเปลี่ยนแปลงคุณภาพของสาหร่ายเตาอบแห้งได้แก่ ค่า ΔE , ปริมาณสารประกอบฟีโนอลิกทั้งหมด, ความสามารถในการด้านอนุมูลอิสระ, คลอโรฟิลล์ เอ และคลอโรฟิลล์ บี จากการทดลองพบว่า ค่า ΔE ของสาหร่ายเตาที่อบแห้งด้วยลมร้อนมีค่าน้อยกว่าการอบแห้งด้วยพลังงานแสงอาทิตย์ และการอบแห้งด้วยคลื่นไมโครเวฟ รวมทั้งมีปริมาณสารประกอบฟีโนอลิกทั้งหมดและความสามารถในการด้านอนุมูลอิสระมากกว่าอย่างมีนัยสำคัญทางสถิติ ($p \leq 0.05$) ในด้านของการวิเคราะห์คลอโรฟิลล์ พนว่า การอบแห้งด้วยพลังงานแสงอาทิตย์มีคลอโรฟิลล์ เอ มากที่สุด ในขณะที่คลอโรฟิลล์ บี ของสาหร่ายเตาอบแห้งด้วยลมร้อน มีค่ามากที่สุด ($p \leq 0.05$) จากข้อมูลดังกล่าวจึงเลือกวิธีการอบแห้งด้วยลมร้อนเป็นวิธีที่เหมาะสมในการอบแห้งสาหร่ายเตาเพื่อนำไปออกแบบการทดลองและหาสภาวะที่เหมาะสมในการอบแห้งที่สามารถรักษาคุณภาพของสาหร่ายเตาอบแห้งได้ งานวิจัยนี้ทำการออกแบบการทดลองแบบ BBD และการวิเคราะห์ข้อมูลโดยใช้วิธี RSM สำหรับ 3 ปัจจัย อาศัยการทำการทดลองทั้งสิ้นจำนวน 15 การทดลอง โดยเป็นการทดลองที่ดำเนินการกึ่งกลางซึ่งทำซ้ำจำนวน 3 การทดลอง ผลการทดลองที่จะถูกนำไปวิเคราะห์ทางสถิติเพื่อหาความสมรูปของแบบจำลองทางคณิตศาสตร์กับผลการทดลอง

การศึกษาผลของ 3 ปัจจัย ประกอบไปด้วย อุณหภูมิในการอบแห้ง (X_1) มีค่าอยู่ระหว่าง $65-75^{\circ}\text{C}$ ความเร็วลมร้อน (X_2) อยู่ระหว่าง $1.0-2.0 \text{ m/s}$ และความหนาของชั้นวัสดุ (X_3) อยู่ระหว่าง $2.0-4.0 \text{ mm}$ ซึ่งค่าปัจจัยที่ศึกษาเหล่านี้ได้ทำการศึกษาเบื้องต้น (preliminary) และค่าผลตอบสนองที่ต้องการศึกษา ได้แก่ ความแตกต่างสีโดยรวม (Y_1) ปริมาณสารประกอบฟีโนอลิกทั้งหมด (Y_2) ความสามารถในการด้านอนุมูลอิสระ ABTS (Y_3) ความสามารถในการด้านอนุมูลอิสระ DPPH (Y_4) คลอโรฟิลล์ เอ (Y_5) และคลอโรฟิลล์ บี (Y_6) โดยสาหร่ายเตาอบแห้งจะถูกนำไปสกัดสารออกฤทธิ์ทางชีวภาพ เนื่องจากสารสกัดที่ได้สามารถนำไปเป็นส่วนประกอบสำหรับการผลิตเครื่องสำอางและอาหารเสริมเพื่อสุขภาพต่างๆ ดังนั้นสาหร่ายเตาอบแห้งที่ได้จึงควรมีปริมาณสารประกอบฟีโนอลิกทั้งหมด, ความสามารถในการด้านอนุมูลอิสระ และคลอโรฟิลล์สูง และให้สีที่ใกล้เคียงกับสาหร่ายเตาสด โดยภาพ 32 แสดงการเปรียบเทียบสาหร่ายเตาอบแห้งด้วยลมร้อนที่ได้ในแต่ละสิ่งทดลอง

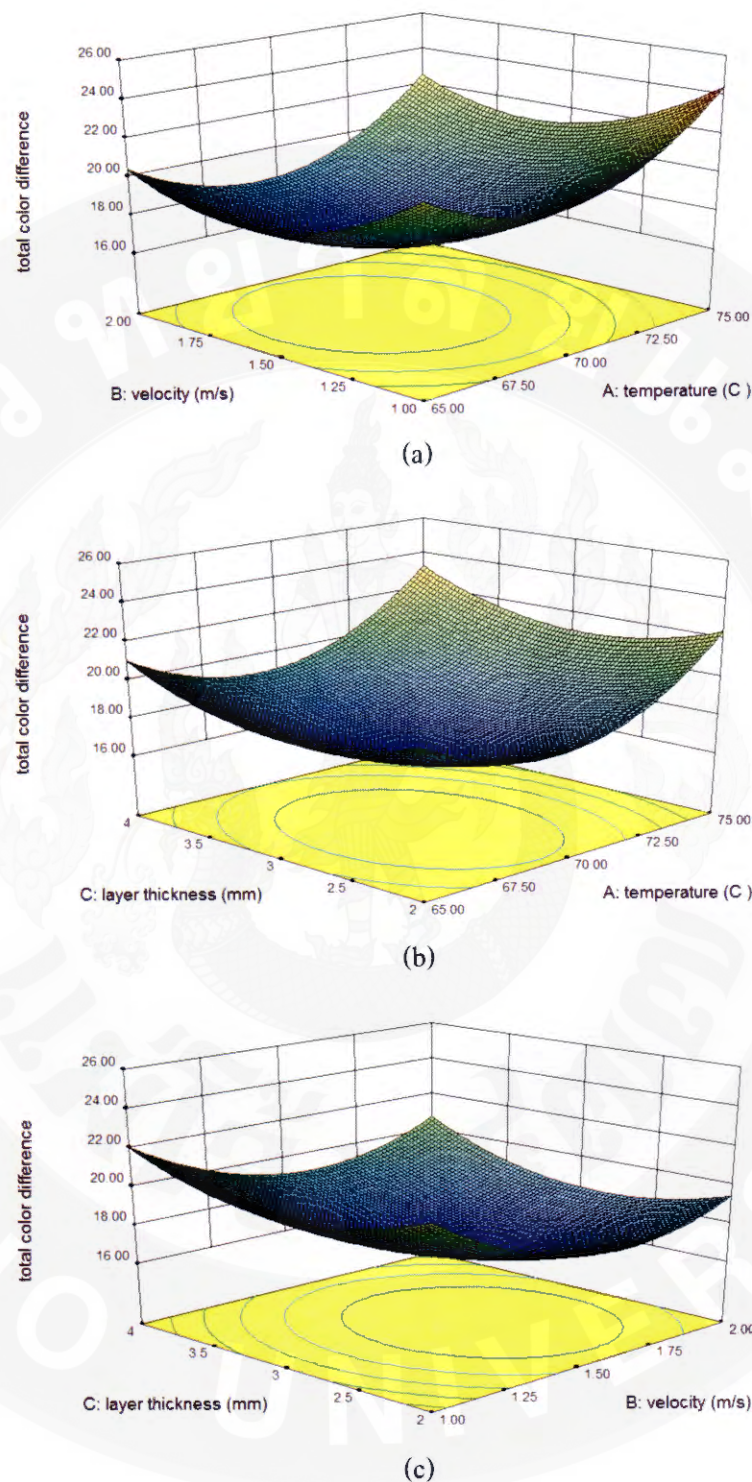
การทดลองหาสภาวะที่เหมาะสมในการอบแห้งสาหร่ายเตาด้วยลมร้อนโดยใช้วิธี RSM และใช้การทดลองแบบ BBD เพื่อเลือกระดับอุณหภูมิในการอบแห้ง ความเร็วลมร้อน และ ความหนาของชั้นวัสดุที่เหมาะสมในการอบแห้งสาหร่ายเตาที่ทำให้มีค่า ΔE น้อยที่สุด ในขณะที่ ปริมาณสารประกอบฟีนอลิกทั้งหมด ความสามารถในการต้านอนุมูลอิสระ คลอโรฟิลล์ เอ และ คลอโรฟิลล์ บี มีค่ามากที่สุด ตาราง 11 แสดงผลการวิเคราะห์ค่าการตอบสนองของสาหร่ายเตา อบแห้งที่ได้ในแต่ละสิ่งทดลอง จากการทดลอง พบว่า ค่า ΔE มีค่าอยู่ระหว่าง 16.51-24.82 ในขณะที่ปริมาณสารประกอบฟีนอลิกทั้งหมด ความสามารถในการต้านอนุมูลอิสระ ABTS และ ความสามารถในการต้านอนุมูลอิสระ DPPH มีค่าอยู่ระหว่าง 1,466.10-2,597.14 mg GAE/100 g_{dry matter}, 982.93-2,039.11 mg TEAC/100 g_{dry matter} และ 3,031.66-3,721.54 mg TEAC/100 g_{dry matter} ตามลำดับ ส่วนคลอโรฟิลล์ เอ และคลอโรฟิลล์ บี มีค่าอยู่ระหว่าง 4.10-6.85 และ 1.32-5.11 mg/g_{dry matter} ตามลำดับ



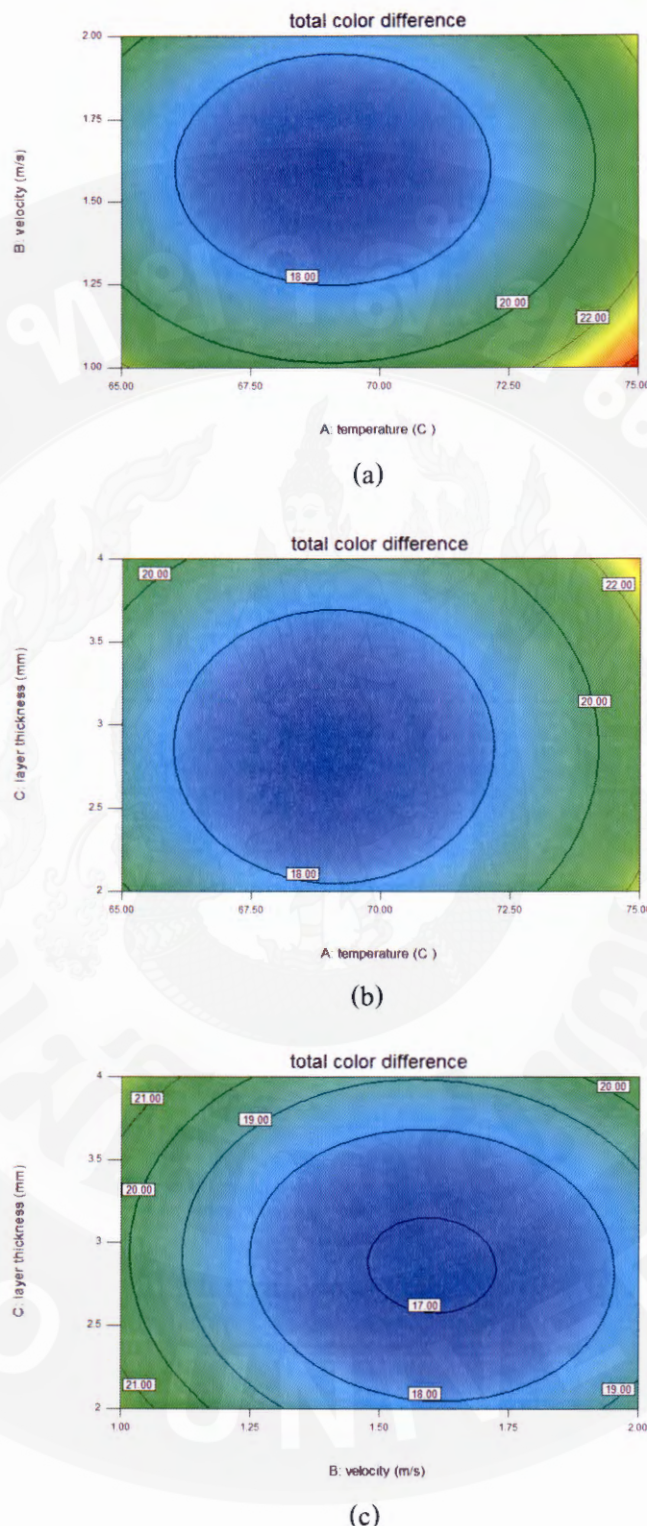
ภาพ 32 การเปรียบเทียบสีสาหร่ายเตาอบแห้งด้วยลมร้อนที่ได้ในแต่ละสิ่งทดลอง

การวิเคราะห์หาความสัมพันธ์ของปัจจัยที่ศึกษา กับค่าการตอบสนองของปัจจัยชี้ สามารถวิเคราะห์ผลการทดลองโดยใช้สมการการ回帰เชิงเส้น (regression equation) ที่ระดับนัยสำคัญ $\alpha = 0.05$ พบว่า แบบจำลองโพลีโนเมียลลำดับที่สอง (quadratic model) มีความเหมาะสมในการทำนายค่าการตอบสนองทุกค่าของการอบแห้งสาหร่ายเดาด้วยลมร้อน โดยตาราง 12-13 แสดงค่า F-value ของสมการ และค่า lack of fit ของแต่ละค่าการตอบสนอง จากผลการวิเคราะห์ทางสถิติ พบว่า แบบจำลองที่สร้างขึ้นมีผลต่อค่าการตอบสนองที่ระดับนัยสำคัญ ($p\text{-value}<0.05$) ได้แก่ ความแตกต่างสีโดยรวม ปริมาณสารประกอบฟินอลิกทั้งหมด ความสามารถในการด้านอนุมูลอิสระ ABTS ความสามารถในการด้านอนุมูลอิสระ DPPH คลอโรฟิลล์ เอ และคลอโรฟิลล์ บี

ภาพ 33 แสดงพื้นผิวตอบสนองในรูปแบบของกราฟ 3 มิติ (3D plot) และภาพ 34 แสดงกราฟเส้นโครงร่างของพื้นผิวตอบสนอง (contour plot) ซึ่งแสดงความสัมพันธ์ของปัจจัยระหว่างอุณหภูมิในการอบแห้ง ความเร็วลมร้อน และความหนาของชั้นวัสดุต่อค่า ΔE ของสาหร่าย เดา พบร า การเพิ่มอุณหภูมิลมร้อนในการอบแห้งเป็นปัจจัยที่มีผลต่อค่า ΔE ของสาหร่ายเดาอบแห้ง ที่แตกต่างกันอย่างมีนัยสำคัญ ($p\text{-value}<0.01$) โดยอุณหภูมิลมร้อนที่สูงขึ้นจะทำให้มีค่า ΔE มากขึ้น ซึ่งอาจเนื่องมาจากการอบแห้งที่อุณหภูมิสูงจะส่งผลทำให้รังควัตถุหรือสารให้สีถูกทำลายและเกิด การสลายตัวจากความร้อนที่สูงเกินไปจึงทำให้เกิดการสูญเสียน้ำ รวมทั้งมีการสลายตัวและมีการรวมตัวกันของหมู่อะมิโนกับสารประกอบรีดิวชิง และพัฒนาการเป็นสารประกอบเชิงชั้นมีสีเหลืองจนเป็นสีน้ำตาล ในขณะที่การเพิ่มความเร็วลมในกระบวนการจะทำให้ค่า ΔE ของสาหร่าย เดาอบแห้งมีค่าลดลง ทั้งนี้อาจเกิดจากการถ่ายเทมวลความชื้นและอากาศร้อนระหว่างตัวอย่าง ได้รีว ขึ้น จึงทำให้ใช้เวลาในการอบแห้งสั้นลงช่วยให้สาหร่ายเดาลดการสัมผัสอากาศร้อนเป็นเวลานานที่ ส่งผลต่อการเปลี่ยนแปลงค่าสีเนื่องจากปฏิกิริยาการเกิดสีน้ำตาลที่เร่งด้วยเอนไซม์ ($p\text{-value}<0.01$) เมื่อพิจารณาชั้นความหนาของวัสดุที่ใช้ในการอบแห้ง ไม่มีผลต่อการเปลี่ยนแปลงค่า ΔE อย่างมี นัยสำคัญ ($p\text{-value}>0.05$) เช่นกับการทดลองของป่องพล และคณะ (2557) ที่ศึกษาอิทธิพลของ อุณหภูมิ (50, 60 และ 70°C) และความหนาของชั้นวัสดุ (10, 15 และ 20 mm) ต่อการเปลี่ยนแปลง สมบัติเชิงทัศนศาสตร์ของดอกคากโนมายล่อนแห้ง ได้แก่ ค่าความสว่าง/ความมืด (L^*) ค่าความ แตกต่างสีโดยรวม (ΔE) และค่าความสัดของสี (C^*) จากการทดลองอบแห้ง พบว่าเมื่อเพิ่มอุณหภูมิ ลมร้อนและใช้ชั้นวัสดุหนาขึ้นทำให้ค่า L^* มีค่าลดลง แต่ในขณะที่ค่า ΔE มีค่าเพิ่มขึ้น และค่า C^* ของดอกคากโนมายล่อนแห้ง ไม่มีความแตกต่างอย่างมีนัยสำคัญทางสถิติ ($p\text{-value}>0.05$) การทดลอง สามารถวิเคราะห์ความสัมพันธ์ของปัจจัยกับค่า ΔE ได้สมการความสัมพันธ์ดังแสดงในตาราง 14 โดยแบบจำลองที่สร้างขึ้นมีระดับนัยสำคัญ $p\text{-value}<0.01$ และมีค่าสัมประสิทธิ์การ回帰เชิงเส้น (R^2) เท่ากับ 0.9745



ภาพ 33 กราฟ 3 มิติของพื้นผิวตอบสนองต่อค่าความแตกต่างสีโดยรวม; (a) ความสัมพันธ์ระหว่างอุณหภูมิกับความเร็วลมร้อน, (b) ความสัมพันธ์ระหว่างอุณหภูมิกับชั้นความหนา, (c) ความสัมพันธ์ระหว่างความเร็วลมร้อนกับชั้นความหนา



ภาพ 34 กราฟโครงร่างของพื้นผิวดอนสูงต่ำค่าความแตกต่างสีโดยรวม; (a) ความสัมพันธ์ระหว่างอุณหภูมิกับความเร็วลมร้อน, (b) ความสัมพันธ์ระหว่างอุณหภูมิกับชั้นความหนา, (c) ความสัมพันธ์ระหว่างความเร็วลมร้อนกับชั้นความหนา

ตาราง 11 การวิเคราะห์ข้อมูลการอ่อนแห้งสาหร่ายเดาด้วยลมร้อน โดยใช้วิธีพื้นผิวนอนสนองด้วยการออกแบบการทดลองแบบบีโกรช์-เบ็นเนนเคน

run	coded			response					
	X_1	X_2	X_3	Y_1	Y_2	Y_3	Y_4	Y_5	Y_6
1	65 (-1)	1.0 (-1)	3 (0)	21.96	1,508.35	1,617.73	3,287.86	6.09	2.00
2	75 (+1)	1.0 (-1)	3 (0)	24.82	1,626.09	1,483.44	3,112.50	4.10	1.57
3	65 (-1)	2.0 (+1)	3 (0)	20.01	1,466.10	1,686.38	3,432.91	5.77	1.92
4	75 (+1)	2.0 (+1)	3 (0)	22.75	1,654.72	1,564.22	3,334.83	5.31	1.32
5	65 (-1)	1.5 (0)	2 (-1)	20.64	1,505.19	1,488.15	3,484.15	5.48	2.00
6	75 (+1)	1.5 (0)	2 (-1)	22.25	1,670.45	982.93	3,334.83	4.88	1.45
7	65 (-1)	1.5 (0)	4 (+1)	21.32	1,605.55	1,659.11	3,154.56	4.83	2.10
8	75 (+1)	1.5 (0)	4 (+1)	22.97	1,692.30	1,429.51	3,031.66	4.98	1.57
9	70 (0)	1.0 (-1)	2 (-1)	21.61	1,774.43	1,327.70	3,334.83	6.26	2.41
10	70 (0)	2.0 (+1)	2 (-1)	19.55	1,864.99	1,583.46	3,536.94	6.10	2.35
11	70 (0)	1.0 (-1)	4 (+1)	22.13	1,832.02	1,342.78	3,112.50	5.85	1.57
12	70 (0)	2.0 (+1)	4 (+1)	21.02	2,075.01	1,762.27	3,334.83	6.66	1.89
13	70 (0)	1.5 (0)	3 (0)	17.91	2,597.14	2,039.11	3,697.38	6.40	4.74
14	70 (0)	1.5 (0)	3 (0)	16.74	2,487.65	1,927.88	3,721.54	6.85	4.97
15	70 (0)	1.5 (0)	3 (0)	16.51	2,466.98	2,000.99	3,718.06	6.45	5.11

ตาราง 12 ANOVA สำหรับแต่ละค่าการตอบสนองของการอบแห้งสาหร่ายเตาด้วยลมร้อน

source	df	total color difference		total phenolic content		antioxidant activity ABTS	
		sum of square	F-value	sum of square	F-value	sum of square	F-value
model	9	74.43	21.24**	1.962×10^6	39.12**	9.838×10^5	5.94*
X_1 (temperature)	1	9.84	25.28**	38970.67	6.99*	1.228×10^5	6.68*
X_2 (velocity)	1	6.47	16.62	12795.23	2.30	85011.57	4.62
X_3 (layer thickness)	1	1.43	3.66	18994.38	3.41	82301.30	4.47
X_1^2	1	3.251×10^{-3}	8.348×10^{-3}	1256.11	0.23	36.79	2.000×10^{-3}
X_2^2	1	4.130×10^{-4}	1.061×10^{-3}	1540.68	0.28	18991.65	1.03
X_3^2	1	0.22	0.58	5808.88	1.04	6701.50	0.36
$X_1 X_2$	1	33.80	86.79	1.378×10^6	247.21	2.453×10^5	13.33
$X_1 X_3$	1	19.70	50.58	4.334×10^5	77.77	76170.32	4.14
$X_2 X_3$	1	10.87	27.91	3.064×10^5	54.97	4.310×10^5	23.42
residual	5	1.95		27864.55		91992.47	
lack of fit	3	0.81	0.48	18078.28	1.23	85602.26	8.93
pure error	2	1.13		9786.26		6390.21	
total	14	76.38		1.990×10^6		1.076×10^6	

หมายเหตุ

* แสดงค่าที่มีความแตกต่างกันอย่างมีนัยสำคัญทางสถิติของค่าเฉลี่ย ($p < 0.05$)

** แสดงค่าที่มีความแตกต่างกันอย่างมีนัยสำคัญทางสถิติของค่าเฉลี่ย ($p < 0.01$)

ตาราง 13 ANOVA สำหรับแต่ละค่าการตอบสนองของการอบแห้งสาหร่ายเตาด้วยลมร้อน

source	df	antioxidant activity DPPH		chlorophyll A		chlorophyll B	
		sum of square	F-value	sum of square	F-value	sum of square	F-value
model	9	6.954×10^5	62.58**	7.96	6.35*	23.97	32.89**
X_1 (temperature)	1	37218.41	30.15	1.06	7.60*	0.56	6.91*
X_2 (velocity)	1	78369.92	63.48	0.30	2.16	5.084×10^{-4}	6.279×10^{-3}
X_3 (layer thickness)	1	1.397×10^5	113.16	0.021	0.15	0.15	1.80
X_1^2	1	1492.59	1.21	0.58	4.20	6.389×10^{-3}	0.079
X_2^2	1	174.44	0.14	0.14	1.01	7.393×10^{-5}	9.131×10^{-4}
X_3^2	1	102.12	0.083	0.24	1.70	0.037	0.45
$X_1 X_2$	1	2.296×10^5	186.01	5.42	38.91	11.38	140.51
$X_1 X_3$	1	1.079×10^5	87.37	5.178×10^{-3}	0.037	8.10	100.05
$X_2 X_3$	1	1.654×10^5	133.96	0.36	2.60	7.25	89.54
residual	5	6172.67		0.70		0.40	
lack of fit	3	5831.52	11.40	0.57	3.04	0.33	3.07
pure error	2	341.16		0.13		0.072	
total	14	7.015×10^5		8.65		24.37	

หมายเหตุ

* แสดงค่าที่มีความแตกต่างกันอย่างมีนัยสำคัญทางสถิติของค่าเฉลี่ย ($p<0.05$)

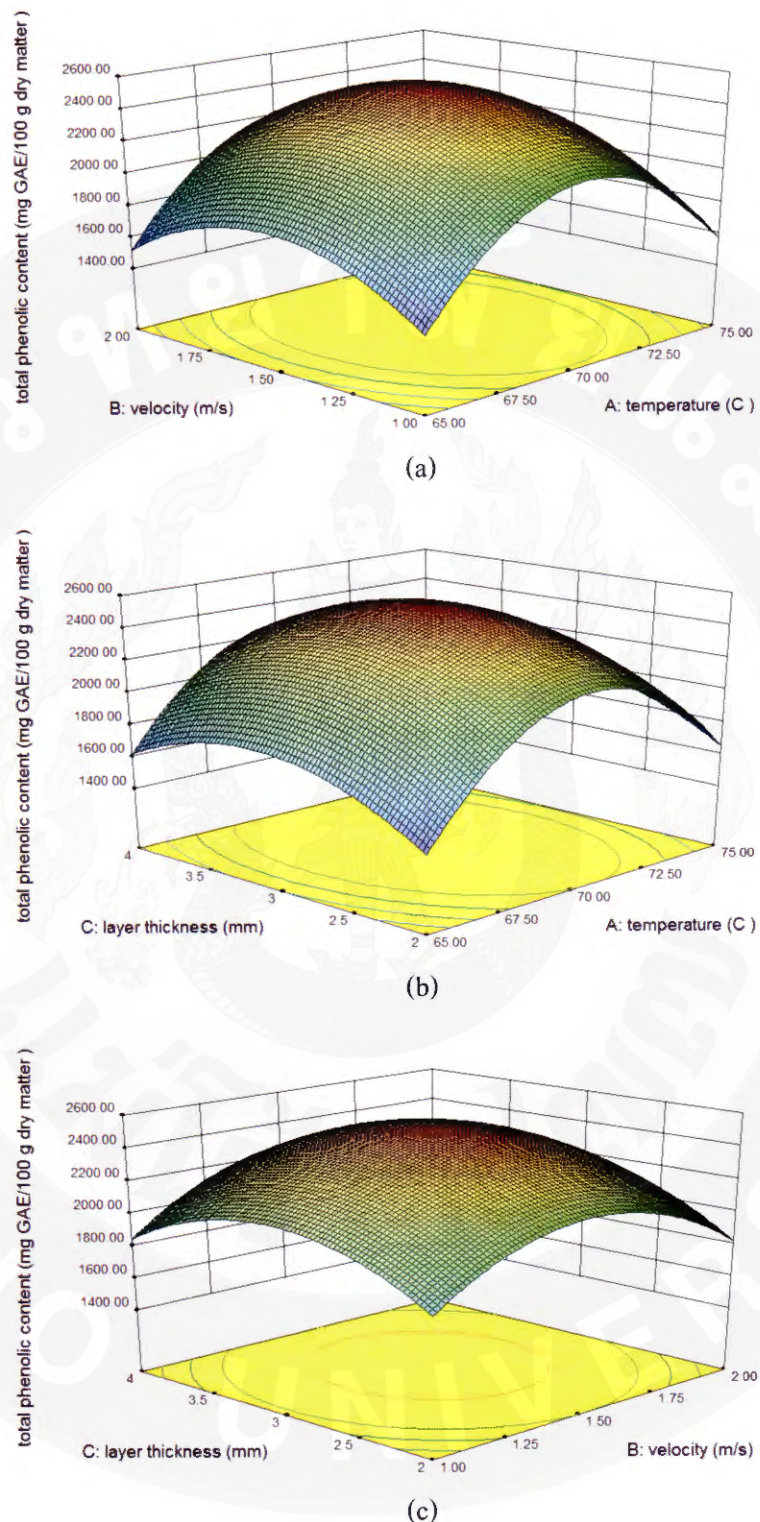
** แสดงค่าที่มีความแตกต่างกันอย่างมีนัยสำคัญทางสถิติของค่าเฉลี่ย ($p<0.01$)

ตาราง 14 สมการโพลิโนเมียลลำดับที่สองและค่าสัมประสิทธิ์การadjustอย่างรับค่าการตอบสนองของการอบแห้งสาหร่ายเตาด้วยลมร้อน

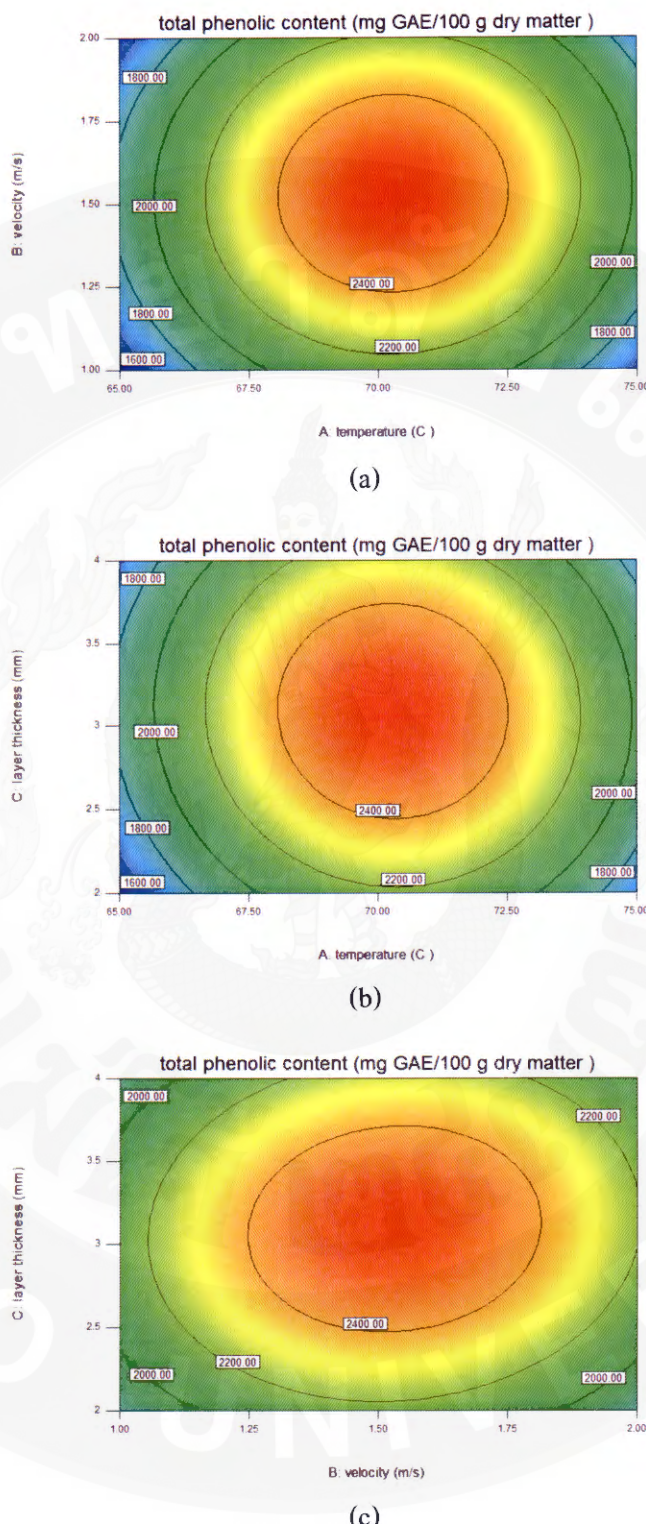
response	model	R^2	equation
total color difference	$Y_1 = 17.05 + 1.11X_1 - 0.90X_2 + 0.42X_3 - 0.029X_1X_2 + 0.010X_1X_3 + 0.24X_2X_3 + 3.03X_1^2 + 2.31X_2^2 + 1.72X_3^2$	0.9745	(34)
total phenolic content (mg GAE/100 g _{dry matter})	$Y_2 = 2,517.26 + 69.79X_1 + 39.99X_2 + 48.73X_3 + 17.72X_1X_2 - 19.63X_1X_3 + 38.11X_2X_3 - 610.84X_1^2 - 342.60X_2^2 - 288.04X_3^2$	0.9860	(35)
antioxidant activity ABTS (mg TEAC/100 g _{dry matter})	$Y_3 = 1,989.33 - 123.91X_1 + 103.08X_2 + 101.43X_3 + 3.03X_1X_2 + 68.91X_1X_3 + 40.93X_2X_3 - 257.76X_1^2 - 143.63X_2^2 - 341.65X_3^2$	0.9145	(36)
antioxidant activity DPPH (mg TEAC/100 g _{dry matter})	$Y_4 = -46,422.17 + 1,367.38X_1 + 1,677.73X_2 + 1,030.08X_3 + 7.73X_1X_2 + 1.32X_1X_3 + 10.11X_2X_3 - 9.98X_1^2 - 683.66X_2^2 - 211.64X_3^2$	0.9912	(37)
chlorophyll A (mg /g _{dry matter})	$Y_5 = 6.57 - 0.36X_1 + 0.19X_2 - 0.052X_3 + 0.38X_1X_2 + 0.19X_1X_3 + 0.24X_2X_3 - 1.21X_1^2 - 0.037X_2^2 - 0.31X_3^2$	0.9196	(38)
chlorophyll B (mg /g _{dry matter})	$Y_6 = 4.94 - 0.26X_1 - 7.972 \times 10^{-3}X_2 - 0.14X_3 - 0.040X_1X_2 + 4.299 \times 10^{-3}X_1X_3 + 0.096X_2X_3 - 1.76X_1^2 - 1.48X_2^2 - 1.40X_3^2$	0.9834	(39)

การวิเคราะห์หาความสัมพันธ์ของปัจจัยที่ศึกษาต่อปริมาณสารประกอบฟีโนลิก ฟีโนลิกทั้งหมด ความสามารถในการด้านอนุมูลอิสระ ABTS และความสามารถในการด้านอนุมูล อิสระ DPPH จากการวิเคราะห์การทดสอบโดยได้สมการความสัมพันธ์ดังแสดงในสมการ 35, 36 และ 37 โดยมีค่า R^2 เท่ากับ 0.9860, 0.9145 และ 0.9912 (ตาราง 13) ของปริมาณสารประกอบฟีโนลิก ฟีโนลิกทั้งหมด ความสามารถในการด้านอนุมูลอิสระ ABTS และความสามารถในการด้านอนุมูล อิสระ DPPH ตามลำดับ โดยสามารถสร้างพื้นที่การตอบสนองได้ดังภาพ 35-40 เป็นการแสดง ความสัมพันธ์ของปัจจัยต่อค่าผลค่าตอบสนองในรูปแบบของกราฟ 3 มิติ และกราฟโครงร่างของ พื้นผิวตอบสนอง พบว่า การอบแห้งที่มีอุณหภูมิสูงขึ้นมีผลทำให้ปริมาณฟีโนลิกทั้งหมดและ ความสามารถในการด้านอนุมูลอิสระมีค่าลดลงอย่างมีนัยสำคัญทางสถิติ ซึ่งอาจเกิดขึ้นจากปริมาณ ความร้อนที่สูงเกินไปจึงทำให้สารประกอบฟีโนลิกบางชนิดที่ไม่ทนความร้อนเกิดการสลายตัวใน ระหว่างการอบแห้ง และอุณหภูมิลมร้อนสูงขึ้นมีผลต่อความสามารถในการด้านอนุมูลอิสระลดลง โดยอาจเกิดจากการสลายตัวของสารที่มีสมบัติในการด้านอนุมูลอิสระเนื่องจากการได้รับ ความร้อนที่สูงเกินไป ซึ่งจะเห็นว่าปริมาณสารประกอบฟีโนลิกทั้งหมดและความสามารถในการ ด้านอนุมูลอิสระมีแนวโน้มในทิศทางเดียวกัน เมื่อจากกลไกการเกิดปฏิกิริยาเป็นแบบเดียวกัน โดย เป็นวิธีวัดสมบัติในการแลกเปลี่ยนอิเล็กตรอนเดียว ในขณะที่ผลของความเร็วลดและความหนาของ ชั้นวัสดุ ไม่มีผลต่อปริมาณฟีโนลิกทั้งหมดและความสามารถในการด้านอนุมูลอิสระอย่างมี นัยสำคัญทางสถิติ ($p\text{-value}>0.05$)

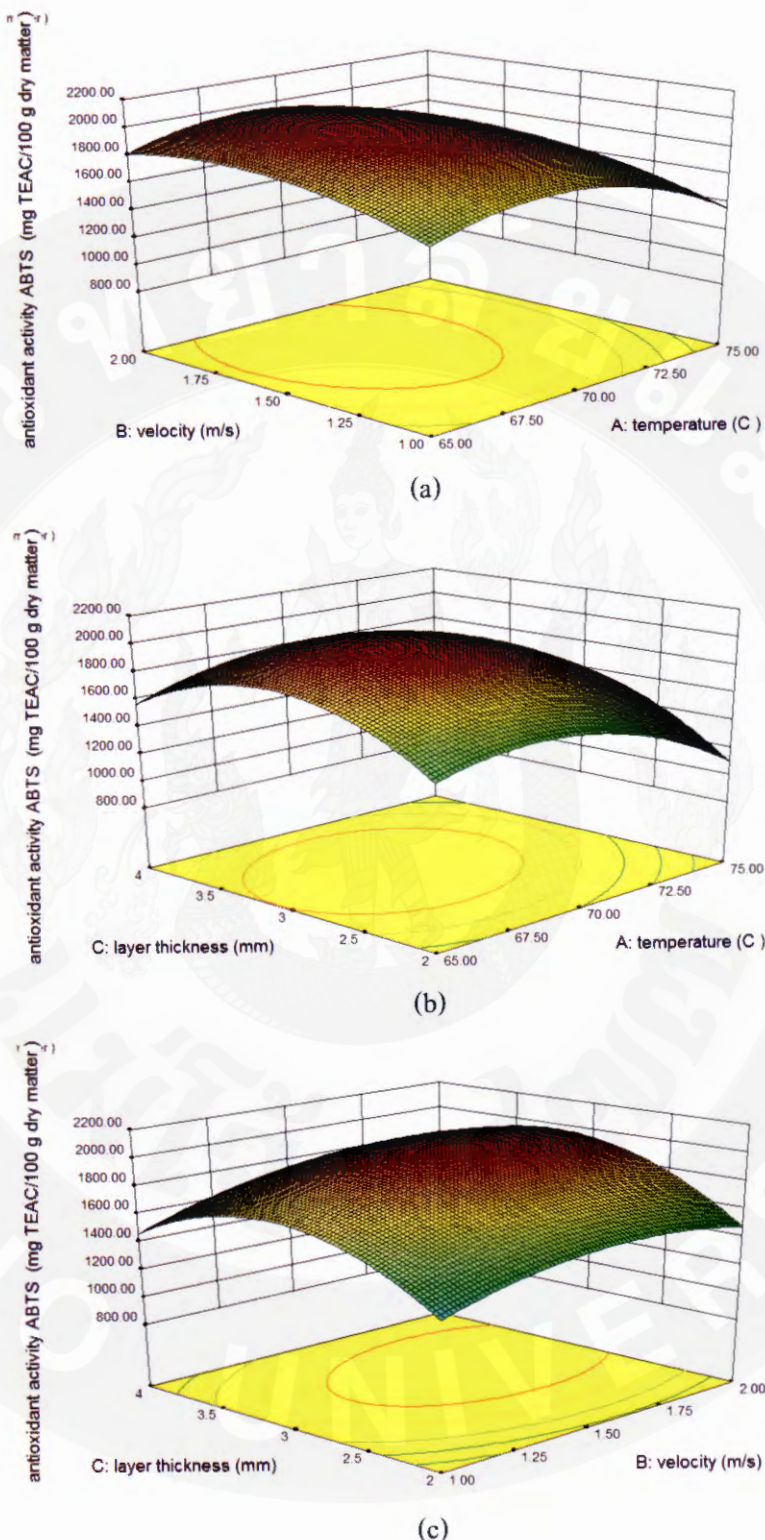
ผลการวิเคราะห์หาความสัมพันธ์ของปัจจัยการอบแห้งที่ศึกษาต่อปริมาณ คลอโรฟิลล์ เอ และคลอโรฟิลล์ บี ดังแสดงในกราฟ 3 มิติ (ภาพ 41 และภาพ 43) และกราฟโครง ร่างของพื้นผิวตอบสนอง (ภาพ 42 และภาพ 44) พบว่า การอบแห้งที่อุณหภูมิสูงมีผลทำให้ คลอโรฟิลล์ เอ และคลอโรฟิลล์ บี มีค่าน้อยลง ในกรณีการอบแห้งที่อุณหภูมิสูงจะทำให้ แมgnีเซียมในคลอโรฟิลล์ถูกออกไประดับต่ำกว่าไโตรเจน ทำให้คลอโรฟิลล์เปลี่ยนเป็นฟี โอไฟดิน (pheophytins) โดยมีเอนไซม์คลอโรฟิลเลส (chlorophyllase) เป็นเอนไซม์ที่สลาย คลอโรฟิลล์โดยแยกเอาส่วนที่เป็นไฟโตล (phytol) ออกจากโมเลกุลของคลอโรฟิลล์ ซึ่งเป็นสาเหตุ ทำให้คลอโรฟิลล์เกิดการสลายตัว ส่วนปัจจัยของความเร็วลดและความหนาที่ใช้ในการอบแห้ง ไม่มีผลต่oclอโรฟิลล์ เอ และคลอโรฟิลล์ บี ($p\text{-value}>0.05$) และเมื่อพิจารณาความสัมพันธ์ของ ปัจจัยการอบแห้งระหว่าง อุณหภูมิ ความเร็วลด และชั้นความหนาของวัสดุ สามารถสร้างสมการ ความสัมพันธ์ของปัจจัยกับค่าคลอโรฟิลล์ เอ และคลอโรฟิลล์ บี ดังแสดงในสมการ 38 และ 39 ตามลำดับ ซึ่งเป็นแบบจำลองโพลีโนเมียลลำดับสอง โดยมีค่า R^2 เท่ากับ 0.9196 และ 0.9834 ตามลำดับ



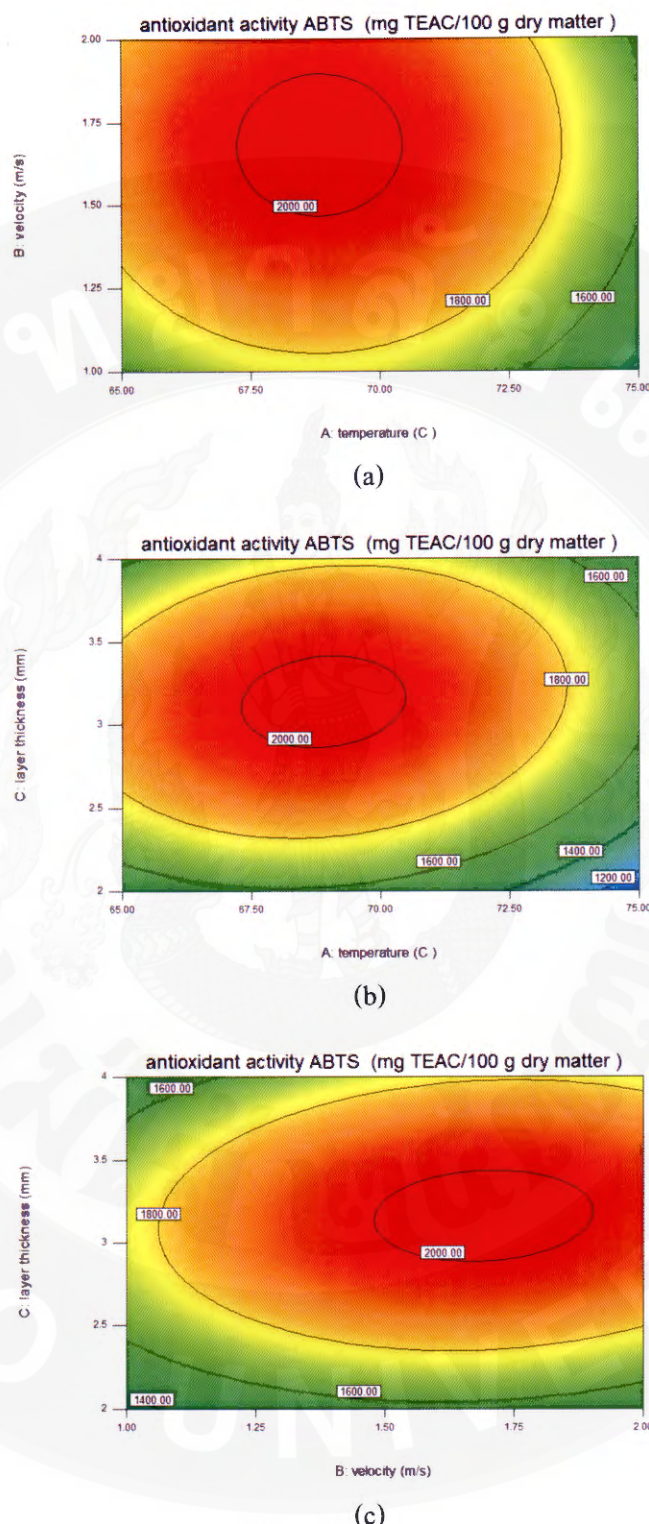
ภาพ 35 กราฟ 3 มิติของพื้นผิวตอบสนองด้วยปริมาณสารประกอบฟีโนลิกที่งวด; (a) ความสัมพันธ์ระหว่างอุณหภูมิกับความเร็วลมร้อน, (b) ความสัมพันธ์ระหว่างอุณหภูมิกับชั้นความหนา, (c) ความสัมพันธ์ระหว่างความเร็วลมร้อนกับชั้นความหนา



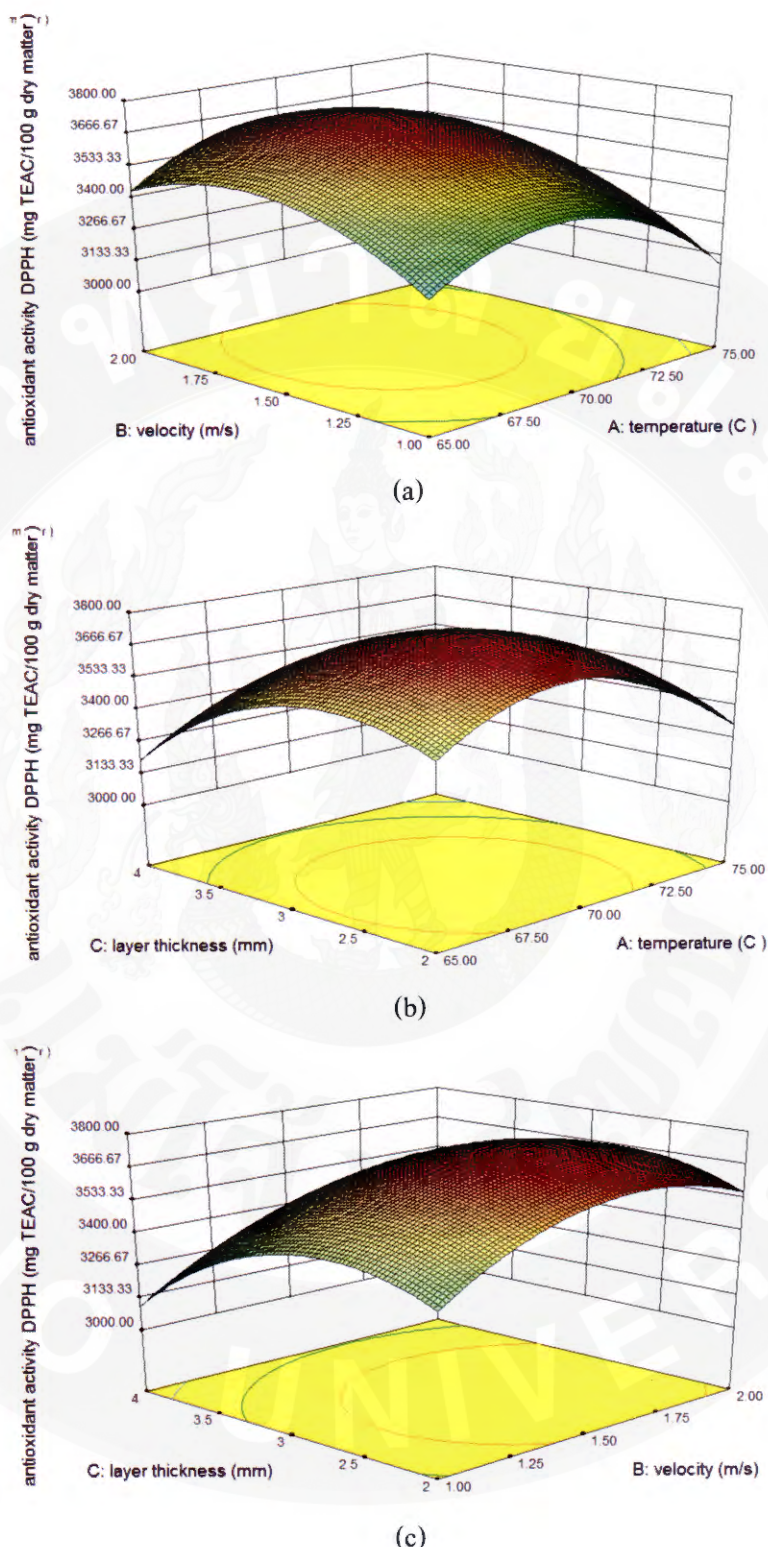
ภาพ 36 กราฟโครงสร้างของพื้นผิวตอบสนองต่อปริมาณสารประกอบฟีโนลิกทั้งหมด; (a) ความสัมพันธ์ระหว่างอุณหภูมิกับความเร็วลมร้อน, (b) ความสัมพันธ์ระหว่างอุณหภูมิกับชั้นความหนา, (c) ความสัมพันธ์ระหว่างความเร็วลมร้อนกับชั้นความหนา



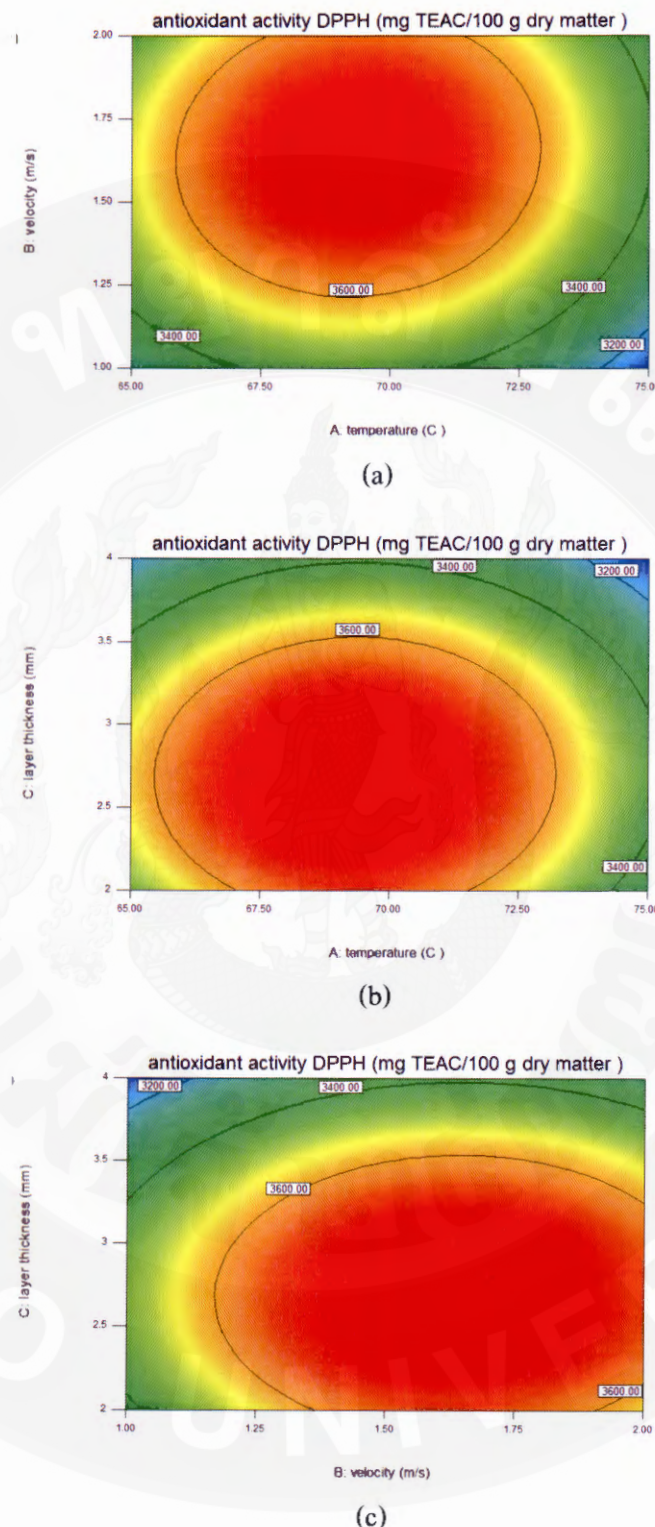
ภาพ 37 กราฟ 3 มิติของพื้นผิวตอบสนองต่อความสามารถในการต้านอนุมูลอิสระ ABTS; (a) ความสัมพันธ์ระหว่างอุณหภูมิกับความเร็วลมร้อน, (b) ความสัมพันธ์ระหว่างอุณหภูมิกับชั้นความหนา, (c) ความสัมพันธ์ระหว่างความเร็วลมร้อนกับชั้นความหนา



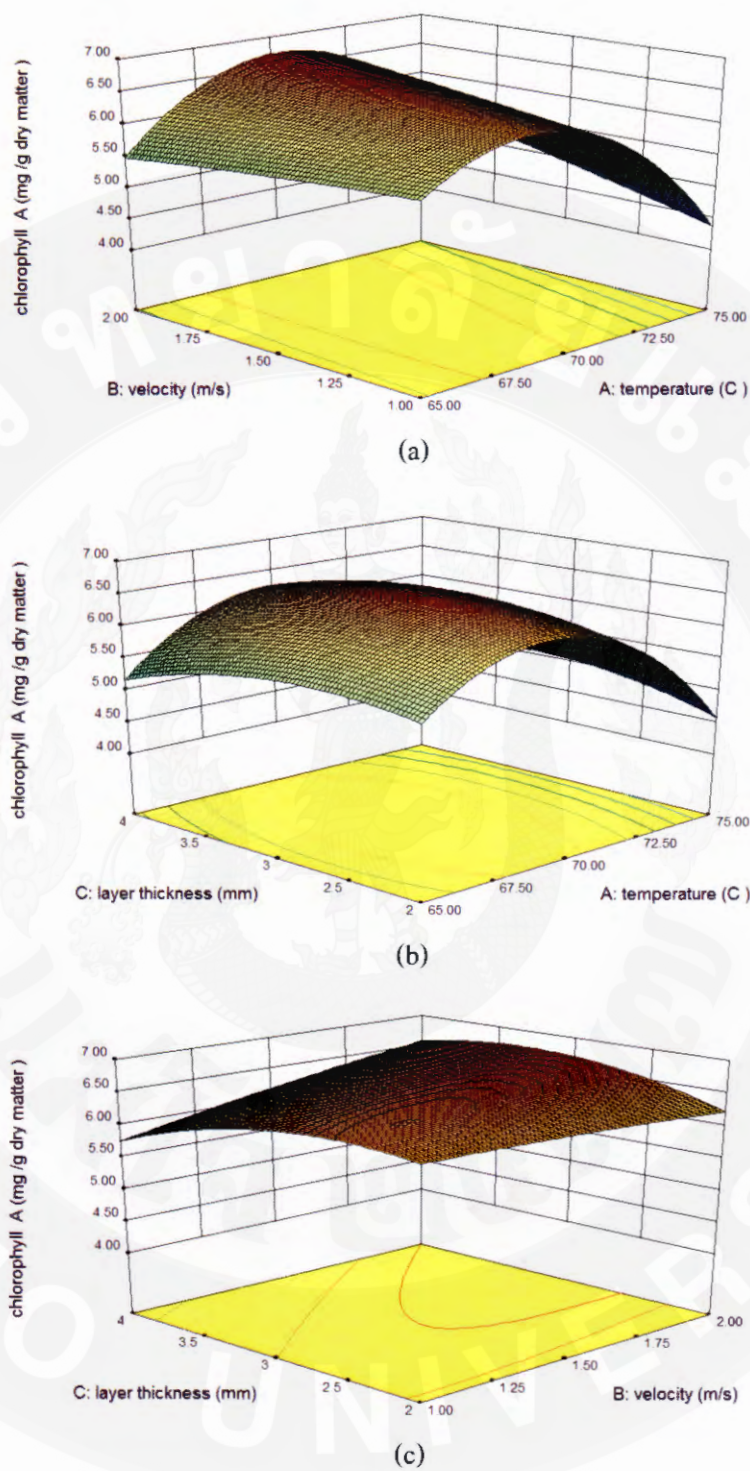
ภาพ 38 กราฟโครงร่างของพื้นผิวตอบสนองต่อความสามารถในการต้านอนุมูลอิสระ ABTS; (a) ความสัมพันธ์ระหว่างอุณหภูมิกับความเร็วลมร้อน, (b) ความสัมพันธ์ระหว่างอุณหภูมิกับชั้นความหนา, (c) ความสัมพันธ์ระหว่างความเร็วลมร้อนกับชั้นความหนา



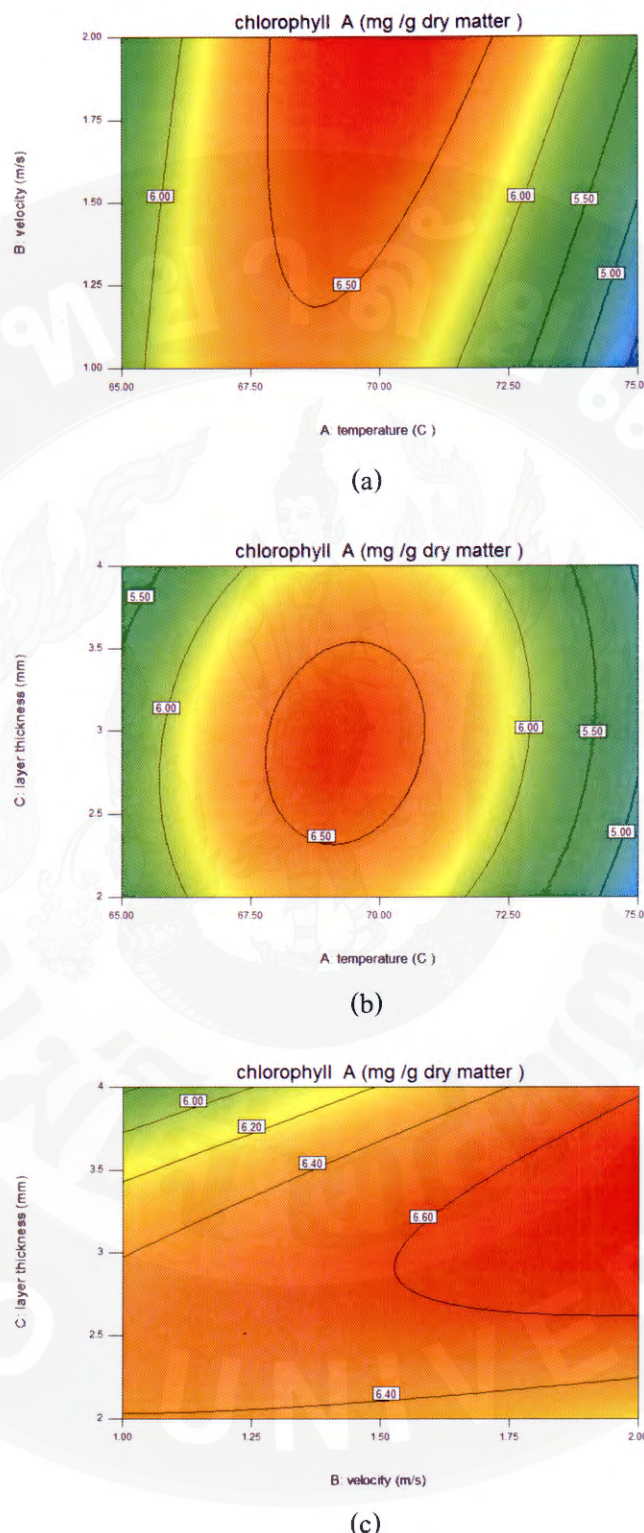
ภาพ 39 กราฟ 3 มิติของพื้นผิวตอบสนองต่อความสามารถในการต้านอนุมูลอิสระ DPPH; (a) ความสัมพันธ์ระหว่างอุณหภูมิกับความเร็วลมร้อน, (b) ความสัมพันธ์ระหว่างอุณหภูมิกับชั้นความหนา, (c) ความสัมพันธ์ระหว่างความเร็วลมร้อนกับชั้นความหนา



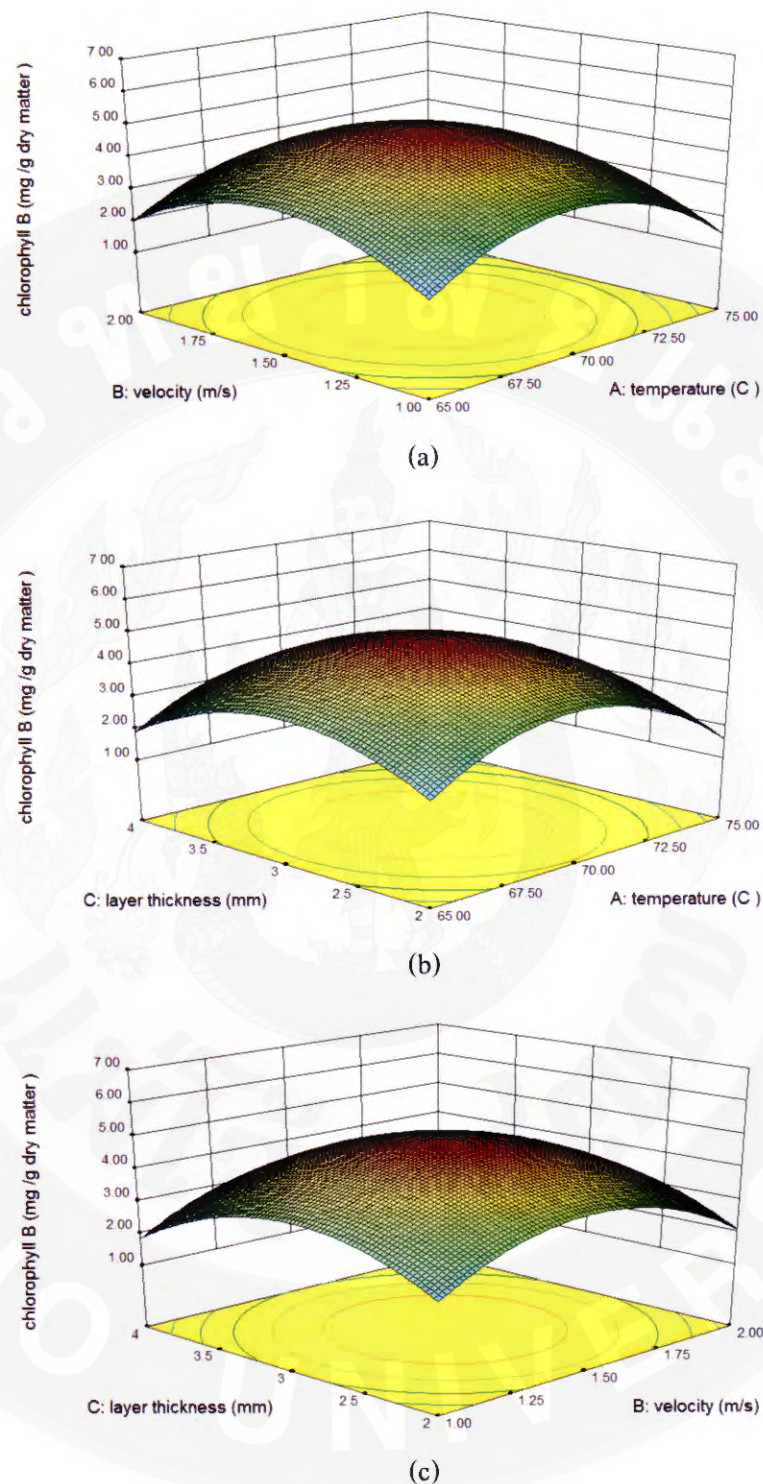
ภาพ 40 กราฟโครงสร้างของพื้นผิวตอบสนองต่อความสามารถในการด้านอนุญาติสาร DPPH; (a) ความสัมพันธ์ระหว่างอุณหภูมิกับความเร็วลมร้อน, (b) ความสัมพันธ์ระหว่างอุณหภูมิกับชั้นความหนา, (c) ความสัมพันธ์ระหว่างความเร็วลมร้อนกับชั้นความหนา



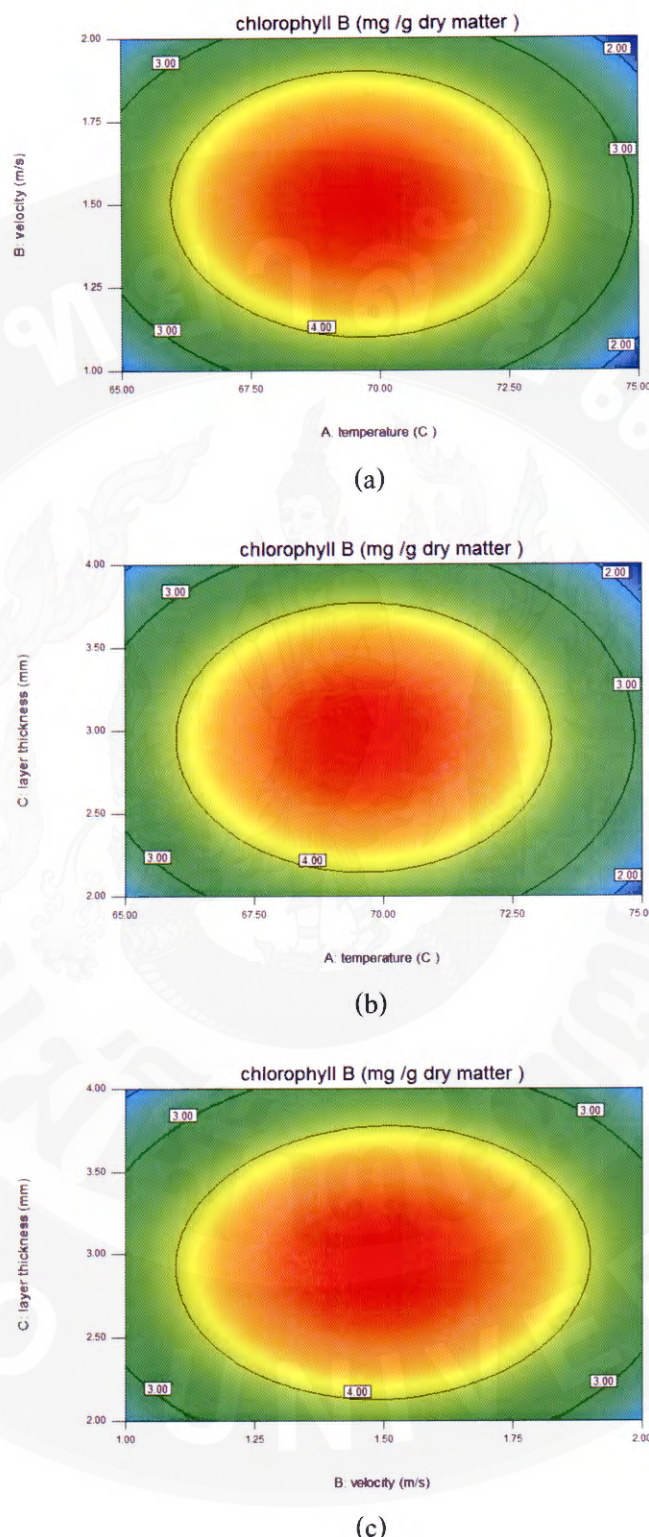
ภาพ 41 กราฟ 3 มิติของพื้นผิวตอบสนองต่อค่าโลโรฟิลล์ เอ; (a) ความสัมพันธ์ระหว่างอุณหภูมิกับความเร็วลมร้อน, (b) ความสัมพันธ์ระหว่างอุณหภูมิกับชั้นความหนา, (c) ความสัมพันธ์ระหว่างความเร็วลมร้อนกับชั้นความหนา



ภาพ 42 กราฟโครงร่างของพื้นผิวควบสนองต่อคลื่นไฟล์ เอ; (a) ความสัมพันธ์ระหว่างอุณหภูมิกับความเร็วลมร้อน, (b) ความสัมพันธ์ระหว่างอุณหภูมิกับชั้นความหนา, (c) ความสัมพันธ์ระหว่างความเร็วลมร้อนกับชั้นความหนา



ภาพ 43 กราฟ 3 มิติของพื้นผิวนับสนองต่อกลอโรไฟล์ บี; (a) ความสัมพันธ์ระหว่างอุณหภูมิกับความเร็วลมร้อน, (b) ความสัมพันธ์ระหว่างอุณหภูมิกับชั้นความหนา, (c) ความสัมพันธ์ระหว่างความเร็วลมร้อนกับชั้นความหนา



ภาพ 44 กราฟโครงร่างของพื้นผิวตอบสนองต่อคลื่นโรฟิล์ มี; (a) ความสัมพันธ์ระหว่างอุณหภูมิกับความเร็วลมร้อน, (b) ความสัมพันธ์ระหว่างอุณหภูมิกับชั้นความหนา, (c) ความสัมพันธ์ระหว่างความเร็วลมร้อนกับชั้นความหนา

ตาราง 15 แสดงการกำหนดช่วงของแต่ละปัจจัยกับค่าการตอบสนองที่นำมาใช้เพื่อหาสภาวะที่เหมาะสมในการอบแห้งสาหร่ายเตาด้วยลมร้อน เมื่อนำช่วงของค่าการตอบสนองทุกค่ามาทำการหาสภาวะที่เหมาะสม เพื่อหาค่าปัจจัยที่ให้ค่าการตอบสนองดีที่สุด การวิเคราะห์สามารถสรุปผลได้ว่าสภาวะที่เหมาะสมที่สุดของการอบแห้งสาหร่ายเตาด้วยลมร้อน คือ การอบแห้งที่อุณหภูมิ 69.57°C ความเร็วลมร้อน 1.60 m/s และความหนาของชั้นวัสดุ 3.05 mm โดยค่าที่ได้จากการคำนวณให้ค่า ΔE เท่ากับ $16.92 \text{ ปริมาณสารประกอบฟินอลิกต์ทั้งหมด } 2,502.02 \text{ mg GAE/100 g}_{\text{dry matter}}$ ความสามารถในการต้านอนุมูลอิสระ ABTS และความสามารถในการต้านอนุมูลอิสระ DPPH เท่ากับ $2,017.40$ และ $3,722.50 \text{ mg TEAC/100 g}_{\text{dry matter}}$ ส่วนคลอโรฟิลล์ a และคลอโรฟิลล์ b มีเท่ากับ 6.62 และ $4.93 \text{ mg/g}_{\text{dry matter}}$ ตามลำดับ

ตาราง 15 การกำหนดช่วงของปัจจัยที่มีผลต่อค่าการตอบสนองเพื่อเลือกสภาวะที่เหมาะสมในการอบแห้งสาหร่ายเตาด้วยลมร้อนโดยใช้วิธีพื้นผิวตอบสนอง

factors	target value	low level	high level
temperature ($^{\circ}\text{C}$)	in range	65	75
velocity (m/s)	in range	1.0	2.0
layer thickness (mm)	in range	2.0	4.0
total color difference	minimize	16.51	24.82
total phenolic content (mg GAE/100 g _{dry matter})	maximize	1,466.10	2,597.14
antioxidant activity ABTS (mg TEAC/100 g _{dry matter})	maximize	982.93	2,039.11
antioxidant activity DPPH (mg TEAC/100 g _{dry matter})	maximize	3,031.66	3,721.54
chlorophyll A (mg /g _{dry matter})	maximize	4.10	6.85
chlorophyll B (mg /g _{dry matter})	maximize	1.32	5.11

บทที่ 5

สรุปและข้อเสนอแนะ

สรุปผลการทดลอง

1. สารร้ายเดาสมนิคุณลักษณะทางกายภาพ คือ ความชื้นเริ่มต้นเท่ากับ 8.55 ± 0.20 $\text{g}_{\text{water}}/\text{g}_{\text{dry matter}}$ ค่าสีในระบบสี CIE(L^*, a^*, b^*) และระบบมนุษย์ ได้แก่ ค่า L^* , a^* , b^* , C^* และ h^* เท่ากับ 14.54 ± 0.44 , -3.37 ± 0.95 , 15.34 ± 4.86 , 15.69 ± 4.93 และ 102.40 ± 1.33 ตามลำดับ คุณลักษณะทางเคมี ได้แก่ ปริมาณสารประกอบฟินอลิกทั้งหมด ความสามารถในการด้านอนุมูลอิสระ ABTS และความสามารถในการด้านอนุมูลอิสระ DPPH เท่ากับ 405.62 ± 26.20 mg GAE/100 g_{dry matter}, 277.31 ± 34.04 mg TEAC/100 g_{dry matter} และ $1,643.14 \pm 260.17$ mg TEAC/100 g_{dry matter} ตามลำดับ

2. คุณลักษณะการอบแห้งของสารร้ายเดา พบว่า ความชื้นสมดุลของการอบแห้ง ด้วยพลังงานแสงอาทิตย์ 0.0736 ± 0.0023 $\text{g}_{\text{water}}/\text{g}_{\text{dry matter}}$ และการอบแห้งด้วยลมร้อนที่อุณหภูมิ 60, 65, 70, 75°C มีค่าเท่ากับ 0.0641 ± 0.0020 , 0.0635 ± 0.0020 , 0.0629 ± 0.0020 , 0.0621 ± 0.0020 $\text{g}_{\text{water}}/\text{g}_{\text{dry matter}}$ ตามลำดับ ในขณะที่การอบแห้งด้วยคลื่นในโคลเวฟ ความชื้นสมดุลนิ่มค่าเท่ากับศูนย์

3. ผลของสภาวะและวิธีการอบแห้งต่อการเปลี่ยนแปลงความชื้นของสารร้ายเดา ในระหว่างการอบแห้งด้วยลมร้อนและการอบแห้งด้วยคลื่นในโคลเวฟ พบว่า เวลาที่ใช้ในการอบแห้งสารร้ายเดาจากความชื้นเริ่มต้นจนเหลือความชื้น 0.15 ± 0.01 $\text{g}_{\text{water}}/\text{g}_{\text{dry matter}}$ ใช้เวลาเท่ากับ 1,980 min ของการอบแห้งด้วยพลังงานแสงอาทิตย์ ขณะที่การอบแห้งด้วยลมร้อนที่อุณหภูมิ 60, 65, 70 และ 75°C ใช้เวลาเท่ากับ 590, 420, 310 และ 220 min ตามลำดับ ส่วนการอบแห้งด้วยคลื่นในโคลเวฟที่ระดับความชื้น 0.77, 1.55, 2.00 และ 2.50 W/g ใช้เวลาเท่ากับ 80, 43, 32 และ 21 min ตามลำดับ อัตราการอบแห้งสารร้ายเดาด้วยพลังงานแสงอาทิตย์ มีค่าเท่ากับ 0.0005 ± 0.0001 $\text{g}_{\text{water}}/\text{g}_{\text{dry matter}}^* \text{ min}$ และอัตราการอบแห้งสารร้ายเดาด้วยลมร้อน มีค่าเท่ากับ 0.0139 ± 0.0015 , 0.0196 ± 0.0008 , 0.0273 ± 0.0026 , 0.0376 ± 0.0017 $\text{g}_{\text{water}}/\text{g}_{\text{dry matter}}^* \text{ min}$ ที่อุณหภูมิ 60, 65, 70, 75°C ตามลำดับ และการอบแห้งด้วยคลื่นในโคลเวฟที่ระดับความชื้น 0.77, 1.55, 2.00, 2.50 W/g มีอัตราการอบแห้งเท่ากับ 0.1039 ± 0.0067 , 0.1929 ± 0.0273 , 0.2645 ± 0.0148 , 0.4109 ± 0.0226 $\text{g}_{\text{water}}/\text{g}_{\text{dry matter}}^* \text{ min}$ ตามลำดับ

4. ผลการศึกษาแบบจำลองทางคณิตศาสตร์ของการอบแห้งในรูปของแบบจำลอง เอนพิริคัลที่สามารถทำนายพฤติกรรมการอบแห้งสารร้ายเดาด้วยพลังงานแสงอาทิตย์ได้หมายความที่สูง คือ แบบจำลองของ Logarithmic โดยให้ค่า R^2 สูงสุด (0.9969) ในขณะที่ค่า χ^2 (2.7646×10^{-4})

และค่า RMSE (0.0159) มีค่าดั้งสุด และแบบจำลองที่สามารถอธิบายการเปลี่ยนแปลงความชื้นของสาหร่ายเดาในระหว่างการอบแห้งด้วยลมร้อนได้เหมาะสมที่สุด คือ Midilli et al. เนื่องจากให้ค่า R^2 สูงที่สุด โดยมีค่าอยู่ในช่วง 0.9993-0.9999 นอกจากนี้ค่า χ^2 และค่า RMSE มีค่าดั้งสุด ซึ่งมีค่าอยู่ระหว่าง 0.1174×10^{-4} - 0.6652×10^{-4} และ 0.0033-0.0074 ตามลำดับ ในขณะที่แบบจำลองทางคณิตศาสตร์ของ Logarithmic สามารถทำงานการเปลี่ยนแปลงความชื้นของสาหร่ายเดาในระหว่างการอบแห้งด้วยคลื่นไมโครเวฟได้เหมาะสมที่สุด โดยมีค่า R^2 อยู่ในช่วง 0.9962-0.9985 ซึ่งมีค่ามากกว่าแบบจำลองทางคณิตศาสตร์แบบอื่นๆ และมีค่า χ^2 และค่า RMSE อยู่ระหว่าง 1.7294×10^{-4} - 4.9047×10^{-4} และ 0.0129-0.0214 ตามลำดับ ผลการวิเคราะห์ค่าสัมประสิทธิ์การแพร่ความชื้น ประสิทธิผลของสาหร่ายเดาในระหว่างการอบแห้งด้วยพลังงานแสงอาทิตย์ มีค่าเท่ากับ $0.48 \times 10^{-10} \text{ m}^2/\text{s}$ และการอบแห้งด้วยลมร้อนที่อุณหภูมิ 60, 65, 70 และ 75°C มีค่าเท่ากับ 1.72×10^{-10} , 2.32×10^{-10} , 3.24×10^{-10} และ $4.51 \times 10^{-10} \text{ m}^2/\text{s}$ ตามลำดับ และการอบแห้งด้วยคลื่นไมโครเวฟ มีค่าเท่ากับ 2.74×10^{-7} , 5.02×10^{-7} , 6.92×10^{-7} และ $10.64 \times 10^{-7} \text{ m}^2/\text{s}$ ที่ระดับความเข้ม 0.77, 1.55, 2.00 และ 2.50 W/g ตามลำดับ ค่าพลังงานกระตุ้น มีค่าเท่ากับ 62.36 kJ/mol และ 1.32 W/g ของการอบแห้งสาหร่ายด้วยลมร้อนและการอบแห้งด้วยคลื่นไมโครเวฟ ตามลำดับ

5. ผลของสภาวะและวิธีการอบแห้งด้วยพลังงานแสงอาทิตย์แบบธรรมชาติ การอบแห้งด้วยลมร้อนและการอบแห้งด้วยคลื่นไมโครเวฟต่อการเปลี่ยนแปลงคุณภาพของสาหร่ายเดา อบแห้ง จากผลการทดลองพบว่าค่า a_w ของสาหร่ายเดาอบแห้งที่มีค่าอยู่ในช่วง 0.426 ± 0.006 ถึง 0.514 ± 0.005 เมื่อพิจารณาวิธีการอบแห้งทั้ง 3 วิธี พบว่า ค่า a_w อยู่ในระดับที่ต่ำกว่า 0.6 จากการศึกษาผลของการอบแห้งต่อการเปลี่ยนแปลงของสาหร่ายเดา พบว่า การอบแห้งสาหร่ายเดาด้วยลมร้อนสามารถรักษาคุณภาพสีได้ดีที่สุด เมื่อเปรียบเทียบกับการอบแห้งด้วยพลังงานแสงอาทิตย์ แบบธรรมชาติและการอบแห้งด้วยคลื่นไมโครเวฟ โดยการอบแห้งด้วยลมร้อนที่อุณหภูมิ 70°C เป็นสภาวะการอบแห้งที่เหมาะสมที่สุด เนื่องจากสามารถรักษาการเปลี่ยนแปลงคุณภาพสีของสาหร่ายเดาอบแห้งได้ดีที่สุด

6. ผลการศึกษาปริมาณสารประกอบฟินอลิกทั้งหมดและความสามารถในการด้านอนุมูลอิสระของสาหร่ายเดาสดและสาหร่ายเดาอบแห้งทั้ง 3 วิธี พบว่า การอบแห้งทุกสภาวะ ทำให้สาหร่ายเดามีค่าปริมาณสารประกอบฟินอลิกทั้งหมดและความสามารถในการด้านอนุมูลอิสระสูงกว่าสาหร่ายเดาสด ทั้งนี้อาจเกิดจากการอบแห้งหรือความร้อนที่เกิดขึ้นในระหว่างกระบวนการอบแห้งอาจทำให้เยื่อหุ้มเซลล์และผนังเซลล์ของสาหร่ายเดาเกิดการแตกหักหรือฉีกขาด ทำให้เกิดการปลดปล่อยองค์ประกอบที่อยู่ภายในโครงสร้างเซลล์ออกมาน้าได้ง่ายขึ้น ส่งผลให้สามารถสกัดสารประกอบฟินอลิกได้มากกว่า ในขณะเดียวกันการอบแห้งทำให้ความสามารถในการ

การต้านอนุมูลอิสระมีค่าเพิ่มขึ้น เนื่องจากมีการเกิดและสะสมของสารต้านอนุมูลอิสระที่เกิดจากปฏิกิริยาเมล็ดราดในระหว่างกระบวนการให้ความร้อน นอกจากนี้การอบแห้งยังทำให้ได้สารผลิตภัณฑ์ซึ่งเป็นสารประกอบบางชนิดที่มีความสามารถในการเป็นสารต้านอนุมูลอิสระที่เกิดจากปฏิกิริยาเมล็ดราดมีค่าเพิ่มขึ้นด้วย โดยสภาวะการอบแห้งที่มีปริมาณสารประกอบฟินอลิกทั้งหมดมากที่สุด คือ การอบแห้งด้วยลมร้อนที่อุณหภูมิ 70°C โดยที่สภาวะดังกล่าวขึ้นมีความสามารถในการเป็นสารต้านอนุมูลอิสระ DPPH มากที่สุด และการอบแห้งด้วยคลื่นในโคลเวฟที่ระดับความเข้ม 1.55 W/g มีความสามารถในการเป็นสารต้านอนุมูลอิสระ ABTS มากที่สุด

7. ผลการศึกษาผลของวิธีการอบแห้งต่อการเปลี่ยนแปลงคลอโรฟิลล์ เอ และคลอโรฟิลล์ บี ของสาหร่ายเตา พบว่า สาหร่ายเตาที่ผ่านการอบแห้งด้วยพลังงานแสงอาทิตย์แบบธรรมชาติมีปริมาณคลอโรฟิลล์ เอ มากที่สุด ในขณะที่การอบแห้งด้วยลมร้อนมีค่าคลอโรฟิลล์ บี มากที่สุด ขณะที่การอบแห้งด้วยคลื่นในโคลเวฟมีปริมาณคลอโรฟิลล์ เอ และคลอโรฟิลล์ บี น้อยที่สุด ทั้งนี้อาจเกิดจากอุณหภูมิเฉลี่ยของสาหร่ายเตาในระหว่างการอบแห้งด้วยคลื่นในโคลเวฟมีค่าสูงเกินไปจึงทำให้แมกนีเซียมในคลอโรฟิลล์หลุดออกไปและถูกแทนที่ด้วยไฮโดรเจน ทำให้คลอโรฟิลล์เปลี่ยนเป็นฟีโอดิน ซึ่งเป็นสาเหตุทำให้คลอโรฟิลล์เกิดการสลายตัว

8. ผลการศึกษาหาสภาวะที่เหมาะสมในการอบแห้งสาหร่ายเตาด้วยลมร้อนโดยใช้วิธีพื้นผิวตอบสนอง (RSM) และการออกแบบการทดลองแบบนือกซ์-เบ็ทต์เคน (BBD) พบว่า อุณหภูมิในการอบแห้งและความเร็วลมร้อนมีผลต่อค่า ΔE แต่เมื่อพิจารณาชั้นความหนาของวัสดุที่ใช้ในการอบแห้งไม่มีผลต่อการเปลี่ยนแปลงค่า ΔE ในขณะที่อุณหภูมิลมร้อนมีผลต่อปริมาณสารประกอบฟินอลิกทั้งหมด และความสามารถในการต้านอนุมูลอิสระ คลอโรฟิลล์ เอ และคลอโรฟิลล์ บี ของสาหร่ายเตา แต่ความเร็วลมที่ใช้ในการอบแห้งและชั้นความหนาของสาหร่ายเตา ไม่มีผลต่อการเปลี่ยนแปลงค่าดังกล่าว การวิเคราะห์สามารถสรุปผลได้ว่าสภาวะที่เหมาะสมที่สุดของการอบแห้งสาหร่ายเตาด้วยลมร้อน คือ การอบแห้งที่อุณหภูมิ 69.57°C ความเร็วลมร้อน 1.60 m/s และความหนาของชั้นวัสดุ 3.05 mm โดยค่าที่ได้จากการคำนวณค่า ΔE เท่ากับ 16.92 ปริมาณสารประกอบฟินอลิกทั้งหมด $2,502.02 \text{ mg GAE/100 g}_{\text{dry matter}}$ ความสามารถในการต้านอนุมูลอิสระ ABTS เท่ากับ $2,017.40 \text{ mg TEAC/100 g}_{\text{dry matter}}$ และความสามารถในการต้านอนุมูลอิสระ DPPH เท่ากับ $3,722.50 \text{ mg TEAC/100 g}_{\text{dry matter}}$ คลอโรฟิลล์ เอ และคลอโรฟิลล์ บี เท่ากับ 6.62 และ $4.93 \text{ mg/g}_{\text{dry matter}}$ ตามลำดับ

ข้อเสนอแนะ

1. สำหรับยาที่ใช้ในการทดลองการนำมาจากแหล่งเพาะปลูกเดียวกันทั้งนี้เพื่อช่วยควบคุมความแปรปรวนที่เกิดขึ้นกับการอบแห้ง
2. เครื่องไมโครเวฟที่ใช้ในการทดลองยังมีข้อจำกัดในการกระจายคลื่นที่ไม่สม่ำเสมอ ส่งผลให้สำหรับยาบางส่วนได้รับคลื่นมากเกินไปจึงทำให้เกิดรอยไหมเป็นจุดสีดำบริเวณผิวน้ำของสำหรับยา
3. ควรมีการทดสอบความสามารถในการต้านอนุนุลอิสระด้วยวิธีอื่นเพิ่มเติม
4. ควรมีการวิเคราะห์องค์ประกอบทางเคมีของสำหรับยาที่เป็นสารออกฤทธิ์ในการต้านอนุนุลอิสระ
5. ควรมีงานวิจัยต่อเนื่องในการนำสำหรับยาอบแห้งไปสกัดสารออกฤทธิ์ทางชีวภาพ เพื่อนำไปใช้เป็นส่วนประกอบในรูปแบบต่างๆ ในระดับอุตสาหกรรมผลิตเครื่องสำอางและอาหารเสริมเพื่อสุขภาพ

บรรณานุกรม

การไฟฟ้านครหลวง. ม.ป.ป. ค่าตัวประกอนกำลังไฟฟ้า (Power Factor : PF) และวิธีการปรับปรุงค่าตัวประกอนกำลังไฟฟ้าให้ดีขึ้น. [ระบบออนไลน์]. แหล่งที่มา

<http://www.mea.or.th/home/index.php> (22 กรกฎาคม 2556).

กิตติพงษ์ ห่วงรักษ์. 2540. กระบวนการแปรรูปอาหาร. กรุงเทพฯ: ภาควิชาอุดสาಹกรรมเกษตรสถาบันเทคโนโลยีพระจอมเกล้าเจ้าคุณทหารลาดกระบัง. 135 น.

กิตติพันธ์ สุนทรารศ์, ชาคริต เกียรติกุณรัตน์ และ เต่นจันทร์ ทองอ่อน. 2543. เครื่องอบแห้งแบบระเหิด. วิทยานิพนธ์ปริญญาโท. มหาวิทยาลัยเทคโนโลยีพระจอมเกล้าธนบุรี. 83 น.

จินตนาพร ปันพร, จุฑามาศ บุญเลา, โชคพงษ์ กาญจนประโภต และ ฤทธิชัย อัศวรากันย์. 2555. แบบจำลองทางคณิตศาสตร์สำหรับการทำนายการเปลี่ยนแปลงความชื้นของกากมะพร้าว. วารสารวิทยาศาสตร์เกษตร 43(3 พิเศษ): 224-227.

จิตชนา แจ่มเมฆ, สายสนน ประดิษฐวงศ์, ทนง กัครพันธุ์, บริชา วิบูลย์ศรีมูร្ឤี, เนื้อทอง วนานุวัช, มาลัยวรรณ อารยะสกุล, ศิวะพร ศิวะเวชช, สมจิต สรพัฒน์, สุคนธ์ชื่น ศรีงาม และ อร อนงค์ นัยวิกุล. 2546. วิทยาศาสตร์และเทคโนโลยีการอาหาร. พิมพ์ครั้งที่ 4. กรุงเทพฯ: มหาวิทยาลัยเกษตรศาสตร์. 528 น.

จิติกานต์ ปัญโญไหญ. 2550. กิจกรรมด้านออกแบบชีเดชั้นของสาวร่ายເຕາ. วิทยานิพนธ์ปริญญาโท. มหาวิทยาลัยเชียงใหม่. 134 น.

ณรงค์ นิยมวิทัย. 2538. องค์ประกอบและการเปลี่ยนแปลงทางเคมีกายภาพของอาหาร. กรุงเทพฯ: ฟอร์เมทพรีนติ้ง. 237 น.

ดวงพร อนรเดศพิศาล, ภูมิษา ดวงจันทร์, ดวงดาว กาญจน์โพธิ์, ราช แต้โสตถิกุล และ บุวดี พีรพรพิศาล. 2555. ฤทธิ์ป้องแพลงกระเพาะอาหารของสาวร่ายເຕາ. วารสารวิทยาศาสตร์ นข 40(1): 236-241.

ธิดารัตน์ พิรภากษ์ และ ศศิธร ดวงจิตภักดี. 2553. ผลของวิธีการทำแห้งต่อปริมาณ 6-gingerol สารประกอนฟีโนอลิกทั้งหมดและสมบัติการด้านออกแบบชีเดชั้นของชิง (*Zingiber officinale*). น. 578-584. ใน การประชุมทางวิชาการของมหาวิทยาลัยเกษตรศาสตร์ ครั้งที่ 48, มหาวิทยาลัยเกษตรศาสตร์.

ธนศักดิ์ แซ่เลียว. 2552. ผลของการทำแห้งต่อสารประกอนฟีโนอลิกและความสามารถในการด้านอนุมูลอิสระของกระชายเหลือง (*Boesenbergia pandurata* (Roxb.) Schltr.). วิทยานิพนธ์ปริญญาโท. มหาวิทยาลัยเกษตรศาสตร์. 106 น.

- ธีระวัฒน์ รัตนพจน์, รัตนากรณ์ จันทร์พิพิธ, เกรียงศักดิ์ เม่งอามัน และ ดวงพร อมรเดชพิศาล. 2554. การเปรียบเทียบฤทธิ์ต้านอนุมูลอิสระและกลุ่มสารสำคัญของสาหร่ายเตาใน 3 ฤดูกาล. น. 100-101. ใน การประชุมวิชาการประมง ครั้งที่ 6. คณะเทคโนโลยีการประมง และทรัพยากรทางน้ำ มหาวิทยาลัยแม่โจ้ เชียงใหม่.
- น้ำฝน ไชยลังกา, รัตนากรณ์ จันทร์พิพิธ, ดวงพร อมรเดชพิศาล และ ฤทธิชัย อัศวรัชันย์. 2555. ผลกระทบของระดับพลังงาน ไมโครเวฟต่อการเปลี่ยนแปลงคุณภาพของสาหร่ายเตา บนแท่ง. น. 121-130. ใน การประชุมวิชาการประมง ครั้งที่ 6. คณะเทคโนโลยีการประมง และทรัพยากรทางน้ำ มหาวิทยาลัยแม่โจ้ เชียงใหม่.
- นิธิชา รัตนาปนนท์. 2544. หลักการแปรรูปอาหารเมืองตัน. กรุงเทพฯ: โอดีeinสโตร์. 160 น.
- _____ 2545. เกมอาหาร. กรุงเทพฯ: โอดีeinสโตร์. 487 น.
- ปริyanuch อินทร์รอด. 2551. ฤทธิ์ต้านออกซิเดชันและปริมาณสารประกอบฟืนอ่อนรวมของส่วน สกัดจากต้นเรียวหอนและว่านสาวดลง. วิทยานิพนธ์ปริญญาโท. มหาวิทยาลัยบูรพา. 55 น.
- ปองพล สุริยะกันธร และ ฤทธิชัย อัศวรัชันย์. 2557. อิทธิพลของอุณหภูมิและความหนาของชั้น วัสดุต่อการเปลี่ยนแปลงสมบัติเชิงทักษณศาสตร์ของดอกคำโไมนาล์บนแท่ง. น. 121-124. ใน การประชุมวิชาการวิทยาการหลังการเก็บเกี่ยวแห่งชาติ ครั้งที่ 12. สถาบันวิจัย เทคโนโลยีหลังการเก็บเกี่ยว มหาวิทยาลัยเชียงใหม่ เชียงใหม่.
- _____ 2555. แบบจำลองการอบแห้งใบกะเพราด้วยคลื่นไมโครเวฟ. วารสารสมาคมวิศวกรรม เกษตรแห่งประเทศไทย 18(1): 59-67.
- ปองพล สุริยะกันธร, นักรน นาคประสม และ ฤทธิชัย อัศวรัชันย์. 2556. การศึกษาสภาพที่ เหมาะสมในการอบแห้งใบมีนังนันตัวบีชการพื้นผิวดอนสัน. Rajabhat Journal of Science, Humanities & Social Sciences 13(1): 1-8.
- พดุงศักดิ์ รัตน์เดโช. 2551. พื้นฐานการให้ความร้อนด้วยไมโครเวฟ. กรุงเทพฯ: มหาวิทยาลัยธรรมศาสตร์. 559 น.
- กษิิกษา วิชัยบรีชา, บัญชา อึ่งงาน และ วนิดี รังสีวิจิตรประภา. 2555. การหาสภาพที่เหมาะสมของ ยาฟีนาสเตอไรด์ในรูปแบบไปรนิโอลิซมด้วยวิธีตอกบอนสันของพื้นผิว. น. 105-111. ใน การ ประชุมวิชาการและนำเสนอผลงานระดับชาติ ครั้งที่ 4. คณะเภสัชศาสตร์ มหาวิทยาลัยขอนแก่น จังหวัดขอนแก่น.
- บุญดี พิรพรพิศา, ฐิติกานต์ ปัญโญใหญ่ และ ดวงพร อมรเดชพิศาล. 2555. ฤทธิ์ต้านอนุมูลอิสระ และต้านการอักเสบของสาหร่ายเตา. วารสารวิทยาศาสตร์ นข 40(1): 228-235.

ขุวศิ พิรพรพิศาล, ดวงพร อมรเดชพิศาล, ดวงดาว กาญจน์โพธิ์, นรัช แต้โสตถิกุล, ญาณ พงษ์ไพบูลย์ และ สุดาพร คงศิริ. 2552. รายงานการวิจัยฉบับสมบูรณ์โครงการ “ศักยภาพของสาหร่ายน้ำจีดขนาดใหญ่ในการเป็นผลิตภัณฑ์เสริมอาหารและเวชสำอาง”. กรุงเทพฯ: สำนักงานคณะกรรมการวิจัยแห่งชาติ (วช.). 56 น.

ขุวศิ พิรพรพิศาล, สนิท มงคลแก้วเกบูร, อิศรพงษ์ พงษ์ศรีกุล, ดวงพร อมรเดชพิศาล, จิรพร เพกเกะ และ สุดา พรคงศิริ. 2549. รายงานการวิจัยฉบับสมบูรณ์โครงการ “ศักยภาพของสาหร่ายวารสารวิทยาศาสตร์ นบ. ปีที่ 40 ฉบับที่ 1 235 งานวิจัยน้ำจีดขนาดใหญ่ในการนำมาเป็นอาหารและยา” กรุงเทพฯ: สำนักงานกองทุนสนับสนุนการวิจัย (สกอ.). 189 น.

ขุวศิ พิรพรพิศาล, สนิท มงคลแก้วเกบูร, อิศรพงษ์ พงษ์ศรีกุล, อรุณ คุ้มคลาง, นัตจุฑามณ์ เลิศดีลา กิจจา, บัณฑิต บุญสินไชย, สมชัย อะเกียรติ, สุนทรี เปรื่องการ, กัญญา สุจริตวงศานนท์, ดวงดาว กาญจน์โพธิ์, ไชยaling รุจันเวท, ศรีสุลักษณ์ ธรรมนุพัฒนา, กนกพร แสนเพชร, จิรพร เพกเกะ, ดวงพร อมรเดชพิศาล, โภณยง ไชยอุบล, สุดาพร คงศิริ, คอมสัน เรืองฤทธิ์ และ ลักษรดา มุ่งหมาย. 2548. รายงานวิจัยฉบับสมบูรณ์ โครงการศักยภาพของสาหร่ายน้ำจีดขนาดใหญ่ในการนำมาเป็นอาหารและยา. กรุงเทพฯ: สำนักงานคณะกรรมการวิจัยแห่งชาติ (สกอ.).

ราม แย้มแสงสังข์. 2550. การอนแห้งสาหร่ายเกลี้ย梧桐ระดับอุตสาหกรรมขนาดเล็ก. สงขลา: คณะวิศวกรรมศาสตร์ มหาวิทยาลัยสงขลานครินทร์. 110 น.

รุ่งทิพย์ วงศ์ต่อน. 2549. การเกิดปฏิกิริยาสีน้ำตาลในกระบวนการอนแห้งลำไย (*Euphoria longana Lam.*) แบบทึ่งผล. วิทยานิพนธ์ปริญญาโท. มหาวิทยาลัยศิลปากร. 133 น.

รุ่งนภา พงศ์สวัสดิ์มานิต (บรรณาธิการ). 2549. การพัฒนาผลิตภัณฑ์ในอุตสาหกรรมเกษตร. กรุงเทพฯ: มหาวิทยาลัยเกษตรศาสตร์. 466 น.

ฤทธิชัย อัศวร้าชันย์. 2553. การอนแห้งผลผลิตทางการเกษตรด้วยคลื่นไมโครเวฟ. วารสาร วิศวกรรมสารเคมีฉบับที่ 1(2): 31-42.

ฤทธิชัย อัศวร้าชันย์, ภาณุ แสงเจริญรัตน์, สุเนตร สืบคำ, เทียรนณี มั่งมูล และ ดวงกมล จนใจ.

2554. ผลงานศาสตร์การอนแห้งด้วยลมร้อนของเปลือกหัวทิม. วารสารสมาคมวิศวกรรมเกษตรแห่งประเทศไทย 17(1): 27-34.

วริน แสงกิตติโภณ. 2543. ประเมินรวมของการต้านอนุមูลอิสระในผัก ผลไม้และสมุนไพร. วารสารสหเวชศาสตร์ 1: 11-18.

- _____ 2546. การเบริบงเทียนปริมาณสาร โพลีฟโโนลิกส์และปริมาณรวมการด้านสารอนุนุล อิสระในผักและสมุนไพร. วารสารสหเวชศาสตร์ 3: 91-99.
- วีໄລ รังสิตทอง. 2547. เทคโนโลยีการแปรรูปอาหาร. พิมพ์ครั้งที่ 4. กรุงเทพฯ: บริษัท เทคซ แอนด์ เจร์นัล พับลิเคชัน จำกัด. 500 น.
- ศรีจันทร์ พรจิราศิลป์. 2546. ความก้าวหน้าทางเภสัชวิทยา. กรุงเทพฯ: นิวไทยการพิมพ์. 146 น.
- ศรีณยา ลาภลั่งผล. 2550. ผลงานสภาวะการอุ่นแห้งต่อสารประกอบระบุ夷่างที่ให้กลิ่นรสและสารประกอบฟินอลิกในลำไยอบแห้งพร้อมเปลือกและชาลำไย. วิทยานิพนธ์ปริญญาโท. มหาวิทยาลัยศิลปากร. 112 น.
- สมชาติ โสภณรณฤทธิ์. 2540. การอบแห้งเมล็ดพืชและอาหารบางประเภท. พิมพ์ครั้งที่ 7. กรุงเทพฯ: สถาบันเทคโนโลยีพระจอมเกล้าธนบุรี.
- สมเกียรติ ตั้งจิตสิติเจริญ และ ภูมินทร์ แจ่มเชื้อ. 2554. การลดฟองอากาศในกระบวนการผลิตบรรจุภัณฑ์พลาสติกโดยการประยุกต์ใช้การอุ่นแบบการทดลองแบบบีโอกซ์-เบ็ทเทนเกน. น: 171-175. ใน การประชุมวิชาการข่ายงานวิศวกรรมอุตสาหการ, มหาวิทยาลัยเทคโนโลยีราชมงคลธัญบุรี จังหวัดปทุมธานี.
- สรพัตร เทียมดาว และ บุญดี พิรพรพิศาล. 2552. ความหลากหลายของสารร่าเร้นน้ำจืดกินได้ในเม่น้ำ โขงและเม่น้ำน่าน. วารสารวิจัยเทคโนโลยีการประมง 3(1): 115-124.
- สักกมน เทพหัสดิน ณ อยุธยา. 2555. การอบแห้งอาหารและวัสดุชีวภาพ. กรุงเทพฯ: ห้อง จำกัด. 211 น.
- สุเนตร สีบคำ และ ฤทธิชัย อัศวร้าชันย์. 2554. แบบจำลองทางคณิตศาสตร์การอบแห้งสำหรับวัสดุพรุน. วารสารสมาคมวิศวกรรมเกษตรแห่งประเทศไทย 17(1): 59-68.
- เสานี้ย์ เหล่าสิงห์ ศิริธร อ่างแก้ว และ มะลิวรรณ อมคงไชย. 2554. เทคนิคตรวจวัด ความสามารถด้านอนุนุลอิสระ โดยรวมแบบใหม่ด้วยเทคนิคเอนเพอร์ โรเมทร์ในระบบที่มี การไหหลีขี้วไฟฟ้ากลาสเซิร์นอนที่ตัดแปลงค่าการรับอนามัยทิวบ์. วารสาร วิทยาศาสตร์มหาวิทยาลัยอุบลฯ ฉบับพิเศษ 1: 10-20.
- โօกา วัชระคุปต์, ปรีชา บุญจูง, จันทนา บุณยะรัตน์ และ มาลีรักษ์ อัคค์สินทอง. 2549. สารด้าน อนุนุลอิสระ. นนทบุรี: พ.อส.พรีนท์. 190 น.
- Afolabi, T. J. 2014. Thin layer drying kinetics and modelling of okra (*Abelmoschus Esculentus* (L.) Moench) slices under natural and forced convective air drying. **Food Science and Quality Management** 28: 35-50.

- Akpınar, E. K. 2008. Mathematical modelling and experimental investigation on sun and solar drying of white mulberry. **Journal of Mechanical Science and Technology** 22: 1,544-1,553.
- Akpınar, E. K. and Y. Bicer. 2007. Modelling of thin layer drying kinetics of sour cherry in solar dryer and under open sun. **Journal of Scientific & Industrial Research** 66: 764-771.
- Antonio, P., D. C. Alessandra and C. Giampaola. 2003. From plums to prunes: Influence of drying parameters on polyphenols and antioxidant activity. **Journal of Agricultural and Food Chemistry** 51: 3,675-3,681.
- Assawarachan, R and A. Noomhorm. 2008. Effect of operating condition on the kinetic of color change of concentrated pineapple juice by microwave vacuum evaporation. **Journal of Food, Agriculture & Environment** 6(3&4): 47-53.
- _____. 2011. Mathematical models for vacuum microwave concentration behavior of pineapple juice. **Journal of Food Process Engineering** 34(5): 1,485-1,505.
- Assawarachan, R., M. Nookong, N. Chailungka and D. Amornlerdpison. 2013. Effect of microwave power on the drying characteristics, color and phenolic content of spirogyra sp. **Journal of Food, Agriculture & Environment** 11(1): 15-18
- Alibas, I. 2007. Microwave, air and combined microwave-air-drying parameters of pumpkin slices. **LWT Food Science and Technology** 40: 1,445-1,451.
- AOAC. 2010. **Official Methods of Analysis**. 18th ed. Washington, DC., USA: Association of Official Analytical Chemists.
- Blois, M. S. 1958. Antioxidant determinations by the use of a stable free radical. **Nature** 181: 1,199-1,200.
- Chen, Z. Y. and P. T. Chan. 1996. Antioxidation activity of green tea catechins in canola oil. **Chemistry and Physics of Lipids** 79: 157-163.
- Cowan, M. M. 1999. Plant products as Antimicrobial agents. **Clinical Microbiology** 12: 564-582.
- Dadali, G., D. K. Apar and B. Özbek. 2007a. Microwave drying kinetics of okra. **Drying Technology** 25(5): 917-924.
- Dadali, G., E. Demirhan and B. Özbek. 2007b. Color change kinetics of spinach undergoing microwave drying. **Drying Technology** 25(10): 1,713-1,723.

- Demirhan, E. and B. Özbeş. 2009. Color Change Kinetics of Microwave-Dried Basil. **Drying Technology** 27(1): 156-166.
- Doymaz, İ. 2006. Thin-layer drying behaviour of mint leaves. **Journal of Food Engineering** 74: 370-375.
- Evin, D. 2012. Thin layer drying kinetics of *Gundelia tournefortii* L. **Food and Bioproducts Processing** 90: 323-332.
- Harbourne, N., E. Marete, J. C. Jacquier and D. O'Riordan. 2009. Effect of drying methods on the phenolic constituents of meadowsweet (*Filipendula ulmaria*) and willow (*Salix alba*). **Food Science and Technology** 42: 1,468-1,473.
- Helmja, K. M., J. G. Vaher and M. Kaljurand. 2007. Characterization of bioactive compounds contained in vegetables of the Solanaceae family by capillary electrophoresis. **Proceedings of the Estonian Academy of Sciences. Chemistry** 56: 172-186.
- Hossain, M. B., C. Barry-Ryan, A. B. Martin-Diana and N. P. Brunton. 2010. Effect of drying method on antioxidant capacity of six Lamiaceae herbs. **Food Chemistry** 123: 85-91.
- Hou, W. C., Y. C. Chen, Y. H. Lin, L. L. Yang and M. H. Lee. 2001. Antioxidant activities of trypsin inhibitor a 33 kDa root storage protein of sweet potato (*Ipomoea batatas* (L.) Lam cv. Tainong 57. **Journal of Agricultural and Food Chemistry** 49: 2,978-2,981.
- Huang, D. B. Ou and R. L. Prior. 2005. The chemistry behind dietary antioxidant capacity assays. **Journal of Agricultural and Food Chemistry** 3(6): 1,841-1,856.
- Icelandic Co., Ltd. No date. **Electromagnetic wave**. [Online]. Available http://www.myfirstbrain.com/student_view.aspx?ID=29817 (14 May 2013).
- Idris A., K. Khalid and W. Omar. 2004. Drying of silica sludge using microwave heating. **Applied Thermal Engineering** 24: 905-918.
- Jean, K., E. Sigurbjorn, B. Asa. 2010. **Pharmaceutical and cosmetic use of extracts from algae obtainable from saline hot water sources**. [Online]. Available <http://www.faqs.org/patents/app/20100028376#ixzz0flu0nbos> (20 May 2013).
- Jing, Y., C. Jin Feng, Z. Y Ying and M. Chun. 2010. Effects of drying processes on sweet potatoes. **Agricultural Sciences in China** 9(10): 1,522-1,529.

- Kingsly, A. R. P and D. B. Singh. 2007. Drying kinetics of pomegranate arils. **Journal of Food Engineering** 79: 741-744.
- Kinsella, J. E., E. Frankel, B. German and J. Kanner. 1993. Possible mechanism for the protection role of antioxidants in wine and plant food. **Food Technology** 4: 85-89.
- Kumar, N., B. C. Sarkar and H. K. Sharma. 2012. Mathematical modelling of thin layer hot air drying of carrot pomace. **Journal of Food Science and Technology** 49(1): 33-41.
- Lin, T. M. T. D. Durance and C. H. Scaman. 1998. Characterization of vacuum microwave, air and freeze dried carrot slices. **Food research International** 31: 111-117.
- Limpaiboon, K. 2011. Effects of temperature and slice thickness on drying kinetics of pumpkin slices. **Walailak Journal of Science and Technology** 8(2): 159-166.
- Madamba, P. S., R. H. Driscoll and K. A. Buckle. 1996. The thin layer drying characteristics of garlic slices. **Journal of Food Engineering** 29: 75-97.
- Maskan, M. 2001. Drying, shrinkage and rehydration characteristics of kiwifruits during hot air and microwave drying. **Journal of Food Engineering** 48: 177-182.
- McMinn, W. A. M. 2006. Thin-layer modeling of the convective, microwave, microwave-convective and microwave vacuum drying of lactose powder. **Journal of Food Engineering** 72: 113-123.
- Montgomery D. C. 2006. **Design and analysis of experiments**. New York: John Wiley & Son Asia.
- Özbek, B. and G. Dadali. 2007. Thin-layer drying characteristics and modelling of mint leaves undergoing microwave treatment. **Journal of Food Engineering** 83: 541-549.
- Ozkan, I. A., B. Akbudak and N. Akbudak. 2007. Microwave drying characteristics of spinach. **Journal of Food Engineering** 78: 577-583.
- Pardeshi, I. L., S. Arora and P. A. Borker. 2009. Thin-layer drying of green peas and selection of a suitable thin-layer drying model. **Drying Technology** 27: 288-295.
- Pérez-Francisco, J. M., R. Cereceros-Enríquez, I. Andrade-González, J. A. Ragazzo-Sánchez and G. Luna-Solano. 2008. Optimization of vegetal pear drying using response surface methodology. **Drying Technology** 26(11): 1,401-1,405.

- Pongtong, K., R. Assawarachan and A. Noomhorm. 2011. Mathematical models for vacuum drying characteristics of pomegranate aril. **Journal of Food Science and Engineering** 1(1): 11-19.
- PÜSCHNER Microwave Power System.** no date. [Online]. Available http://www.pueschner.com/basics/phys_basics_ko.php (21 May 2013).
- Rangkadilok, N., L. Worasuttayangkurn, R. N. Bennett and J. Satayavivad. 2005. Identification and quantification of polyphenolic compounds in longan (*Euphoria longana Lam.*) fruits. **Journal of Agricultural and Food Chemistry** 53: 1,387-1,392.
- Re, R., N. Pellegrini, A. Pannala, M. Yang, C. Rice-Evan. 1999. Antioxidant activity applying an improve ABTS radical cation decolorisation assay. **Free Radical Bio Med** 26: 1,231-1,237.
- Roy, M. K., M. Takenaka, S. Isobe and T. Tsushima. 2007. Antioxidant potential, anti-proliferative activities, and phenolic content in water-soluble fractions of some commonly consumed vegetables: Effects of thermal treatment. **Food Chemistry** 103(1): 106-114.
- Rudra, S. G., H. Singh, S. Basu and U. S. Shrivhare. 2008. Enthalpy Entropy compensation during thermal degradation of chlorophyll in mint and coriander puree. **Journal of Food Engineering** 86: 379-387.
- Sachindra, N. M., M. K. W. A. Airanthi, M. Hosokawk and K. Miyashita. 2010. Radical scavenging and singlet oxygen quenching activity of extracts from Indian seaweeds. **Journal of Food Science Technology** 47: 94-99.
- Sacilik, K. and A. K. Elicin. 2006. The thin layer drying characteristics of organic apple slices. **Journal of Food Engineering** 73: 281-289.
- Shahidi, F. and P. K. J. Wanasundara. 1992. Phenolic antioxidant. **Critical Reviews in Food Science and Nutrition** 32: 67-103.
- Soong, Y. Y. and P. J. Barlow. 2004. Antioxidant activity and phenolic content of selected fruit seeds. **Food Chemistry** 88: 411-417.
- Sripinyowanichi, J., O. Sopanattayanon, R. Assawarachan, K. Theppadungporn and A. Noohorm. 2012. Effects of moisture content of dried coconut residue on its EMC, shelf life and

- quality. **Proceedings of the International Congress on Food Engineering and Technology.** 28-30 March 2012. Bangkok: IMPACT Convention Center, Thailand.
- Takashi, F., M. Wakaizumia, T. Ikamib and M. Saitoa. 2008. Amla (*Embllica officinalis* Gaertn.) extract promotes procollagen production and inhibits matrix metalloproteinase-1 in human skin fibroblasts. **Journal of Ethnopharmacology** 119: 53-57.
- Tamon, H., T. Furuta, S. Adachi, S. Yamamoto และ วิวัฒน์ ตันตะพาณิชกุล. 2548. เทคโนโลยี อนแห้งในอุตสาหกรรมอาหาร. กรุงเทพฯ: สมาคมส่งเสริมเทคโนโลยี (ไทย-ญี่ปุ่น). 200 น.
- Thao, H., M. and A. Noomhorm. 2011. Modeling and effects of various drying methods on sweet potato starch properties. **Walailak Journal of Science and Technology** 8(2): 139-158.
- Therdthai, N. and W. Zhou. 2009. Characterization of microwave vacuum drying and hot air drying of mint leaves (*Mentha cordifolia* Opiz ex Fresen). **Journal of Food Engineering** 91: 482-489.
- Vega-Gálvez, A., D. K. Scala, K. Rodríguez and R. Lemus-Mondaca. 2009. Effect of air-drying temperature on physico-chemical properties, antioxidant capacity, colour and total phenolic content of red pepper (*Capsicum annuum*, L. var. Hungarian). **Food Chemistry** 117: 647-653.
- Waewsak, J., S. Chindaruksa and C. Punlek. 2006. A mathematical modeling study of hot air drying for some agricultural products. **Journal of Science and Technology** 11(1): 14-20.
- Wang, Z., J. Sun, F. Chen, X. Liao and X. Hu. 2007. Mathematical modeling on thin layer microwave drying of apple pomace with and without hot air pre-drying. **Journal of Food Engineering** 80: 536-544.
- Wang, Z., J. Sun, X. Liao, F. Chen, G. Zhao, J. Wu and X. Hu. 2006. Mathematical modelling on hot air drying of thin layer apple pomace. **Journal of Food Research International** 40(1): 39-46.
- Wei Cui, Z., S. Ying Xu and D. Wen Sun. 2004. Microwave vacuum drying kinetics of carrot slices. **Journal of Food Engineering** 65: 157-164.
- Zafer, E., I. Filiz. 2009. Optimization of hot air drying of olive leaves using response surface methodology. **Journal of Food Engineering** 91: 533-541.



ภาคพนวก ก

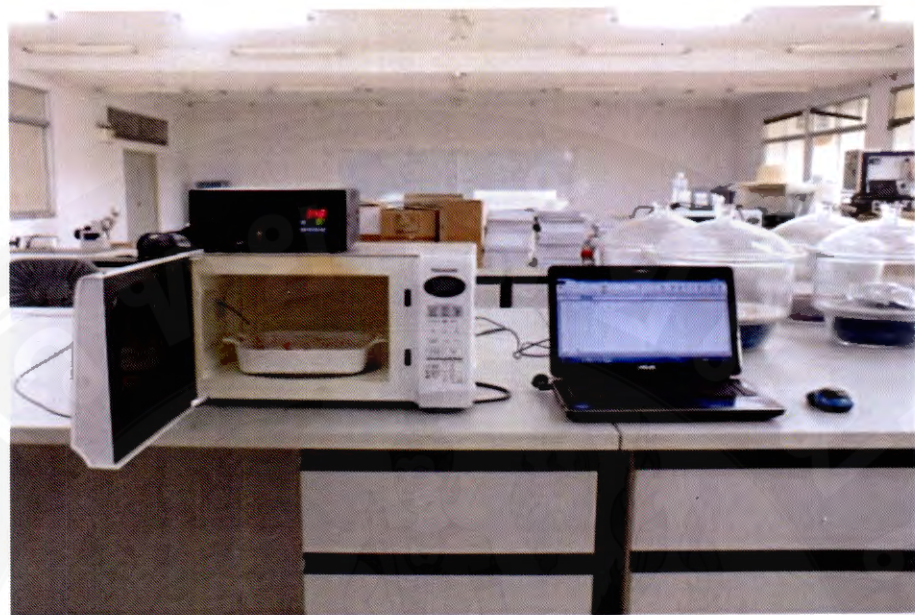
สาหร่ายเตา เครื่องอบแห้งที่ใช้ในการทดสอบ และตัวอย่างสารสกัดน้ำของสาหร่ายเตาที่
ใช้ในการวิเคราะห์สารออกฤทธิ์ทางชีวภาพ



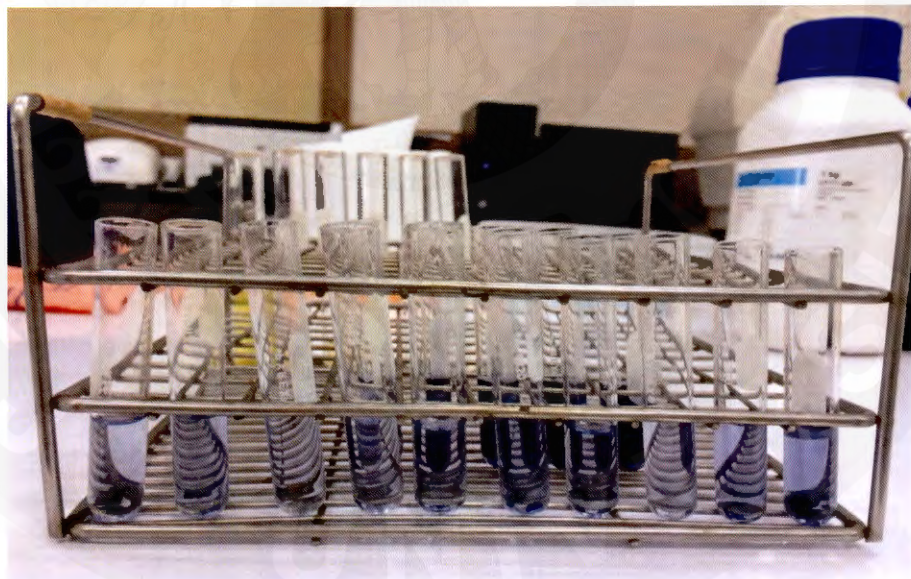
ภาพพนวก 1 สาหร่ายเตาที่ใช้ในการทดลอง



ภาพพนวก 2 เครื่องอบแห้งด้วยลมร้อนแบบถังที่ใช้ในการทดลอง



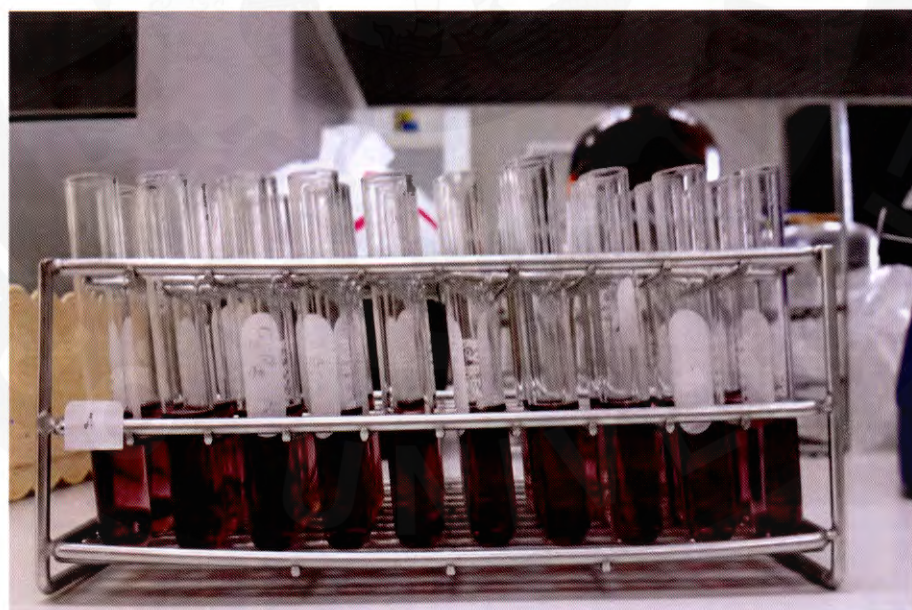
ภาพพนวก 3 เครื่องอบแห้งด้วยคลื่นไมโครเวฟที่ใช้ในการทดลอง



ภาพพนวก 4 ตัวอย่างสารสกัดน้ำของสาหร่ายเดาที่ใช้ในการวิเคราะห์ปริมาณสารประกอบฟีโนลิก
ทั้งหมด



ภาพพนวก 5 ตัวอย่างสารสกัดน้ำของสาหร่ายเดาที่ใช้ในการวิเคราะห์ความสามารถในการด้านอนุมูลอิสระ ABTS



ภาพพนวก 6 ตัวอย่างสารสกัดน้ำของสาหร่ายเดาที่ใช้ในการวิเคราะห์ความสามารถในการด้านอนุมูลอิสระ DPPH

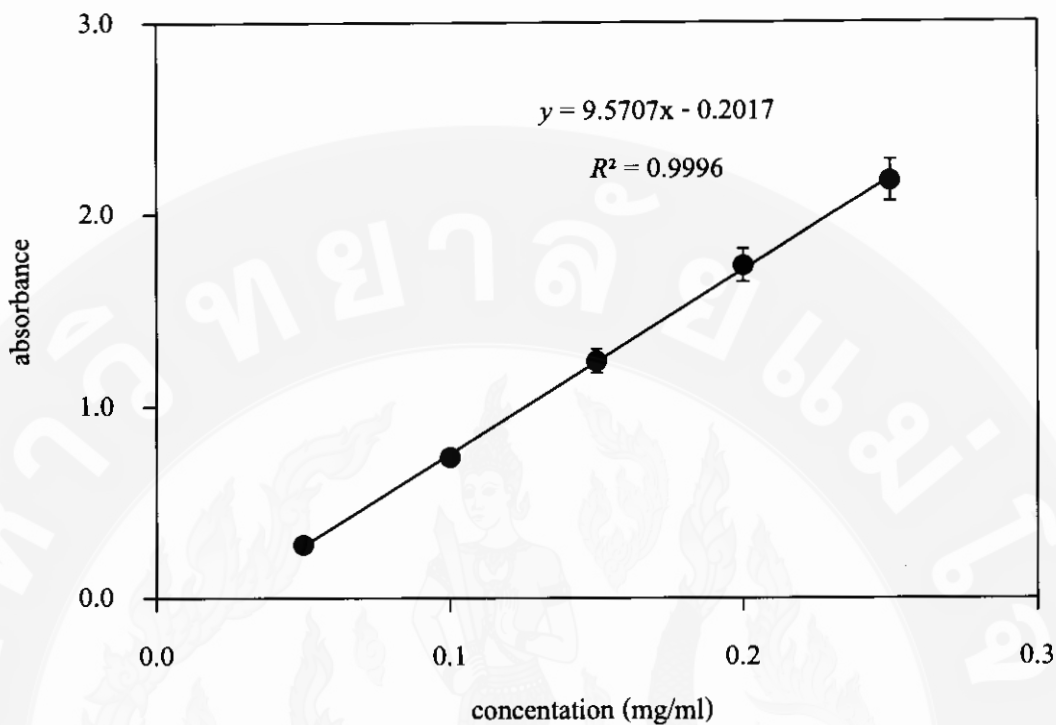


การวิเคราะห์ปริมาณสารประกอบฟีโนอลิกทั้งหมดและ
ความสามารถในการต้านอนุมูลอิสระ

ภาคผนวก ข

ตารางที่ 1 ค่าการดูดกลืนแสงของกรด gallic acid ที่ความเข้มข้นต่างๆ สำหรับวิเคราะห์ปริมาณสารประกอบฟีโนลิกทั้งหมด

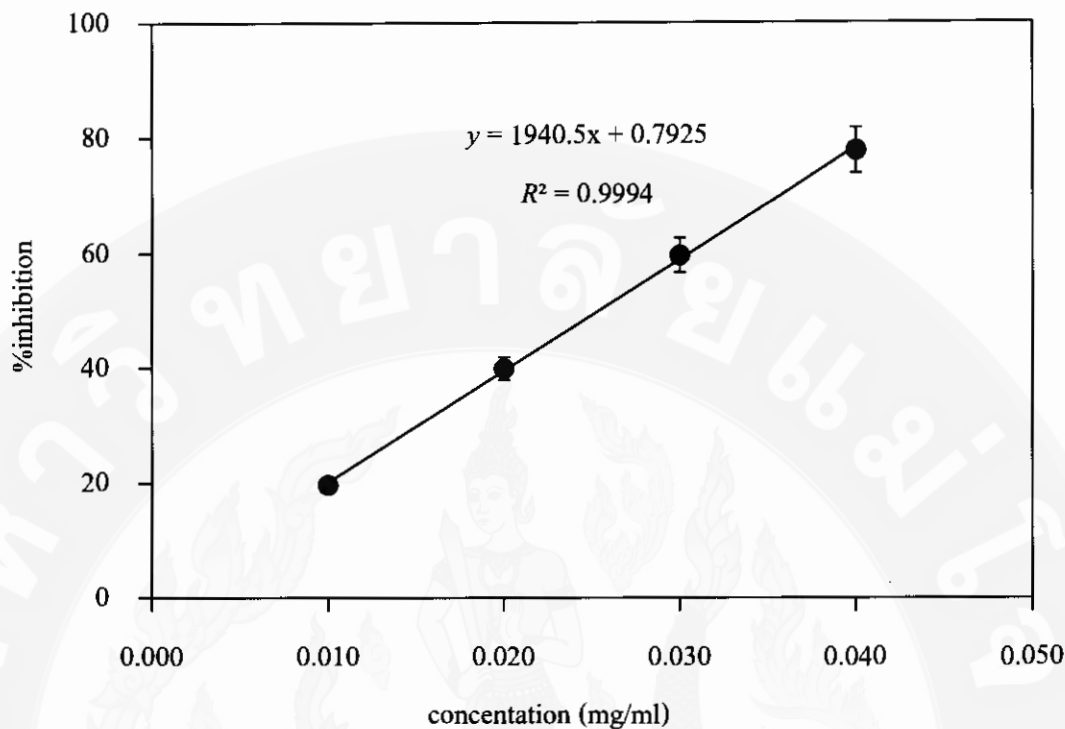
concentration (mg/ml)	replication	absorbance 765 nm
0.05	1	0.308
	2	0.279
	3	0.260
	average	0.282
	±SD	0.024
0.10	1	0.750
	2	0.747
	3	0.718
	average	0.738
	±SD	0.018
0.15	1	1.252
	2	1.235
	3	1.225
	average	1.237
	±SD	0.014
0.20	1	1.742
	2	1.743
	3	1.718
	average	1.734
	±SD	0.014
0.25	1	2.183
	2	2.174
	3	2.174
	average	2.177
	±SD	0.005



ภาพผนวก 7 กราฟมาตรฐานของสารละลายน้ำด่าง (gallic acid) สำหรับการวิเคราะห์ปริมาณสารประกอบฟีโนอลิกทั้งหมด

ตารางที่ 2 ค่าการลดกลืนแสงของ trolox และ %inhibition ที่ความเข้มข้นต่างๆ สำหรับวิเคราะห์ความสามารถในการต้านอนุมูลอิสระ ABTS

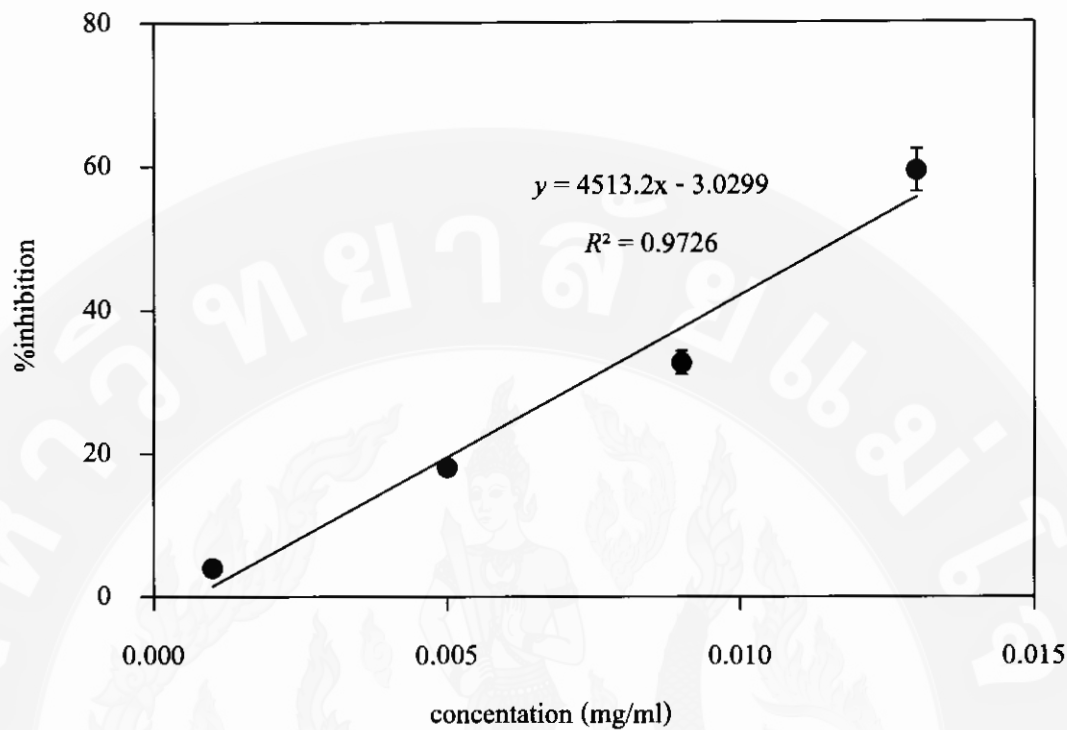
concentration (mg/ml)	replication	absorbance 734 nm	%inhibition
control	1	0.690	-
	2	0.700	-
	3	0.701	-
	average	0.697	-
	±SD	0.006	-
0.01	1	0.564	18.26
	2	0.557	20.43
	3	0.557	20.54
	average	0.559	19.74
	±SD	0.004	1.29
0.02	1	0.423	38.70
	2	0.417	40.43
	3	0.416	40.66
	average	0.419	39.93
	±SD	0.004	1.07
0.03	1	0.299	56.67
	2	0.269	61.57
	3	0.274	60.91
	average	0.281	59.72
	±SD	0.016	2.66
0.04	1	0.191	72.32
	2	0.141	79.86
	3	0.131	81.31
	average	0.154	77.83
	±SD	0.032	4.83



ภาพพนวก 8 กราฟมาตรฐานของ trolox สำหรับวิเคราะห์ความสามารถในการต้านอนุมูลอิสระ ABTS

ตารางที่ 3 ค่าการดูดกลืนแสงของ trolox และ %inhibition ที่ความเข้มข้นต่างๆ สำหรับวิเคราะห์ความสามารถในการต้านอนุมูลอิสระ DPPH

concentration (mg/ml)	replication	absorbance 517 nm	%inhibition
control	1	0.834	-
	2	0.839	-
	3	0.844	-
	average	0.839	-
	±SD	0.005	-
0.001	1	0.801	3.96
	2	0.809	3.58
	3	0.805	4.62
	average	0.805	4.05
	±SD	0.004	0.53
0.005	1	0.696	16.55
	2	0.687	18.12
	3	0.678	19.67
	average	0.687	18.11
	±SD	0.009	1.56
0.009	1	0.563	32.49
	2	0.563	32.90
	3	0.567	32.82
	average	0.564	32.74
	±SD	0.002	0.21
0.013	1	0.342	58.99
	2	0.354	57.81
	3	0.327	61.26
	average	0.341	59.35
	±SD	0.014	1.75



ภาพผนวก 9 กราฟมาตรฐานของ trolox สำหรับวิเคราะห์ความสามารถในการต้านอนุมูลอิสระ DPPH



$$\text{การคำนวณค่าไฟฟ้า} = \frac{\text{การใช้ไฟฟ้าเฉลี่ยต่อชั่วโมง (kW)} \times \text{ชั่วโมงการทำงาน (hr)} \times \text{ราคาต่อหน่วย (3 baht/kW*hr)}}$$

การทดลองอบแห้งแต่ละ 1 ครั้ง ได้สาหร่ายเตาอบแห้ง จำนวน 45 g
ดังนั้นเมื่อเทียบต่อสาหร่ายเตาอบแห้ง จำนวน 1,000 g เท่ากับ $1,000/45 = 22.22$ เท่า

1. เครื่องอบแห้งด้วยลมร้อน

1.1 การอบแห้งด้วยลมร้อนที่อุณหภูมิ 60°C

- ชั่วโมงการทำงานในการอบแห้ง เท่ากับ 9.83 hr
- การใช้ไฟฟ้าเฉลี่ยต่อชั่วโมง 1.02 kW
- ค่าไฟฟ้า

$$\begin{aligned}
 &= 1.02 \times 9.83 \times 3.0 \times 22.22 \\
 &= 668.44 \text{ baht/1,000 g}_{\text{dry matter}}
 \end{aligned}$$

1.2 การอบแห้งด้วยลมร้อนที่อุณหภูมิ 65°C

- ชั่วโมงการทำงานในการอบแห้ง เท่ากับ 7.00 hr
- การใช้ไฟฟ้าเฉลี่ยต่อชั่วโมง 1.10 kW
- ค่าไฟฟ้า

$$\begin{aligned}
 &= 1.10 \times 7.00 \times 3.0 \times 22.22 \\
 &= 513.33 \text{ baht/1,000 g}_{\text{dry matter}}
 \end{aligned}$$

1.3 การอบแห้งด้วยลมร้อนที่อุณหภูมิ 70°C

- ชั่วโมงการทำงานในการอบแห้ง เท่ากับ 5.17 hr
- การใช้ไฟฟ้าเฉลี่ยต่อชั่วโมง 1.14 kW
- ค่าไฟฟ้า

$$\begin{aligned}
 &= 1.14 \times 5.17 \times 3.0 \times 22.22 \\
 &= 392.92 \text{ baht/1,000 g}_{\text{dry matter}}
 \end{aligned}$$

1.4 การอบแห้งด้วยลมร้อนที่อุณหภูมิ 75°C

- ชั่วโมงการทำงานในการอบแห้ง เท่ากับ 3.67 hr
- การใช้ไฟฟ้าเฉลี่ยต่อชั่วโมง 1.54 kW
- ค่าไฟฟ้า

$$\begin{aligned}
 &= 1.54 \times 3.67 \times 3.0 \times 22.22 \\
 &= 376.79 \text{ baht/1,000 g}_{\text{dry matter}}
 \end{aligned}$$

2. เครื่องอบแห้งด้วยคลื่น ไมโครเวฟ

2.1 การอบแห้งด้วยคลื่น ไมโครเวฟที่ระดับความเข้ม 0.77 W/g

- ชั่วโมงการทำงานในการอบแห้ง เท่ากับ 1.33 hr
- การใช้ไฟฟ้าเฉลี่ยต่อชั่วโมง 0.52 kW
- ค่าไฟฟ้า = $0.52 \times 1.33 \times 3.0 \times 22.22$
= 46.11 baht/1,000 g_{dry matter}

2.2 การอบแห้งด้วยคลื่น ไมโครเวฟที่ระดับความเข้ม 1.55 W/g

- ชั่วโมงการทำงานในการอบแห้ง เท่ากับ 0.72 hr
- การใช้ไฟฟ้าเฉลี่ยต่อชั่วโมง 0.83 kW
- ค่าไฟฟ้า = $0.83 \times 0.72 \times 3.0 \times 22.22$
= 39.84 baht/1,000 g_{dry matter}

2.3 การอบแห้งด้วยคลื่น ไมโครเวฟที่ระดับความเข้ม 2.00 W/g

- ชั่วโมงการทำงานในการอบแห้ง เท่ากับ 0.53 hr
- การใช้ไฟฟ้าเฉลี่ยต่อชั่วโมง 1.05 kW
- ค่าไฟฟ้า = $1.05 \times 0.53 \times 3.0 \times 22.22$
= 37.10 baht/1,000 g_{dry matter}

2.4 การอบแห้งด้วยคลื่น ไมโครเวฟที่ระดับความเข้ม 2.50 W/g

- ชั่วโมงการทำงานในการอบแห้ง เท่ากับ 0.35 hr
- การใช้ไฟฟ้าเฉลี่ยต่อชั่วโมง 1.34 kW
- ค่าไฟฟ้า = $1.34 \times 0.35 \times 3.0 \times 22.22$
= 31.27 baht/1,000 g_{dry matter}



เอกสารนำเสนอ
โดย
อาจารย์
ชื่อ
ผู้นำเสนอด้วย
วิชาการ

1. บทความวิจัยที่ได้รับการตีพิมพ์ในวารสารวิชาการระดับนานาชาติ:

Assawarachan, R., Nookong, M., Chailungka, N and Amornlerdpison, D. 2013. Effects of microwave power on the drying characteristics, color and phenolic content of *Spirogyra* sp. *Journal of Food, Agriculture & Environment* 11(1): 15-18.

Chailungka, N and Assawarachan, R. 2014. The thin layer drying characteristics of *Spirogyra* sp. *Journal of Food, Agriculture & Environment. (Manuscript accepted)*

2. บทความวิจัยที่ได้รับการตีพิมพ์ในวารสารวิชาการระดับชาติ:

น้ำฝน ไชยลังกา และฤทธิชัย อัศวร้าชันย์. 2557. ผลงานศาสตร์การอุ่นแห้งคั่วบลีน ไมโครเวฟของสาหร่ายเตา. *วารสารวิศวกรรมสารสนับน้ำวิจัยและพัฒนา. (Manuscript accepted)*

3. บทความวิจัยที่นำเสนอในที่ประชุมวิชาการระดับนานาชาติ:

Chailungka, N. and Assawarachan, R. 2014. Optimization of drying conditions for quality dried *Spirogyra* sp. using Box-Behnken methodology. In International Conference on Agriculture and Agro-Industry 2014 (ICAAI2014) 20-21 November 2014. Mae Fah Luang University, Chiang Rai, Thailand. (*Abstract accepted*)

4. บทความวิจัยที่นำเสนอในที่ประชุมวิชาการระดับชาติ:

น้ำฝน ไชยลังกา, รัตนารณ์ จันทร์ทิพย์, ดวงพร อัมรเดศพิศาล และฤทธิชัย อัศวร้าชันย์. 2555. ผลกระทบของระดับพลังงานไมโครเวฟต่อการเปลี่ยนแปลงคุณภาพของสาหร่ายเตาอบแห้ง. การประชุมวิชาการประมง ครั้งที่ 7. วันที่ 6-8 ธันวาคม 2555. คณะเทคโนโลยีการประมง และทรัพยากรน้ำ มหาวิทยาลัยแม่โจ้ สันทราย เชียงใหม่.

น้ำฝน ไชยลังกา, รัตนารณ์ จันทร์ทิพย์, ดวงพร อัมรเดศพิศาล และฤทธิชัย อัศวร้าชันย์. 2556. แบบจำลองการอบแห้งแบบชั้นบางของสาหร่ายเตาคั่วบลีน ไมโครเวฟ. การประชุมวิชาการ สมาคมวิศวกรรมเกษตรแห่งประเทศไทยระดับชาติ ครั้งที่ 14. วันที่ 1-4 เมษายน 2556 ณ โรงแรมหัวหินแกรนด์ แอนด์ พลาซ่า จังหวัดประจวบคีรีขันธ์.



ประวัติผู้วิจัย

ชื่อ-สกุล นางสาวน้ำฝน ไชยลังกา
เกิดเมื่อ 16 ตุลาคม 2532
ประวัติการศึกษา พ.ศ. 2555 วิศวกรรมศาสตรบัณฑิต (วิศวกรรมอาหาร) คณะวิศวกรรม
 และอุตสาหกรรมเกษตร มหาวิทยาลัยแม่โจ้
ที่อยู่ 109 หมู่ 15 ต.เจ้า อ.เทิง จ.เชียงราย 57160
อีเมล์ (e-mail) polaris_lek@hotmail.com และ namphon.chailungka@gmail.com